Rapport de diagnostic

Institut national de recherches archéologiques préventives

Bretagne, Finistère, Plouvorn, Kerriou

Occupations diachroniques

Sous la direction de

Julie Cavanillas

Inrap Grand Ouest,
Juin 2022

Institut national de recherches archéologiques préventives

Rapport de Diagnostic

Code Inrap D141718

Opération archéologique

Arrêté de prescription SRA 2021-417

Entité archéologique

Code INSEE 29 210

Bretagne, Finistère, Plouvorn, Kerriou

Plouvorn, Kerriou : Occupations diachroniques

sous la direction de

Julie Cavanillas

par

Julie Cavanillas, Inrap
VIncent Pommier, Inrap
Françoise Labaune-Jean, Inrap
Océane Lierville, Inrap
Myriam Le Puil-Texier, Inrap
Vérane Brisotto, Inrap
Patrick Rossetti, CIRAM

avec la collaboration de

Loruena Contu, Inrap
Stéphanie Le Berre, Inrap
Vincent Pommier, Inrap
Hélène Seignac, Inrap

INRAP Grand Ouest
37 rue du Bignon
CS 67737
35577 Cesson-Sévigné Cedex
www.inrap.fr

Juin 2022

Conditions d'utilisation des documents

Les rapports d'opération archéologique (diagnostic, fouille, document final de synthèse, sondage, sauvetage...) sont des documents administratifs communicables au public, en application de la loi n° 78-753 du 17 juillet 1978 modifiée et portant diverses mesures d'amélioration des relations entre l'administration et le public. L'accès à ces documents administratifs s'exerce auprès des administrations qui les ont élaborés ou qui les détiennent, au choix du demandeur et dans la limite de leurs conditions d'accueil. La mise en ligne des rapports par le SRA Bretagne a pour objectif de faciliter cette consultation.

La consultation et l'utilisation de ces rapports s'effectuent dans le respect des dispositions du code de la propriété intellectuelle relatives aux droits des auteurs. Notamment en application de l'article L.122-5 du code de la propriété intellectuelle, cela implique que :

1 - les prises de notes et les copies ou autres formes de reproduction sont autorisées dans la mesure où elles sont strictement réservées à l'usage privé du copiste et non destinées à une utilisation collective.

2 - toute reproduction du texte, accompagnée ou non de photographies, cartes ou schémas, n'est possible que dans le cadre de courtes citations qui doivent être justifiées, par exemple par le caractère scientifique de l'œuvre à laquelle elles sont incorporées, et sous réserve de l'indication claire du nom de l'auteur et de la source (références exactes et complètes de l'auteur, de son organisme d'appartenance et du rapport).

3 - la représentation ou la reproduction d'extraits est possible à des fins exclusives d'illustration dans le cadre de l'enseignement et de la recherche, dès lors que le public auquel elle est destinée est majoritairement composé d'élèves, d'étudiants, d'enseignants ou de chercheurs directement concernés, et que son utilisation ne donne lieu à aucune exploitation commerciale.

Le non-respect de ces règles constitue le délit de contrefaçon prévu et sanctionné par les articles L.335-2, L.335-3 et suivants du code de la propriété intellectuelle.

Renseignement :
DRAC Bretagne : http://www.culture.gouv.fr/Regions/Drac-Bretagne
Service Régional de l'Archéologie - Centre de documentation archéologique
Campus universitaire de Beaulieu - Avenue Charles Foulon - 35700 Rennes

MINISTÈRE
DE LA CULTURE
Liberté
Égalité
Fraternité

Sommaire

I. Données administratives, techniques et scientifiques 7

Fiche signalétique 8
Mots-clefs des thésaurus 9
Intervenants 10
Notice scientifique 12
État du site 12
Localisation de l'opération 13
Arrêté de prescription avec extrait cadastral 14
Projet scientifique d'intervention 21
Arrêté de désignation 24

II. Résultats 27

1. Introduction 28
1.1. Circonstances de l'intervention 28
1.2. Cadre Géographique 28
1.3. Cadre géologique 29
1.4. Contexte archéologique 31
1.5. Stratégie et méthodes mises en oeuvre 32

2. Résultats 34
2.1. Structuration du paysage et occupation à la Protohistoire ancienne 39
2.1.1. Un fossé de l'âge du Bronze 39
2.1.2. Un bâtiment sur tranchée de fondation 42
2.2. Les vivants et les morts à l'âge du Fer 45
2.2.1. Une tombe à crémation secondaire de la transition Hallstatt final/Tène ancienne 46
2.2.1.1. Etude céramique, Océane Lierville *47*
2.2.1.2. Etude anthropologique, Myriam Le Puil-Texier *49*
2.2.2. Le système fossoyé de l'âge du Fer 53
2.2.2.1. Des fossés plus anciens au nord-ouest : tr 1 et 6 *53*
2.2.2.2. Un fossé au tracé énigmatique *55*
2.2.2.3. Une limite est/ouest forte *56*
2.2.2.4. Les fossés orientés nord-nord-est/sud-sud-ouest *56*
2.2.2.5. Les fossés en périphérie de l'occupation *58*
2.2.3. L'espace des vivants 66
2.2.3.1. La grande fosse 7.14 et les trous de poteau environnant : épicentre de l'occupation ? *66*
2.2.3.2. Les structures de combustion *69*
2.2.3.3. Fréquentation en périphérie du site à l'âge du Fer *72*
2.2.4. Des fosses évoquant des sépultures à inhumation 72
2.2.5. Conclusion 74
2.3. Occupation antique 75
2.3.1. Un chemin pour rallier le plateau au changement d'ère 75
2.3.2. Les structures fossoyées antiques 78

2.3.3. Une grande fosse : atelier ou habitat ? 79
2.3.4. La voie antique reliant Morlaix à Lesneven 80
2.3.5. Conclusion 82
2.4. Structuration du paysage au Moyen Âge 82
2.4.1. Fréquentation au Moyen Âge central 82
2.4.2. Le paysage du Bas Moyen Âge 85
2.5. Un enclos non daté sur le versant 87
2.6. Les structures non datées 89

Synthèse 92

Bibliographie 95

Annexe 1. Étude de la céramique protohistorique, O. Lierville (Inrap) 97

Annexe 2. Étude de la céramique historique et des mobiliers divers, F. Labaune-Jean (Inrap) 100

Annexe 3. Étude archéoanthropologique, M. Le Puil-Texier (Inrap) 105

Annexe 4. Étude lithique, V. Brisotto (Inrap) 109

Annexe 5. Datation radiocarbonne, P. Rossetti (CIRAM) 110

Table des illustrations 116

III. Inventaires techniques 121

Inventaire des tranchées 121

Inventaire des structures archéologiques 123

Inventaire du mobilier archéologique 143

Inventaire des documents graphiques 149

Inventaire des documents photographiques 151

Inventaire des prélèvements 162

I. Données administratives, techniques et scientifiques

Fiche signalétique

Localisation
Région
Bretagne

Département
Finistère (29)

Commune
Plouvorn

Adresse ou lieu-dit
Kerriou

Codes
Code INSEE
29 210

Numéro d'opération archéologique
-

Numéro de l'entité archéologique
Non communiqué

Coordonnées géographiques et altimétriques selon le système national de référence
Lambert 93
x : 184 154
y : 6 854 246

IGN 69
z : 95 m NGF

Références cadastrales
Commune
Plouvorn

Année
2022

Section(s)
AB

Parcelle(s)
28, 321, 323, 325, 326, 330

Statut du terrain au regard des législations sur le patrimoine et l'environnement
Loi sur l'eau

Propriétaire du terrain
-
-

Références de l'opération
Numéro de l'arrêté de prescription
2021-417
en date du 23 novembre 2021

Numéro de l'arrêté de prescription modificatif
-

Numéro de l'arrêté de désignation du responsable
2022-082
en date du 23 février 2022

Numéro du projet Inrap
D141718

Maître d'ouvrage des travaux d'aménagement
Commune de Plouvorn
Rue du Gueven 29 420 Plouvorn

Nature de l'aménagement
Lotissement

Opérateur d'archéologie
INRAP Grand Ouest

Responsable scientifique de l'opération et organisme de rattachement
Julie Cavanillas

INRAP Grand Ouest
37 rue du Bignon
CS 67737
35577 Cesson-Sévigné

Dates d'intervention sur le terrain
Préparation
18 février 2022

Fouille
Du 23 février au 11 mars 2022

Post-fouille
Du 21 mars au 25 juin 2022

Surface du projet d'aménagement
75 980 m²

Surface soumise à prescription :
75 980 m²

Surface accessible
75 980 m²

Surface ouverte
6 638.79 m²

fouillée par rapport au projet
8.74%

fouillée par rapport à la surface accessible
8.74%

Profondeur de tranchées (hors sondages profonds et fouille des structures)
minimum : 0.30 m
maximum : 0.60 m

Mots-clefs des thésaurus

Chronologie

- ☐ **Paléolithique**
  - ☐ Inférieur
  - ☐ Moyen
  - ☐ Supérieur
  - ☐ Mésolithique et Épipaléolithique
- ☐ **Néolithique**
  - ☐ Ancien
  - ☐ Moyen
  - ☐ Récent
  - ☐ Chalcolithique
- ■ **Protohistoire**
  - ■ **Âge du Bronze**
    - ☐ Ancien
    - ☐ Moyen
    - ☐ Récent
  - ■ **Âge du Fer**
    - ■ Hallstatt (premier Âge du Fer)
    - ■ La Tène (second Âge du Fer)
- ■ **Antiquité romaine (gallo-romain)**
  - ■ République romaine
  - ■ Empire romain
    - ■ Haut-Empire (jusqu'en 284)
    - ☐ Bas-Empire (de 285 à 476)
- ■ **Époque médiévale**
  - ■ haut Moyen Âge
  - ■ Moyen Âge
  - ■ bas Moyen Âge
- ■ **Temps modernes**
- ☐ **Époque contemporaine**
  - ☐ Ère industrielle

Sujets et thèmes

- ☐ Édifice public
- ☐ Édifice religieux
- ☐ Édifice militaire
- ■ Bâtiment
- ■ Structure funéraire
- ■ Voirie
- ☐ Hydraulique
- ■ Habitat rural
- ☐ Villa
- ☐ Bâtiment agricole
- ☐ Structure agraire
- ☐ Urbanisme
- ☐ Maison
- ☐ Structure urbaine
- ■ Foyer
- ■ Fosse
- ■ Sépulture
- ☐ Grotte
- ☐ Abri
- ☐ Mégalithe
- ☐ Artisanat
- ☐ Argile : atelier
- ☐ Atelier
- ■ Parcellaire

Mobilier

	nb	
■		Industrie lithique
☐		Industrie osseuse
■		Céramique
☐		Restes
☐		Végétaux
☐		Faune
☐		Flore
■		Objet métallique
☐		Arme
■		Outil
■		Parure
☐		Habillement
☐		Trésor
☐		Monnaie
☐		Verre
☐		Mosaïque
☐		Peinture
☐		Sculpture
☐		Inscription
☐		Tuiles, fragment de marbre

Études annexes

- ☐ Géologie
- ■ Datation
- ■ Anthropologie
- ☐ Paléontologie
- ☐ Zoologie
- ☐ Botanique
- ☐ Palynologie
- ☐ Macrorestes
- ■ Etudes de céramique
- ■ Etude lithique
- ☐ Acq. des données
- ☐ Numismatique
- ☐ Conservation
- ☐ Restauration

…

Intervenants

Intervenants scientifiques

Prénom Nom, organisme d'appartenance	Tâches génériques	Tâches affectées dans le cadre de l'opération
Yves Ménez, SRA	Conservateur Régional de l'Archéologie, chef de service	Prescription et contrôle scientifique
Élena Paillet, SRA	Conservatrice chargée de la gestion du Finistère	Prescription et contrôle scientifique
Michel Baillieu, Inrap	Directeur adjoint scientifique et technique	Suivi scientifique Inrap
Thomas Arnoux, Inrap	Délégué du Dast	Suivi scientifique Inrap
Julie Cavanillas, Inrap	Responsable de recherches archéologiques	Responsable scientifique

Intervenants administratifs

Prénom Nom, organisme d'appartenance	Tâches génériques	Tâches affectées dans le cadre de l'opération
Yves Ménez, SRA	Conservateur Régional de l'Archéologie, chef de service	Prescription et contrôle scientifique
Éléna Paillet, SRA	Conservatrice chargée de la gestion du Finistère	Prescription et contrôle scientifique
Claude Le Potier, Inrap	Directeur interrégional Grand-Ouest	Mise en place et suivi de l'opération
Arnaud Dumas, Inrap	Secrétaire général	Mise en place et suivi de l'opération
Michel Baillieu, Inrap	Directeur adjoint scientifique et technique	Mise en place et suivi de l'opération
Thomas Arnoux, Inrap	Délégué du Dast	Mise en place et suivi de l'opération
Elodie Craspay, Inrap	Assistante AST	Planification des personnels
Laurent Aubry, Inrap	Assistant technique, région Bretagne	Logistique
Nathalie Ruaud, Inrap	Gestionnaire des moyens du centre	Gestion du matériel
Marie Nolier, Inrap	Logisticienne	Logistique
Olivier Bréhélin, Inrap	Contrôleur de gestion	Suivi de l'opération
Isabelle Giron-Audéoud, Inrap	Ingénieure sécurité	Mise en place et suivi de l'opération

Autres intervenants

Prénom Nom, organisme d'appartenance	Tâches génériques	Tâches affectées dans le cadre de l'opération
Stéphanie Hurtin, Inrap	Gestionnaire de collections	Gestion, conservation et versement du mobilier archéologique
Christine Boumier, Inrap	Documentaliste	Catalogage et recherches documentaires

Intervenants techniques

Prénom Nom, organisme d'appartenance	Tâches génériques	Tâches affectées dans le cadre de l'opération
Maël Mauguet, Beaussire TP	Entreprise de terrassement	Ouverture des tranchées et sondages, rebouchage

Équipe de fouille

Prénom Nom, organisme d'appartenance	Fonction	Tâches affectées dans le cadre de l'opération
Julie Cavanillas, Inrap	Responsable de recherches archéologiques	Responsable scientifique
Loruena Contu, Inrap	Technicienne de recherches archéologiques	Fouille, relevé et enregistrement
Vincent Pommier, Inrap	Topographe	Relevés topographiques

Équipe de post-fouille

Prénom Nom, organisme d'appartenance	Fonction	Tâches affectées dans le cadre de l'opération
Julie Cavanillas, Inrap	Responsable de recherches archéologiques	Étude, rédaction, synthèse, SIG, DAO, PAO
Stéphanie Le Berre, Inrap	Technicienne de recherches archéologiques	Tamisage des prélèvements
Vincent Pommier, Inrap	Topographe	Traitement des levés topographiques
Hélène Seignac, Inrap	Spécialiste - Anthracologue	Études des charbons de bois et sélection du matériel envoyé pour datation ^{14}C
Françoise Labaune-Jean, Inrap	Spécialiste - Céramologue	Études du mobilier céramique des périodes historiques et du petit mobilier
Océane Lierville, Inrap	Spécialiste - Céramologue	Études du mobilier céramique protohistorique
Vérane Brisotto, Inrap	Responsable d'opération - Spécialiste de l'étude lithique et du macro-outillage	Études du mobilier lithique
Myriam Le Puil-Texier	Spécialiste - Anthropologie	Étude archéo-anthropologique
Patrick Rossetti, CIRAM	Ingénieur CIRAM	Datation radiocarbone

Notice scientifique

Cette opération de diagnostic, couvrant une surface de 75 980 m², fait suite à une prescription des services de l'état motivée par la mitoyenneté de l'emprise au sud avec la voie antique reliant Morlaix à Lesneven, et par le contexte archéologique environnant très riche. Ce diagnostic permet de mettre une fois de plus en évidence la densité des structures archéologiques rencontrées sur le plateau léonard, plusieurs occupations diachroniques ont pu être mises au jour : âge du Bronze, âge du Fer et Antiquité.

En bas de pente, au sud de l'emprise ont été découvertes plusieurs sections de fossés datées de l'âge du Bronze.
A été mis en évidence au nord-ouest de l'emprise, un bâtiment sur tranchées de fondation et poteaux porteurs qui par comparaison pourrait être daté du campaniforme.
Ce diagnostic a sans nul doute permis de mettre au jour un site de l'âge du fer important se développant sur le rebord du plateau à partir de la fin du VI^{e}/fin V^{e} siècle avant notre ère jusqu'à la période laténienne. Il est caractérisé par une zone funéraire et une occupation située à une vingtaine de mètres au sud-sud-ouest qui pourrait correspondre à de l'habitat et/ou de l'artisanat et des traitements des céréales et fibres végétales. Il est possible que ce site se développe pour partie hors emprise au sud-sud-ouest, néanmoins cette parcelle (AB 311) est libre de construction. La présence d'une nécropole à inhumation est possible mais reste en l'état incertaine, il s'agirait de le vérifier grâce à un décapage extensif.
Un chemin également daté de l'âge du Fer a été mis en évidence sur le versant, il ne semble pas pourtant desservir l'occupation décrite précédemment.
Durant l'Antiquité c'est le bas du versant qui semble avoir été occupé avec la mise en évidence d'un chemin, d'un probable enclos dont les limites ont été mal perçues et d'un bâtiment semi-excavé. Le mobilier mis en évidence dans l'ensemble des structures datées de l'Antiquité permet de proposer une occupation antique dès la fin du I^{er} s. av. J.-C. jusqu'au moins le III^{e} s. apr. J.-C. Si cela reste anecdotique au regard des différents sites mis au jour, le fossé bordier de la voie antique reliant Morlaix à Lesneven pourrait avoir été mis en évidence.
Enfin, bien que la présence d'un enclos soit très fortement suspectée à mi-pente, son tracé reste en l'état imprécis.

État du site

L'état de conservation de ce site est bon et même très bon pour certaines structures qui semblent très préservées malgré un niveau d'apparition relativement haut 0.30 à 0.40 m sous la surface actuelle.

Les tranchées réalisées ont été rebouchées conformément à ce qui était stipulé dans la convention en prenant soin de replacer la terre végétale en partie sommitale des tranchées.

La surface totales des tranchées et sondage est de 6 639 m², pour une emprise prescrite de 75 980 m², correspondant donc à un ratio de 8.74%.

Localisation de l'opération

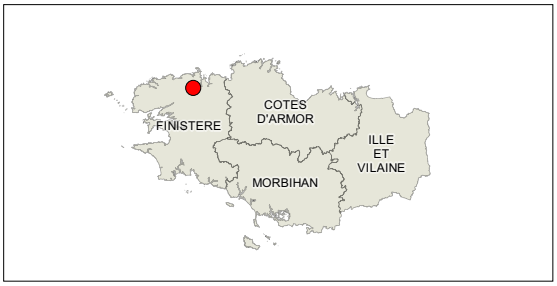

BRETAGNE
Finistère (29)
Plouvorn
Kerriou

X : 184 154
Y : 6 854 246
Z : 95 m NGF

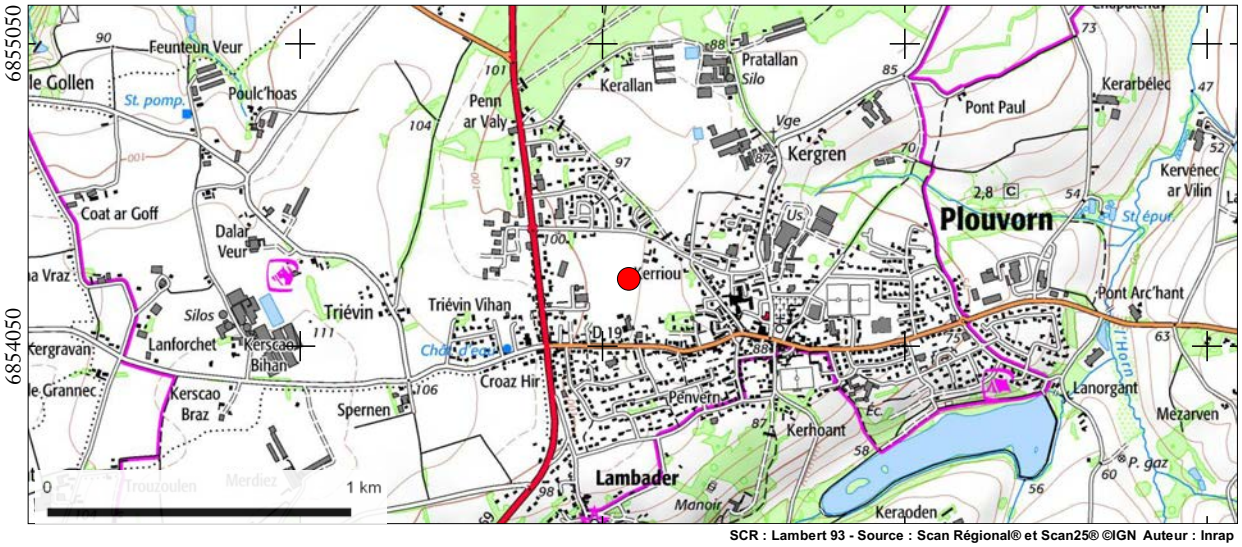

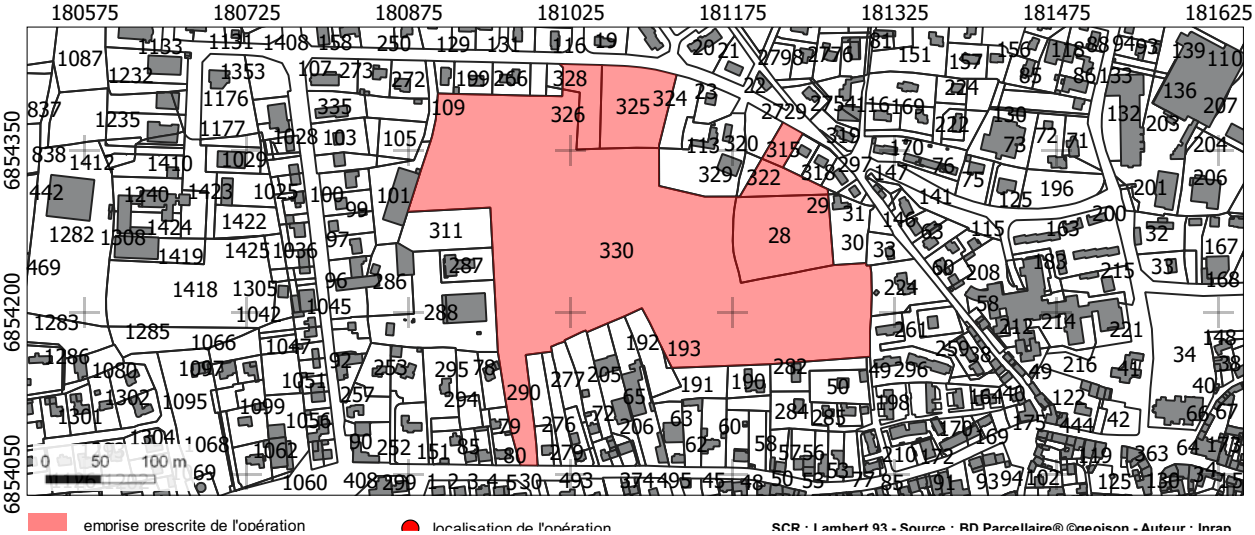

Arrêté de prescription avec extrait cadastral

D141718

PRÉFET
DE LA RÉGION
BRETAGNE
Liberté
Égalité
Fraternité

COURRIER REÇU LE
29 NOV. 2021
INRAP GO

Direction Régionale des Affaires Culturelles

Service régional
de l'archéologie

Affaire suivie par
Elena PAILLET
Poste : 02 99 84.59.00
elena.paillet@culture.gouv.fr
Réf. : 2021/EP/VC/510

Rennes, le 23 novembre 2021

Le Conservateur régional de l'archéologie

à

Monsieur le Directeur interrégional
INRAP Grand-Ouest
37 rue du Bignon
CS 67737
35577 CESSON SEVIGNE cedex

Objet : prescription de diagnostic archéologique
Réf : PLOUVORN **(29)**
Kerriou

PJ : arrêté n° 2021-417

Je vous prie de trouver ci-joint l'arrêté portant prescription de diagnostic archéologique relatif à l'opération rappelée ci-dessus en référence.

Les coordonnées du maître d'ouvrage de l'opération sont :

Commune de Plouvorn
rue du Gueven
29420 PLOUVORN

Le département du Finistère, ayant un service archéologique habilité, dispose d'un délai de quatorze jours pour faire connaître sa décision de réaliser le diagnostic. En conséquence, la présente notification ne vaut pas attribution du diagnostic archéologique.

Pour le Préfet de la région Bretagne
et par subdélégation,
l'adjoint du Conservateur régional de l'archéologie

Olivier KAYSER

Direction régionale des affaires culturelles
Hôtel de Blossac, 6 rue du Chapitre, CS 24405
35044 RENNES cedex

PRÉFET
DE LA RÉGION
BRETAGNE
Liberté
Égalité
Fraternité

COURRIER REÇU LE
29 NOV. 2021
INRAP GO

Direction régionale
des affaires culturelles

Service régional de
l'archéologie

Arrêté n° 2021-417 du 23 novembre 2021

ARRÊTÉ n° 2021-417 portant prescription de diagnostic archéologique

Le Préfet de la région Bretagne
Préfet d'Ille-et-Vilaine

VU le code du patrimoine, notamment son livre V ;

VU le décret du 28 octobre 2020 nommant M. Emmanuel BERTHIER, préfet de la région Bretagne, préfet de la zone défense et de sécurité Ouest, préfet d'Ille-et-Vilaine ;

VU l'arrêté préfectoral n° 2020 DRAC/DSG en date du 16 novembre 2020 portant délégation de signature à Mme Isabelle CHARDONNIER, Directrice régionale des affaires culturelles de Bretagne ;

VU l'arrêté préfectoral en date du 18 novembre 2020 portant subdélégation de signature ;

VU le dossier de demande anticipée de prescription archéologique préventive en date du 15 novembre 2021 présentée par la Commune de Plouvorn, rue du Gueven, 29420 Plouvorn, relatif au projet d'aménagement d'un lotissement sur un terrain situé à Plouvorn (29), reçue par la Direction régionale des affaires culturelles de Bretagne, Service régional de l'archéologie le 17 novembre 2021 ;

CONSIDÉRANT que, en raison de leur ampleur et de leur localisation, les travaux envisagés sont susceptibles d'affecter des éléments du patrimoine archéologique. Les données à notre disposition attestent en effet de la présence de vestiges archéologiques à proximité immédiate de l'emprise du projet qui s'inscrit en bordure du tracé de la voie romaine reliant Morlaix à Lesneven et au centre d'un espace bordé par plusieurs sites funéraires attribués à l'âge du Bronze.

CONSIDÉRANT qu'il est nécessaire de mettre en évidence et de caractériser la nature, l'étendue et le degré de conservation des vestiges archéologiques éventuellement présents afin de déterminer le type de mesures dont ils doivent faire l'objet ;

ARRÊTE

Article 1er : Un diagnostic archéologique sera réalisé sur le terrain faisant l'objet des aménagements, ouvrages ou travaux susvisés, sis en :

Région : Bretagne

Département : Finistère

Commune : PLOUVORN

Lieu-dit : Kerriou

Cadastre : section : AB parcelles : 28, 321, 323, 325, 326 et 330

L'emprise soumise au diagnostic, d'une superficie de 75 980 m², est figurée sur le document annexé au présent arrêté.

Le diagnostic archéologique comprend, outre une phase d'exploration du terrain, une phase d'étude qui s'achève par la remise du rapport sur les résultats obtenus.

Article 2 : Le diagnostic sera réalisé sous la maîtrise d'ouvrage de l'opérateur d'archéologie préventive retenu. Les conditions de sa réalisation seront fixées contractuellement en application des articles R. 523-30 à R. 523-38 du Code du patrimoine susvisé.

Il sera exécuté conformément au projet d'opération élaboré par cet opérateur sur la base des prescriptions annexées au présent arrêté.

Article 3 : Le mobilier archéologique recueilli au cours de l'opération de diagnostic est conservé par l'opérateur d'archéologie préventive retenu le temps nécessaire à son étude qui, en tout état de cause, ne peut excéder cinq ans à compter de la date de fin de la phase terrain du diagnostic.

Article 4 : La Directrice régionale des affaires culturelles est chargée de l'exécution du présent arrêté, qui sera notifié à la commune de Plouvorn, à la Mission archéologique du département du Finistère et à l'Institut national de recherches archéologiques préventives.

Fait à Rennes, le 23 novembre 2021

Pour le Préfet de la région Bretagne
et par subdélégation,
l'adjoint du Conservateur régional de l'archéologie

Olivier KAYSER

Destinataires :
Commune de Plouvorn
CD 29
INRAP

PRÉFET
DE LA RÉGION
BRETAGNE
Liberté
Égalité
Fraternité

Cahier des charges
annexé à l'arrêté n° 2021-417
portant prescription de diagnostic archéologique

Le Préfet de la région Bretagne
Préfet d'Ille-et-Vilaine

région :	Bretagne
département :	Finistère
commune :	PLOUVORN
lieu-dit :	Kerriou
cadastre :	section : AB parcelles : 28, 321, 323, 325, 326 et 330
pétitionnaire :	Mairie de Plouvorn

Emprise du diagnostic archéologique : 75 980 m2

Objectifs :
Le diagnostic doit permettre de détecter et caractériser les vestiges en documentant notamment leur emprise, leur nature, leur état de conservation, leur profondeur d'enfouissement, leur attribution chronologique et leur contexte environnemental. Ceci doit être précisé pour chaque phase d'occupation repérée.

En raison de leur nature, les travaux envisagés sont susceptibles d'affecter des éléments du patrimoine archéologique. Le projet s'implante en effet directement au nord du tracé de la voie romaine reliant Morlaix à Lesneven, et à proximité de plusieurs ensembles funéraires attribués à l'âge du Bronze. Il s'agit du site de Lambader, implanté plus au sud (n° EA 29 210 0014) et du tumulus de Penn ar Valy au nord (n° EA 29 210 0005). Le paysage archéologique se complète également par la présence de deux autres tumulus situés plus au nord, l'un à Kernonnen (n° EA 29 210 0006 ; Briard, 1966) et l'autre à Keruzoret (n° EA 29 210 0017). On notera également la présence de deux mottes castrales situées à environ 600 mètres à l'est et à l'ouest du projet.

Ces éléments conduisent ainsi à envisager la présence possible de traces d'occupation de ces périodes sur la parcelle concernée.

Principes méthodologiques :

La détection des vestiges nécessitera la réalisation de tranchées organisées de façon pertinente à la pelle mécanique munie d'un godet lisse. Les tranchées seront réalisées par passes successives y compris dans les recouvrements quaternaires.

Si des vestiges organisés sont détectés durant cette phase, des fenêtres élargies devront être réalisées afin de contribuer à caractériser et dater les structures et ensembles de structures mis au jour. Des sondages manuels pourront être effectués en fonction des besoins afin de préciser la complexité stratigraphique des structures, sur la base d'un échantillonnage raisonné et discuté avec le service régional de l'archéologie. Les strates et structures mises au jour devront être relevées et localisées sur plan.

Le rapport de diagnostic comportera une version en format pdf destinée à un versement dans la bibliothèque numérique de la D.R.A.C. Bretagne et consultable en ligne, ainsi qu'un plan d'emprise de l'opération de diagnostic, sur fond de courbes de niveau, figurant les zones ouvertes (sondages, fenêtres, zones éventuellement décapées), les localisations des stratigraphies observées et les structures mises au jour, en format shape.

Fait à Rennes, le 23 novembre 2021

Pour le Préfet de la région Bretagne
et par subdélégation,
l'adjoint du Conservateur régional de l'archéologie

Olivier KAYSER

PLOUVORN

EXTRAIT DU DOCUMENT GRAPHIQUE DU PLU DE PLOUVORN

(consultable sur le site de la commune)

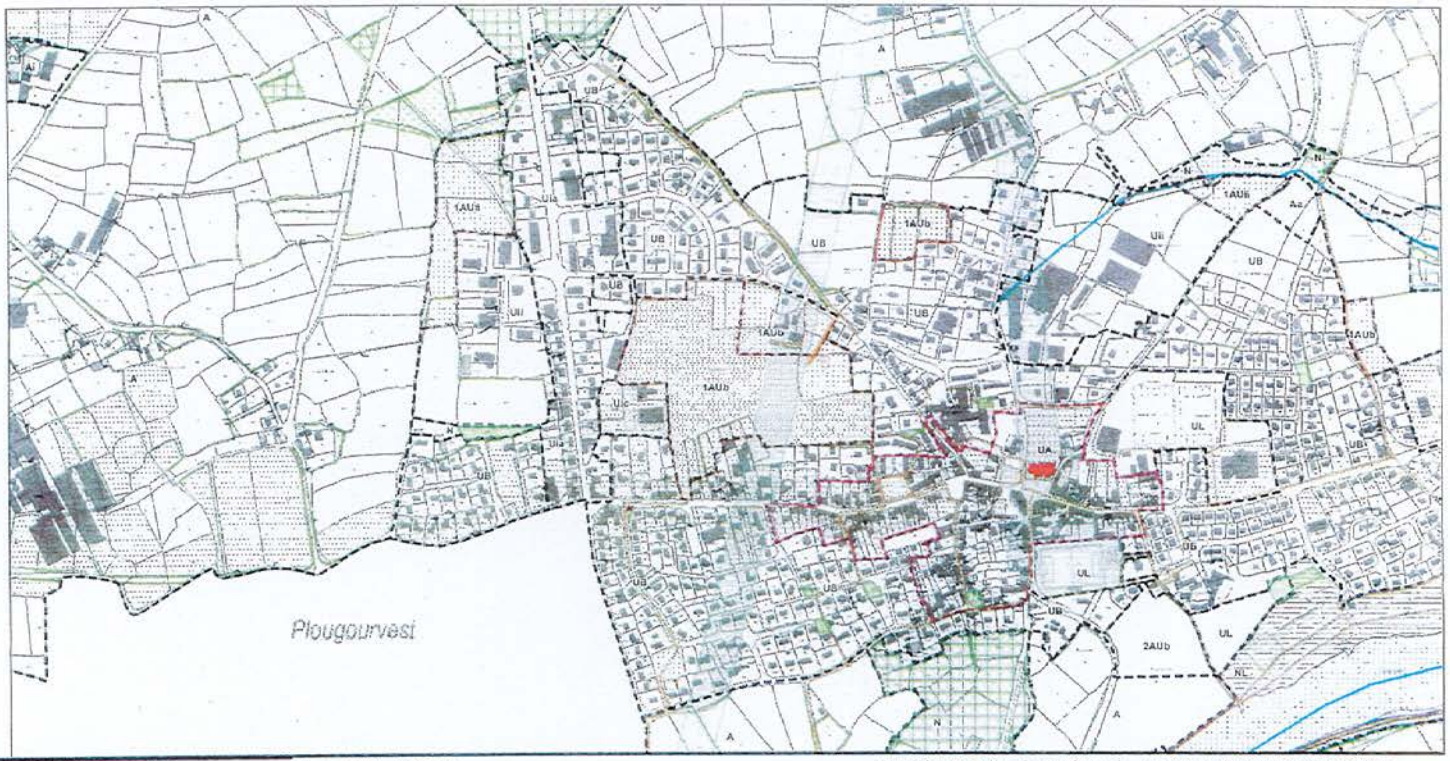

ZONAGE GRAPHIQUE

Zones urbaines à vocation d'habitat et d'activités compatibles avec l'habitat

UA : Secteur urbain correspondant au centre bourg traditionnel

UB : Secteur urbain correspondant aux formes urbaines périphériques

Zones urbaines à vocation d'équipements

UL : Zone à vocation sportive, de loisirs ou d'équipements d'intérêt collectif

Zones urbaines à vocation d'activités économiques

Ula : Secteur d'activités artisanales, de bureaux et d'entrepôt

Ulc : Secteur urbain à vocation d'activités commerciales et de services

Uli : Secteur d'activités industrielles, artisanales, et d'entrepôt

Zones à urbaniser à vocation d'habitat et d'activités compatibles avec l'habitat

1AUb : Secteur à urbaniser à court ou moyen terme à vocation d'habitat et d'activités compatibles avec l'habitat

Zones à urbaniser à vocation d'activités économiques

1AUi : Secteur à urbaniser à court et moyen terme à vocation d'activités industrielles, artisanales, et d'entrepôt

Zones agricoles

A : Secteurs à protéger en raison du potentiel agronomique, biologique ou économique des terres agricoles. Y sont seules autorisées les constructions et installations nécessaires aux services publics ou d'intérêt collectif et à l'exploitation agricole

Aa : Secteur agricole ne permettant pas l'implantation de nouvelles constructions agricoles

Ah : Secteur de Taille Et de Caractère d'Accueil Limitées (STECAL) à vocation d'habitat

Zones naturelles et forestières

N : Secteurs de la commune, équipés ou non, à protéger en raison soit de la qualité des sites, des milieux naturels, des paysages et de leur intérêt [...], soit de l'existence d'une exploitation forestière, soit de leur caractère d'espaces naturels

NC : Secteur à vocation d'activités carrières

NE : Secteur à vocation équipement de loisirs lié à l'hippodrome

NL : Secteur à vocation de loisirs

NU : Secteur à vocation d'équipement de ralentissement des eaux usées

PRESCRIPTIONS

- Espace boisé classé (L.113-1 du Code de l'urbanisme)
- Emplacement réservé
- Périmètre de diversité commerciale
- Secteur de mixité sociale (L.151-15 du Code de l'urbanisme)
- Secteur comportant des orientations d'aménagement et de programmation
- Emplacement réservé (chemin)

LES ÉLÉMENTS NATURELS À PROTÉGER À METTRE EN VALEUR OU À REQUALIFIER AU TITRE DE L'ARTICLE L.151-23 DU CODE DE L'URBANISME (SOUMIS À DÉCLARATION PRÉALABLE)

- Boisements significatifs
- Site naturel ou paysager à protéger
- Zones humides
- Talus ou haie remarquable à préserver
- Cours d'eau permanent (hiérarchisé D.B.F.M. 2011)

LES ÉLÉMENTS BÂTIS À PROTÉGER, À METTRE EN VALEUR OU À REQUALIFIER AU TITRE DE L'ARTICLE L.151-19 DU CODE DE L'URBANISME (SOUMIS À PERMIS DE DÉMOLIR OU À DÉCLARATION PRÉALABLE)

- Bâti remarquable
- Bâti intéressant
- Cône visuel
- Petit patrimoine

Détail du petit patrimoine

1) Calvaire
2) Calvaire
3) Croix ancienne
4) Croix ancienne
5) Croix ancienne
6) Croix ancienne
7) Croix ancienne
8) Fontaine
9) Lavoir

LES VOIES DE CIRCULATION À CONSERVER OU À CRÉER AU TITRE DE L'ARTICLE L.151-38 DU CODE DE L'URBANISME

- Liaison douce existante à conserver

AUTRES INFORMATIONS

- Zone de protection au titre de l'archéologie, degré de protection 1
- Zone de protection au titre de l'archéologie, degré de protection 2 (zone N demandée)

PERIMETRE DE L'OPERATION ET PLAN PARCELLAIRE

PLOUVORN

Aménagement d'un lotissement
secteur Kerriou

Périmètre opérationnel (selon parcelles acquises par l'EPF, par acte en date du 05/07/2021)

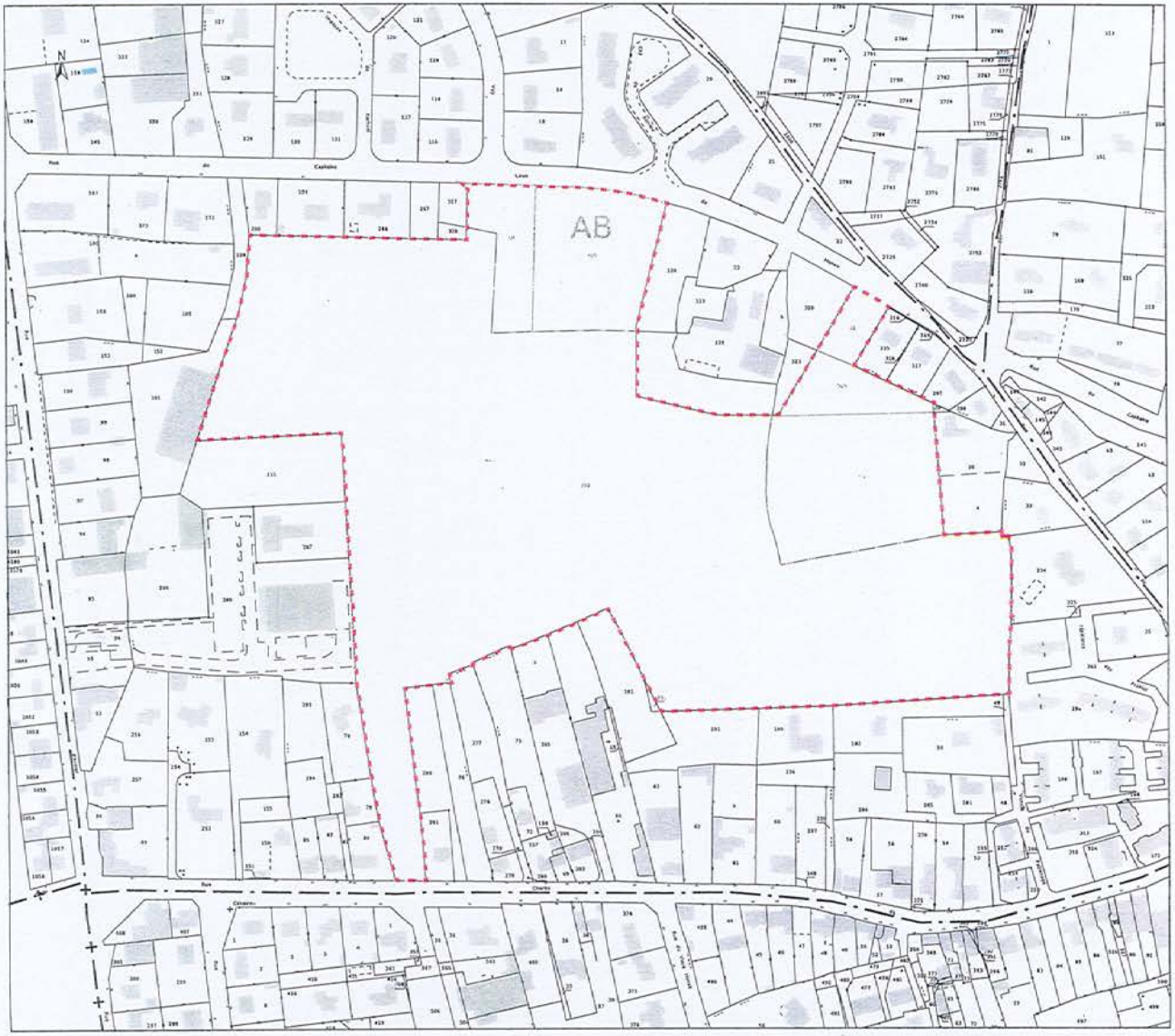

Échelle d'origine : 1/1000
Échelle d'édition : 1/2000

Projet scientifique d'intervention

PRÉFET
DE LA RÉGION
BRETAGNE
Liberté
Égalité
Fraternité

Service régional
de l'archéologie

Affaire suivie par
Elena PAILLET
Poste : 02 99 84.59.00
elena.paillet@culture.gouv.fr
Réf. : 2021/EP/VC/524

COURRIER REÇU LE
6305
09 DEC. 2021
INRAP GO

**Direction Régionale
des Affaires Culturelles**

Rennes, le 2 décembre 2021

Le Conservateur régional de l'archéologie

à

Monsieur le Directeur interrégional
INRAP Grand-Ouest
37 rue du Bignon
CS 67737
35577 CESSON SEVIGNE cedex

Objet : attribution de diagnostic archéologique

REF. :
Département : Finistère
Commune : PLOUVORN
Localisation : Kerriou

Arrêté : 2021-417

Conformément à l'article R.523-29 du code du patrimoine, il vous est attribué la réalisation du diagnostic relatif à l'opération rappelée ci-dessus en référence, le Département du Finistère n'ayant pas souhaité réaliser cette opération.

Pour le Préfet de la région Bretagne
et par subdélégation,
l'adjoint du Conservateur régional de l'archéologie

Olivier KAYSER

Direction régionale des affaires culturelles
Hôtel de Blossac, 6 rue du Chapitre, CS 24405
35044 RENNES cedex

Diagnostic archéologique D141718
PLOUVORN (29), KERRIOU

Projet scientifique d'intervention

1.- Identification administrative de l'opération

Région	**Bretagne**	Département	**Finistère**
Commune	**Plouvorn**		
Lieu-dit	**KERRIOU**		
Cadastre	**Plouvorn : AB 28, 321, 323, 325, 326, 330**		

Prescription	N° Arrêté	Réception	Surface	Attribution	Envoi projet
Initiale	**2021-417**	**29-11-2021**	**75980 m²**	**09/12/2021**	**18/01/2022**
Modification					

Contexte actuel	**Rural**	Contexte particulier	
Nature archéologique	**Non stratifié**		

2.- Problématique scientifique

Conformément à l'arrêté de prescription n°**2021-417**, l'objet du diagnostic consiste à reconnaître l'existence et l'état de conservation des vestiges archéologiques. Cette étude doit permettre de rassembler tous les éléments techniques et scientifiques permettant l'élaboration d'un éventuel projet de fouille préventive.

- ***Responsable d'opération pressenti :***

Madame Julie CAVANILLAS

3.- Contraintes techniques

Les contraintes techniques seront déterminées ultérieurement après contact avec l'aménageur.

4.- Méthodes et techniques envisagées

Le diagnostic consistera en la réalisation de tranchées de sondage régulièrement réparties sur l'ensemble du projet. La surface sondée devra couvrir au moins 7% de l'emprise affectée par les travaux. Des fenêtres de décapage plus larges pourront être implantées afin d'évaluer plus finement l'état de conservation des vestiges. Un nettoyage manuel et le cas échéant, une fouille par échantillonnage seront réalisés sur les vestiges les plus significatifs du site afin de caractériser la nature et la chronologie des différentes entités archéologiques.

5.- Volume des moyens prévus

- ***Tranche Ferme***

Moyens humains	Terrain	Etude
Responsable Opération	9 jours	5 jours
Technicien	8 jours	

Moyens mécaniques	Ouverture	Rebouchage
Pelle sur chenilles	8 jours	3 jours
Transfert	1	

- ***Tranche Provisionnelle***

Moyens humains	Terrain	Etude
Responsable Opération	5 jours	5 jours
Technicien	5 jours	3 jours
Dessinateur		6 jours
Spécialiste (Céramique + lithique)		6 jours
Spécialiste (autres)	3 jours	5 jours
Topographe	2 jours	2 jours

Moyens mécaniques	Ouverture	Rebouchage
Pelle sur chenilles	4 jours	2 jours
Transfert	1	

6.- Durée de réalisation et calendrier prévisionnel

Terrain	Etude	Calendrier prévu pour la phase terrain
13 jours	10 jours	Février 2022

7.- Observations complémentaires

Le Directeur-adjoint Scientifique et Technique

Nom du DAST
Michel-Alain Baillieu pc

Arrêté de désignation

PRÉFET
DE LA RÉGION
BRETAGNE
Liberté
Égalité
Fraternité

Direction régionale
des affaires culturelles

Service régional de l'archéologie

COURRIER REÇU LE
01 MARS 2022
INRAP GO

Arrêté n° 2022-083 du 23 février 2022

Arrêté n° 2022-083 modifiant l'arrêté n° 2022-021 du 19 janvier 2022 portant désignation du responsable scientifique de l'opération d'archéologie préventive prescrite par arrêté n° 2021-417

Le Préfet de la région Bretagne
Préfet d'Ille-et-Vilaine

VU le code du patrimoine, notamment son livre V - articles L 522-1 et R 522-1 ;

VU le décret du 28 octobre 2020 nommant M. Emmanuel BERTHIER, préfet de la région Bretagne, préfet de la zone défense et de sécurité Ouest, préfet d'Ille-et-Vilaine ;

VU l'arrêté préfectoral n° 2020 DRAC/DSG en date du 16 novembre 2020 portant délégation de signature à Mme Isabelle CHARDONNIER, Directrice régionale des affaires culturelles de Bretagne ;

VU l'arrêté préfectoral en date du 18 novembre 2020 portant subdélégation de signature ;

VU l'arrêté n° 2021-417 du 23 novembre 2021 portant prescription de diagnostic archéologique à réaliser à PLOUVORN, Kerriou (29) ;

VU l'arrêté n° 2022-021 du 19 janvier 2022 portant désignation du responsable scientifique de l'opération d'archéologie préventive prescrite par arrêté n° 2021-417 ;

CONSIDÉRANT qu'il convient de modifier le responsable d'opération.

ARRÊTE

Article 1er : l'arrêté n° 2022-021 portant désignation du responsable scientifique de l'opération d'archéologie préventive prescrite par arrêté n° 2021-417 est modifié comme suit :

Mme Julie CAVANILLAS (Institut national de recherches archéologiques préventives) est désignée responsable scientifique du diagnostic prescrit par l'arrêté n° 2021-417, n° opération : 6097.

Article 2 : La Directrice régionale des affaires culturelles est chargée de l'exécution du présent arrêté, qui sera notifié à Mme Julie CAVANILLAS.

Fait à Rennes, le 23 février 2022

Pour la Préfet de la région Bretagne,
et par subdélégation,
l'adjoint du Conservateur régional de l'archéologie

Olivier KAYSER

Destinataire :
Mme Julie CAVANILLAS

Copie :
Inrap

II. Résultats

1. Introduction

1.1. Circonstances de l'intervention

Le diagnostic réalisé par l'Inrap au lieu-dit *Kerriou* sur la commune de Plouvorn **(Fig. 2)** fait suite à un projet d'aménagement de lotissement, sur les parcelles AB 28, 321, 323, 325, 326 et 330 **(Fig. 1)**. Ce projet couvre une surface de 75 980 m².
La prescription de ce diagnostic archéologique résulte d'une demande anticipée de la part de la commune de Plouvorn au service régional de l'archéologie. Elle a été motivée par la mitoyenneté de l'emprise au sud avec le tracé de la voie romaine reliant Morlaix à Lesneven d'une part, et par la proximité de nombreux sites funéraires d'autre part.

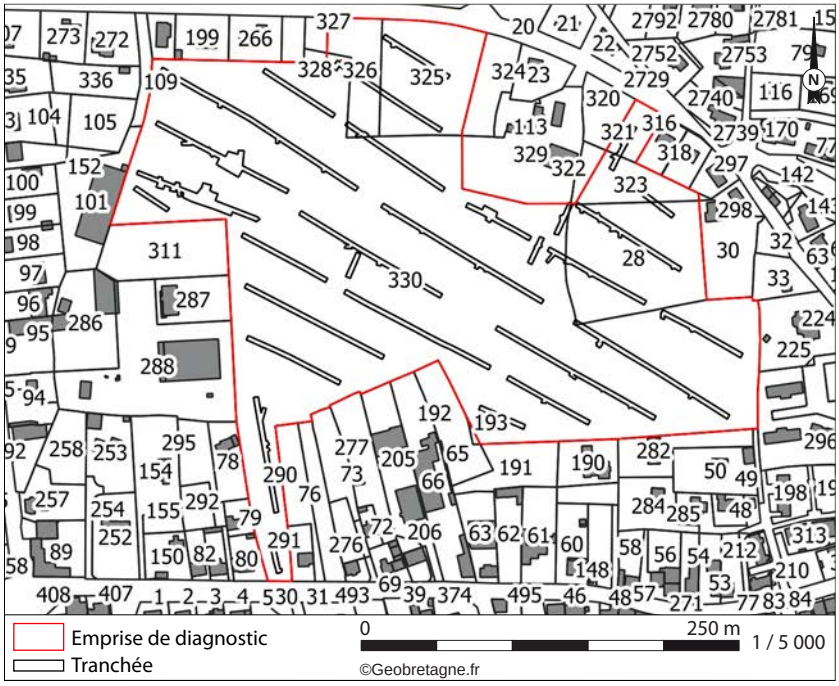

Fig. 1 Localisation des tranchées sur le cadastre ©J. Cavanillas

1.2. Cadre Géographique

La commune de Plouvorn est située à 15 km à l'ouest de Morlaix, à 8 km au nord-nord-est de Landivisiau et à 10 km au sud de la côte la plus proche. Située sur le plateau du Léon, le territoire communale est entaillé par quelques cours d'eau : ruisseau, rivière et petit fleuve côtier.

L'emprise est, quant à elle, localisée à moins de 800 m au nord de la rivière d'Argens et à 500 m au sud-ouest d'un ruisseau, tous deux affluents de l'Horn **(Fig. 2)**, petit fleuve côtier, s'écoulant du sud vers le nord et dont l'embouchure est située au sud de la forêt domaniale de Santec. L'emprise est idéalement située en bordure de plateau et sur le versant occidental de la vallée de l'Horn. La pente observée sur les parcelles de ce diagnostic est de l'ordre de 3.13%.

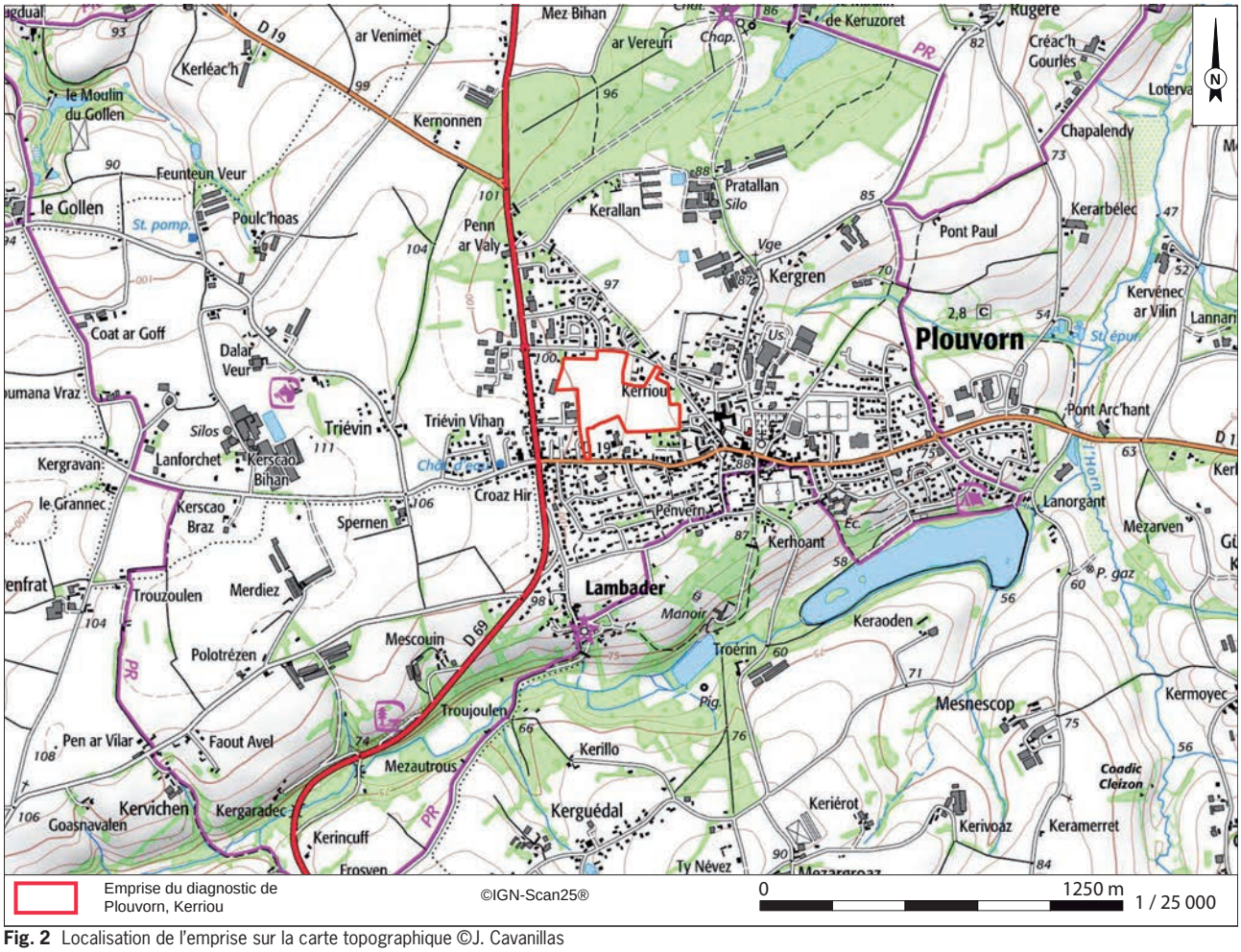

Fig. 2 Localisation de l'emprise sur la carte topographique ©J. Cavanillas

1.3. Cadre géologique

Localisée sur une faille nord-est/sud-ouest, l'emprise de ce diagnostic est scindée en deux faciès géologiques distincts.

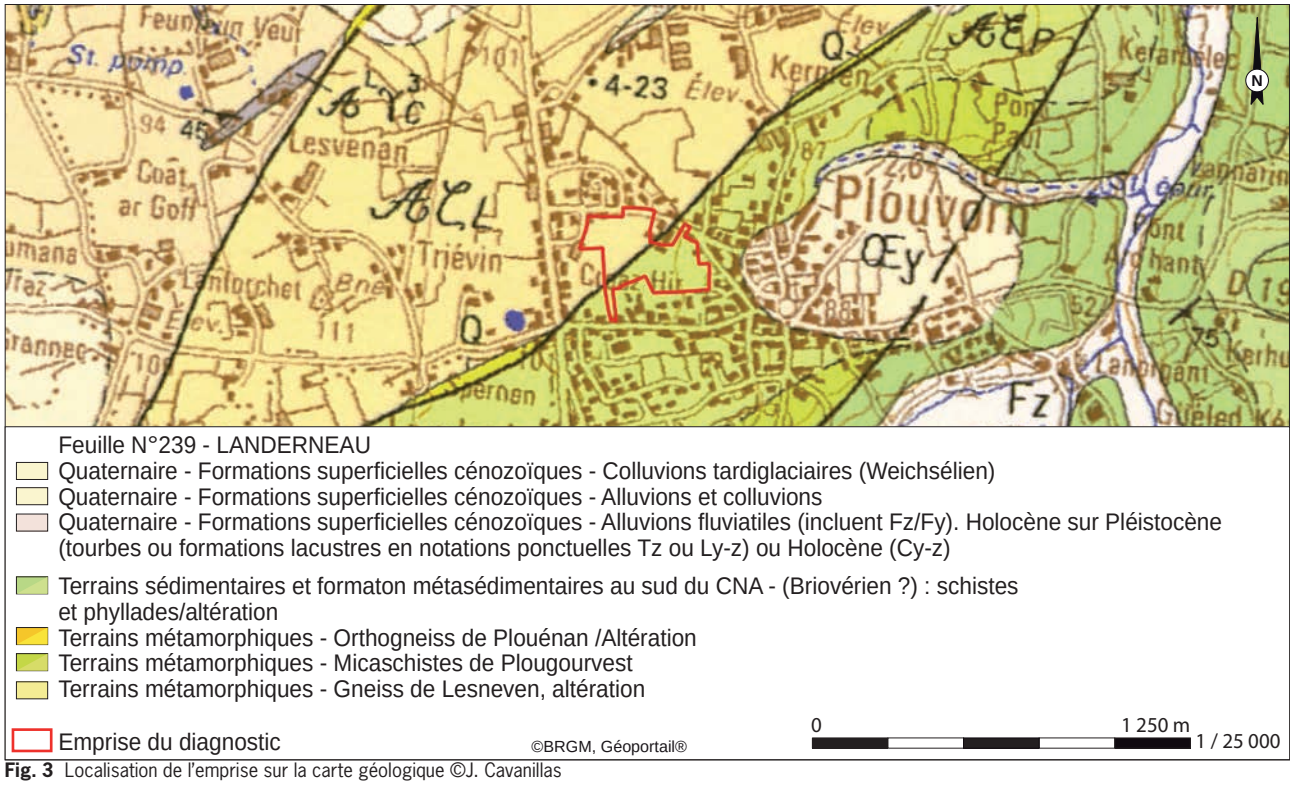

Fig. 3 Localisation de l'emprise sur la carte géologique ©J. Cavanillas

Le socle rocheux est constitué de roches métamorphiques : gneiss altéré de Lesneven dans la moitié nord- ouest de l'emprise et micaschiste de Plougourvest dans la moitié sud-est **(Fig. 3)**.

Le terrain naturel constitué d'argile jaune contenant des petits blocs de quartz est par ailleurs recouvert par des formations superficielles, appelées horizons 1 , 2, 3 et 4 **(Fig. 4)**.
L'horizon 1 correspond à un limon argileux brun-jaune mêlé de poches de terre végétale, contenant quelques charbons de bois et quelques quartz épars. Il coiffe l'horizon 4 ou le substrat, son épaisseur moyenne est de 0.20 m.

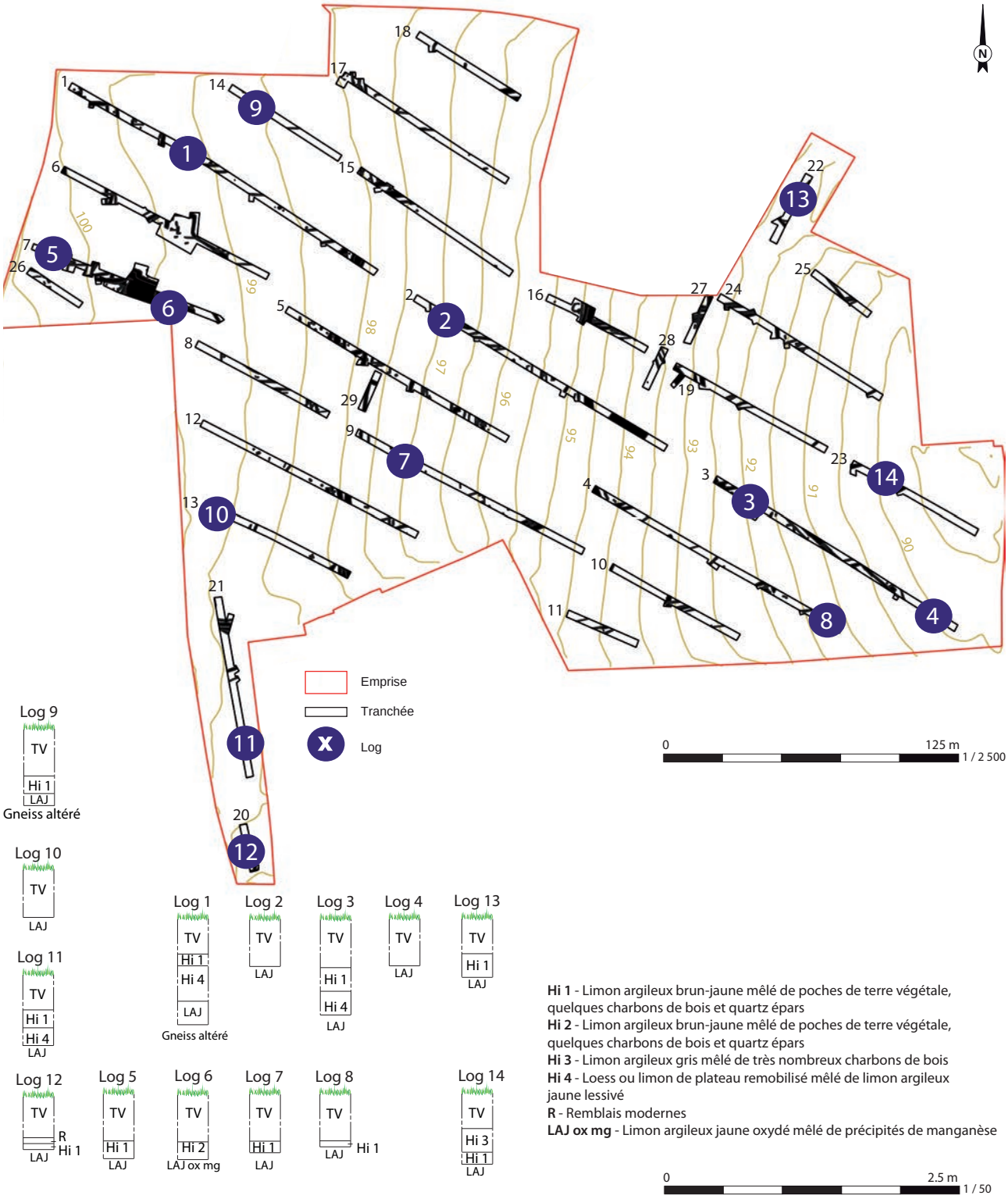

Fig. 4 Carte de localisation et présentation des Logs ©J. Cavanillas

L'horizon 2 correspond à un limon argileux brun-jaune mêlé de poches de terre végétale, contenant quelques charbons de bois et quelques quartz épars. Il recouvre le substrat sur une quinzaine de centimètres d'épaisseur. Il a uniquement été observé dans la partie sud-est de la tranchée 7, le terrain naturel présente d'ailleurs une altération prononcée résultant probablement de la stagnation d'eau ou du battement de nappe phréatique ayant conduit à la formation de précipités de manganèse et une oxydation des sédiments.
L'horizon 3 correspond à un limon argileux gris mêlé de très nombreux charbons de bois. Il apparaît sous la terre végétale et coiffe l'horizon 1 dans la tranchée 23 et se développe sur 0.20 m d'épaisseur.
L'horizon 4 correspond à des loess ou limon de plateau remobilisé mêlé de limon argileux jaune lessivé. Cet horizon se développe sur 0.20 à 0.30 m d'épaisseur, et recouvre le socle rocheux altéré. Ces niveaux loessiques ont été atteints et décapés dès lors que l'absence de structures archéologiques dans les horizons supérieurs avait été mise en évidence, malheureusement aucune structure ni aucun mobilier n'a été mis en évidence dans cet horizon 4.

Il ressort de l'étude de ces Logs que l'épaisseur des recouvrements varie entre 0.30 et 0.60 m sur l'ensemble de l'emprise du diagnostic, aucune accumulation particulière de sédiments en bas de pente pouvant correspondre à du colluvionnement n'a été mis en évidence 0.30 m d'épaisseur, et recouvre le socle rocheux altéré. Ces niveaux loessiques ont été atteints et décapé dès lors que l'absence de structures archéologiques dans les horizons supérieurs avait été mise en évidence, malheureusement aucune structure ni aucun mobilier n'a été mis en évidence dans cet horizon 4.

1.4. Contexte archéologique

De nombreux indices de site sont répertoriés sur la commune de Plouvorn **(Fig. 5)**. Neuf indices de site ont été recensés dans l'environnement proche de l'emprise de ce diagnostic. Ce riche environnement archéologique couvre un large spectre chronologique allant du Néolithique au Moyen Âge.
Une occupation du Néolithique est située à 1.10 km au nord-ouest de l'emprise, au lieu-dit *Poulc'hoas*, découvert en 2009, lors de prospections pédestres.
Par ailleurs quatre monuments funéraires de l'âge du bronze localisés sur une bande orientée nord/sud, de 1.7 km, en bordure de plateau culminant à 100 m d'altitude environ, jusqu'à la vallée de l'Argens au sud. L'emprise de ce diagnostic est dans l'alignement de ces monuments. Ces découvertes datent de 1830 pour le caveau de *Lambader*, 1983 pour le *tumulus* de *Penn Ar Valy*, 1966 pour le *tumulus* de *Kernonen* et 2009 pour celui de *Keruzoret*.
Deux occupations datées de l'Antiquité sont respectivement situées à 900 m au nord-ouest de l'emprise au lieu-dit *Kernonen*, découverte en 1877 et à 1 km au nord-est au lieu-dit *Pont-Paul*, découverte en 1976. En outre, l'emprise du diagnostic est bordée au sud par la voie antique reliant Morlaix à Lesneven.
Enfin deux mottes castrales sont localisées à 940 m à l'ouest au lieu-dit *Liors Ar Castel*, découverte en 1905 et à 900 m au sud-est au lieu-dit *Goarem An Dorgen*, découverte en 1972 et actuellement sous le plan d'eau artificiel dont les travaux ont débuté en 1968 et se sont achevés en 1976.

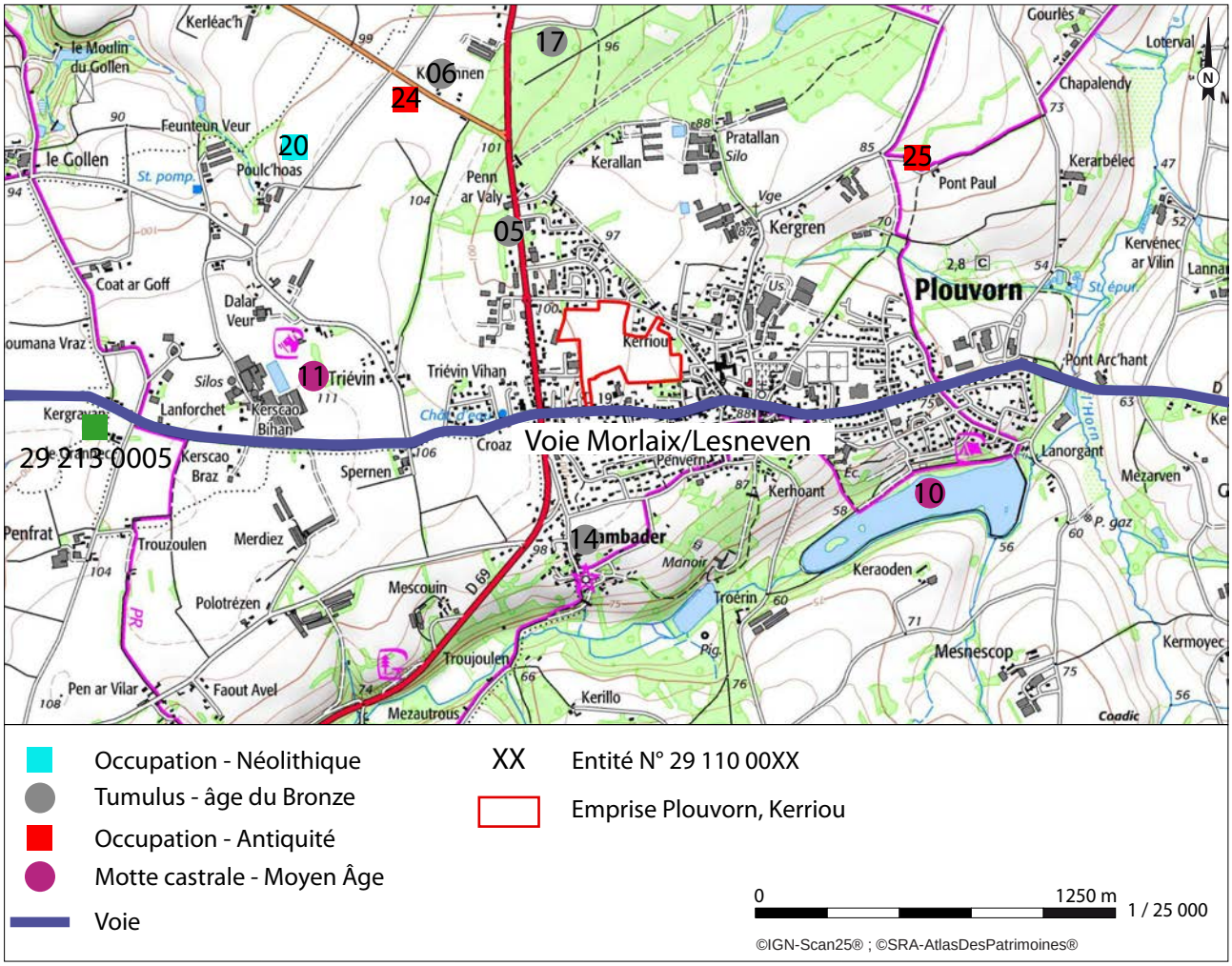

Fig. 5 Localisation de l'emprise sur la carte archéologique de la commune de Plouvorn ©J. Cavanillas

1.5. Stratégie et méthodes mises en oeuvre

Vingt-neuf tranchées linéaires ont été réalisées en ayant pour objectifs la reconnaissance, l'échantillonnage et le relevé des structures archéologiques rencontrées. Elles ont été effectuées avec une pelle hydrauliques sur chenilles de 20 tonnes, équipée d'un godet lisse de 3 m de largeur et de 2 m de largeur pour les sondages. Les ouvertures ont été réalisées par passes successives afin d'arrêter la profondeur de ces tranchées au niveau d'apparition des vestiges archéologiques.

Le choix d'une implantation discordante des tranchées par rapport à l'axe de la voie antique et à l'orientation des limites parcellaires actuelles a été fait afin de mettre en évidence le plus grand nombre de limites parcellaires anciennes possibles. Enfin les tranchées 20 et 21 sont orientées nord-nord-ouest/sud-sud-est en raison de la proximité de la voie antique d'une part et de la configuration de l'espace d'autre part.

Les tranchées ont fait l'objet d'un relevé manuel au 1/100 et de levés topographiques au GPS. Les structures archéologiques testées ont été relevées au 1/20. Un numéro a été attribué à chaque tranchée dans l'ordre de progression du diagnostic. Chaque structure ou anomalie a été identifiée par un numéro composé, réunissant le numéro de la tranchée suivi du numéro de fait. La couverture photographique a été réalisée à l'aide d'un appareil photo numérique, chaque cliché porte le numéro délivré par l'appareil, suivi du code chantier, suivi du sujet du cliché.

La phase terrain s'est déroulée du 23 février au 18 mars 2022 pour les ouvertures et le rebouchage.

Ont été ouvert 6 638.79 m², soit 8.74% de la surface totale **(Fig. 4)**.

2. Résultats

Au total, ce sont 389 anomalies de surface qui ont été observées et relevées dans les tranchées réalisées **(Fig. 6)**. 133 d'entre elles ont été testées manuellement ou sondées mécaniquement. Parmi celles-ci 37 ont été annulées, s'avérant être des anomalies géologiques, liées à la présence de blocs de quartz erratiques ayant été déplacés par les labours, ou correspondant à des placages, ou encore à des chablis.
Les 352 structures archéologiques avérées sont de plusieurs ordres : **des structures à vocation domestiques** : fosses, trous de poteau, structures de combustion, bâtiments semi-excavés; **des structures à vocation agro-pastorales** : chemin; **des structures à vocation funéraires** : tombe à crémation, tombes à inhumation. La présence d'un couvert végétal atteignant 1.50 m, sur les parcelles diagnostiquées, a compliqué l'analyse spatiale lors de la phase terrain.

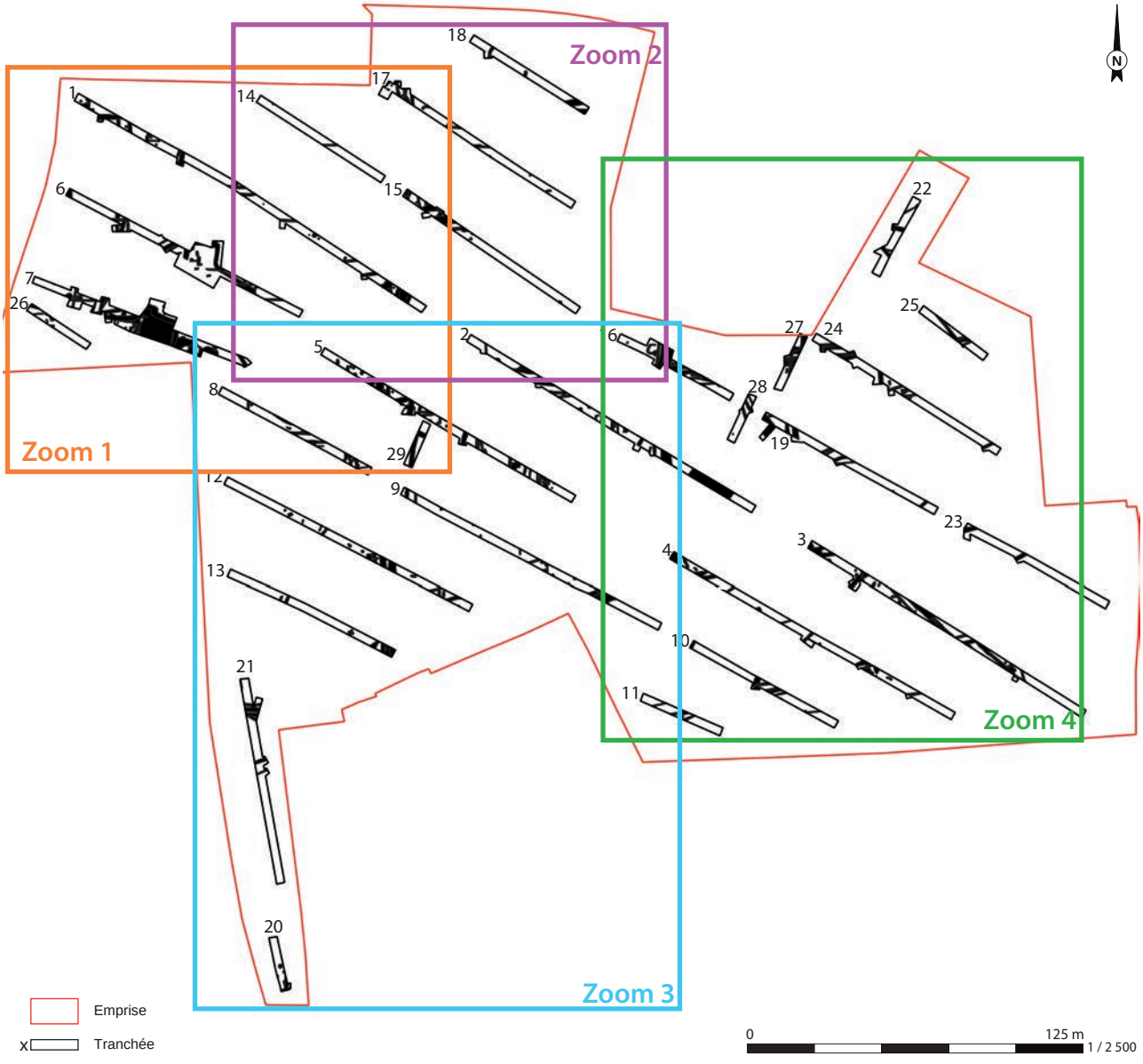

Fig. 6 Localisation des zooms sur le plan général ©J. Cavanillas

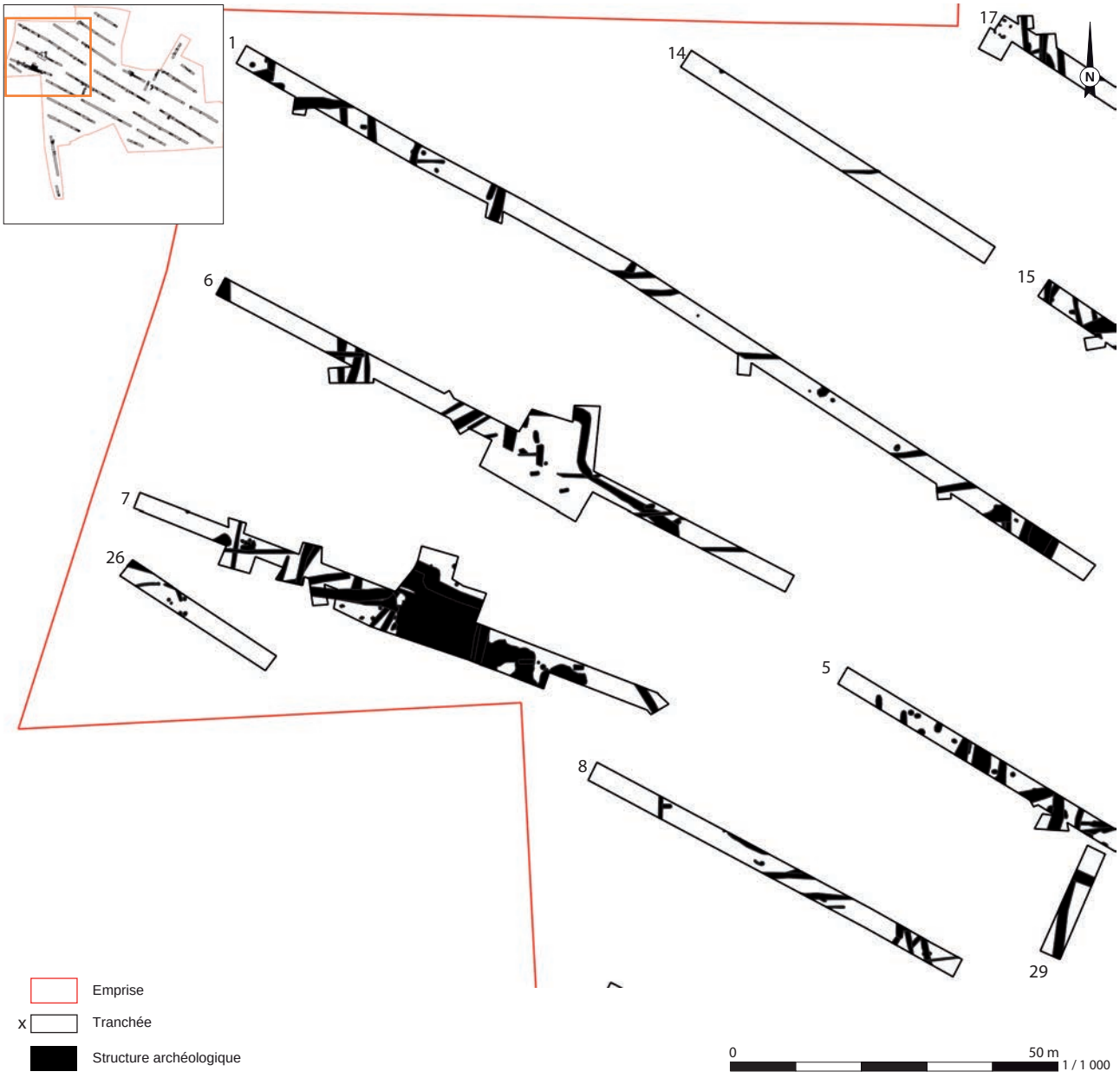

Fig. 7 Zoom 1, plan masse ©J. Cavanillas

Une première analyse spatiale globale permet de circonscrire l'espace au sein duquel ont été mises en évidence des structures à vocation funéraire, il s'agit de la moitié ouest de l'emprise, comprenant les tranchées 5, 6, 7, 8, 12 et 13 **(Fig. 7 et Fig. 9)**. Les tranchées 3, 24 et 27 ont livré des structures qui pourraient s'apparenter à des sépultures à inhumation, mais cela reste incertain **(Fig. 10)**. Les structures de combustion sont exclusivement localisées dans la tranchée 7, au nord-ouest de l'emprise **(Fig. 7)**. Les bâtiments semi-excavés sont situés en tranchées 7 et 19 **(Fig. 10)**. Les structures fossoyées sont très nombreuses : 226, soit 64 % des structures archéologiques avérées de ce diagnostic **(Fig. 7, Fig. 8, Fig. 9, Fig. 10)**. Deux chemins ont été mis en évidence lors de ce diagnostic. Le premier vraisemblablement moderne a été identifié dans la tranchée 15, il suit une orientation est-nord-est/ouest-sud-ouest. Le second probablement plus ancien aurait été identifié dans les tranchées 25, 24, 27, 16, 2, 5 et 8 et il traverse l'emprise de part en part et suit une orientation est-nord-est/ouest-sud-ouest. Enfin, il est possible que la partie sud de la tranchée 20 ait permis de mettre en évidence le fossé bordier septentrional de la voie antique.

Plusieurs zone de concentration de structures archéologiques ont pu être mises en évidence, le caractère diachronique de ces vestiges ne fait aucun

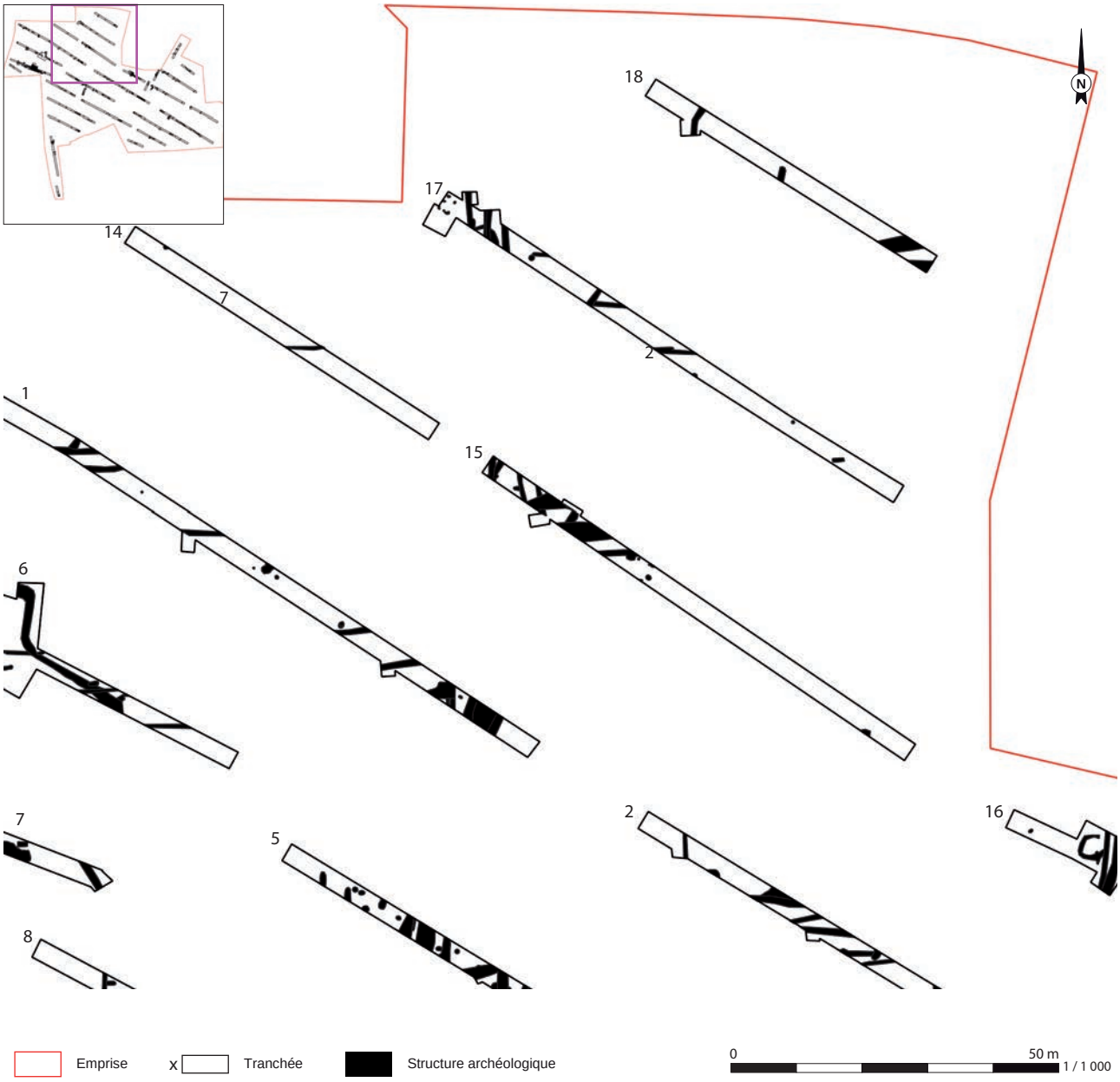

Fig. 8 Zoom 2, plan masse ©J. Cavanillas

doute. Le mobilier céramique mis au jour lors de l'ouverture des tranchées et de l'évaluation, ainsi que la chronologie relative des vestiges permettent de déterminer neuf grandes phases d'occupation.
222 tessons de très petites à moyennes dimensions ont été découverts, les études céramique menées par Françoise Labaune-Jean et Océane Lierville ont permis d'identifier plusieurs fourchettes chronologiques : âge du Bronze, âge du Fer, Antiquité, Moyen Âge, Renaissance et périodes modernes.

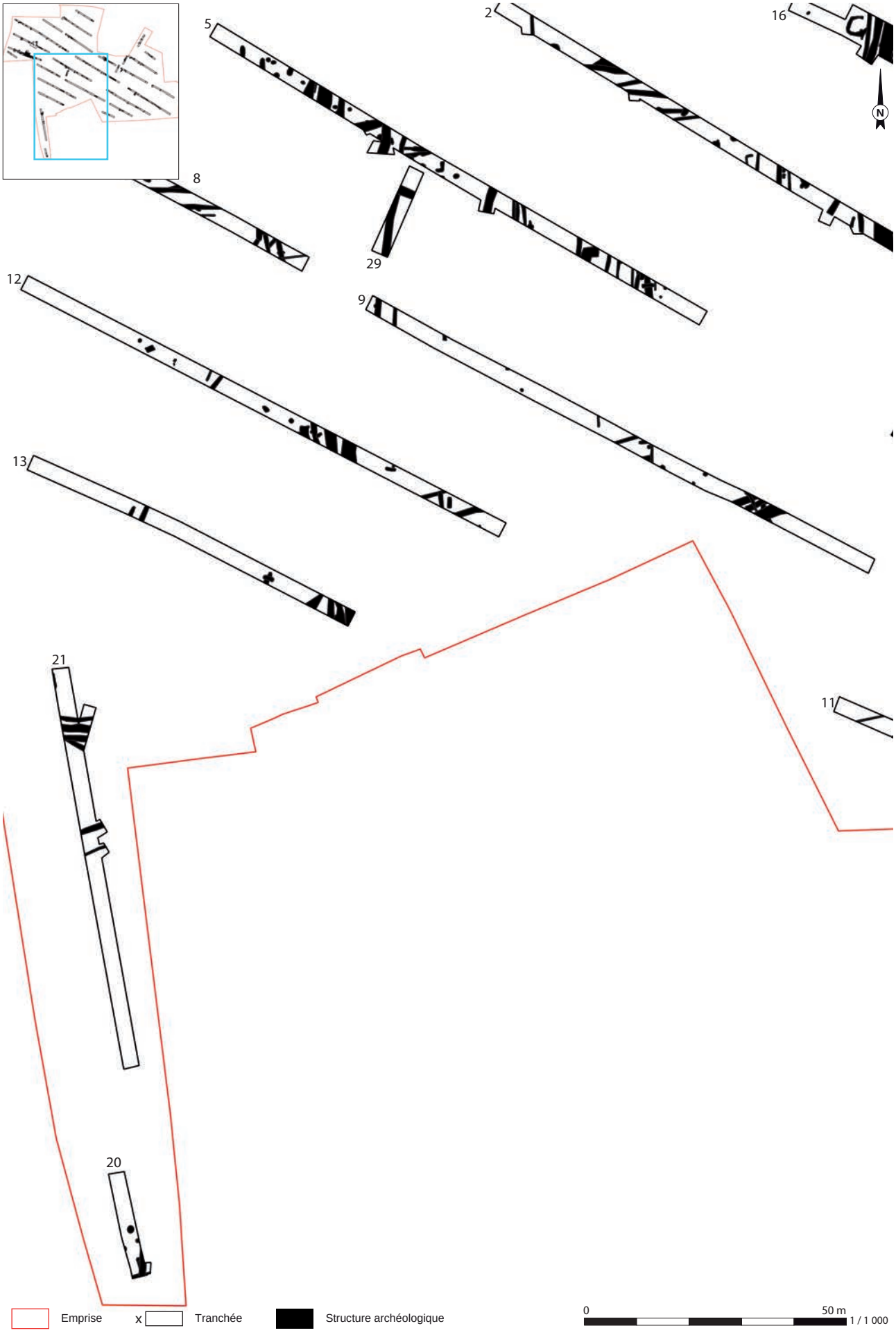

Fig. 9 Zoom 3, plan masse ©J. Cavanillas

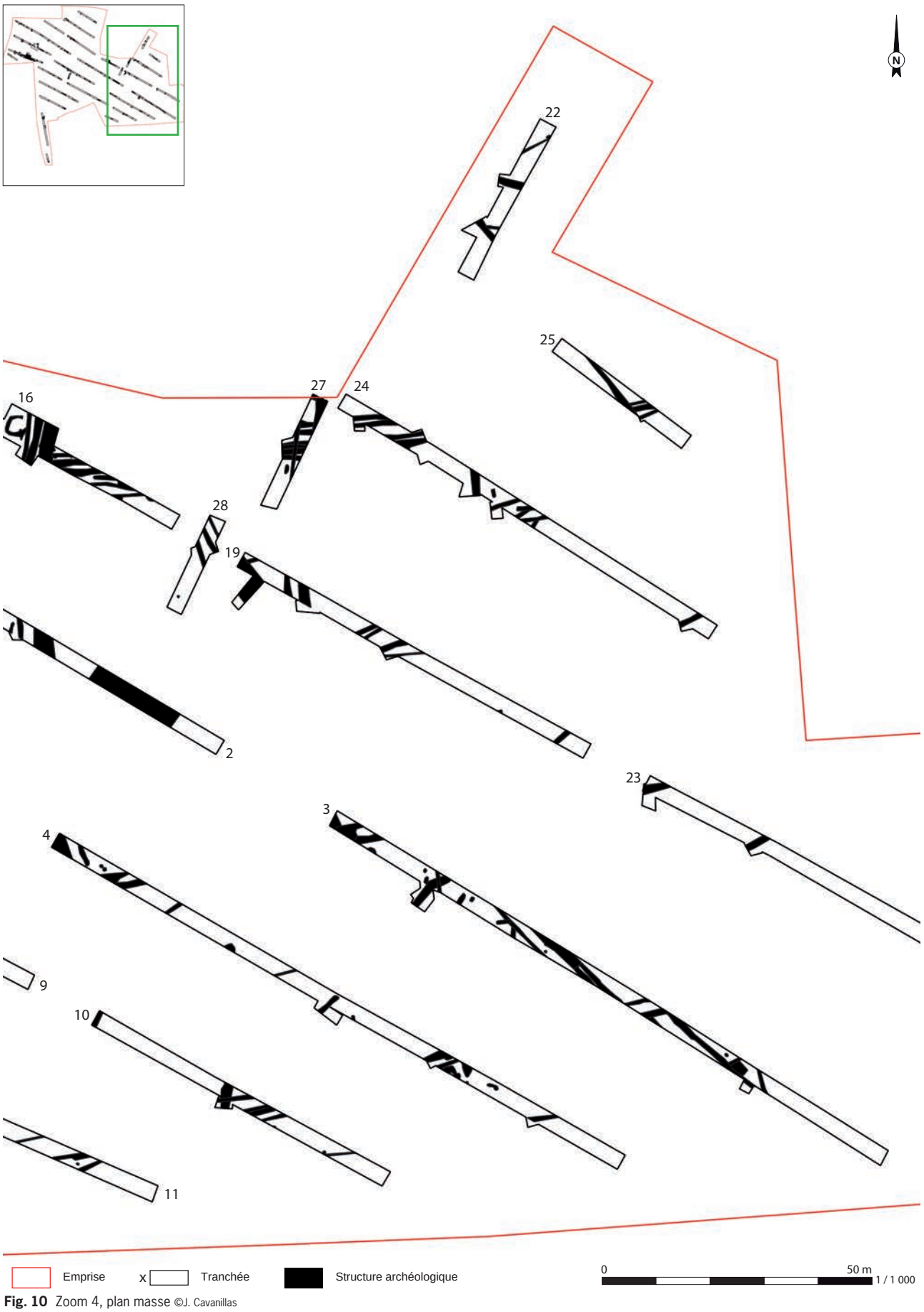

Fig. 10 Zoom 4, plan masse ©J. Cavanillas

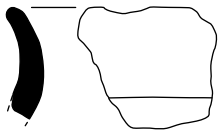

Tr. 10 - Sd 42 - F 10.2

Fig. 12 Céramique issue de la tranchée 10, sondage 42, F10.2 (dessin, DAO : Lierville © Inrap)

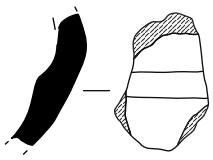

Tr.3 - Sd 40 - F 3.7

Fig. 11 Céramique issue de la tranchée 3, sondage 40, F3.7 (dessin, DAO : Lierville © Inrap)

2.1. Structuration du paysage et occupation à la Protohistoire ancienne

2.1.1. Un fossé de l'âge du Bronze

Sur l'emprise de ce diagnostic, la plus ancienne période représentée est l'âge du Bronze (**Fig. 14**). En effet, plusieurs sections de fossés ont livré du mobilier céramique pouvant être daté de la Protohistoire ancienne, de l'âge du Bronze et de la Protohistoire. Trois sections de fossés ayant livré du mobilier sont concernées : 10.2, 4.9 et 3.7, une quatrième section de fossé, F 23.2, sera présentée ici. Malgré l'absence de mobilier celle-ci semble, par comparaison, pouvoir se rapporter à ce parcellaire. Ce parcellaire est localisé dans la partie sud-est de l'emprise.

Le fossé 10.2 suit une orientation nord-nord-est/sud-sud-ouest, il apparaît à 0.46 m sous la surface actuelle. Dans le sondage 42, il mesure 2 m de largeur à l'ouverture et 0.50 m de profondeur (**Fig. 13**). Il présente un profil en cuvette dissymétrique. Une couche de limon argileux beige à jaune contenant de rares blocs de quartz et charbons de bois (us 6) comble le tiers inférieur du creusement. Les bords sont ensuite tapissés de limon argileux beige (us 2) pouvant correspondre à des effondrements de parois. Le fossé affecte alors un profil en V, de 0.37 m de profondeur. C'est une couche de limon argileux brun (us 1) contenant un tesson de céramique qui scelle le comblement de cette section de fossé.
Le tesson retrouvé dans le fossé 10.2 est un fragment de rebord de vase modelé à lèvre effilée (**Fig. 12**). La pâte grossière de teinte brune à rouge ne permet pas d'envisager une datation plus précise que la protohistoire ancienne.

Le fossé 4.9 suit une orientation nord-est/sud-ouest, il apparaît à 0.55 m sous la surface actuelle, sous l'horizon 1. Dans le sondage 41, il mesure 0.87 m de largeur à l'ouverture et 0.52 m de profondeur (**Fig. 13**). Il présente un profil en cuvette dissymétrique, très évasée sur son flanc nord-est. Une couche de limon argileux brun foncé contenant des charbons de bois (us 5) tapisse le fond du creusement. Se déposent ensuite deux couches de limon argileux brun clair (us 3) à beige (us 2), le fossé est alors curé pour partie et affecte un profil en V. Lors de ce dernier état il mesure 0.60 m de largeur et 0.22 m de profondeur, c'est l'horizon 1 qui scelle le comblement de cet état de curage. Un tesson de céramique daté de la Protohistoire a été mis au jour dans ce sondage. Cette section de fossé présente une extrémité vers le nord-est.

Le fossé 3.7 est orienté nord-est/sud-ouest dans la partie sondée et suit dans la tranchée une inflexion vers l'est-nord-est. Il apparaît à 0.50 m sous la surface actuelle. Dans le sondage 40, il mesure 1.50 m de largeur à l'ouverture et 0.74 m de profondeur (**Fig. 13**). Il présente un profil en V à fond plat. Une couche de limon argileux beige à jaune contenant de rares blocs de quartz et charbons de bois (us 6) tapisse le fond du creusement. Sur celle-ci se dépose une couche de limon argileux brun-clair contenant quelques charbons de bois (us 4). Cette couche présente une troncature centrale, permettant de proposer le curage de ce fossé, sur la quasi-totalité du creusement initial. Ce dernier affecte alors un profil irrégulier dont avec un surcreusement central en U, comblé de limon argilo-sableux brun (us 8 et 7) contenant plus ou moins de charbons. C'est une couche de limon brun (us 1) qui scelle le comblement de cette section de fossé.
Deux tessons de céramique de facture protohistorique ont été mis au jour dans l'us 7. Un de ces fragments de panse (**Fig. 11**), réalisé dans une pâte grossière brune à nombreuses inclusions de quartz, est pourvu d'un petit

cordon plat étiré dans la pâte. Le montage aux colombins à jointure oblique est bien visible en tranche du fragment. Quelques traces de suie tapissent la surface interne du récipient. Ce petit lot peut être daté de l'âge du Bronze.

Enfin le fossé 23.2, bien qu'il n'ait pas livré de mobilier datant, présente une morphologie et des dimensions comparables aux autres sections et peut de se fait être rapporté à cet ensemble de sections de fossé.
Le fossé 23.2 suit une orientation nord-est/sud-ouest, il apparaît à 0.40 m sous la surface actuelle, sous l'horizon 1. Dans le sondage 36, il mesure 0.80 m de largeur à l'ouverture et 0.58 m de profondeur (**Fig. 13**). Il présente un profil en V à fond plat. Une couche de limon argilo-sableux beige (us 9) tapisse le fond du creusement. Se déposent ensuite deux couches de limon argileux brun (us 7) à beige (us 2) (**Fig. 15**). L'us 2 a livré un large éclat de granite présentant une surface travaillée issue du fait 2 de la tranchée 23 (**Fig. 16**). L'objet épais de 2 cm présente une face convexe bouchardée, très faiblement polie sur les reliefs.

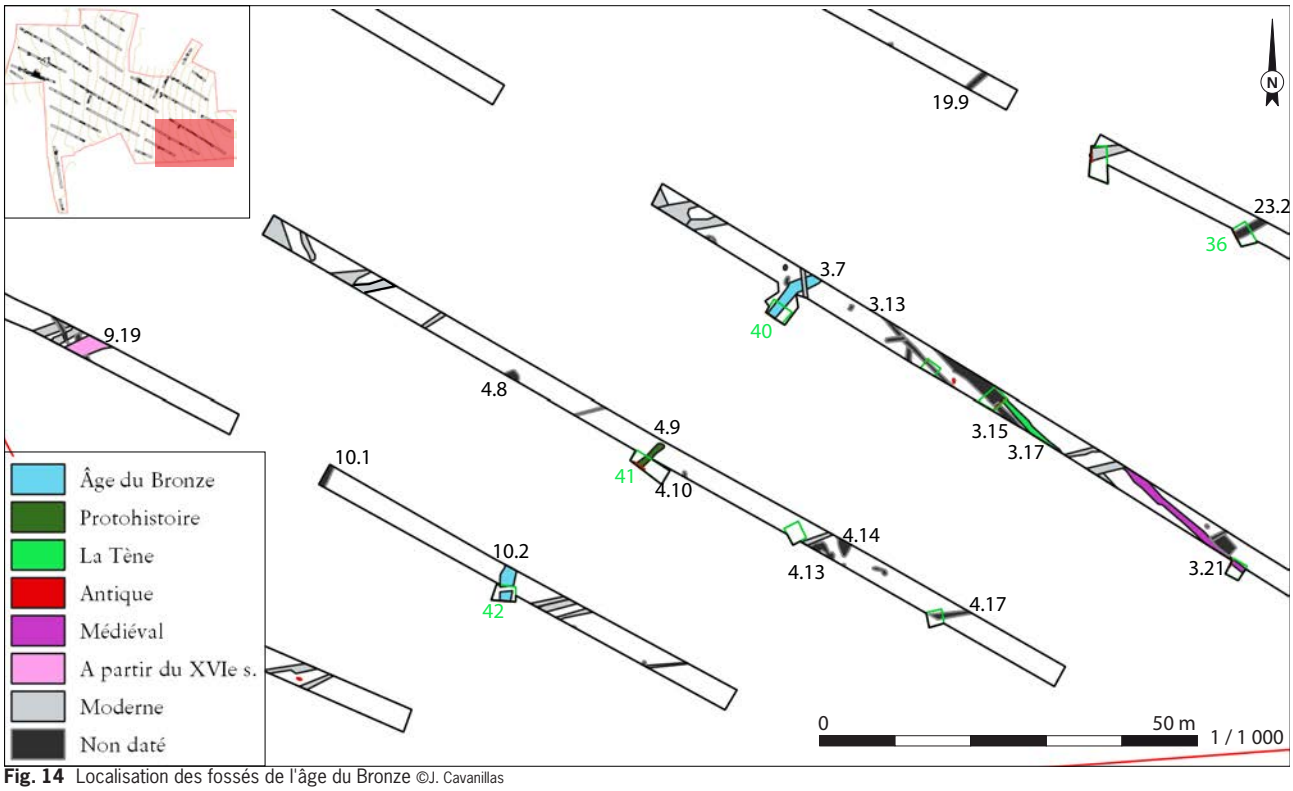

Fig. 14 Localisation des fossés de l'âge du Bronze ©J. Cavanillas

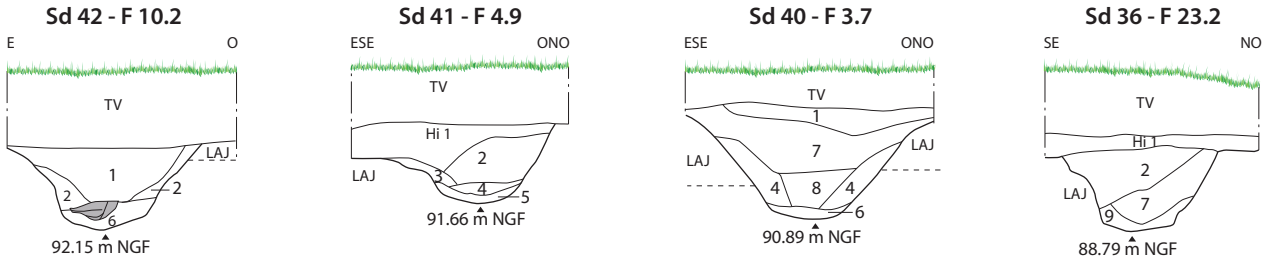

1 - Limon argileux brun
2 - Limon argileux beige
3 - Limon argileux brun clair, quelques poches jaunes
4 - Limon argileux brun clair, quelques charbons de bois
5 - Limon argileux brun foncé, charbons de bois
6 - Limon argileux beige à jaune, rares blocs de quartz et charbons de bois
7 - Limon argilo-sableux brun, charbons de bois
8 - Limon argilo-sableux brun
9 - Limon argilo-sableux beige

Fig. 13 Coupe des fossés 10.2, 4.9, 3.7 et 23.2 ©J. Cavanillas

Fig. 15 Vue du fossé 23.2 ©J. Cavanillas

La face opposée correspond à une surface de diaclase. La plus grande tranche, de l'objet de forme convexe présente également des négatifs d'enlèvements partiels, perpendiculaires à la face principale. Bien que l'objet ne montre pas d'impacts, attestant d'un enlèvement anthropique, il semble s'agir d'un éclat d'outil de mouture, détaché sans doute par une faiblesse de la roche. Les négatifs visibles sur le bord de l'éclat confirment un élément lié au façonnage d'une meule ou d'une molette.

Fig. 16 Plouvorn, « Kerriou », éclat d'outil de mouture ©V. Brisotto

En conclusion ces sections de fossés présentent des caractéristiques morphologiques et métriques comparables et pourraient être contemporaines. Par ailleurs la section 4.9 présente une extrémité vers le nord-est, et pourrait soit marquer l'interruption d'une limite parcellaire, ce qui est bien connu pour le parcellaire de l'âge du Bronze (**Blanchet 2013, Blanchet 2016, Blanchet 2018**), soit la présence d'un dispositif d'entrée si on les considère comme des fossés d'enclos à l'image de celui observé à Trézilidé (**Cavanillas 2021**). On ne peut toutefois pas parler de fossé d'enceinte à l'image de celui de la Z.A. de Bel Air à Lannion (**Escat 2013**). Ce parcellaire bronze s'inscrit d'un point de vu topographique en partie

Fig. 17 Vue de la coupe du fossé 26.9 ©L. Contu

basse de l'emprise de ce diagnostic, entre les courbes de niveau 89.5 et 93.5 m NGF. Le tracé de ces fossés semble s'affranchir pour partie de la topographie. La pente des fossés semble suivre une orientation du sud-ouest vers le nord-est.

2.1.2. Un bâtiment sur tranchée de fondation

Au nord-ouest, en limite d'emprise ont été mis en évidence dans la tranchée 26, plusieurs petits fossés curvilignes (26.4 et 26.9) et trous de poteau (26.1, 26.2, 26.3, 26.5, 26.6, 26.7) (**Fig. 18**).Ces structures sont encaissées dans du limon argileux brun-jaune.

Le fossé 26.4 suit une orientation globale nord-ouest/sud-est, il apparaît à 0.40 m sous la surface actuelle. Il mesure 0.38 m de largeur et son comblement superficiel est constitué de limon argileux brun-gris contenant des charbons de bois.

Le fossé 26.9 suit une orientation globale est/ouest, il apparaît à 0.30 m sous la surface actuelle. Il mesure 0.38 m de largeur et son comblement superficiel est constitué de limon argileux brun-gris contenant quelques charbons de bois (**Fig. 17**, **Fig. 18**, **Fig. 19**). Il semblerait que lors de l'ouverture de la tranchée, nous ayons outrepassé le niveau d'apparition de la structure en raison d'une mauvaise visibilité liée à une lumière rasante après une belle averse. Ce petit fossé présente un profil en U de 0.25 m de profondeur. Seul le comblement du fond de la structure était lisible dans le fond

Fig. 18 Vue générale du bâtiment ©J. Cavanillas

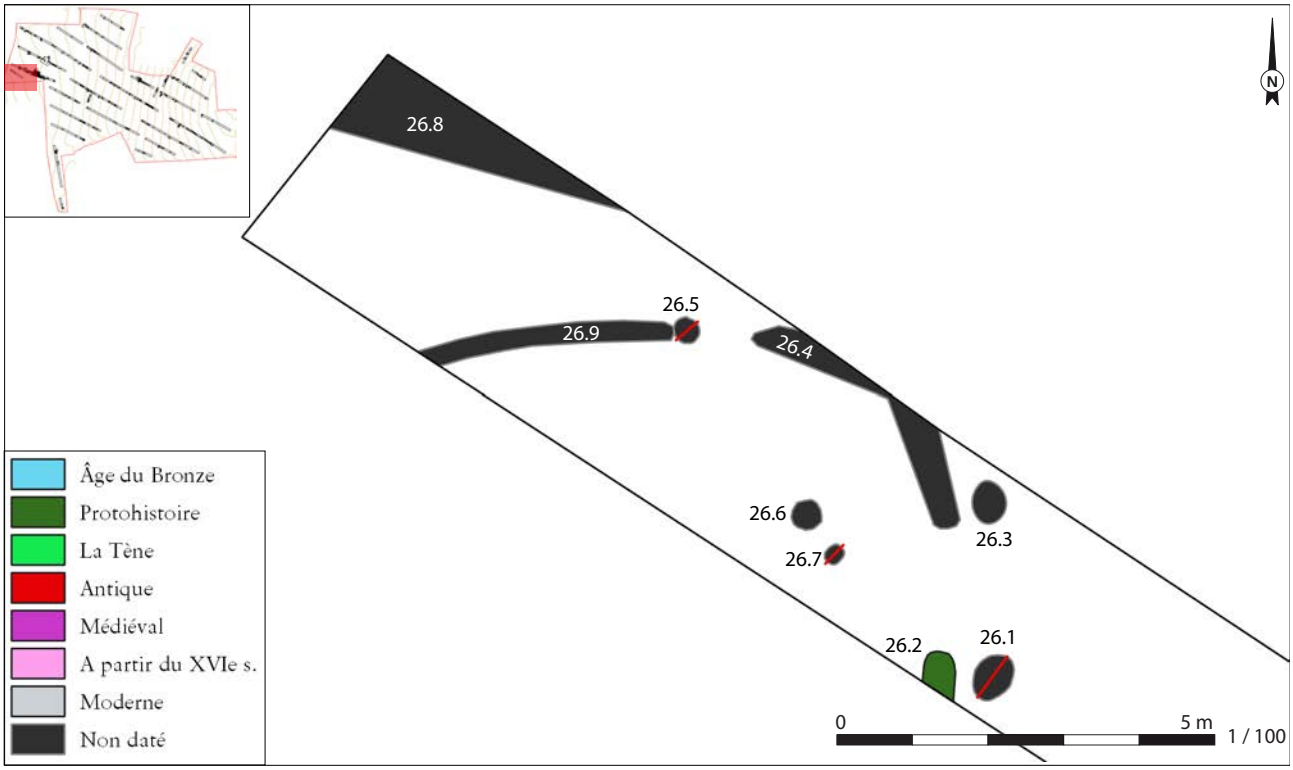

Fig. 19 Localisation et plan du bâtiment ©J. Cavanillas

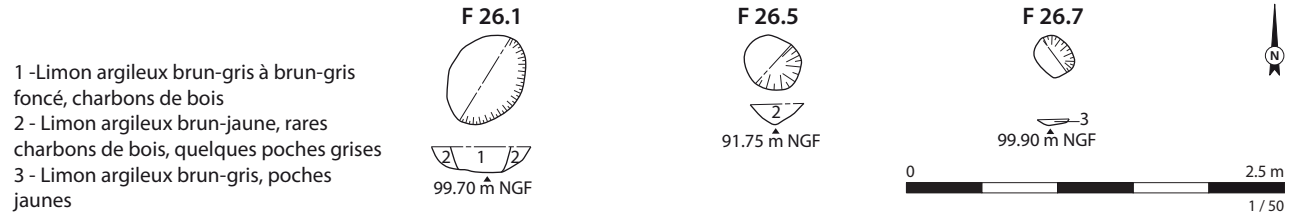

Fig. 20 Coupe des trous de poteau 26.1, 26.5 et 26.7 ©J. Cavanillas

Le trou de poteau 26.1 apparaît à 0.40 m sous la surface actuelle. De plan ovoïde, il mesure 0.60 m de longueur, 0.49 m de largeur et 0.18 m de profondeur (**Fig. 18**, **Fig. 19**, **Fig. 20**, **Fig. 21**). Sa coupe stratigraphique a permis de mettre en évidence un négatif de poteau de 0.40 m de largeur, caractérisé par un limon argileux brun-gris à gris foncé, contenant des charbons de bois. Ce trou de poteau présente un profil en cuvette

Le trou de poteau 26.2 apparaît à 0.40 m sous la surface actuelle. De plan circulaire, il mesure 0.46 m de diamètre et est comblé de limon argileux brun-gris contenant des charbons de bois et un tesson de céramique daté de la Protohistoire (**Fig. 18**, **Fig. 19**, **Fig. 21**).

Le trou de poteau 26.3 apparaît à 0.40 m sous la surface actuelle. De plan ovoïde, il mesure 0.54 m de longueur et 0.50 m de largeur. Son comblement superficiel est constitué de limon argileux brun-gris, contenant des charbons de bois (**Fig. 18**, **Fig. 19**, **Fig. 21**).

Le trou de poteau 26.5 apparaît à 0.45 m sous la surface actuelle. De plan circulaire, il mesure 0.38 m de diamètre et 0.12 m de profondeur. Son profil en V est comblé de limon argileux brun clair, contenant des poches jaunes (**Fig. 18**, **Fig. 19**, **Fig. 21**).

Le trou de poteau 26.6 apparaît à 0.45 m sous la surface actuelle. De plan circulaire, il mesure 0.37 m de diamètre. Son comblement superficiel est constitué de limon argileux brun-gris, contenant des charbons de bois (**Fig. 18**, **Fig. 19**, **Fig. 21**).

Le trou de poteau 26.7 apparaît à 0.45 m sous la surface actuelle. De plan circulaire, il mesure 0.36 m de diamètre et 0.04 m de profondeur. Son comblement superficiel est constitué de limon argileux brun-gris, contenant des poches jaunes (**Fig. 18**, **Fig. 19**, **Fig. 20**, **Fig. 21**).

L'état de conservation observé pour les structures testées s'explique sans aucun doute par le niveau de décapage déjà évoqué précédemment, il faut de ce fait compter 0.20 m d'épaisseur supplémentaire.
Ce type de bâtiment sur tranchées de fondation est connu au Campaniforme. Leur plan est en amande et leur tranchée de fondation est continue à l'exception de l'aménagement d'entrée. Le fond de la tranchée est impacté par des trous de poteau, le plus souvent jointifs. Certains trous de poteau peuvent être de dimensions plus importantes, il s'agit dans ce cas de poteau porteur, qui permettent d'asseoir la charpente. Quatre bâtiments campaniformes ont été mis en évidence récemment sur la fouille de *Keraorec* à Concarneau, conduite par Valérie Le Gall, en 2021 (**Le Gall à paraître**) ou encore sur la fouille de *Ty Bos II* à Quimper, menée par Serge Mentele, en 2019, où un bâtiment en amande avait été mis au jour (**Mentele 2021**).
Le probable bâtiment mis au jour dans la tranchée 26 ne présente au regard du relevé en plan pas de tranchée de fondation continue mais si l'on prend en compte les 0.20 m descendu à tort, on peut aisément imaginer que la tranchée présente moins d'interruption, il serait alors de ce fait comparable aux exemples précédemment cités.

Fig. 21 Vue générale du bâtiment ©J. Cavanillas

2.2. Les vivants et les morts à l'âge du Fer

De nombreuses structures mises au jour datent de la Protohistoire : âge du Fer, transition Hallstatt Final/Tène ancienne, la Tène. Elles sont pour l'essentiel localisées dans l'angle nord-ouest de l'emprise du diagnostic, sur le plateau, entre les courbe 99 et 101 m NGF. Quelques structures fossoyées et quelques fossés parcellaires sont dispersés sur le reste de l'emprise (**Fig. 22**).

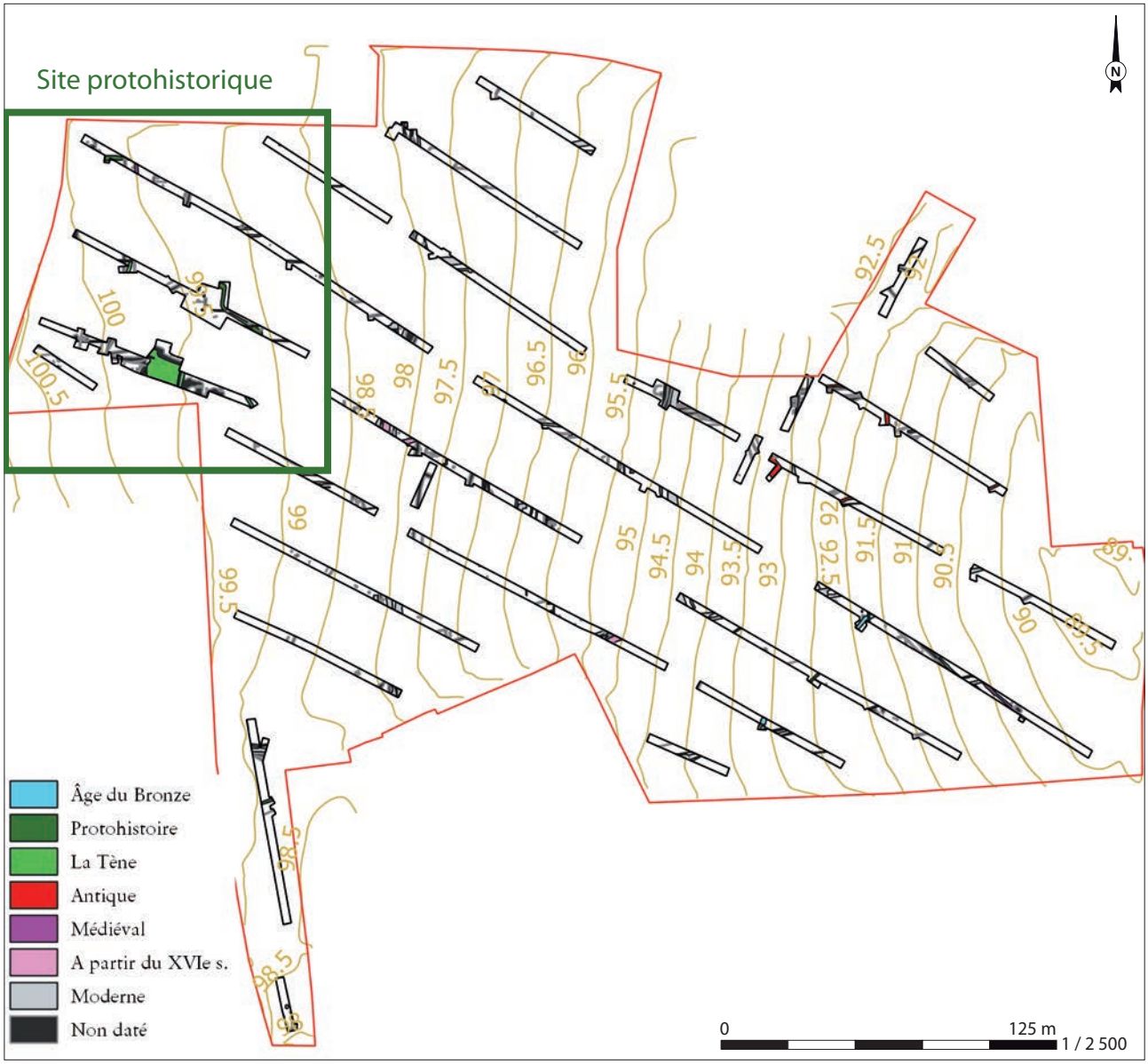

Fig. 22 Localisation du site protohistorique ©J. Cavanillas

Au cours de cette période plusieurs type de structures ont pu être mises en évidence : une tombe à crémation secondaire, des sépultures à inhumations, des fossés, des trous de poteau, une grande fosse et des foyers.
S'il n'est pas possible dans le cadre de ce diagnostic d'établir une chronologie fine des différentes structures de l'âge du Fer, une chronologie relative partielle a pu être mise en évidence. Bien qu'elle soit discutable et manque de précision, c'est sur celle-ci que s'appuiera en grande partie le développement de cette partie.

2.2.1. Une tombe à crémation secondaire de la transition Hallstatt final/ Tène ancienne

L'incinération en urne de la transition Hallstatt final/Tène ancienne, **F 6.12**, a été mise au jour, au milieu de la tranchée 6. Localisée sur le plateau, elle a été légèrement écrêtée lors de l'ouverture de la tranchée (**Fig. 26**). Le contour de la fosse dans laquelle, le vase a été déposé, est lisible à partir de 0.29 m sous la surface actuelle, néanmoins ce dernier devait s'ouvrir plus haut, dans la terre végétale. Le plan du creusement est ovoïde et présente un profil en cuvette, il mesure 0.70 m de longueur, 0.67 m de largeur et 0.16 m de profondeur (**Fig. 23**). Il est comblé de limon argileux brun foncé mêlé de poches jaunes à beiges, contenant de rares charbons de bois millimétriques et de rares esquilles d'os brûlés, ainsi que quelques tessons de céramique (**Fig. 24, Fig. 25**).

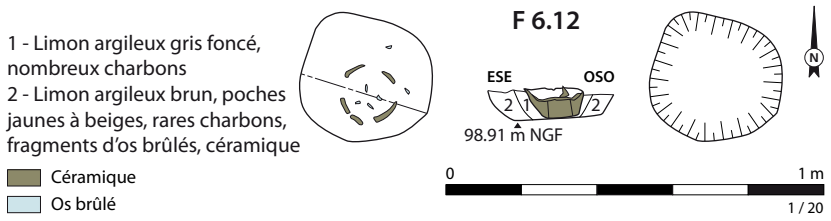

Fig. 23 La tombe à crémation secondaire 6.12 ©J. Cavanillas

Fig. 25 Vue en plan de la tombe à crémation secondaire 6.12 ©L. Contu

Fig. 24 Vue de la coupe de la tombe à crémation secondaire 6.12 ©L. Contu

Le contenu de l'urne a été fouillé au cours de la post-fouille. Lors de la phase d'évaluation du diagnostic, deux extensions au sud-ouest et au nord-est ont été réalisées autour de cette tombe à crémation afin d'en mettre au jour de nouvelles. Malheureusement aucune autre tombe à crémation n'a été mise au jour. Un fossé, F 6.13, au tracé irrégulier semble néanmoins éviter la tombe à crémation secondaire 6.12, en la contournant. En outre, des fosses s'apparentant dans leurs caractéristiques morphologiques et métriques à des tombes à inhumation ont été mises en évidence au sud-ouest et à l'est-sud-est de F 6.12.

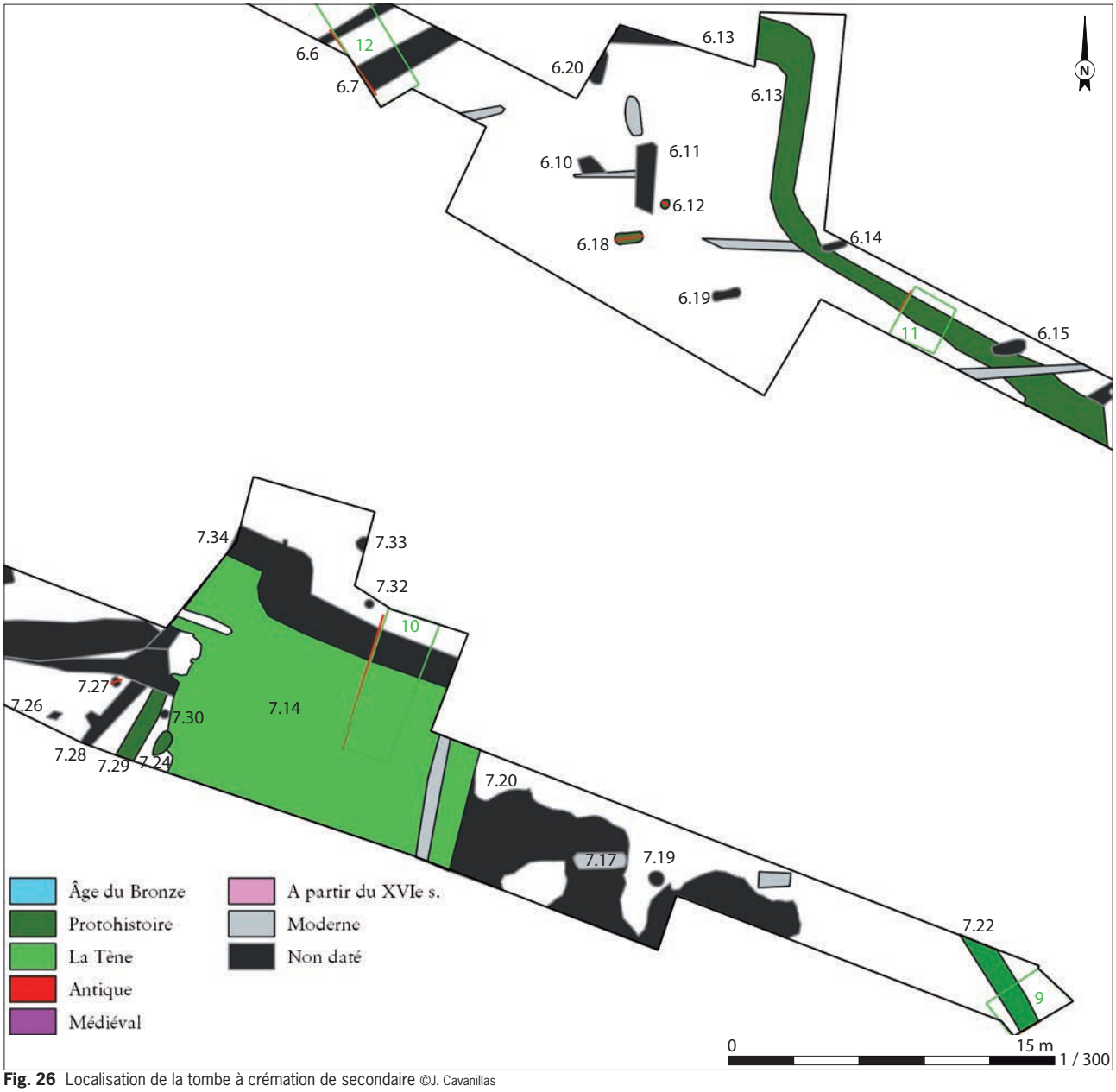

Fig. 26 Localisation de la tombe à crémation de secondaire ©J. Cavanillas

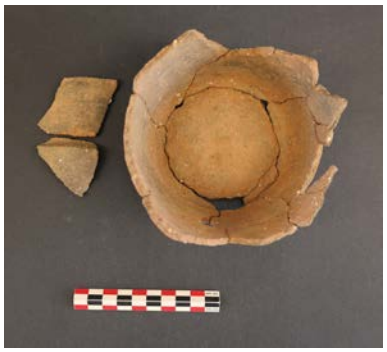

Fig. 27 Photographie de l'urne F6.12 (dessin, DAO : Lierville © Inrap)

2.2.1.1. Etude céramique, Océane Lierville

Une urne a été exhumée de la fosse 6.12 (**Fig. 27**). Composée de 30 fragments de céramique, cette urne est essentiellement conservée dans la partie basse de sa forme. Un fragment de rebord ainsi qu'un fragment de panse carénée ont permis de restituer la forme entière du récipient (**Fig. 28**). Il s'agit d'un vase de type 72a défini dans la typologie régionale (Cherel et al. 2018), daté entre le dernier quart du VI^{e} et le dernier quart du V^{e} s. avant notre ère. Ce type d'urne est caractéristique du Premier âge du Fer et du tout début de La Tène ancienne. Les comparaisons sont nombreuses avec des urnes issues de nécropoles dans toute la péninsule armoricaine. À titre d'exemple, dans le même secteur géographique, les urnes retrouvées sur les sites funéraires de Lannilis, Pembrat Vihan (**Le Roux 1964**), ou Morlaix-Ploujean, Kervellec (**Le Goffic 1996**) sont nettement comparables. Les urnes issues du site de Kervellec ont pu être datées entre 500 et 450 avant notre ère (**Cherel et al. 2018, p.334**).

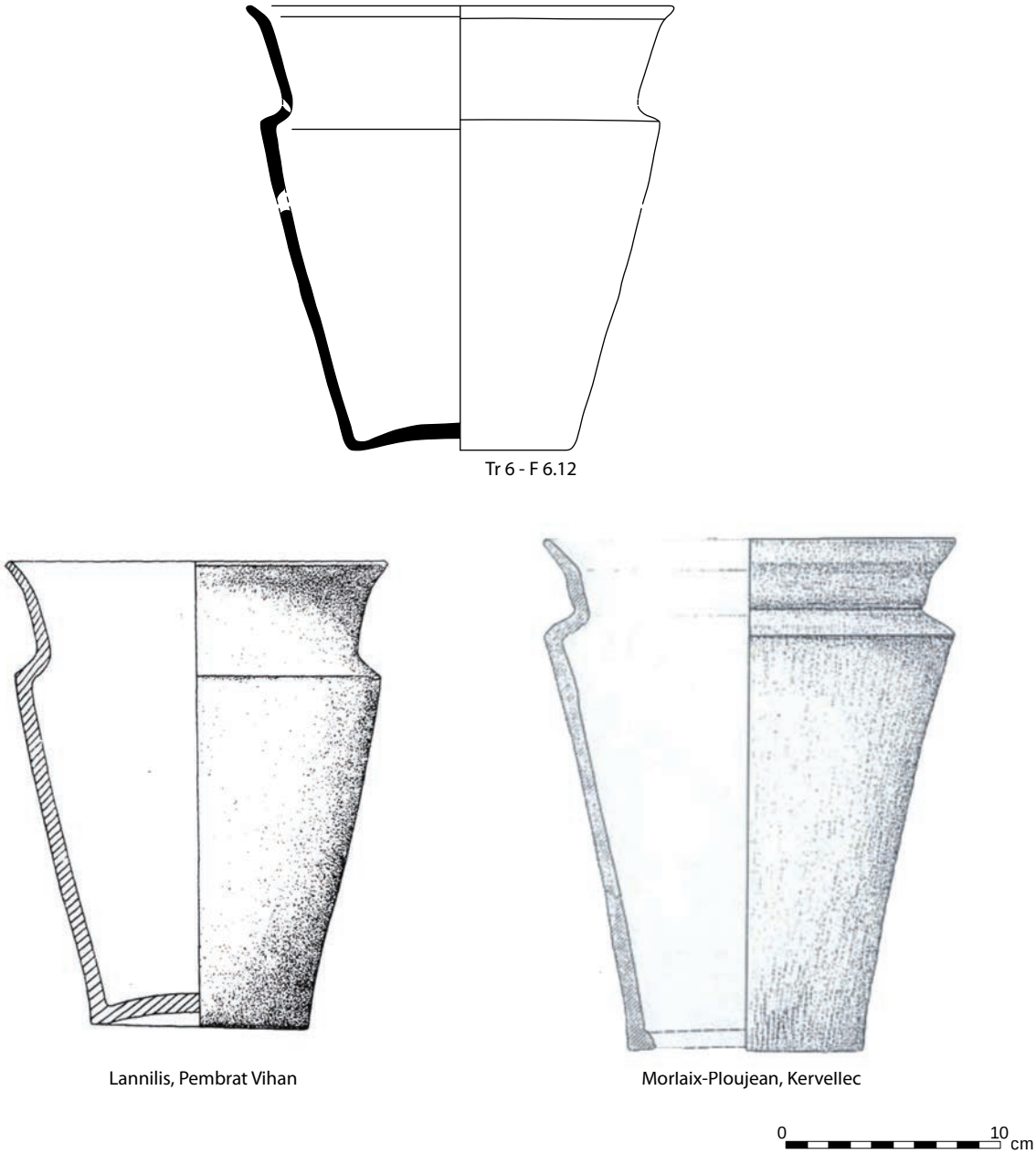

Fig. 28 Urne issue de la tranchée 6, F6.12 / Urnes des sites de Lannilis, Pembrat Vihan et Morlaix-Ploujean, Kervellec (dessin, DAO : Lierville © Inrap, Yvon Onée, Bertrand Grall)

Cette urne datée entre la fin du VI^e^ et la fin du V^e^ s. avant notre ère, assez bien conservée et archéologiquement complète se démarque de l'assemblage mobilier du site. Les urnes de cette période retrouvées dans la péninsule armoricaine sont rarement isolées et se rencontrent plutôt au sein de petits ensembles funéraires ou nécropoles. Un petit ensemble funéraire est donc à envisager sur le site. Cette hypothèse est renforcée par la présence de la nécropole contemporaine de Morlaix-Ploujean, *Kervellec*, dans le même secteur géographique, à une vingtaine de kilomètres.

2.2.1.2. Etude anthropologique, Myriam Le Puil-Texier

Objectifs et méthode d'analyse des structures secondaires de dépôt de crémation

Les méthodes de fouilles mises en œuvre visent à appréhender le rituel funéraire à travers l'aménagement des tombes, le mode de dépôt des ossements brûlés (en urne ou en pleine terre), la disposition du mobilier pouvant également accompagner le défunt (offrande, viatique, etc.). L'urne a été prélevée sur le terrain, solidarisée par un film cellophane, afin d'être fouillée en laboratoire. La méthode de fouille et d'analyse des dépôts cinéraires s'appuie sur le protocole développé par Duday H., Depierre G., Janin T. (**Duday 2000a**) . Cette approche méthodologique est toutefois adaptée en fonction de l'état des dépôts, et du temps d'étude dévolu dans le contexte de l'archéologie préventive. De l'approche maximaliste consistant à la fouille minutieuse intégrale des dépôts osseux, considérés comme des « micro-gisements » archéologiques (**Duday 2000b**) à un traitement plus rapide, généralement réservé aux séries numériquement importantes et appliqué parfois aux dépôts incomplets, qui conduit à tamiser sous un filet d'eau les lots d'ossements (**Roger 1996**) . Dans tous les cas de figure, nous avons procédé au tamisage (mailles 2 et 1 mm) des sédiments provenant du vase cinéraire.

La fouille a été réalisée par passée consécutives horizontales d'environ 2 cm, épaisseur légèrement variable selon la configuration de l'amas osseux. Chaque niveau a fait l'objet d'une documentation photographique et de relevés si nécessaire. Le sédiment a été systématiquement prélevé et tamisé (maille 2 à 1 mm) afin de récolter le reste des fragments osseux et tout autre fragment de mobilier millimétrique. A la suite de ce traitement, les fragments osseux ont été triés selon leur appartenance à un segment anatomique, par niveau, puis pesés. Ce protocole permet d'évaluer le degré de représentation de chaque partie anatomique dans l'objectif de préciser si l'échantillon est le résultat d'une collecte préférentielle ou au contraire s'il n'y a pas de sélection particulière. Cette méthode permet aussi de restituer stratigraphiquement les segments anatomiques afin d'identifier d'éventuel agencement particulier dans le vase ossuaire.

Les objectifs de l'analyse des restes osseux consistent également à estimer le nombre d'individus dans la sépulture, l'âge au décès, et éventuellement le genre[1]. L'étude des restes brûlés présente de nombreuses limites liées à la représentation des fragments osseux. L'estimation de l'âge au décès repose sur l'observation de différents critères de maturation osseuse et dentaire. Pour les individus adultes (20 ans et plus) les principaux indicateurs sont le degré de synostose des sutures crâniennes (**Masset**), la dimension des fragments (épaisseur de la corticale des os longs notamment), le degré de maturité des extrémités (ossification des épiphyses) et les éventuels indices de dégénérescence (type arthrose). Pour les individus immatures, l'observation du stade de maturation dentaire (**Moorrees 1963a, Moorrees 1963b, Ubelaker 1984**) croisée à celle de la maturation osseuse (apparition et fusion de points d'ossification secondaires (**Birkner 1980**)) sont les critères les plus fréquemment utilisés pour proposer une fourchette d'âge généralement assez large.

La fosse

La petite fosse, arasée, se présente sous une forme ovoïde en plan (0.70 m de longueur, 0.67 m de margeur et 0.16 m de profondeur), dont le profil

1 La diagnose sexuelle est rarement possible sur les os incinérés en raison de la déformation induite par la combustion (**Duday et al., 2000, p. 8**).

est en cuvette. Elle est comblée de limon argileux brun comportant de rares charbons de bois et esquilles osseuses et fragments de céramique.

Le dépôt
Le dépôt se compose d'une urne en céramique. Aucun objet ne l'accompagne.

Le contenu de l'urne
L'urne, incomplète, est conservée sur une hauteur de 8 cm. Le sédiment, assez homogène, est constitué de limon charbonneux assez compact. Les os sont dispersés dans tout le remplissage (**Fig. 30**, **Fig. 31**). Quelques tessons de l'urne reposent au sommet du comblement.

N° de relevé	Hauteur 7 cm	Descriptif sommaire
1	7-5	Limon brun charbonneux, quelques esquilles osseuses et quelques tessons de l'urne
2	5-4	Limon brun charbonneux, quelques esquilles osseuses
3	4-2	Limon brun charbonneux, quelques esquilles osseuses
4	2-0	Limon brun charbonneux, quelques esquilles osseuses

Fig. 30 Descriptif sommaire du contenu de l'urne
©M. Le Puil-Texier

Fig. 29 Amas osseux en cours de fouille, relevé N°3
©M. Le Puil-Texier

Données biologiques et pondérales
L'examen des ossements est en faveur d'un sujet immature. Les principaux indicateurs de l'âge au décès sont les diamètres diaphysaires, l'épaisseur de la voûte crânienne. Les restes dentaires sont absents. Il n'y a que de très rares portions crâniennes. De fait, il n'est guère possible d'être très précis sur l'âge eu décès. Le sujet se trouve probablement dans l'une des classes d'âge suivantes 5-9 ans et 10-14 ans.

Tombe TR6, F.6.12	N1	N2	N3	N4	fosse (ext.)	Total
Crâne		0,54	0,49	0,69		1,72
Mandibule						
Dents sup.						
Dents inf.						
Dents indéterminées						
Os hyoïde						
Osselets oreille						
Cartilage calciné						
Tête						1,72
Atlas						
Axis						
Vert C3-C7						
Vert Thoraciques						
Vert. Lombaires						
Vert. Indéterminées						
Sacrum						
Coccyx						
Côtes						
Sternum						
Tronc						0
Clavicule						
Scapula						
Humérus						
Radius						
Ulna						
Carpe						
Métacarpe						
Phalanges main						
Diap. membres sup.						
Membres supérieurs						0
Coxal						
Fémur						
Patella						
Tibia	2,89					2,89
Fibula						
Tarse						
Métatarses						
Phalanges pieds						
Sésamoïde						
Diap. membres inf.		3,57	1,88	5,13		10,6
Membres inférieurs						13,5
MTC,MTT, Pm, Pp						
Total déterminé						15,2
Os plat						
Os court ou épiphyse						
Diap. Indet.	11,7	9,18	19,5		1,89	
Esquilles		1,17	8,34	27,8		
Total indéterminé	11,7	10,4	27,8	27,8	1,89	79,5
Total						94,7

Fig. 31 F. 6.12, données pondérales des os par relevé et région anatomique (selon Duday et al. 2000) ©M. Le Puil-Texier

Stade de combustion
Les os, de couleur blanche, indique un stade de combustion poussé. Cependant l'échantillon osseux ne représente qu'une faible part du squelette.

Datation
Typologie du vase ossuaire : transition premier et second âge du Fer (**O. Lierville**).

Interprétation des pratiques funéraires
Le dépôt osseux a été constitué après la cérémonie de crémation. Les ossements ont été prélevés sur le bûcher, puis placés dans une urne en céramique. L'urne a ensuite été déposée dans une fosse creusée à cet effet. Le dépôt n'est pas complet en raison de l'érosion mécanique due probablement aux pratiques agraires répétées.
La masse osseuse recueillie dans l'urne est faible (94,7 g.). Elle concerne un sujet immature, mais les éléments osseux disponibles ne permettent pas de déterminer l'âge précis du sujet (plus de 5 ans, moins de 15 ans).
Cette tombe a été datée d'après la typologie du vase ossuaire de la transition du premier au second âge du Fer. Cette période se caractérise par le développement de petits ensembles funéraires, fréquemment délimités par des enclos quadrangulaires (**Villard-Le Tiec 2010, Villard-Le Tiec 2013**), dans lesquels la pratique de la crémation apparaît majoritaire mais pas systématiquement exclusive. Ces ensembles regroupent le plus souvent un nombre restreint de tombes. Cependant certains sites ont révélés un nombre plus important d'urnes comme à Paule (**Ménez 2021**) ou à Morlaix-Ploujean (**Le Goffic 1993**). A Paule, la mixité des pratiques funéraires (inhumations et crémations) est représentée, tout comme ici. Si l'insuffisance des données chronologiques nous empêche, à l'heure actuelle, d'établir une chronologie de fonctionnement de cet ensemble funéraire, il faut espérer que la poursuite de la fouille permettra d'affiner cette question.

2.2.2. Le système fossoyé de l'âge du Fer

2.2.2.1. Des fossés plus anciens au nord-ouest : tr 1 et 6

Un fossé 1.5, situé en partie nord-ouest de la tranchée 1 a livré quatre fragments de panse datés de la Protohistoire (ancienne ?)(**Fig. 34**). Ce fossé, orienté est/ouest, a été testé dans le sondage 14. Il présente un profil en cuvette irrégulière sur son flanc septentrionale, lié à un curage partiel du creusement initial. Ce creusement initial mesure 1.54 m de largeur et 0.52 m de profondeur (**Fig. 32**, **Fig. 33**). Le fond de ce fossé est tapissé d'une couche d'argile limoneuse beige à grise claire, contenant quelques blocs de quartz de moyen module, de rares charbons de bois, quelques précipités de manganèse et des traces d'oxydation, résultant d'épisodes de stagnation d'eau, et témoignant de fait d'un fonctionnement ouvert. Sur cette couche, repose un limon argileux brun-gris contenant quelques charbons de bois (us 3) qui scelle ce premier état du fossé. C'est alors qu'intervient sur le curage précédemment décrit, il mesure 1.80 m de largeur et 0.20 m de profondeur. Son profil en cuvette très large à fond plat est comblé de limon argileux brun foncé à brun-gris foncé, contenant des charbons de bois épars et quelques poches argileuses jaunes. Aucun prolongement à ce fossé n'a été mis en évidence à l'est dans la tranchée 14, de même à l'ouest de ce dernier en raison de la limite d'emprise.

Fig. 33 Vue de la coupe du fossé 1.5 ©J. Cavanillas

Le fossé 1.13, situé à 25 m à l'est-sud-est du fossé 1.5, est orienté nord-nord-est/sud-sud-ouest. Il a été testé dans le sondage 15 et présente un profil en cuvette dissymétrique évasée sur son flanc est-nord-est, mesurant 1.30 m de largeur et 0.40 m de profondeur (**Fig. 33**). Les dynamiques de comblement de ce fossé sont identiques à celles du fossé 1.5. En outre, La morphologie et les caractéristiques métriques de ce fossé permettent de proposer que ce dernier constituerait le retour du fossé 1.5 vers le sud-sud-ouest.

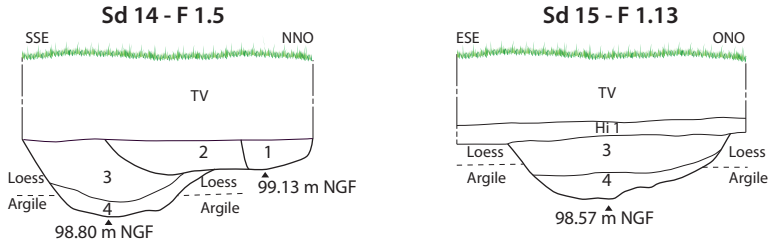

1 - Limon argileux brun foncé
2 - Limon argileux gris foncé, charbons de bois épars, quelques poches jaunes
3 - Limon argileux brun-gris quelques charbons de bois
4 - Argile limoneuse beige à grise claire, quelques blocs de quartz de moyen module, rares charbons de bois, quelques précipités de manganèse et traces d'oxydation

Fig. 32 Coupe des fossés 1.5 et 1.13 ©J. Cavanillas

1 / 50

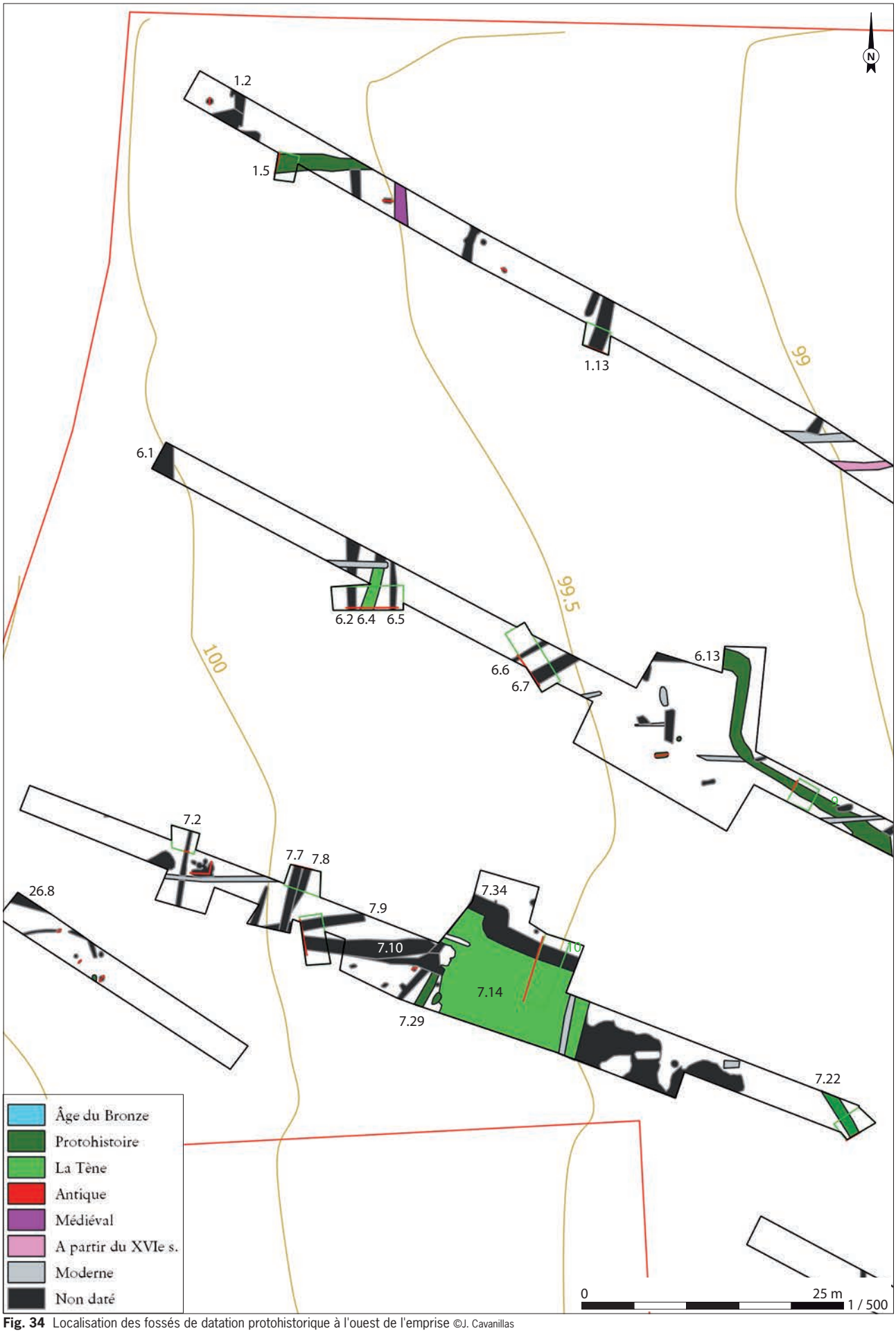

Fig. 34 Localisation des fossés de datation protohistorique à l'ouest de l'emprise ©J. Cavanillas

D'une manière beaucoup plus hypothétique, **le fossé 6.1** observé (**Fig. 34**) partiellement en début de tranchée 6, à une trentaine de mètres du fossé 1.5, pourrait à partir de son orientation très hypothétiquement correspondre à un retour vers le sud et constituer la façade occidentale d'une parcelle. Enfin ni le fossé 6.13 ni le fossé 6.5 ne trouve de prolongement dans les tranchées environnantes, qui pourrait permettre de clore cette hypothétique parcelle.

2.2.2.2. Un fossé au tracé énigmatique

Dans la tranchée 6 a été mis en évidence un fossé au tracé très sinueux, **F 6.13** (**Fig. 34**, **Fig. 35**). En effet, ce dernier décrit trois coudes dans l'espace de la tranchée et de l'extension vers le nord. Il apparaît à 0.37 m sous la surface actuelle. Testé dans le sondage 11, il présente un profil en U, aux parois légèrement obliques, mesurant 1.20 m de largeur et 0.40 m de profondeur. Le comblement est relativement homogène, il est constitué de limon argileux brun-gris, contenant des charbons de bois épars, ayant livré deux fragments de panse érodés datés largement de la Protohistoire.

Le fossé 6.7, orienté nord-est/sud-ouest, a été testé dans le sondage 12 (**Fig. 34**, **Fig. 35**). Il présente un profil en V à fond plat, mesurant 1.15 m de largeur et 0.53 m de profondeur. Son comblement et ses caractéristiques métriques sont comparables à celui du fossé 6.13. Ne pourrait-il pas s'agir du prolongement du fossé 6.13 dans la partie nord-ouest de la tranchée 6 ?

Par ailleurs dans la tranchée 7 un fossé, F 7.34, au tracé également sinueux a été mis en évidence au nord-est d'une grande fosse, F 7.14 (**Fig. 34**, **Fig. 36**). Ce fossé a été testé en même temps que la grande fosse dans le sondage 10. Il mesure 1.48 m de largeur et 0.20 m de profondeur, son creusement recoupe le comblement de la fosse 7.14. Il est comblé de limon argileux gris foncé, contenant quelques charbons de bois.

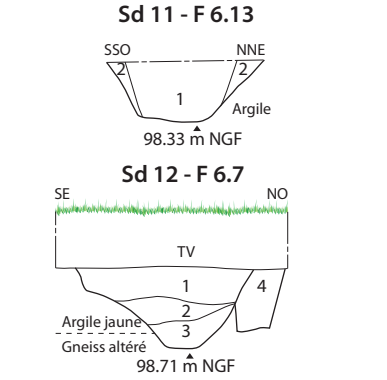

Fig. 35 Coupe des fossés 6.13 et 6.7
©J. Cavanillas

Fig. 36 Vue de la coupe de la fosse 7.14 et du fossé 7.34 ©J. Cavanillas

Ces fossés au tracé sinueux dessinent-ils un enclos ? Évitent-il la zone de la tombe à crémation secondaire ? En l'état, il est difficile de répondre à ces questions, seul un décapage extensif permettrait de déterminer s'il s'agit d'un enclos destiné à accueillir en son sein des sépultures à crémation secondaires. Ces enclos à vocation funéraire sont en général plutôt de plan régulier et quadrangulaire (Villard 2021?), ce qui est loin d'être le cas si ces fossés constituent effectivement un enclos.
Une autre hypothèse envisageable serait que ces tracés sinueux soient liés à un obstacle, ou une zone funéraire. Or, une tombe à crémation secondaire a été mise en évidence dans la tranchée 6, ils pourraient donc éviter cette zone funéraire qui pourrait être plus étendue que ce qui a été perçu dans notre tranchée de diagnostic. L'hypothèse d'un *tumulus* recouvrant la tombe

à crémation a été envisagée mais aucun élément ne permet d'arguer pour l'heure en faveur de cette hypothèse.

2.2.2.3. Une limite est/ouest forte

Les fossés 7.9 et 7.10 présentent une extrémité vers l'est à proximité de la fosse 7.14 (**Fig. 34**, **Fig. 37**, **Fig. 38**). Ces deux fossés ne suivent pas exactement la même orientation, ils sont orientés est-nord-est/ouest-sud-ouest. Ils ont tous deux été testés dans le sondage 6, ils apparaissent respectivement à 0.26 et 0.31 m sous la surface actuelle. Le fossé 7.9 présente un profil en V à fond plat, mesurant 0.90 m de largeur et 0.62 m de profondeur. Le fossé 7.10 présente un profil en V à fond plat très évasé, mesurant 1.40 m de largeur et 0.62 m de profondeur. Ceux-ci présentent une stratigraphie comparable présentant en partie basse des traces d'oxydation et des précipités de manganèse traduisant des épisodes de stagnation d'eau. Tandis que les deux tiers supérieurs correspondent à des rejets anthropiques contenant des charbons de bois, des nodules d'argile cuite, de la rubéfaction en vrac et un fragment de tige en fer, en surface du fossé 7.9. La moitié supérieure du fossé 7.10 est recoupé par le tracé légèrement divergent du **fossé 7.12**. Le profil en cuvette de ce fossé mesure 1 m de largeur et 0.28 m de profondeur. Cette limite semble donc avoir perduré dans le temps avec un léger décalage spatial.

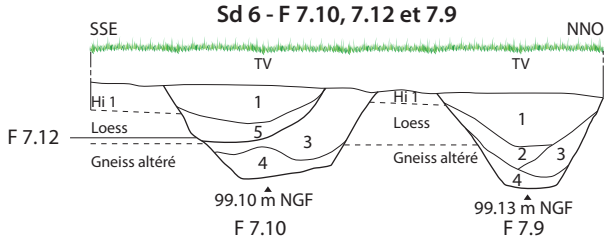

1 - Limon argileux brun-gris, nombreux charbons millimétriques
2 - Limon argileux brun-gris, traces d'oxydation et fragments de rubéfaction, rares charbons de bois
3 - Limon argileux gris foncé
4 - Limon argileux gris clair, rares charbons de bois, traces d'oxydation, précipités de manganèse
5 - Limon argileux brun

0 2.5 m
1 / 50

Fig. 37 Coupe des fossés 7.9 et 7.10 ©J. Cavanillas

Fig. 38 Vue de la coupe des fossés 7.9 et 7.10 ©J. Cavanillas

2.2.2.4. Les fossés orientés nord-nord-est/sud-sud-ouest

Les fossés 7.28/7.13 et 7.29 n'ont pas été testés, en surface leur comblement est caractérisé de limon argileux brun-gris à beige (**Fig. 34**). Le fossé 7.29 a livré un tesson de céramique daté de la Protohistoire. Ils sont d'un gabarit tout à fait comparable, leur largeur oscille entre 0.60 et 0.65 m. Le fossé 7.28 est orienté nord-ouest/sud-ouest tandis que le fossé 7.29 est

nord-nord-est/sud-sud-ouest.

Le fossé 7.8, orienté nord-est/sud-ouest, a été testé dans le sondage 7 (**Fig. 34**, **Fig. 40**, **Fig. 38**). Il présente un profil en U, mesurant 0.60 m de largeur et 0.30 m de profondeur, comblé de limon argileux brun-gris. Il est coupé par le fossé 7.7

Fig. 40 Vue de la coupe des fossés 7.7 et 7.8 ©J. Cavanillas

Le fossé 7.7/6.4/1.9,orienté nord-nord-est/sud-sud-ouest, a été testé ans les sondage 7 et 13 (**Fig. 34**, **Fig. 39**, **Fig. 43**). Dans le sondage 7, il présente un profil en U, mesurant 0.80 m de largeur et 0.44 m de profondeur. Dans le sondage 13, il présente un profil en V à fond plat, mesurant 1.05 m de largeur et 0.72 m de profondeur. Dans ce sondage, il apparaît à 0.41 m sous la surface actuelle et son creusement recoupe l'horizon 1. Dans les deux sondages, les dynamiques de comblement sont similaires : le fond est tapissé d'une fine couche d'argile limoneuse grise à gris-bleu oxydée, traduisant un épisode de stagnation d'eau; sur le reste de sa hauteur, il est comblé de trois couches de limon argileux dont la teinte varie du brun-jaune au brun-gris, contenant plus ou moins de charbons de bois. Il est à noter qu'un tesson de céramique a été mis au jour en surface dans la section 7.7, malheureusement aucune datation ne peut être proposée. Dans la section 6.4, deux tessons ont été mis au jour dans l'us 2, datés de la Tène (**Fig. 41**).

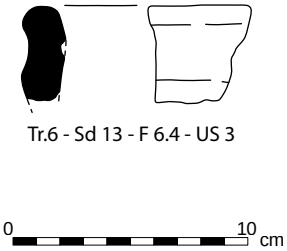

Fig. 41 Céramique issue de la tranchée 6, sondage 13, F 6.4 (dessin, DAO : Lierville © Inrap)

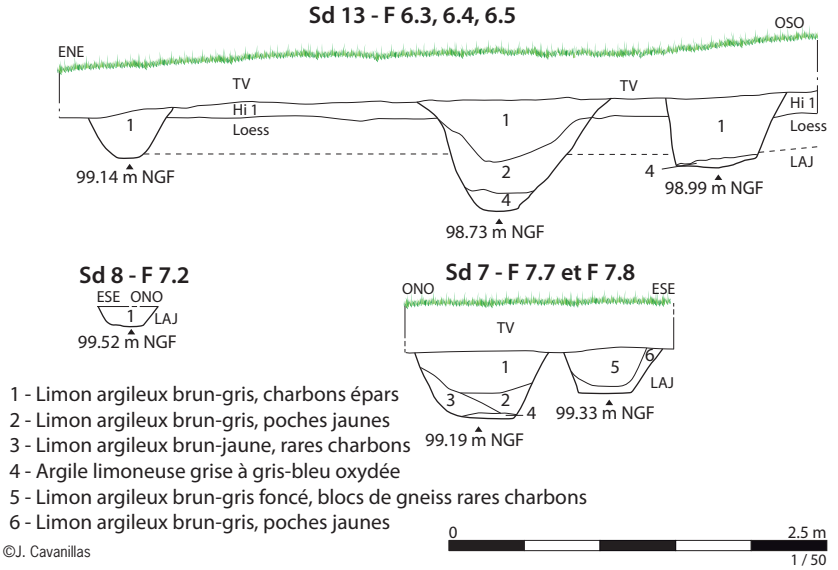

Fig. 39 Coupe des fossés 6.3, 6.4, 6.5, 7.2, 7.7 et 7.8 ©J. Cavanillas

Fig. 43 Vue de la coupe des fossés 6.4 et 6.2 ©J. Cavanillas

Le fossé 7.6, orienté nord-nord-est/sud-sud-ouest, mesure 0.40 m de largeur. Son comblement superficiel est constitué de limon argileux brun-jaune à gris. Il est parallèle et distant de 1.83 m du fossé 7.7, et présente une extrémité vers le nord-nord-est (**Fig. 34**).

Le fossé 7.2, orienté nord-nord-est/sud-sud-ouest, a été testé dans le sondage 8. Il présente un profil en cuvette, mesurant 0.40 m de largeur et 0.14 m de profondeur. Il apparaît à 0.58 m sous la surface actuelle et est comblé de limon argileux brun-gris clair contenant de rares charbons de bois (**Fig. 34**, **Fig. 39**).

Les fossés 7.28/ 7.13, 7.29, 7.6, 7.2, 7.8, 7.7/6.4/1.9 sont localisés à l'ouest de la grande fosse 7.14.

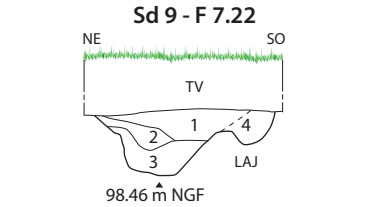

1 - Limon argileux brun-gris, poches jaunes, rares charbons de bois
2 - Limon argileux gris foncé, nombreux charbons de bois
3 - Limon argileux gris, rares charbons de bois et poches jaunes
4 - Limon argileux brun-gris, rares charbons de bois

Fig. 42 Coupe du fossé 7.22 ©J. Cavanillas

Le fossé 7.22, orienté nord-ouest/sud-est, a été testé dans le sondage 9, il est localisé à l'est de la fosse 7.14. Il présente un profil en cuvette irrégulière, mesurant 0.80 m de largeur et 0.44 m de profondeur (**Fig. 34**, **Fig. 42**). Il apparaît à 0.35 m sous la surface actuelle et est comblé de couches de limon argileux brun-gris à gris foncé, plus ou moins chargée de charbons de bois. Deux tessons de céramique à pâte micacée trouvés en surface de ce fossé ont été datés de l'âge du Fer.

Conlusion

Si aucun enclos ni aucune trame parcellaire précise ne se dessinent à l'issue de ce diagnostic, ce n'est pas en raison de l'absence de structures fossoyées mais au contraire par leur densité et leur enchevêtrement. En outre peu de fossés ont pu être datés, rendant encore plus ardu la tâche. Seul un décapage extensif et une fouille exhaustive permettraient une compréhension de l'organisation et de l'évolution de ce site.

2.2.2.5. Les fossés en périphérie de l'occupation

Nombreuses sont les sections de fossé mises au jour lors de ce diagnostic, parmi celles-ci trois ont livré du mobilier céramique daté de la Tène, en périphérie de l'occupation de l'âge du Fer localisée au nord-ouest de l'emprise : 3.17, 15.2 et 17.9 (**Fig. 44**).

Un Chemin

Le fossé 3.17, orienté nord-ouest/sud-est, a été testé dans le sondage 38, il est parallèle au fossé 3.15 (**Fig. 46**, **Fig. 47**). Il apparaît à 0.70 m sous la surface actuelle et présente un profil en cuvette, mesurant 0.70 m de largeurt et 0.44 m de profondeur. Il est comblé de couches de limon

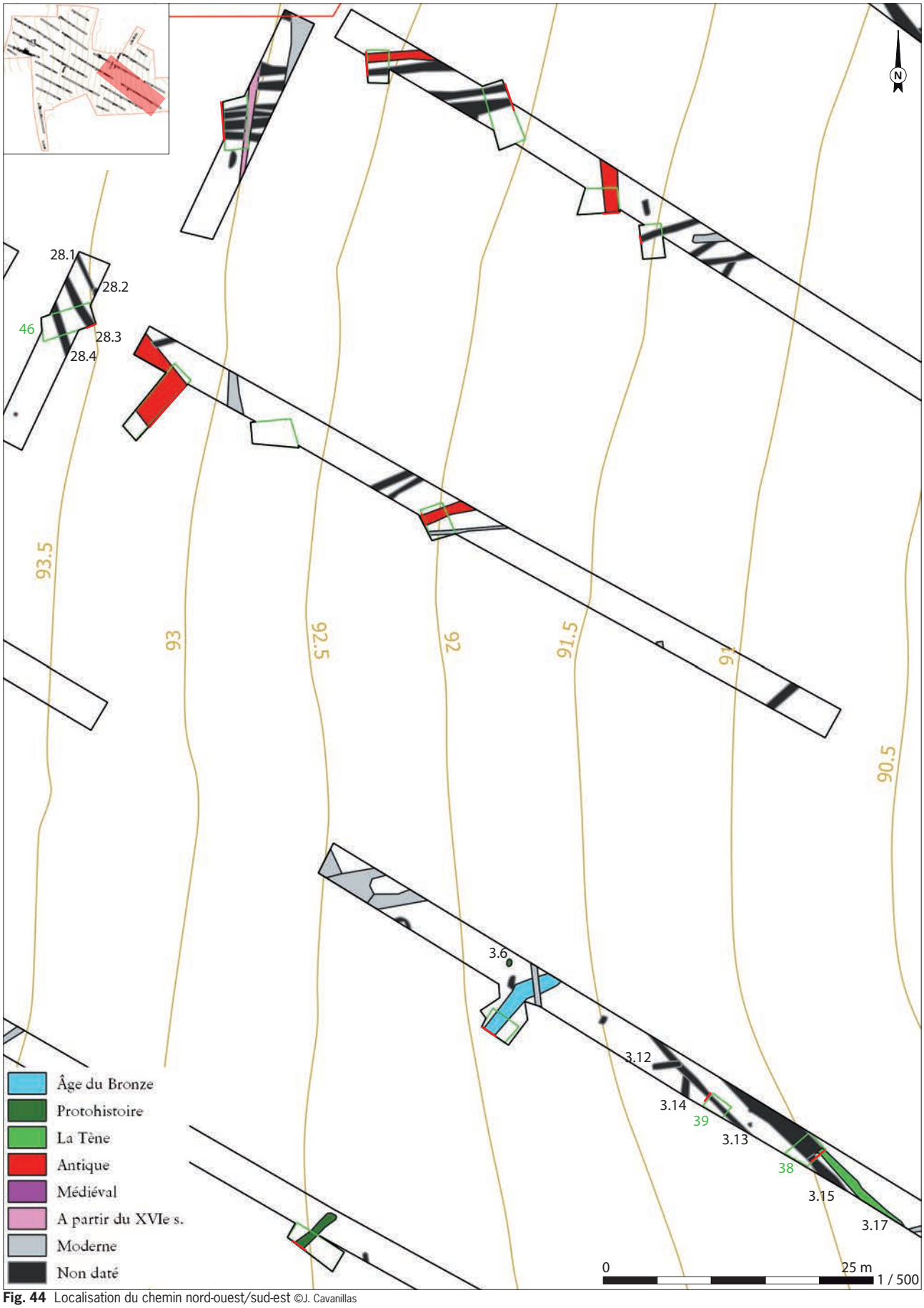

Fig. 44 Localisation du chemin nord-ouest/sud-est ©J. Cavanillas

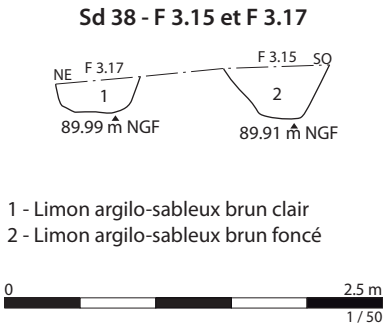

Fig. 47 Coupe des fossés 3.15 et 3.17
©J. Cavanillas

argilo-sableux brun clair. Trois fragments de panse, dont un présentant peut-être un départ d'anse, ont été trouvés en surface de ce fossé et pourraient dater de la Tène.

Il semble vraisemblable que le fossé 3.15, parallèle au fossé 3.17 et dont le tracé se confond vers le nord-ouest, corresponde à un état antérieur ou à une reprise du fossé 3.17. Le fossé 3.15 mesure 0.80 m de largeur et 0.24 m de profondeur et apparaît à 0.57 m sous la surface actuelle. Son profil en U aux parois légèrement évasées est comblé de limon argilo-sableux brun foncé.

Fig. 46 Vue de la coupe des fossés 3.15 et 3.17
©J. Cavanillas

Le fossé 3.13, également orienté nord-ouest/sud-est, a été testé dans le sondage 39, il est parallèle aux fossés 3.15 et 3.17. Il apparaît à 0.50 m sous la surface actuelle et présente un profil en cuvette dissymétrique à fond plat, mesurant 0.56 m de largeur et 0.16 m de profondeur. Il est comblé de couches de limon argilo-sableux brun contenant des poches argileuses jaunes (**Fig. 45**).

Les fossés 3.15/3.17 et 3.13 présentent des tracés parallèles et sont distants de 1.60 à 2 m. Localisés en bas de pente, ces fossés pourraient trouver un prolongement dans les fossés 28.3 et 28.4 (**Fig. 45**). Ces derniers ont été testés dans le sondage 46, ils présentent des profils et comblements comparables aux fossés 3.15/3.17 et 3.13. Le profil irrégulier du fossé 28.4 confirme l'hypothèse de deux états de fossé pour les sections 3.15 et 3.17. Ces fossés pourraient avoir délimité l'emprise d'un chemin permettant d'accéder au plateau. En revanche, ce probable chemin ne semble pas desservir l'occupation de l'âge du Fer mise en évidence dans l'angle nord-ouest du diagnostic.

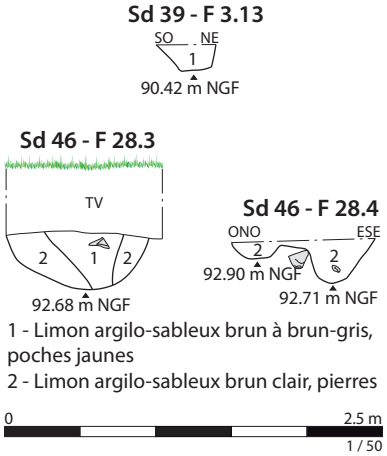

Fig. 45 Coupe des fossés 3.13, 28.3 et 28.4
©J. Cavanillas

Le parcellaire au nord-est

Deux sections de fossés aux orientations divergentes ont été mises en évidence au nord-est de l'occupation protohistorique : 15.2 et 17.9 (**Fig. 49**).

Le fossé 15.2, orienté nord-nord-est/sud-sud-ouest, apparaît à 0.63 m sous la surface actuelle et mesure 0.67 m de largeur. Son comblement superficiel est constitué de couches de limon argileux brun contenant deux fragments de panse datés de la Tène. Ce fossé pourrait se prolonger vers le nord-est avec la section de fossé 17.14, et doit probablement s'interrompre ou tourner plus au nord-est et de même au sud-ouest de la section 15.2.

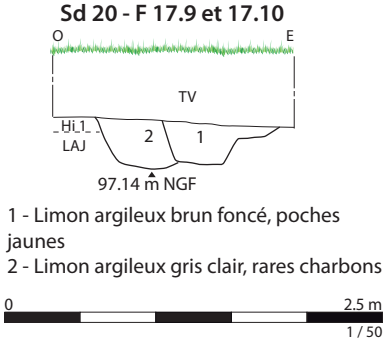

Fig. 48 Coupe des fossés 17.9 et 17.10
©J. Cavanillas

Le fossé 17.9, orienté nord/sud, apparaît à 0.47 m sous la surface actuelle, il est recoupé par le fossé moderne 17.10 (**Fig. 48**). Testé dans le sondage 20, il présente un profil en cuvette, mesurant 0.42 m de largeur minimum et 0.32 m de profondeur. Il est comblé de limon argileux gris clair, contenant de rares charbons de bois et un petit tesson correspondant à un fragment

de panse daté de La Tène.
Ces fossés sont localisés en bordure du plateau.

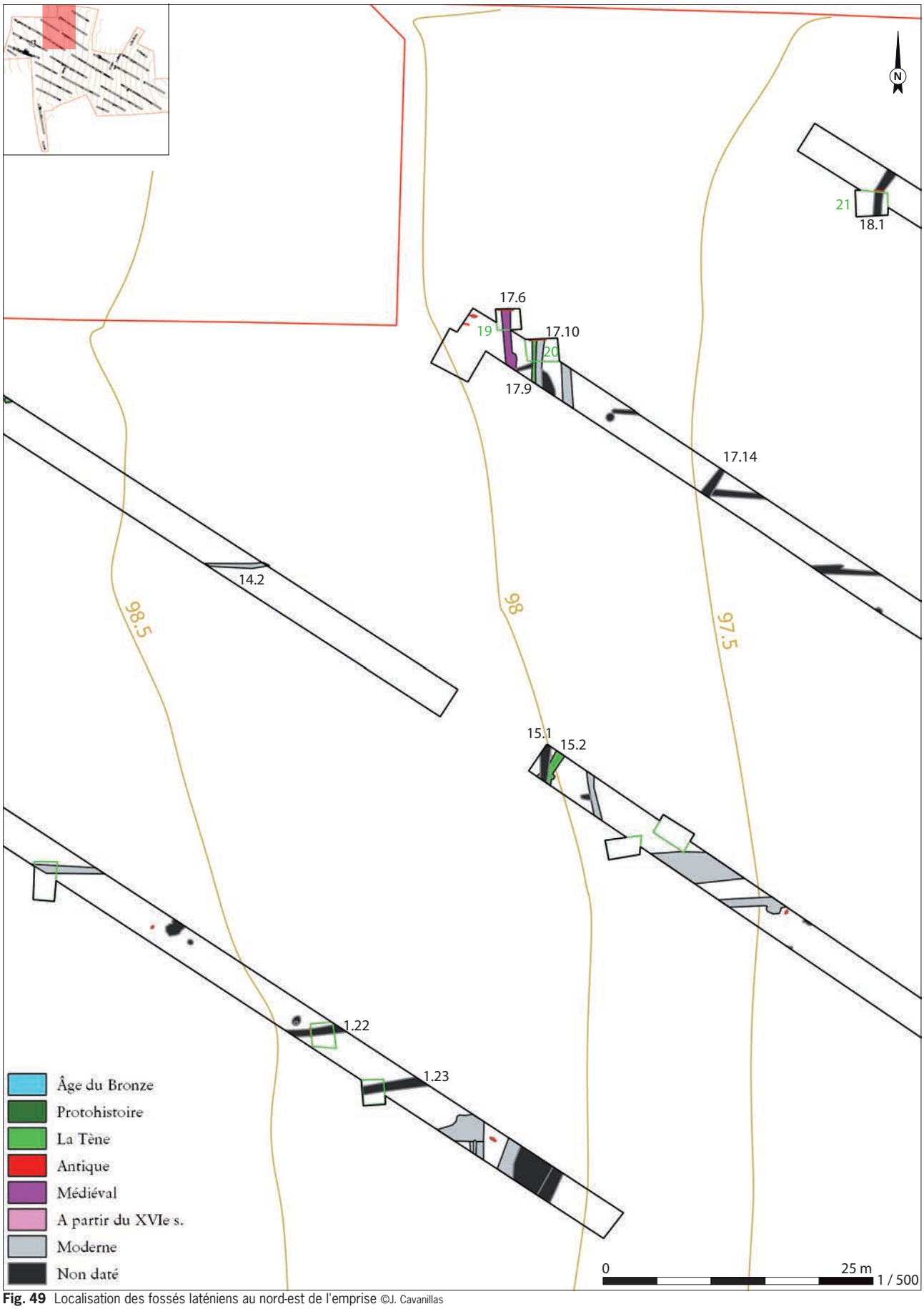

Fig. 49 Localisation des fossés laténiens au nord-est de l'emprise ©J. Cavanillas

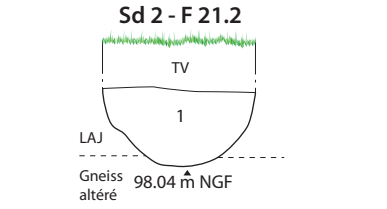

Fig. 50 Coupe du fossé 21.2 ©J. Cavanillas

Le parcellaire au sud

Une seule section de fossé a livré du mobilier céramique daté de la Protohistoire au sud de l'occupation protohistorique : 21.2 (**Fig. 53**).

Le fossé 21.2, orienté est-nord-est/ouest-sud-ouest, apparaît à 0.35 m sous la surface actuelle. Testé dans le sondage 2, il présente un profil en cuvette et mesure 0.95 m de largeur et 0.50 m de profondeur (**Fig. 50, 51)**. Il est comblé de limon très argileux gris contenant de nombreux petits précipités de manganèse, de rares blocs de quartz et des charbons de bois épars, ainsi qu'un tesson de céramique roulé daté largement de la Protohistoire. Ce comblement permet d'envisager des battements de nappes importants conduisant à la formation de précipités de manganèse.
Ce fossé est situé dans la partie de l'emprise la plus étroite n'ayant permis la réalisation que d'une unique tranchée, il est de ce fait difficile de proposer une hypothèse de restitution de son tracé.

Fig. 51 Vue du fossé 21.2 ©J. Cavanillas

Le fossé 21.1 présente une orientation comparable au fossé 21.2, il est possible qu'ils aient fonctionné ensemble. Testé dans le sondage 3, il présente un profil en cuvette et mesure 0.45 m de largeur et 0.20 m de profondeur (**Fig. 52**). Il est comblé de limon argileux brun-gris contenant des charbons de bois.

Il est envisageable que ces deux fossés aient encadré un talus.

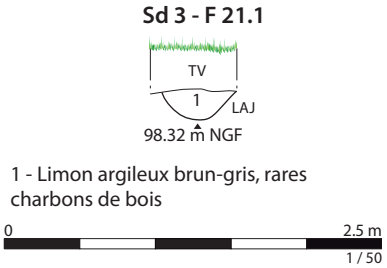

Fig. 52 Coupe du fossé 21.1 ©J. Cavanillas

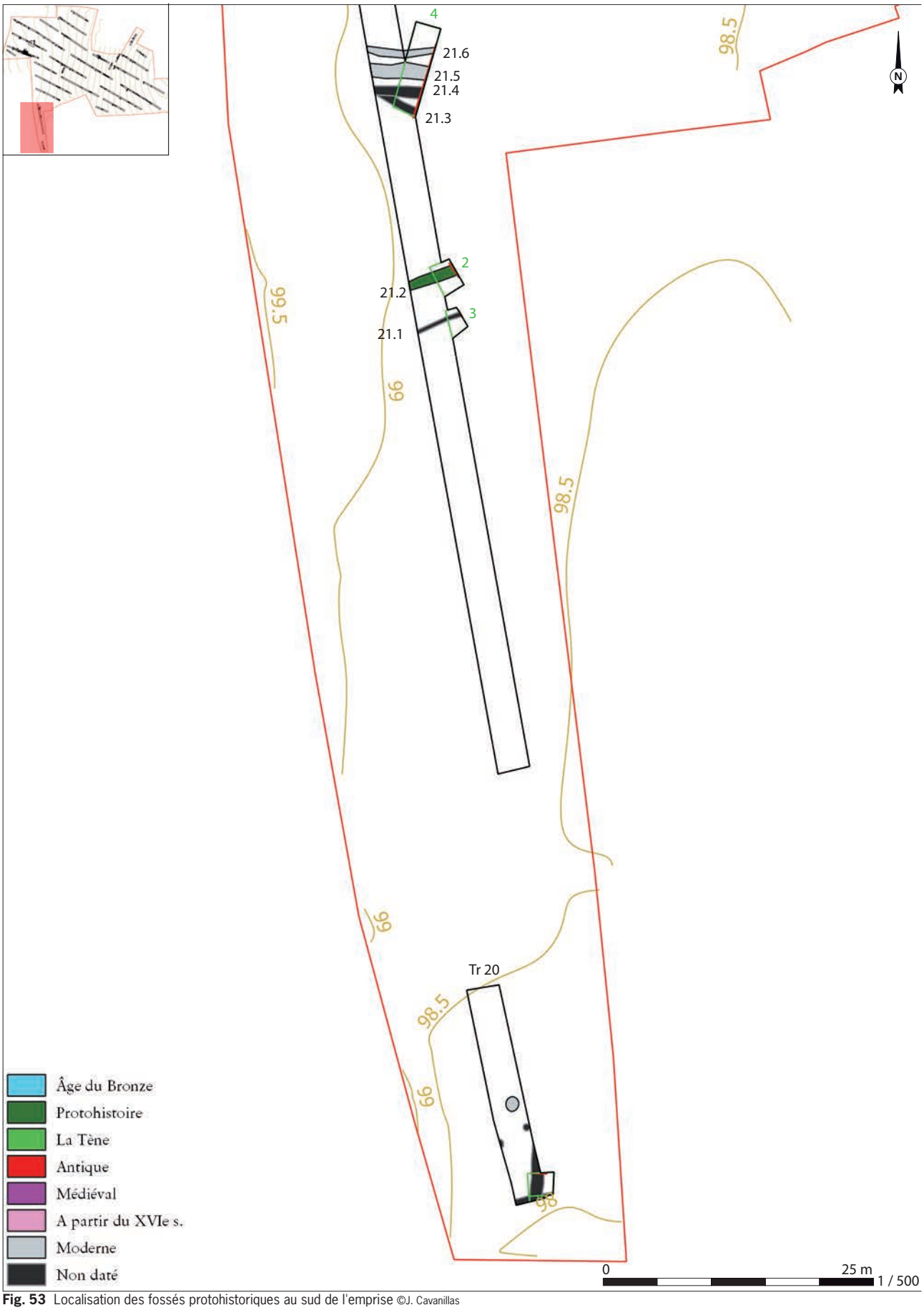

Fig. 53 Localisation des fossés protohistoriques au sud de l'emprise ©J. Cavanillas

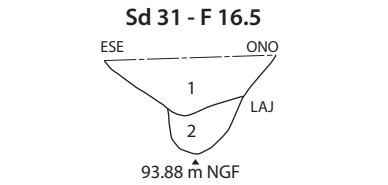

1 - Limon argileux brun-gris, nombreux charbons de bois
2 - Limon argileux brun-gris, poches jaunes

0 2.5 m
1 / 50

Fig. 54 sd 31.ai

Une limite parcellaire ancienne à l'est

Le fossé 16.5 est localisé sur le versant à 95 m NGF (**Fig. 54, 55, 56**). Orienté nord-nord-est/sud-sud-ouest, il apparaît à 0.35 m sous la surface actuelle. Testé dans le sondage 31, il présente un profil irrégulier mettant en lumière un état de curage. Il mesure 1.60 m de largeur et 0.62 m de profondeur. Lors de son 1er état, ce fossé présenterait un profil en V mesurant environ 1.40 m de largeur et 0.62 m de profondeur, comblé de limon argileux brun-gris mêlé de poches jaunes (us 2).
Intervient alors un curage sur plus de la moitié de sa profondeur, son profil est une cuvette irrégulière de 1.60 m de largeur et 0.38 m de profondeur. C'est un limon argileux brun-gris contenant de nombreux charbons de bois et ayant livré deux fragments de panse avec des pâtes de facture protohistorique ancienne, qui scelle le comblement de ce fossé.
En surface, il avait également livré un tesson antique et un autre daté du Bas Moyen Âge, il s'agit donc de rester prudent quant à cette datation protohistorique.
Ce fossé ne semble pas trouver de prolongement dans la tranchée 2, il est probable qu'il tourne au nord de cette dernière. Il est vraisemblable que ce fossé se poursuive au nord de la tranchée 16.

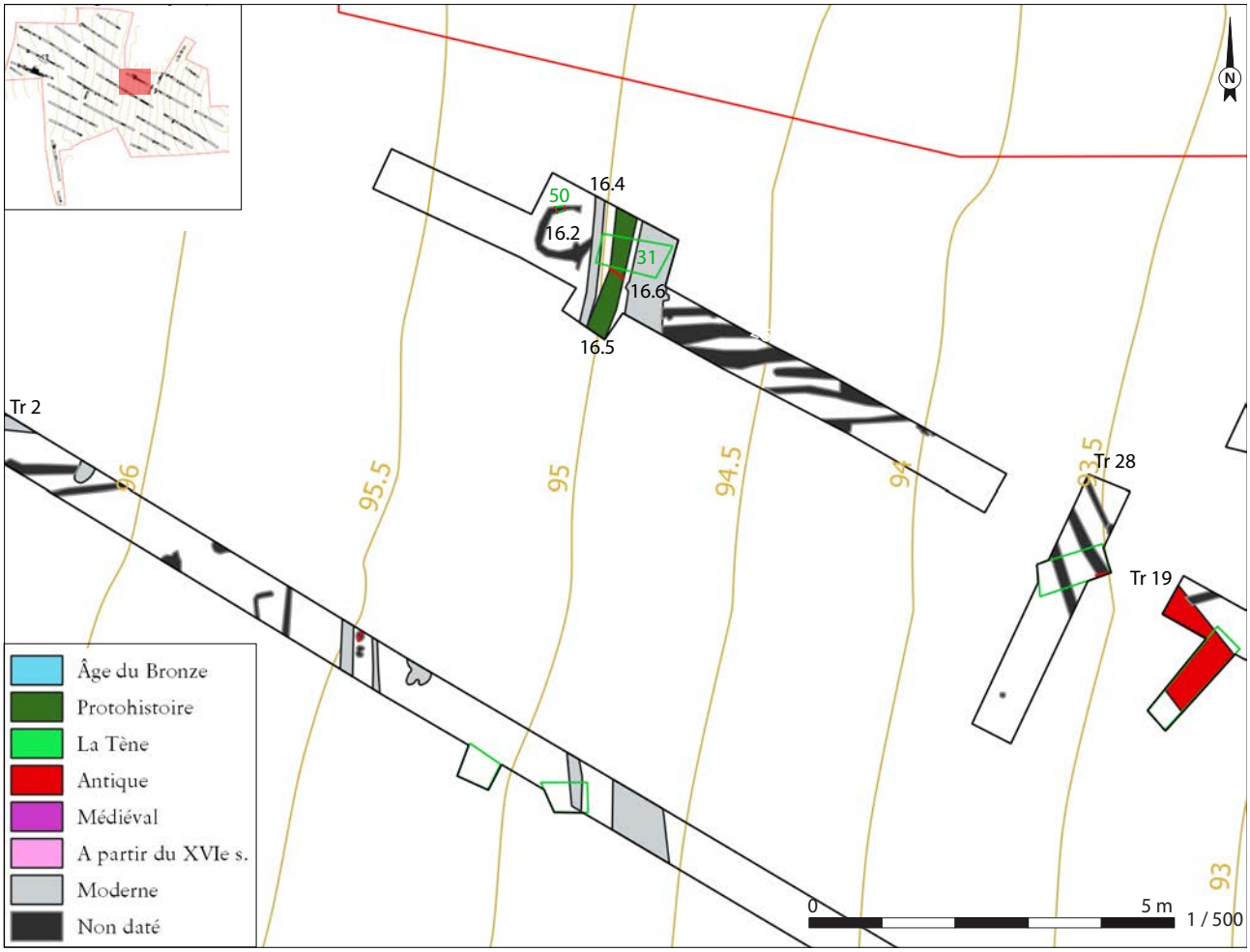

Fig. 55 Localisation du fossé 16.5 ©J. Cavanillas

A environ un mètre à l'ouest du fossé 16.5, a été mis en évidence une structure fossoyée, 16.2, de plan ovoïde, mesurant 4.20 m de longueur minimum et 3.80 m de largeur (**Fig. 55, 56, 57**). Le sondage 50 a été réalisé afin de déterminer s'il s'agissait d'un chablis ou véritablement d'une structure de type cercle funéraire. Un profil en V à fond plat a ainsi pu

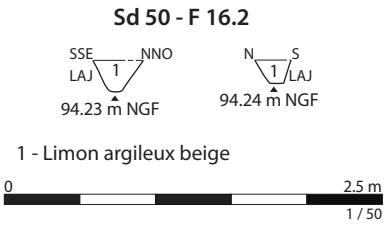

Fig. 57 Coupes de la structure 16.2
©J. Cavanillas

être mis en évidence, mesurant 0.60 m de largeur et 0.20 m de profondeur, comblé de limon argileux beige. Malheureusement cette structure a été testée sous une grosse averse ne permettant pas de faire des observations fines et de trancher la question. Si le sondage a permis de mettre en évidence des bords plus ou moins nets, le tracé de cette structure est irrégulier.
En outre, une légère remontée de substrat au centre de cette structure accréditerait l'hypothèse d'un chablis.

Fig. 56 Vue générale du fossé 16.5 et de la structure 16.2 ©J. Cavanillas

2.2.3. L'espace des vivants

Au nord-ouest de l'emprise de ce diagnostic ont été mis en évidence un certains nombre de structures : foyers, tranchée foyer, fosse et trous de poteau, permettant de proposer une occupation du rebord du plateau, culminant entre 99 et 100 m NGF, durant l'âge du Fer (**Fig. 60**).

2.2.3.1. La grande fosse 7.14 et les trous de poteau environnant : épicentre de l'occupation ?

La fosse 7.14 apparaît à 0.40 m sous la terre végétale, son plan ne peut être déterminé avec certitudes en raison d'observations partielles, malgré deux extensions réalisées de part et d'autre de la tranchée 7 afin d'en trouver les limites. Cette fosse est de dimensions très importantes, elle mesure 14 m de longueur et au minimum 10 m de largeur (**Fig. 58**, **59**). Testée dans le sondage 10, elle présente un profil en cuvette à fond plat, présentant une légère pente vers le sud-sud-ouest et s'encaisse de 0.36 m dans le substrat (gneiss altéré). Le fond de cette fosse est aménagé avec un niveau de blocs de quartz de petit et moyen modules pris dans une matrice sableuse jaune (us 1). S'il est arrivé au cours de ce diagnostic de rencontrer quelques blocs de quartz pris dans un limon argileux jaune en guise de terrain naturel, il ne s'est en aucun cas agit d'un tel niveau de blocs de quartz. En effet, celui-ci présente un maillage serré, qui n'a malheureusement pu faire l'objet de photographie en plan en raison de la réalisation d'un sondage mécanique, il apparaît sur les photos et le relevé de la coupe stratigraphique.

Fig. 59 Vue de la coupe de la fosse 7.14 et du fossé 7.34 ©J. Cavanillas

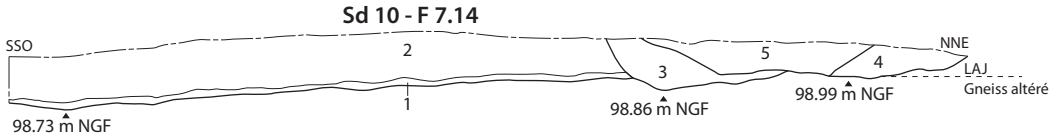

1 - Niveau de blocs de quartz de petit et moyen modules, pris dans une matrice sableuse arénacée jaune (niveau de sol ?)
2 - Limon argileux gris, quelques charbons de bois
3 - Limon argileux brun-gris clair à brun clair
4 - Limon argileux brun-gris foncé, quelques charbons de bois
5 - Limon argileux gris foncé, rares charbons de bois

Fig. 58 Coupe de la fosse 7.14 et du fossé 7.34 ©J. Cavanillas

Sur ce niveau de blocs de quartz, repose une couche de limon argileux gris contenant quelques charbons de bois (us 2) et dans laquelle ont été mis en évidence trois fragments de terre-cuite roulés et treize tessons de céramique. Parmi ceux-ci, ont été comptés un petit fragment de lèvre simple arrondie datée de La Tène, un fragment de fond et onze fragments de panse. Le comblement et le creusement de cette fosse 7.14 sont recoupés par le fossé 7.34. Il présente un profil irrégulier s'expliquant par un ou deux états de curage. Il mesure 1.90 m de largeur minimum et 0.34 m de profondeur. Il est difficile de déterminer en l'état jusqu'où s'étend le creusement de ce fossé vers le nord-est. L'unité stratigraphique 4 correspond-elle au comblement du deuxième état du fossé ou de la fosse 7.14 ?

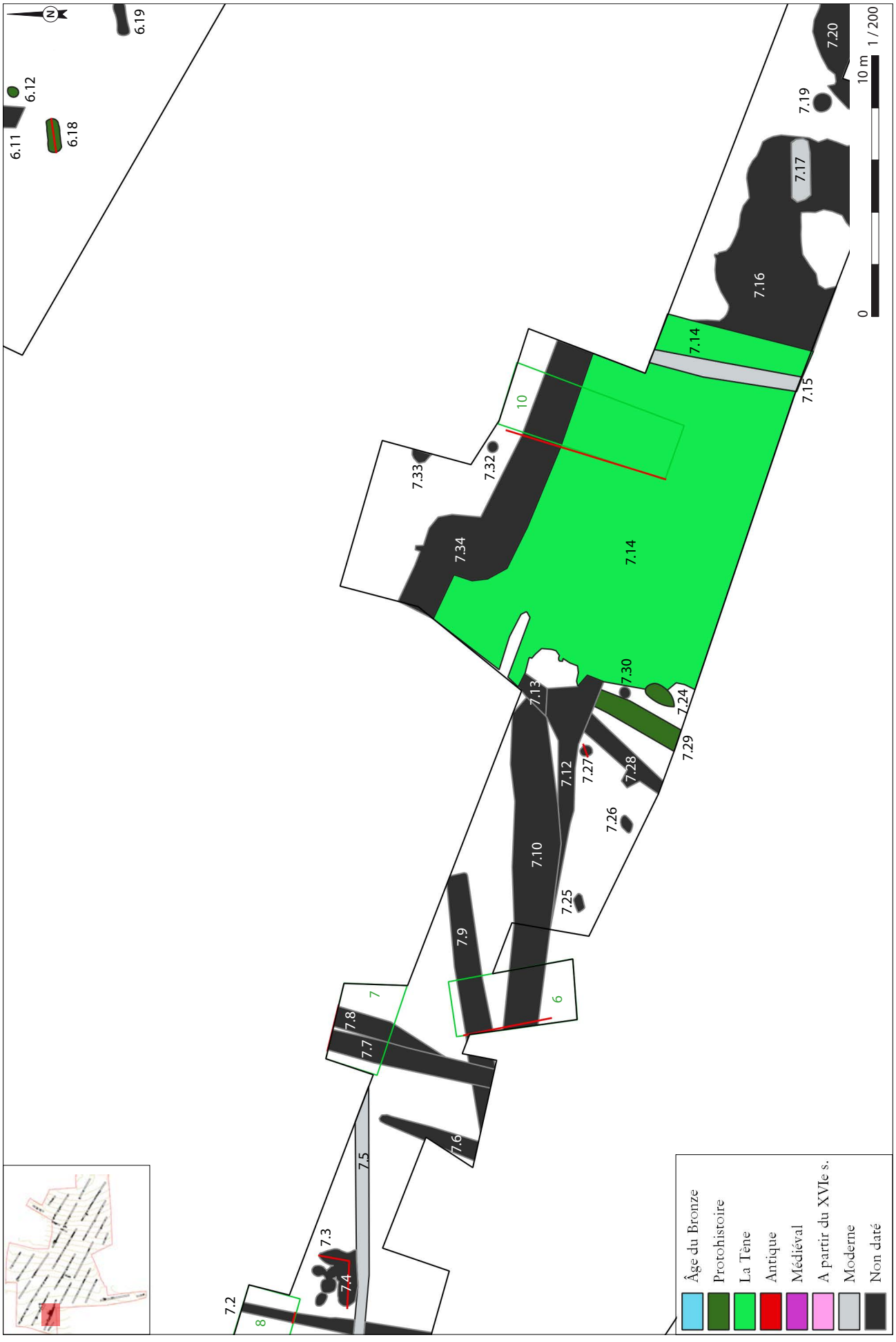

Fig. 60 Localisation de la fosse 7.14 et des structures environnantes ©J. Cavanillas

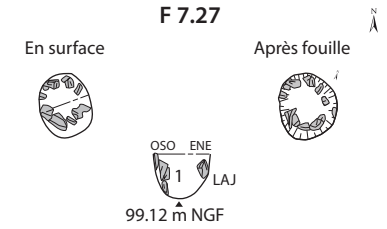

Fig. 61 Le trou de poteau 7.27 ©J. Cavanillas

Fig. 62 Coupe du trou de poteau 7.27 ©L. Contu

Fig. 63 Le trou de poteau 7.27 ©L. Contu

Aucun creusement dans le fond de la fosse 7.14 ou dans le niveau de quartz n'a été mis en évidence lors de la réalisation du sondage mécanique. Cette vision partielle imposée par l'exercice du diagnostic ne permet pas de déterminer précisément la fonction de cette fosse aux dimensions conséquentes. Néanmoins l'aménagement d'un niveau de blocs relativement soigné tapissant le fond du creusement, et le profil de cette fosse pourrait arguer en faveur d'un bâtiment semi-excavé. Par ailleurs, le contour de cette fosse est irrégulier sur son flanc ouest-nord-ouest, il pourrait s'agir de trous de poteau.
S'il s'agit effectivement d'un bâtiment semi-excavé, il serait logique qu'il soit en implanté perpendiculairement au sens de la pente et de ce fait qu'il se développe vers le sud-sud-ouest.

Enfin, plusieurs trous de poteau et fosse ont été mis en évidence autour de cette fosse : 7.24, 7.27, 7.30, 7.32 et 7.33. Leur niveau d'apparition oscille entre 0.35 et 0.40 m sous la surface actuelle.

La fosse 7.24 est de plan ovoïde et mesure 1.20 m de longueur et 0.70 m de largeur. Son comblement superficiel est constitué de limon argileux brun-gris ayant livré un tout petit fragment de lèvre simple daté de la Protohistoire.

Le trou de poteau 7.27 est de plan circulaire et mesure 0.40 m de diamètre et 0.30 m de profondeur. Tout le pourtour du creusement de ce trou de poteau est en quelques sortes parementé de blocs de gneiss de petit module, l'espace interne de ce "logement" est de 0.12 m de diamètre.
Le comblement est constitué de limon argilo-sableux brun-gris contenant des poches jaunes (**Fig. 61**, **62**, **63**).
Lors de la phase terrain, cette structure au blocage soigné avait posé question. L'hypothèse d'une tombelle à encorbellement comparable à celles mises au jour sur la fouille de la Carrière des Lacs à Saint-Aubin-des-Landes (35) conduite par Sandra Sicard en 2011 (**Sicard 2013**) et datées du Néolithique récent avait été émise. C'est pourquoi en concertations avec Éléna Paillet du Service Régional de l'Archéologie, il a été décidé de prélever l'intégralité du sédiment comblant cette structure, afin de le tamiser dans un premier temps pour vérifier la présence ou l'absence d'esquilles d'os brûlés et réaliser une datation radiocarbone dans un second temps.
Le tamisage a uniquement permis de mettre au jour des charbons de bois. C'est d'ailleurs sur un charbon de noisetier qu'a été réalisée la datation radiocarbone. Le résultat obtenu remonte au 1er âge du Fer et comporte deux intervalles chronologiques qui couvrent une période comprise entre la seconde moitié du VIIIe siècle avant notre ère : 760-464 avant notre ère (93.1%) et 436-421 avant notre ère (2.3%).

Le trou de poteau 7.30 est de plan circulaire et mesure 0.50 m de diamètre. Son comblement superficiel est constitué de limon argileux brun-gris clair, et des blocs de gneiss de petit et moyen modules sur le pourtour à l'image du trou de poteau 7.27.

Le trou de poteau 7.32 est de plan circulaire et mesure 0.43 m de diamètre. Son comblement superficiel est constitué de limon argileux brun-gris clair, et des blocs de gneiss de petit et moyen modules sur le pourtour à l'image des trous de poteau 7.27 et 7.30

Le trou de poteau 7.33, partiellement observé, serait de plan ovoïde et mesure 0.73 m de largeur. Son comblement superficiel est comparable à celui du trou de poteau 7.32.

Ces trous de poteaux semblent se répartir autour de la fosse 7.14, il est difficile dans le cadre de cette fenêtre de diagnostic de déterminer

si ces trous de poteau constituent à eux seuls l'ossature de bâtiments indépendants de la fosse F 7.14 ou s'ils participent à l'architecture de F 7.14, en admettant qu'il s'agisse de bâtiment(s) semi-excavé(s). En effet, d'autres hypothèse peuvent être envisagées : fosse de travail artisanale ou pour des activités agricoles telles que le battage des céréales par exemple.
Il est à noté qu'à l'est-sud-est de F 7.14 ont été mis en évidence des zones que nous avons interprétées comme des zones d'épandage sur le terrain mais il pourrait s'agir également de l'effet de battements de nappes. Ces zones sont caractérisées par un sédiment limono-argileux brun clair mêlé de poches jaunes et de charbons de bois, et présentant de nombreuses traces d'oxydation et de précipités de manganèse.
Seul un décapage extensif et une fouille fine de cette fosse ainsi que des structures environnantes permettraient de déterminer la fonction de ces structures et de restituer d'éventuelles architectures. Enfin, la réalisation de prélèvement dans la structure F 7.14 ainsi que dans les zones "d'épandage" pourraient permettre d'établir et/ou affiner les hypothèses.

Conclusion
Ce site de l'âge du Fer semble s'organiser autour de la fosse 7.14, aux dimensions imposantes. En effet, bien qu'ils ne soient pas datés, les fossés 7.9 et 7.10 s'interrompent avant cette fosse et pourraient matérialiser l'entrée d'un enclos. Malheureusement au regard des données disponibles il n'est pas possible de proposer la restitution d'un enclos. L'état de conservation de la fosse et des trous de poteau qui l'entourent est très bon, il oscille entre 0.30 et 0.36 m. Ces structures apparaissent sous la terre végétale, entre 0.35 et 0.45 m sous la surface actuelle.
D'un point de vue chronologique, la fosse 7.14 est antérieure au fossé 7.34, le creusement de ce dernier recoupant le comblement final de la fosse qui a livré du mobilier laténien. Le trou de poteau 7.27 a, quant à lui, été daté du 1er âge du Fer, par datation radiocarbone. Si celui-ci est contemporain de la fosse, il faut alors imaginer une occupation du site jusqu'au 2e âge du Fer. Cette occupation pourrait-elle être contemporaine de la tombe à crémation secondaire mise au jour à 25 m au nord-est ? Cette dernière pourrait-elle correspondre à une petite nécropole familiale liée à un établissement rural ? Cette grande fosse pourrait-elle en lien avec des pratiques rituelles et/ou funéraires ?
Seul un décapage extensif et une fouille exhaustive permettraient de répondre à toutes ces questions que soulèvent ces vestiges. En l'état, il n'est pas possible de déterminer s'il s'agit d'unités d'habitation avec plusieurs bâtiments semi-excavés ou s'il s'agit d'activités artisanale et/ou agricole en relation avec un établissement rural qui n'aurait pas été mis en évidence dans le cadre des tranchées de ce diagnostic.

2.2.3.2. Les structures de combustion

Trois structures de combustion ont été mises au jour dans la tranchée 7, toutes trois situées à l'ouest de la grande fosse 7.14 : 7.4, 7.25 et 7.26 (**Fig. 60**).

La structure de combustion 7.4 apparaît à 0.35 m sous la surface actuelle, son flanc méridional est recoupé par le fossé moderne 7.5 et est bordée à l'ouest par le fossé 7.2 (non daté) (**Fig. 64**, **65**).
De plan oblong, elle mesure 2.50 m de longueur, 0.60 m de largeur et 0.26 m de profondeur. Son profil est en cuvette à fond plat, aux parois rubéfiées. Le fond de ce creusement ne présente en revanche aucune trace de rubéfaction, il est pour partie tapissé d'une couche de limon argileux brun-gris contenant quelques charbons de bois (us 4). Sur celle-ci repose une épaisse couche de charbons de bois (us 3) (**Fig. 66**, **67**), sur laquelle ont

Fig. 64 Coupe de la structure de combustion 7.4, de la fosse 7.3 et des fossés 7.2 et 7.5 ©L. Contu

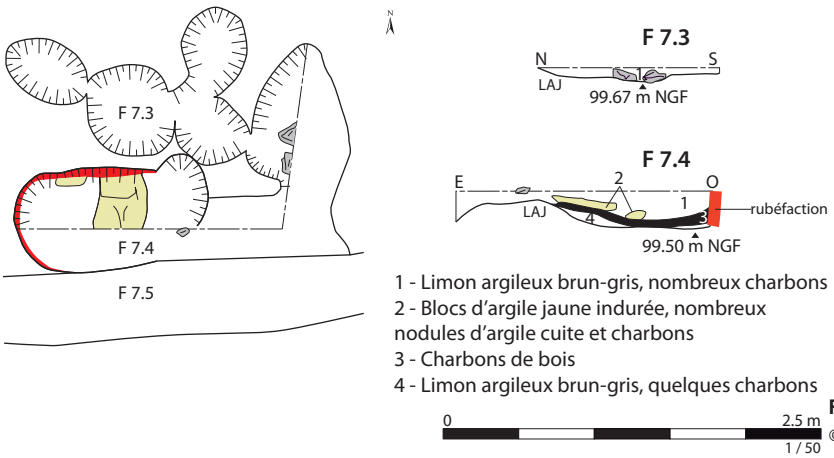

Fig. 65 Coupe de la structure de combustion 7.4 ©J. Cavanillas

été mis en évidence plusieurs blocs d'argile indurée jaune, contenant des nodules d'argile cuite et des charbons de bois (us 2). C'est un limon argileux brun-gris contenant de nombreux charbons de bois (us 1) qui scelle le comblement de cette structure de combustion et de la fosse adjacente 7.3. Il semblerait que la structure de combustion 7.4 relève plus de la tranchée foyer que du four, tel que cela avait été envisagé lors de sa découverte. La fosse 7.3 avait été interprétée lors de l'ouverture de cette tranchée comme une possible fosse de travail lié à 7.4. Or l'arasement de cette fosse et la typologie de la structure de combustion 7.4 écarte cette hypothèse. Malgré tout, cette fosse maculiforme peu profonde est très certainement contemporaine et lié à F 7.4.

Fig. 66 Vue la structure de combustion 7.4 ©L. Contu

Fig. 67 Coupe de la structure de combustion 7.4 ©L. Contu

La structure de combustion 7.25 apparaît à 0.30 m sous la surface actuelle. Ce foyer de plan quadrangulaire mesure 0.50 m de côté et est constitué d'une sole d'argile cuite dans les tons orangé à rouge de quelques centimètres d'épaisseur.

La structure de combustion 7.26 apparaît à 0.40 m sous la surface actuelle. Ce foyer de plan quadrangulaire mesure 0.60 m de longueur et 0.50 m de largeur, il est également constitué d'une sole comparable à celle de F 7.26.

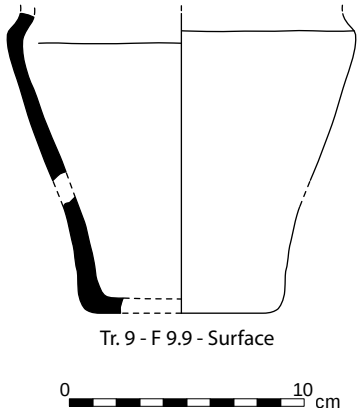

Fig. 68 Céramique issue de la tranchée 9, F9.9 (dessin, DAO : Lierville © Inrap)

2.2.3.3. Fréquentation en périphérie du site à l'âge du Fer

Plusieurs structures, trous de poteau et fosses, situées en périphérie du coeur du site précédemment décrit, ont livré du mobilier de l'âge du fer.

La fosse 9.9 est située à 160 m au sud-est de la fosse 7.14, sur le versant, à environ 96 m NGF. Elle mesure 0.65 m de largeur, son comblement superficiel constitué de limon argileux brun clair a livré 38 fragments de céramique. Ces fragments appartiennent à un récipient modelé de forme moyenne à profil en esse dont la partie haute n'est pas conservée. La panse présente une carène douce, qui permet d'envisager une datation au cours du 1er âge du Fer ou à La Tène ancienne (**Fig. 68**).

La fosse 5.36 est située à 100 m à l'est de la fosse 7.14, sur le versant, à environ 96 m NGF. Elle mesure 0.50 m de largeur, son comblement superficiel constitué de limon argileux brun-gris a livré huit fragments de panse pouvant dater de La Tène.

La fosse 2.2 est située à 120 m à l'est de la fosse 7.14, sur le versant, à environ 97 m NGF. Elle mesure 1.70 m de longueur et 0.70 m de largeur, son comblement superficiel constitué de limon argileux brun mêlé de poches argileuses jaunes a livré deux fragments de panse pouvant dater de La Tène.

La fosse 14.1 est située à 90 m au nord de la fosse 7.14, sur le plateau, à environ 98.5 m NGF. Elle mesure 0.87 m de longueur et 0.60 m de largeur, son comblement superficiel constitué de limon argileux brun foncé mêlé de charbons de bois a livré deux fragments de panse pouvant dater de La Tène.

Bien qu'aucune organisation précise de la périphérie du site ne puisse être mise en évidence, l'éparpillement de ces structures autour du coeur de l'occupation montre une fréquentation de ses abords. En outre bon nombre de structures n'ont pu être datées mais pourraient être contemporaines à celles présentées précédemment.

2.2.4. Des fosses évoquant des sépultures à inhumation

Dans la tranchée 6, quatre fosses oblongues suivant une orientation ouest-sud-ouest/est-nord-est ont été mises évidence à proximité de la tombe à crémation secondaire 6.12 : 6.18, 6.19, 6.14 et 6.15 (**Fig. 71**, **70**). Lors de l'ouverture de la tranchée seules deux d'entre elles étaient visibles pour tout ou partie et avaient été enregistrées comme simple fosse. C'est lors de la réalisation des extensions de part et d'autre de la tombe à crémation secondaire que deux fosses semblables ont été découvertes. Leur longueur varie entre 1.25 et 1.80 m de longueur et leur largeur entre 0.45 et 1 m. Le sédiment qui comble ces structures est comparable : un limon argileux brun foncé mêlé de poches argileuses jaunes.
La fosse 6.18 a été testée, elle présente un profil en cuvette à fond plat avec une légère pente vers l'est-nord-est. Aucun ossement, aucun trace ligneuse, aucun calage n'a été mis en évidence lors de la fouille de cette fosse (**Fig. 69**). Le comblement a toutefois livré un fragment de panse daté de la Protohistoire. Il est à noter que deux de ces fosses recoupent le fossé 6.13, daté de la Protohistoire.
A ces quatre fosses peuvent en être rajoutées cinq, localisées dans les tranchées 5, 7, 8, 12 et 13 : F 5.37, F 7.17, F 8.2, F 12.11, F 13.8.

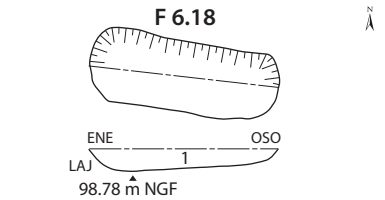

Fig. 69 La fosse 6.18 ©J. Cavanillas

Fig. 70 Vue des fosses 6.18 et 6.19 ©J. Cavanillas

Fig. 71 Localisation d'un "groupe" de sépultures ©J. Cavanillas

En l'absence d'ossement et de réel regroupement il n'est pas possible sans un décapage extensif de déterminer si oui ou non il s'agit de sépulture à inhumation et quelle est l'étendu de cette éventuelle nécropole.

2.2.5. Conclusion

Ce diagnostic a sans nul doute permis de mettre au jour un site de l'âge du fer important se développant sur le rebord du plateau à partir de la fin du VI^e^/fin V^e^ siècle avant notre ère jusqu'à la période laténienne. Il est caractérisé par une zone funéraire et une occupation située à une vingtaine de mètres au sud-sud-ouest qui pourrait correspondre à de l'habitat et/ou de l'artisanat et des traitements des céréales et fibres végétales. Il est possible que ce site se développe pour partie hors emprise au sud-sud-ouest, néanmoins cette parcelle (AB 311) est libre de construction. La présence d'une nécropole à inhumation est possible mais reste en l'état incertaine, il s'agirait de le vérifier grâce à un décapage extensif. L'état de conservation de ce site de l'âge du Fer est bon et même très bon pour certaines structures qui semblent très préservées malgré un niveau d'apparition relativement haut 0.30 à 0.40 m sous la surface actuelle.

2.3. Occupation antique

Contrairement au site de l'âge du Fer, l'occupation antique se développe sur la partie basse du versant, entre 90 et 94 m NGF. Cette occupation est caractérisé par un chemin est-nord-est/ouest-sud-ouest, des fossés et par une grande fosse (**Fig. 72**).

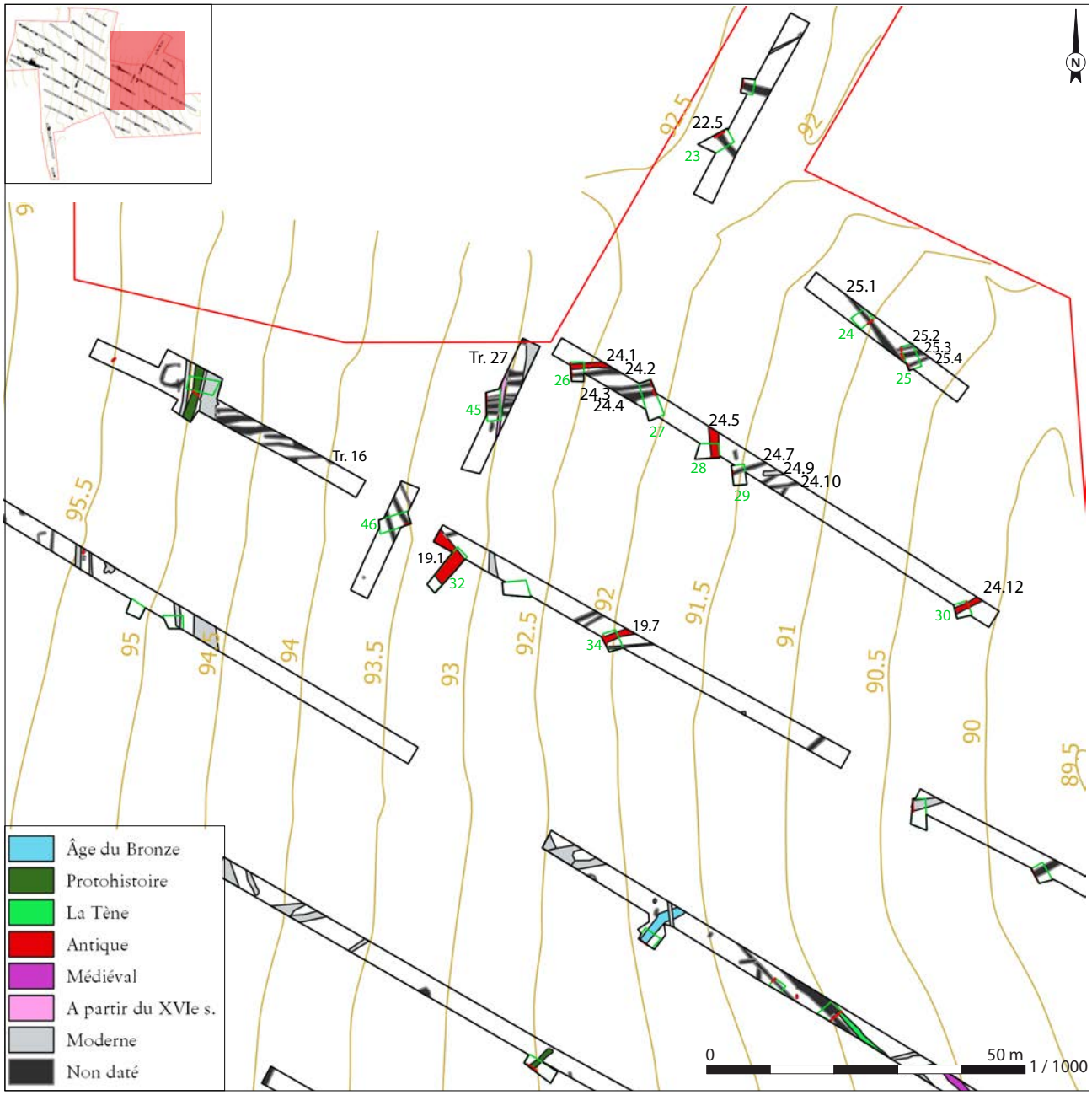

Fig. 72 Localisation du *locus* antique ©J. Cavanillas

2.3.1. Un chemin pour rallier le plateau au changement d'ère

Un chemin orienté est-nord-est/ouest-sud-ouest a été mis en évidence lors de ce diagnostic. Ce chemin est délimité par des fossés qui ont été entretenus et/ou dont le creusement a été déplacé de quelques mètres. Il s'agit pour les sections du bord septentrional 16.8/27.3/24.1 (Fossé A) et 16.7/27.4/24.2 (Fossé B), et celles marquant le bord méridional 16.9/27.6/27.7/24.3/25.2 (Fossé C) et 16.11/16.10/27.8/24.4/25.3 (Fossé D) (**Fig. 73, 74, 75**).

Fig. 73 Vue du sondage 45 : F 27.6; 27.7, 27.8, 27.9 ©J. Cavanillas

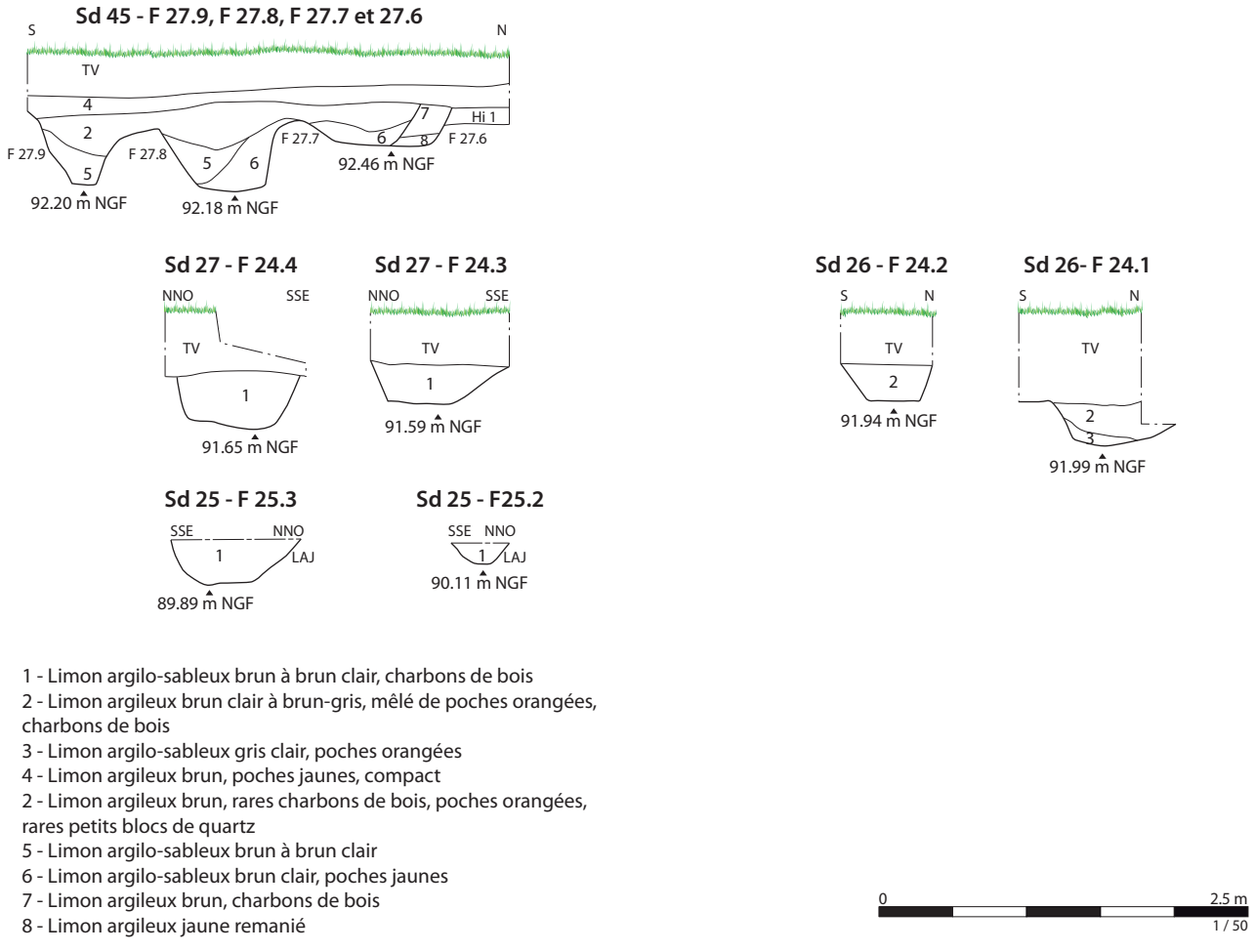

Fig. 74 Coupes des fossés du chemin antique ©J. Cavanillas

Les dimensions de ces fossés ne sont pas régulières. La largeur du fossé A oscille peu entre 0.50 et 0.65 m, sa profondeur n'a été éprouvée qu'à une seule reprise, 0.18 m. La largeur du fossé B oscille entre 0.80 et 1.50 m et la seule profondeur connue est de 0.58 m. La largeur du fossé C oscille entre 0.40 et 1.03 m et sa profondeur entre 0.14 et 0.38 m. La largeur du fossé D enfin varie entre 0.40 et 1.25 m et sa profondeur entre 0.26 et 0.60 m. Les fossés D et B présentent des dimensions comparables, il en est de même pour les fossés A et C, il s'agit là de simples constatations d'ordre métrique. Les fossés semblent

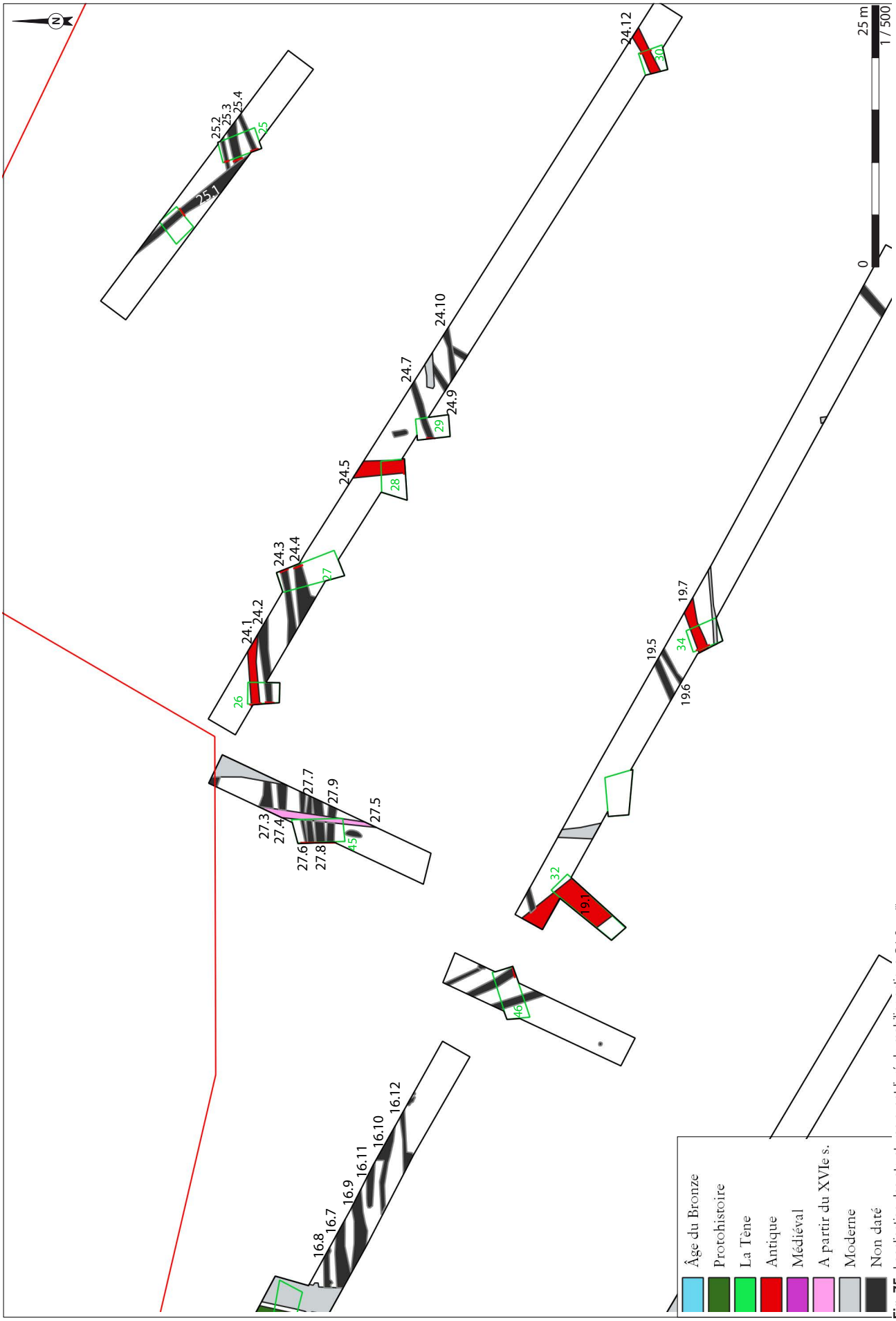

Fig. 75 Localisation des structures ayant livré du mobilier antique ©J. Cavanillas

Fig. 76 Fragments d'une fibule en alliage cuivreux F24-1
© Françoise Labaune-Jean

davantage arasés vers l'est-nord-est, si bien que ceux plus au nord n'ont pas été observés dans la tranchée 25. Enfin, les données chronologiques sont trop minces afin de proposer une compréhension fine et une évolution chronologique de ce chemin. Seul le fossé 24.1 a livré du mobilier datant dans le sondage 26 : une fibule en alliage cuivreux comprenant un haut arc et un ressort qu'il faut certainement rattacher à un type F14b, en usage entre 10 av. et 70 apr. J.-C (**Fig. 4776**).
Ce chemin pourrait se prolonger au-delà vers l'ouest-sud-ouest dans les tranchées 2 (F 2.6, 2.7, 2.9) et 5 (F 5.18 et 5.19).

2.3.2. Les structures fossoyées antiques

Trois fossés ont livré du mobilier céramique daté de l'Antiquité, ils semblent se structurer autour du chemin décrit précédemment, au sud de ce dernier : 19.7, 24.12 et 24.5 (**Fig. 75**, **77**).

Le fossé 19.7, orienté est-nord-est/ouest-sud-ouest, apparaît à 0.45 m sous la surface actuelle. Testé dans le sondage 34, il présente un profil en U et mesure 1.05 m de largeur et 0.26 m de profondeur. Il est comblé de limon argilo-sableux gris à gris-jaune, contenant des charbons de bois, ainsi que deux tessons de céramique. Il s'agit d'un tesson de panse à pâte oxydante et un autre en commune sombre à lignes lissées[1] datés du II^e^-III^e^ siècles.

Le fossé 24.12, orienté nord-est/sud-ouest, apparaît à 0.50 m sous la surface actuelle. Testé dans le sondage 30, il présente un profil en U et mesure 0.75 m de largeur et 0.20 m de profondeur. Il est comblé de limon argileux à argilo-sableux brun à brun-jaune, contenant des charbons de bois, ainsi que deux tessons de céramique. Il s'agit de deux fragments de panse en céramique commune sombre assez fine se rapportant à un même individu, plutôt bien cuit, daté de l'Antiquité.

Ces deux fossés 19.7 et 24.12 sont des fossés de petits modules, dont le tracé est très légèrement divergent de celui du chemin antique. Il est à noter toutefois que ces deux fossés ne trouvent pas de prolongement dans les tranchées autour.

Le fossé 24.5, orienté nord/sud, apparaît à 0.40 m sous la surface actuelle. Testé dans le sondage 28, il présente un profil en V à fond arrondi et mesure 1.50 m de largeur et 0.72 m de profondeur. Le fond du creusement est tapissé de limon argileux beige-jaune contenant des charbons de bois, des petits blocs de quartz et de petites poches orangées (us 5). Sur celle-ci repose un limon argileux brun-jaune contenant de rares charbons de bois (us 4), cette couche semble être tronquée par un curage du fossé sur la quasi-totalité de la hauteur et de la largeur du fossé. Ce deuxième état présente un profil en V, comblé de limon argilo-sableux brun contenant des charbons de bois (us 3). Cette couche a livré sept tessons de céramique correspondant à la pointe d'une amphore à pâte beige, de type Pascual 1 vraisemblablement associée à un petit éclat de récipient en commune sombre, ce lot date de la fin du I^er^ s. av. J.-C. - début du I^er^ s. apr. J.-C.
Ce fossé est en comparaison à ceux décrits précédemment d'un module plus important et est entretenu (état de curage), il est probable qu'il s'agisse d'un fossé d'enclos. Malheureusement il n'a été mis en évidence que dans la tranchée 24, les tranchées 27 et 28 avaient été réalisées afin de mettre en évidence un éventuel retour vers l'ouest, en vain, il semble que le choix d'implantation des tranchées complémentaires n'ait pas été très opportun.
Rappelons néanmoins que **le fossé 16.5**, localisé sur le versant à 95 m NGF, suivant une orientation nord-nord-est/sud-sud-ouest, a livré certes deux

1 C'est peut-être la suite d'un des tessons issu de la structure 19.1

fragments de panse avec des pâtes de facture protohistorique ancienne mais aussi un tesson antique et un du Bas Moyen Âge en surface. Le gabarit de ce fossé au profil en V, de 1.40 m de largeur et 0.62 m de profondeur est comparable à celui du fossé 24.5. Ne pourrait-il pas s'agir de la façade ouest d'un enclos que délimiteraient les fossés 16.5 et 24.5.

Si seuls ces trois fossés peuvent être rapportés de manière certaine à la période Antique, d'autres pourraient participer à la structuration du paysage de cette époque, en se basant sur leur orientation : F 24.7 et F 24.10.
Le fossé 24.10, orienté est-nord-est/ouest-sud-ouest, mesure 0.50 m de largeur. Son comblement superficiel est constitué de limon argileux gris clairs contenant des charbons de bois.
Le fossé 24.7, orienté est-nord-est/ouest-sud-ouest, apparaît à 0.40 m sous la surface actuelle. Testé dans le sondage 29, il présente un profil en cuvette et mesure 0.50 m de largeur et 0.32 m de profondeur. Il est comblé de limon argilo-sableux brun, contenant des charbons de bois.

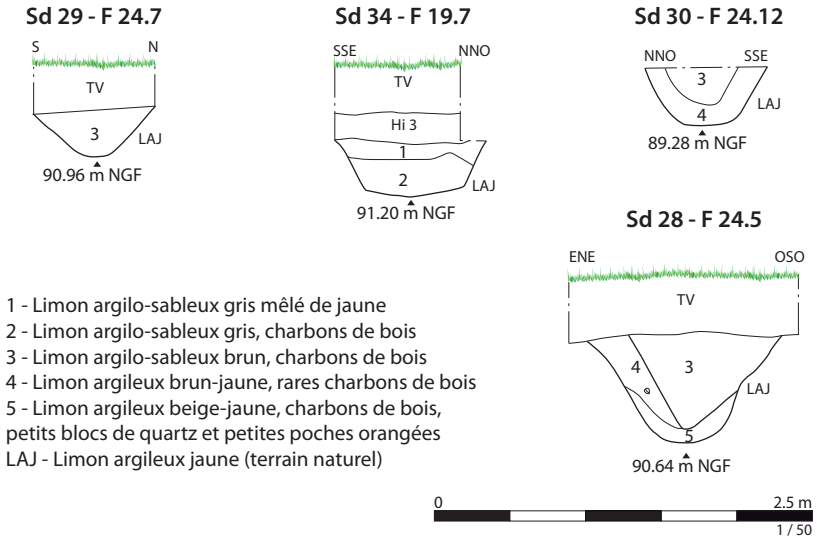

Fig. 77 Coupe des fossés antiques ©J. Cavanillas

2.3.3. Une grande fosse : atelier ou habitat ?

Une fosse aux dimensions importantes a été mise en évidence à l'extrémité nord-ouest de la tranchée 1 (**Fig. 75**, **79**, **80**). Un sondage a été réalisé dedans en pensant qu'il s'agissait d'un fossé pouvant constituer un retour au fossé 24.5. La structure 19.1 située en démarrage de tranchée n'était que partiellement mise au jour. Le sondage 32 a très vite permis de mettre en évidence qu'il s'agissait d'une grande fosse, dont les dimensions sont partiellement connues : 6 m de longueur minimum, 5.25 m de largeur et 0.37 m de profondeur. Elle apparaît sous l'horizon 1, à 0.40 m sous la surface actuelle. Son profil en cuvette a fond plat pour l'essentiel est comblé de limon argileux brun clair contenant des charbons de bois et de la céramique. Il s'agit d'un lot de trois tessons comprenant deux tessons en commune claire, un tesson d'écuelle à lèvre arrondie et rentrante, à la panse courbe et avec un décor de lignes lissées en surface externe, daté IIe-IIIe siècles (**Fig. 78**).

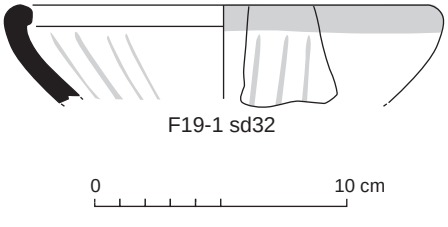

Fig. 78 Céramique issue de la fosse 19.1
©F. Labaune-Jean

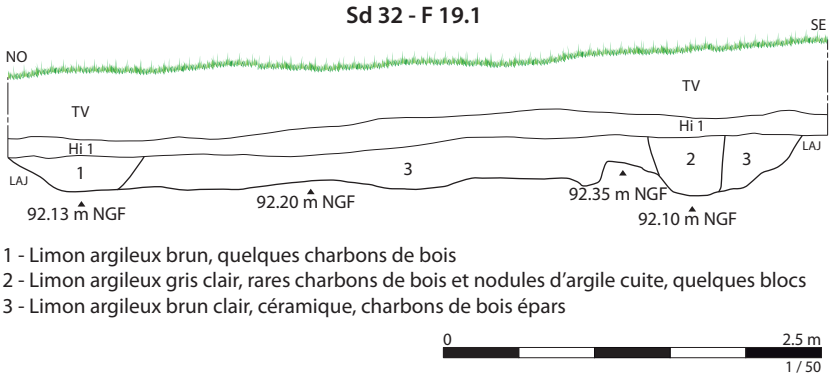

Fig. 79 Coupe de la fosse 19.1 ©J. Cavanillas

Le comblement de cette fosse présente deux creusements postérieurs aux extrémités nord-ouest et sud-est (**Fig. 80, Fig. 79**). Le creusement situé au nord-ouest présente un profil en cuvette à fond plat de 0.90 m de largeur et 0.24 m de profondeur, il est comblé de limon argileux brun contenant quelques charbons de bois (us 3). Le creusement situé au sud-est présente un profil en U de 0.51 m de largeur et 0.38 m de profondeur, comblé de limon argileux gris clair contenant de rares charbons de bois et nodules d'argile cuite et quelques blocs (us 2).
Le plan et la fonction de cette structure reste pour l'heure inconnus. Cette structure pourrait être une fosse atelier ou encore un bâtiment semi-excavé, le profil assez régulier ne semble pas correspondre à une fosse d'extraction. Les creusements postérieurs correspondent-ils à des trous de poteau liés à un réaménagement de cette structure ou encore à des fossés postérieurs à son abandon ?

Fig. 80 Vue de la coupe de la fosse 19.1 ©J. Cavanillas

Fig. 81 Vue des coupes du sondage 5
©J. Cavanillas

2.3.4. La voie antique reliant Morlaix à Lesneven

La voie romaine reliant Morlaix à Lesneven borde l'emprise de ce diagnostic au sud (**Fig. 83**). Il a de ce fait été décidé de réaliser une tranchée perpendiculaire au tracé de cet itinéraire reporté sur la carte archéologique, et de s'approcher le plus possible du bord de l'emprise pour espérer pouvoir la mettre au jour partiellement. La présence d'un réseau d'eau et la proximité immédiate de la voirie actuelle ont contraint l'implantation de cette tranchée à 5 m du bord méridional de l'emprise.
La tranchée a permis de mettre en évidence dans la partie sud un fossé, 20.1, orienté est-nord-est/ouest-sud-ouest. Ce fossé partiellement observé mesure au minimum 0.40 m de largeur et 0.26 m de profondeur. Il est comblé de limon argileux brun-gris foncé à brun-jaune contenant des charbons de bois, des nodules d'argile cuite et des petits cailloux de quartz (us 3 et 4) (**Fig. 81**, **Fig. 82**). Il pourrait s'agir du fossé bordier septentrional de la voie antique reliant Morlaix à Lesneven.

Un fossé, 20.2, orienté nord-nord-est/sud-sud-ouest le recoupe. F 20.2 présente un profil en cuvette évasée de 1.13 m de largeur et 0.27 m de profondeur. Il est comblé de limon argileux gris à brun-jaune, contenant des charbons de bois et quelques blocs de quartz (us 1 et 2) (**Fig. 81**, **Fig. 82**).

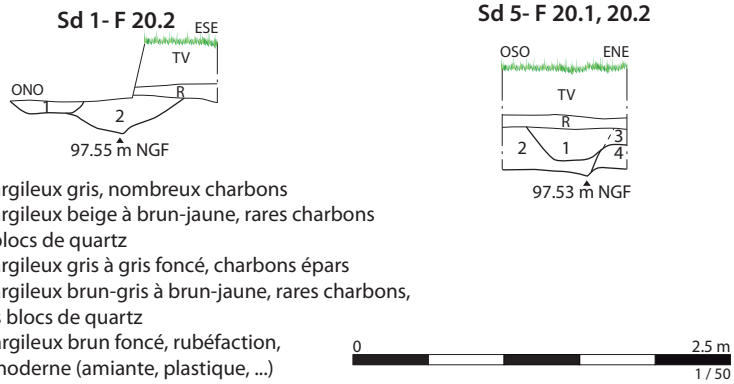

Fig. 82 Coupes des fossés 20.1 et 20.2 ©J. Cavanillas

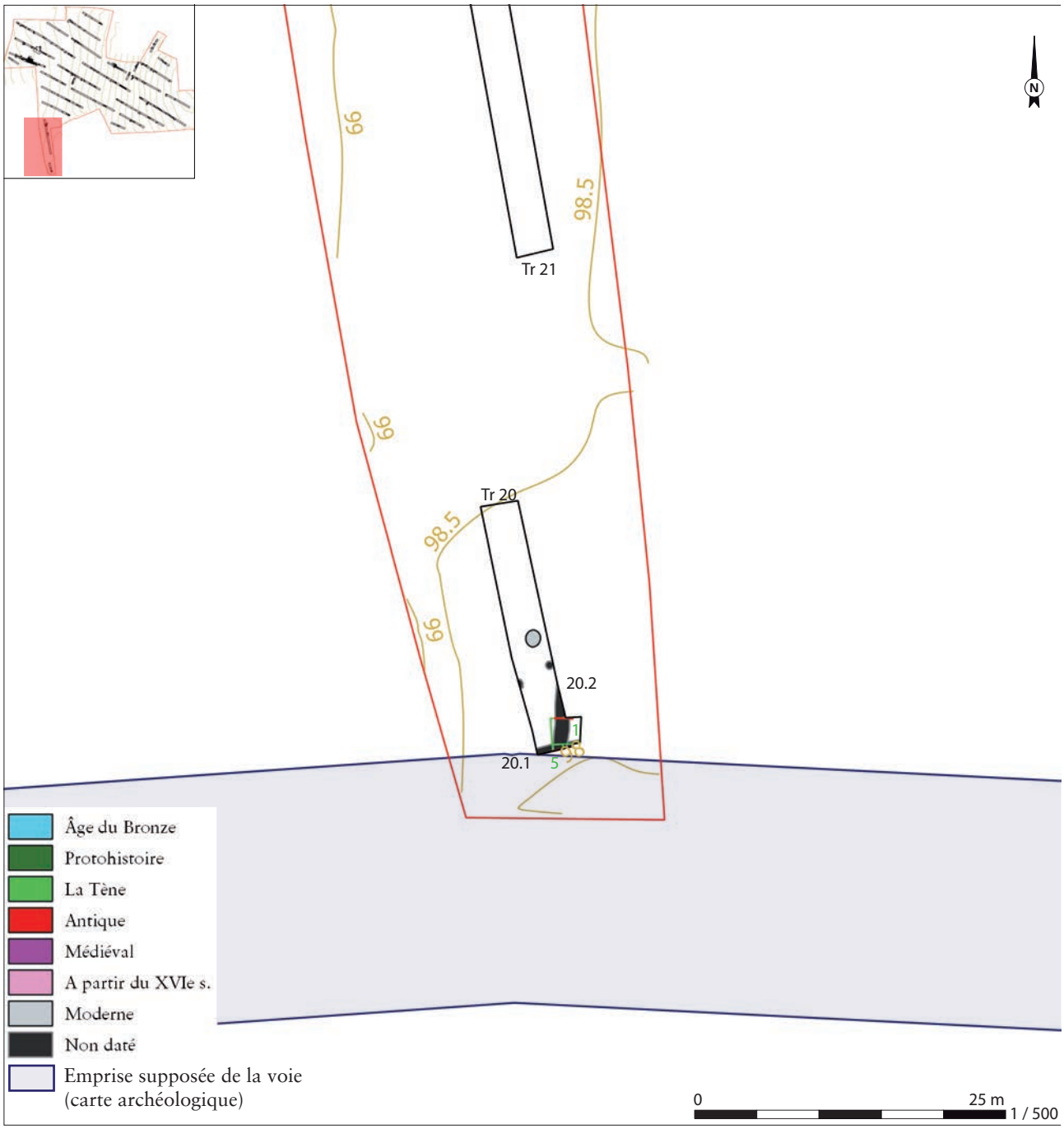

Fig. 83 Localisation de l'emprise supposée de la voie antique et des structures du diagnostic archéologiques ©J. Cavanillas

2.3.5. Conclusion

Le mobilier mis en évidence dans l'ensemble de ces structures fossoyées permet d'imaginer la proximité d'une occupation antique dès la fin du Ier s. av. J.-C. jusqu'au moins le IIIe s. apr. J.-C. En outre du mobilier antique a également été mis au jour lors du décapage des tranchées 1, 4 et 27.
-La tranchée 1 a livré un lot de quatre tessons en céramique comprenant : deux tessons à pâte claire, provenant sans doute d'une amphore antique (type Pasc. 1) et deux tessons indéterminés car trop petits. Ce lot est daté largement de l'Antiquité, et pourrait être du Ier s. apr. J.-C.
-La tranchée 4 a livré un lot de deux tessons en céramique réunissant un tesson de panse en commune claire et un autre en commune sombre de facture antique.
-La tranchée 27 a livré un lot de quatre tessons en céramique comprenant un éclat en commune clair et trois tessons en commune sombre dont un bord de pot à lèvre en amande courte verticale, datés du IIe-IIIe siècles (**Fig. 84**).

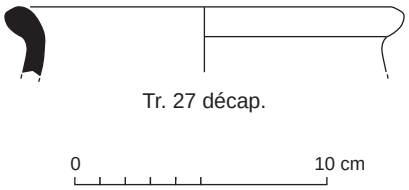

Fig. 84 Céramique issu du décapage de la tranchée 27
© Françoise Labaune-Jean

Bien que la présence d'un enclos soit très fortement suspectée, son tracé reste en l'état pour le moins imprécis. Seul un décapage extensif et une fouille exhaustive permettraient d'en dessiner les contours et comprendre sa structuration et son évolution. Néanmoins le chemin antique mis en évidence semble être un axe structurant dans le paysage, les fossés antiques suivant une orientation sensiblement identique à celui-ci.

2.4. Structuration du paysage au Moyen Âge

2.4.1. Fréquentation au Moyen Âge central

Seul **un fossé 17.6** a livré du mobilier céramique daté du XIe - XIIIe s, il est localisé sur le plateau (**Fig. 86**). Orienté nord/sud, il apparaît à 0.43 m sous la surface actuelle. Testé dans le sondage 19, il présente un profil en U avec une paroi évasée à l'ouest. Il mesure 0.50 m de largeur et 0.34 m de profondeur et est comblé de limon argileux gris à gris-jaune, contenant des charbons de bois, ainsi qu'un tesson de céramique. Il s'agit d'un tesson de panse à pâte claire, pouvant dater du XIe - XIIIe s. (**Fig. 85**).

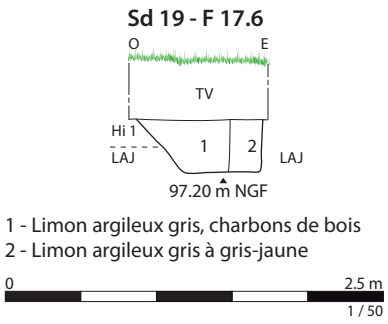

Fig. 85 Coupe du fossé 17.6 ©J. Cavanillas

D'après l'étude des orientations des fossés ayant livré du mobilier céramique daté largement de la période médiévale, le fossé 1.8 pourrait être contemporain du fossé 17.6 (**Fig. 86**). Orienté nord/sud, il mesure 1.27 m de largeur, son comblement superficiel est constitué de limon argileux brun mêlé de poches argileuses jaunes contenant un éclat de panse d'un récipient à pâte brun clair, assez dense en inclusions de mica. Il est difficile de trancher sur la datation possible de cette production : la pâte semble comparable à des productions du Moyen Âge mais on ne peut complètement écarter la possibilité d'un vase antique. Ce fossé pourrait se

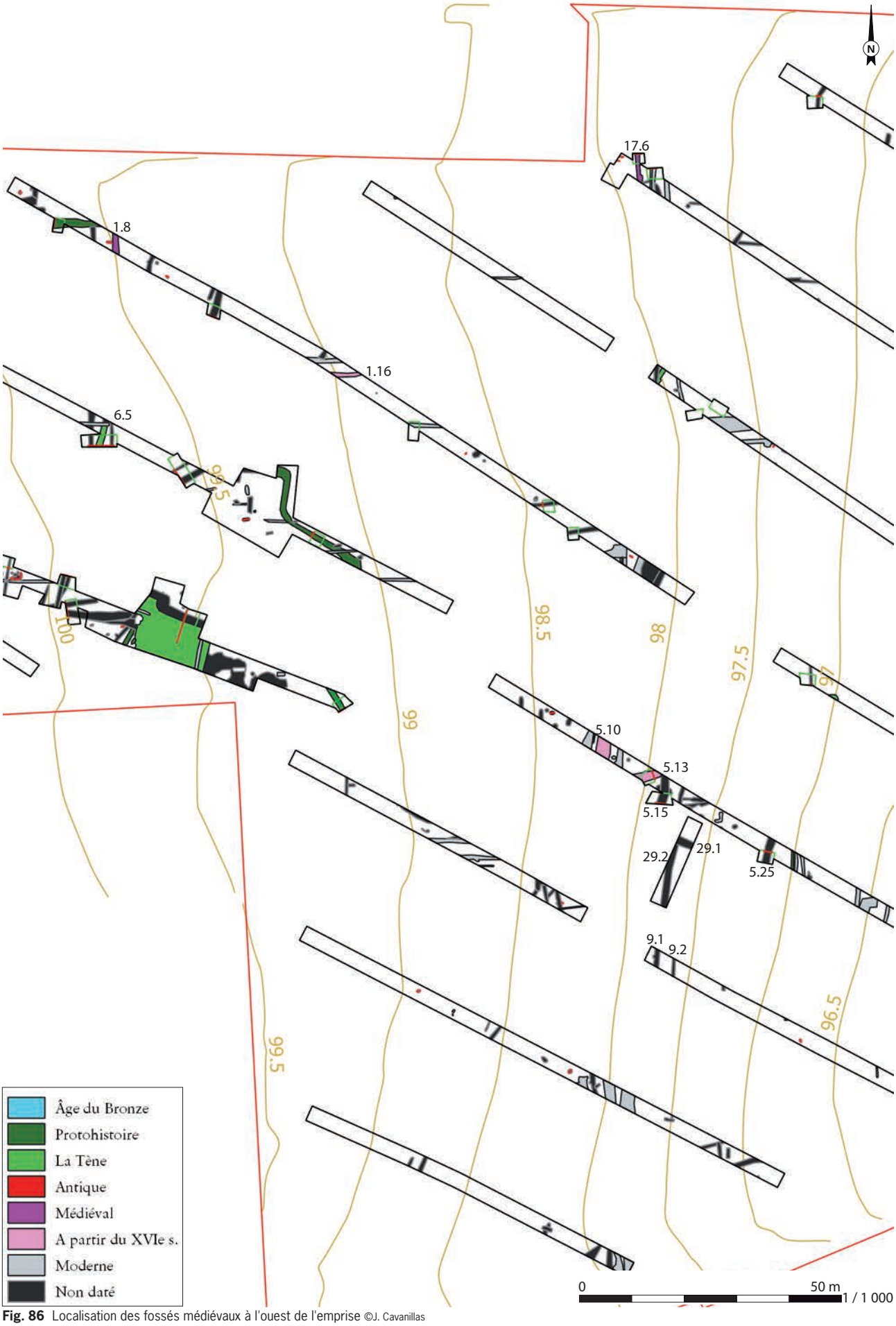

Fig. 86 Localisation des fossés médiévaux à l'ouest de l'emprise ©J. Cavanillas

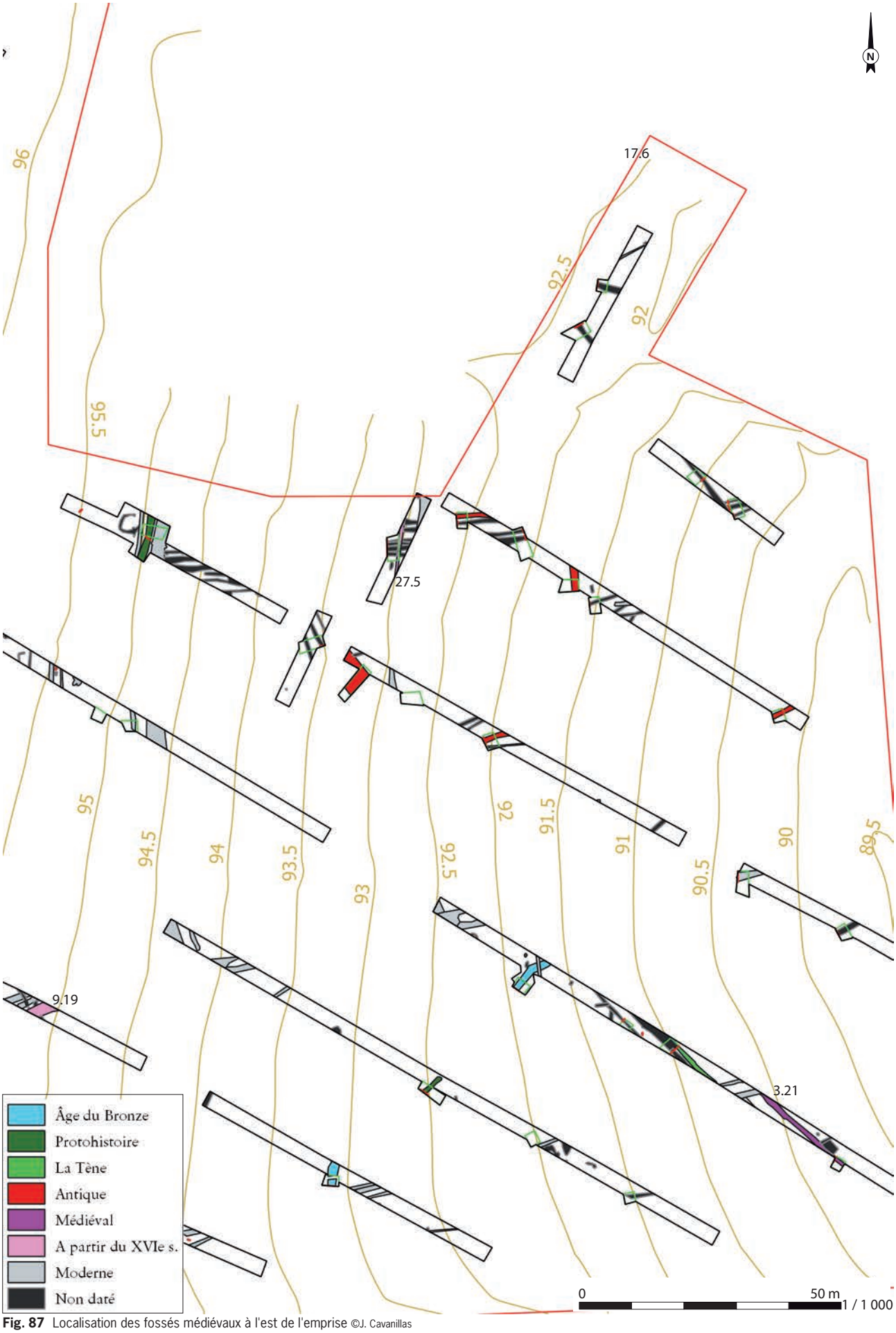

Fig. 87 Localisation des fossés médiévaux à l'est de l'emprise ©J. Cavanillas

prolonger dans la tranchée 6 avec la section 6.5

Ces deux fossés pourraient constituer une parcelle d'environ 100 m de largeur.

2.4.2. Le paysage du Bas Moyen Âge

Le Bas Moyen Âge n'est représenté que par **un fossé, 27.5, qui** a livré du mobilier céramique daté du XIVe - XVe s. Localisé sur le versant (**Fig. 87**), il est orienté nord/sud, il apparaît à 0.50 m sous la surface actuelle. Il mesure 0.65 m de largeur et son comblement superficiel est constitué de limon argileux brun clair, contenant un lot de sept tessons en céramique comprenant un morceau de panse avec glaçure interne non couvrante et six tessons appartenant à un même individu à pâte brun claire de facture locale. Parmi eux, on compte un morceau de bord éversé en collerette courte horizontale. La surface externe conserve d'importantes traces de suie témoignant d'une utilisation pour la cuisson. Ce lot est daté du XIVe - XVe s. (**Fig. 88**).

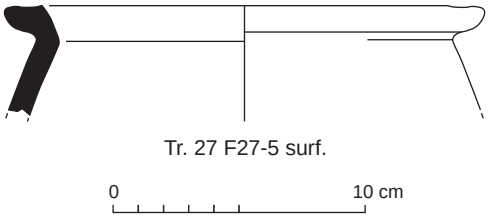

Fig. 88 Élément de forme céramique issu du fossé 27.5 ©F. Labaune-Jean

Ces fossés datés du Moyen Âge sont très peu nombreux au regard du nombre de fossés mis au jour lors de ce diagnostic. Cela peut s'expliquer d'une part par l'absence de mobilier datant dans bon nombre de structures fossoyées mais aussi par la vraisemblable perduration de ces limites du XVIe s. jusqu'à l'établissement du cadastre napoléonien en 1829 (**Fig. 89**, **90**), à l'image des fossés 9.19, 5.10, 5.13 mais aussi 27.5, 21.5, 21.6, 1.22, 1.23, 2.1 et 22.3.

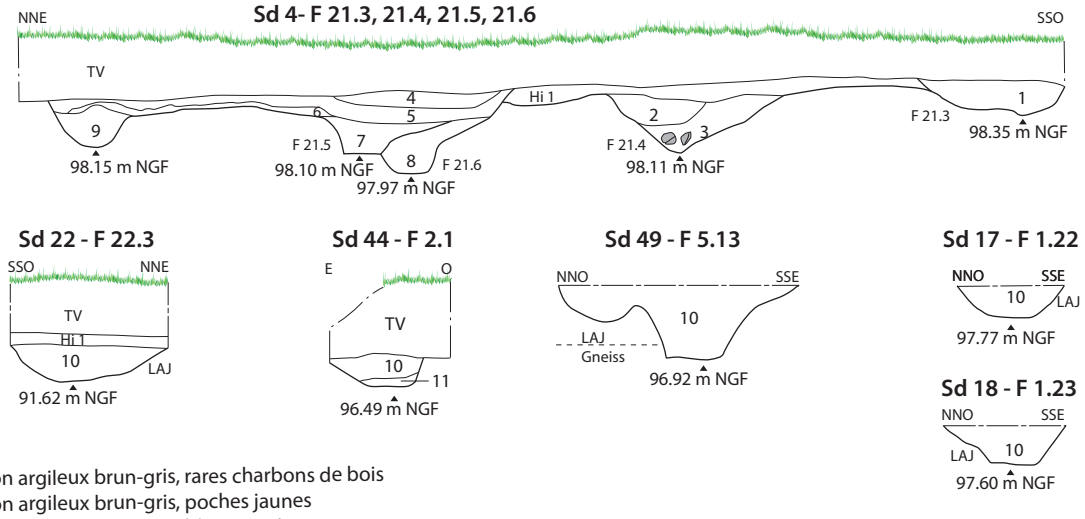

1 - Limon argileux brun-gris, rares charbons de bois
2 - Limon argileux brun-gris, poches jaunes
3 - Limon argileux brun-gris, blocs, scories
4 - Limon argileux brun foncé, rubéfaction, charbons de bois, petits blocs de quartz
5 - Limon argileux brun-jaune, rares charbons de bois, précipités de manganèse
6 - Cailloutis de quartz diffus, concrétions ferro-manganisque (niveau de circulation ?)
7 - Limon argileux brun-gris, charbons de bois rares
8 - Limon argileux beige, quartz épars
9 - Limon argileux brun-gris à beige, rares quartz, rares charbons de bois
10 - Limon argileux brun-gris foncé, rares charbons de bois et blocs de quartz
11 - Limon argilo-sableux brun clair

0 2.5 m
1 / 50

Fig. 89 Coupe du fossé 5.13 ©J. Cavanillas

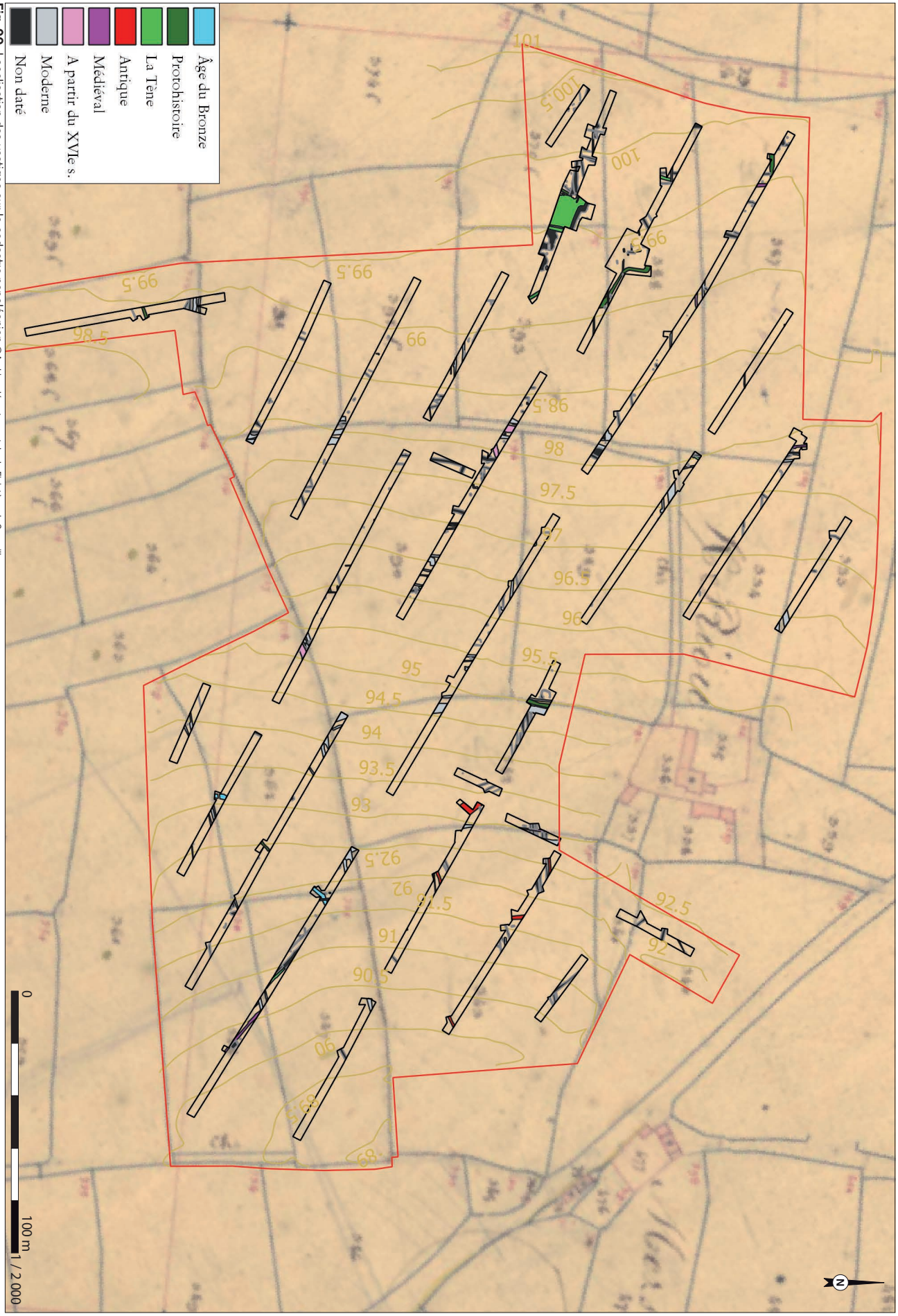

Fig. 90 Localisation des vestiges sur le cadastre napoléonien ©Archive départementale du Finistère, J. Cavanillas

2.5. Un enclos non daté sur le versant

Ce diagnostic très positif en terme de densité de structures archéologiques a conduit à réaliser un choix drastique dans les structures à tester. Deux fossés 5.15 et 5.25 ont été testés le dernier jour quelques minutes avant l'arrêt de la pelle mécanique. Ces deux fossés n'ont guère livré de mobilier céramique permettant de les dater, néanmoins leur gabarit important laisse à penser qu'il pourrait s'agir de fossés d'enclos (**Fig. 94**).

Le fossé 5.15, orienté nord/sud présente une légère inflexion vers le sud-sud-ouest. Testé dans le sondage 48, il présente un profil en V et mesure 1.79 m de largeur et 0.68 m de profondeur. Le fond du creusement est tapissé d'une argile limoneuse grise claire oxydée (us 4) témoignant d'un épisode de stagnation d'eau et d'un fonctionnement ouvert (**Fig. 91**, **92**). Ce sont ensuite une succession de trois couches limono-argileuse qui comblent ce fossé (us 1, 2, 3).

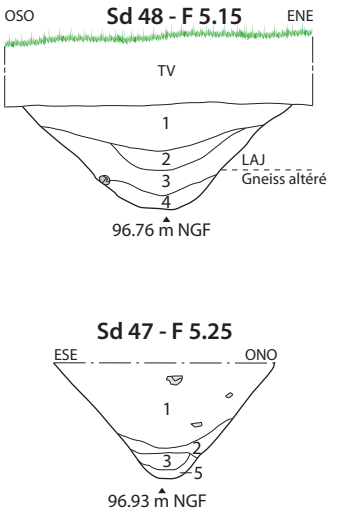

Fig. 91 Coupe des fossés 5.15 et 5.25 ©J. Cavanillas

Fig. 92 Coupe du fossé 5.15 ©J. Cavanillas

Le fossé 5.25, orienté nord-nord-est/sud-sud-ouest a été testé dans le sondage 47, il présente un profil en V et mesure 1.48 m de largeur et 0.76 m de profondeur. Les dynamiques de comblement de ce fossé sont identiques à celles du fossé 5.15 (**Fig. 91**, **93**).

Aucun retour n'a pu être mis en évidence malgré la réalisation d'une toute dernière tranchée, seul un décapage extensif de la zone permettrait de déterminer le tracé de cet enclos et sa chronologie. Ne pourrait-il pas s'agir d'un enclos funéraire ?

Fig. 93 Coupe du fossé 5.25 ©J. Cavanillas

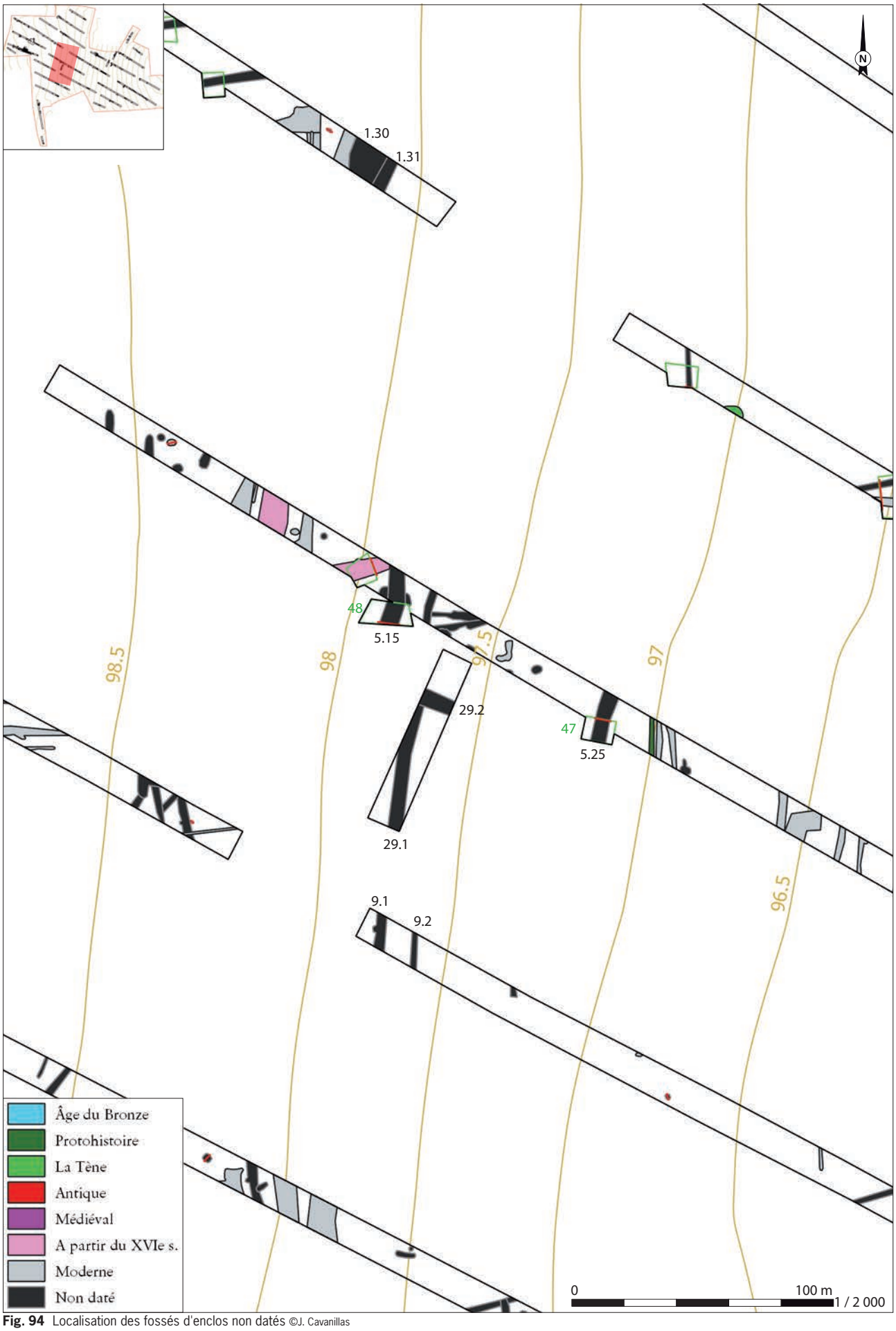

Fig. 94 Localisation des fossés d'enclos non datés ©J. Cavanillas

2.6. Les structures non datées

Une fois encore ce diagnostic a permis de mettre en évidence un très grand nombre de structures et plusieurs périodes d'occupation. Plusieurs structures testées pendant la phase terrain n'ont pu être datées. Seuls les plans et les coupes seront présentés ici, sans plus de description car en l'état il n'est pas possible de dépasser la simple description (**Fig. 95, 96 et 97**).

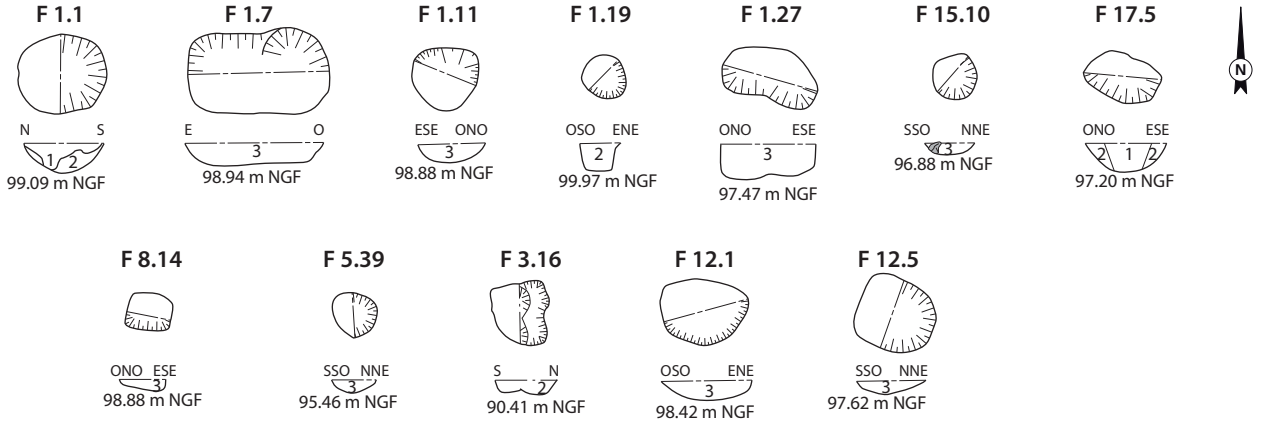

1 - Limon argileux brun, charbons de bois
2 - Limon argileux brun clair
3 - Limon argileux brun, poches jaunes, hétérogène

0 2.5 m
1 / 50

Fig. 95 Présentation des structures testées non datées ©J. Cavanillas

Fig. 96 Localisation des structures testées non datées dans la partie nord de l'emprise ©J. Cavanillas

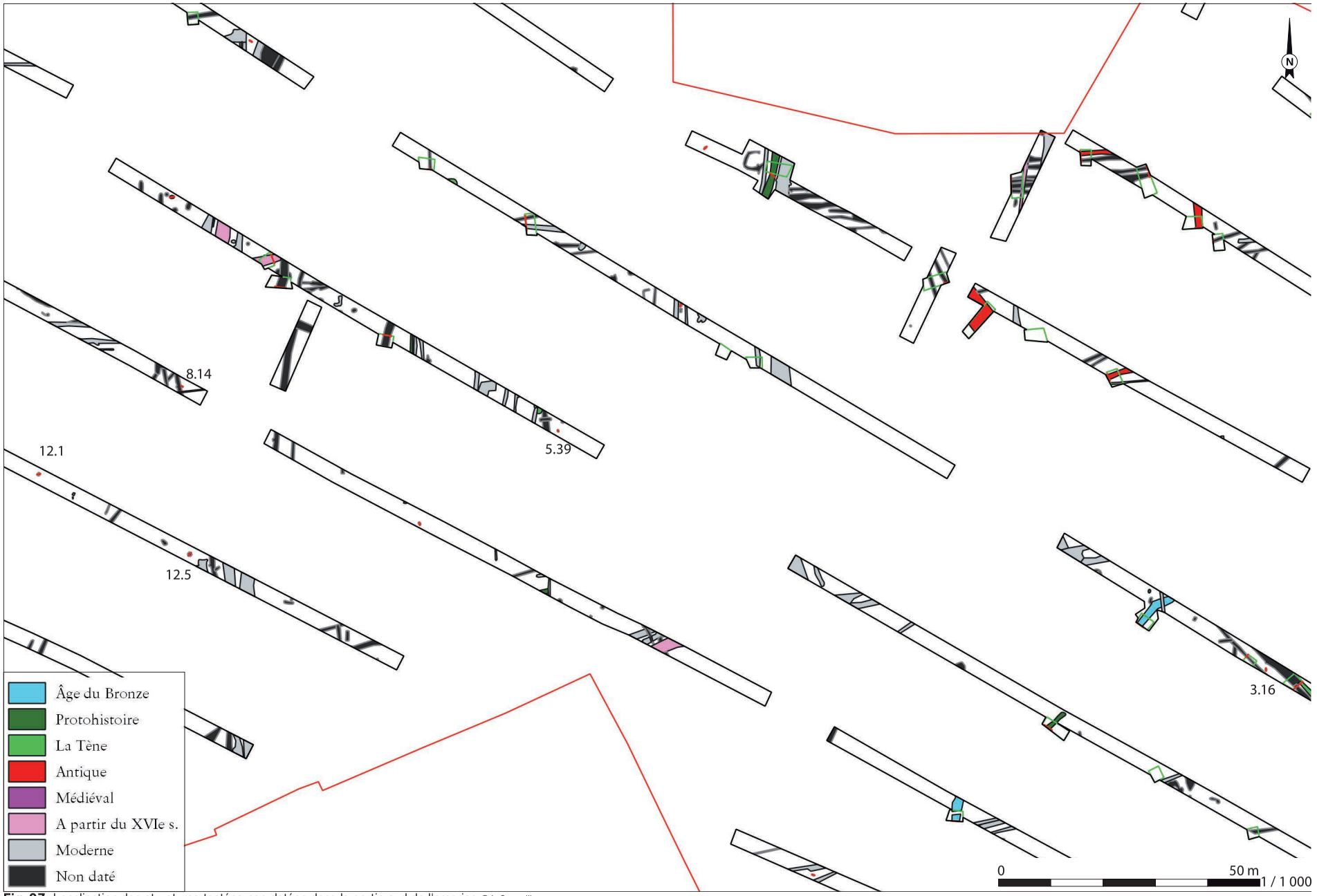

Fig. 97 Localisation des structures testées non datées dans la partie sud de l'emprise ©J. Cavanillas

Synthèse

Cette opération de diagnostic, couvrant une surface de 75 980 m², fait suite à une prescription des services de l'état motivée par la mitoyenneté de l'emprise au sud avec la voie antique reliant Morlaix à Lesneven, et par le contexte archéologique environnant très riche.
Ce diagnostic permet de mettre une fois de plus en évidence la densité des structures archéologiques rencontrées sur le plateau léonard, à l'image du diagnostic réalisé à Trézilidé en 2020 (**Cavanillas 2021**). Plusieurs occupations diachroniques ont pu être mises en évidence : âge du Bronze, âge du Fer et Antiquité (**Fig. 99**).

En bas de pente, au sud de l'emprise ont été découvertes plusieurs sections de fossés datées de l'âge du Bronze. Ce fossé s'il correspond à un simple fossé parcellaire trouve des comparaisons avec ceux mis en évidence à Plouédern/Ploudaniel ou encore à Lannion (**Blanchet 2013, Blanchet 2016, Blanchet 2018).** Si en revanche il s'agit d'un fossé d'enclos il peut alors être comparé à celui mis en évidence à Trézilidé (**Cavanillas 2021**). On ne peut toutefois pas parler de fossé d'enceinte à l'image de celui de la Z.A. de Bel Air à Lannion (**Escat 2013).** Ce fossé bronze s'inscrit d'un point de vu topographique en partie basse de l'emprise de ce diagnostic, entre les courbes de niveau 89.5 et 93.5 m NGF.
A été mis en évidence au nord-ouest de l'emprise, un bâtiment sur tranchées de fondation et poteaux porteurs qui par comparaison pourrait être daté du campaniforme. Partiellement mis au jour, il pourrait s'agir d'un bâtiment en amande comparable à ceux de la fouille de *Keraorec* à Concarneau (**Le Gall à paraître**) ou encore de la fouille de *Ty Bos II* à Quimper (**Mentele 2021**).

Ce diagnostic a sans nul doute permis de mettre au jour un site de l'âge du fer important se développant sur le rebord du plateau à partir de la fin du VI^{e}/fin V^{e} siècle avant notre ère jusqu'à la période laténienne. Il est caractérisé par une zone funéraire et une occupation située à une vingtaine de mètres au sud-sud-ouest qui pourrait correspondre à de l'habitat et/ou de l'artisanat et des traitements des céréales et fibres végétales. Il est possible que ce site se développe pour partie hors emprise au sud-sud-ouest, néanmoins cette parcelle (AB 311) est libre de construction. La présence d'une nécropole à inhumation est possible mais reste en l'état incertaine, il s'agirait de le vérifier grâce à un décapage extensif. L'état de conservation de ce site de l'âge du Fer est bon et même très bon pour certaines structures qui semblent très préservées malgré un niveau d'apparition relativement haut 0.30 à 0.40 m sous la surface actuelle.
Un chemin également daté de l'âge du Fer a été mis en évidence sur le versant, il ne semble pas pourtant desservir l'occupation décrite précédemment.

Durant l'Antiquité c'est le bas du versant qui semble avoir été occupé avec la mise en évidence d'un chemin, d'un probable enclos dont les limites ont été mal perçues et d'un bâtiment semi-excavé. Si cette occupation semble plus ténue que celle de l'âge du Fer, cela tient sans doute aux contraintes liées de l'exercice du diagnostic mais aussi météorologiques. En outre la densité très importante de structures fossoyées n'a pas permis une lecture évidente de cette enclos. Enfin le couvert végétal d'environ 1.40 m

de haut a compliqué encore davantage la compréhension de l'organisation des structures sur le terrain. Le mobilier mis en évidence dans l'ensemble des structures datées de l'Antiquité permet de proposer une occupation antique dès la fin du I^er^ s. av. J.-C. jusqu'au moins le III^e^ s. apr. J.-C. En outre du mobilier antique a également été mis au jour lors du décapage des tranchées 1, 4 et 27. Si cela reste anecdotique au regard des différents sites mis au jour, le fossé bordier de la voie antique reliant Morlaix à Lesneven pourrait avoir été mis en évidence dans la partie sud de la tranchée 20. Bien que la présence d'un enclos soit très fortement suspectée à mi-pente, son tracé reste en l'état pour le moins imprécis. Seul un décapage extensif et une fouille exhaustive permettraient d'en dessiner les contours et comprendre sa structuration, sa datation et son évolution.

L'emprise de ce diagnostic est donc occupée dès l'âge du Bronze jusqu'à la période médiévale et moderne. Les deux principales occupations mis en évidence datent de l'âge du Fer et du début de l'Antiquité avec un déplacement du rebord du plateau vers le bas du versant. Une fouille permettrait de mettre en évidence la structuration et l'évolution de cet espace, et certainement de mieux appréhender cette période de transition.

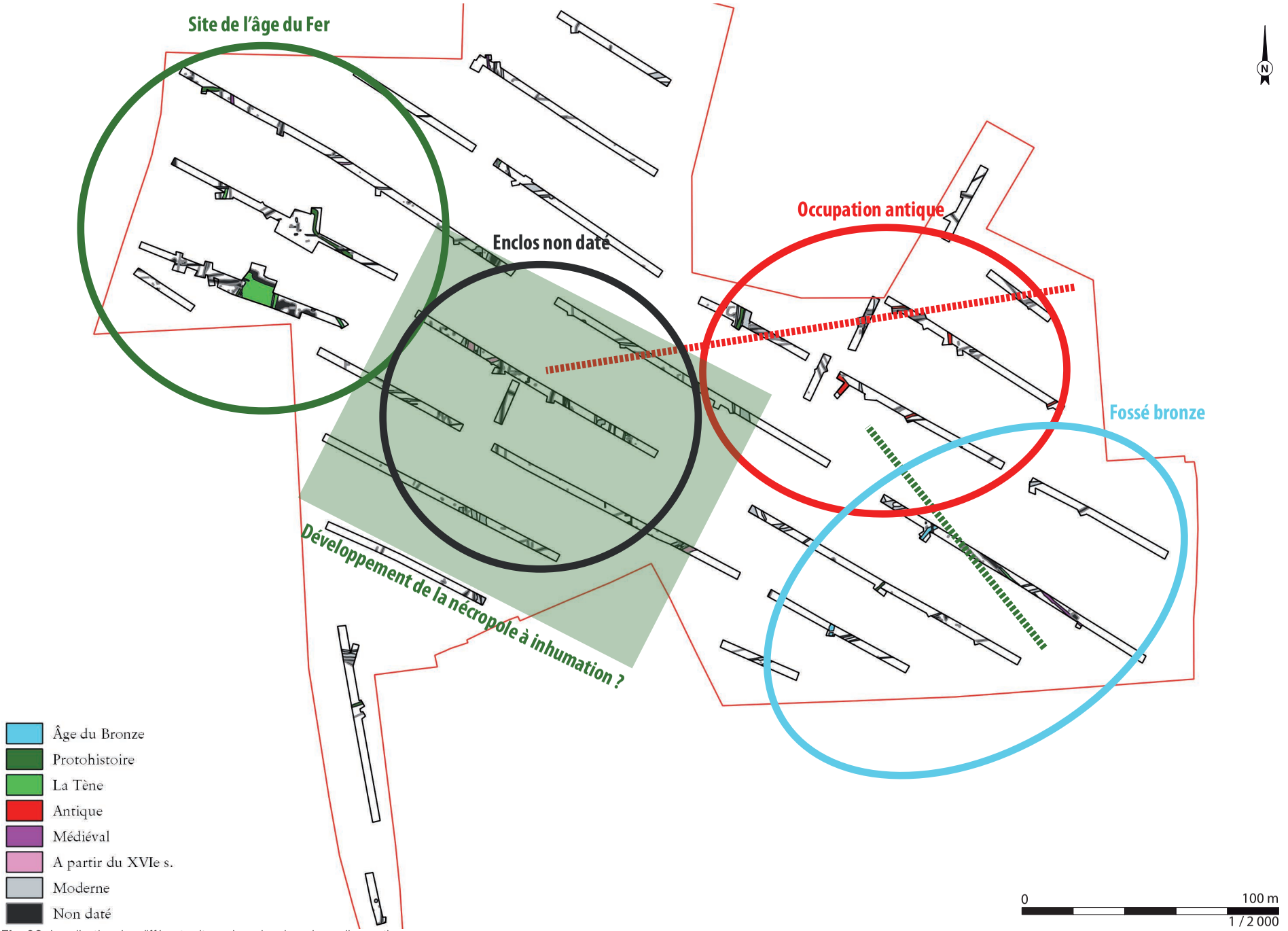

Fig. 98 Localisation des différents sites mis au jour lors de ce diagnostic ©J. Cavanillas

Bibliographie

Birkner 1980
BIRKNER (R.) — L'image radiologique typique du squelette, Paris, Maloine, traduit de l'Allemand par M. Bléry, édition originale 1977 (Das typische Rôngenbild des Skelette, München, Urban et Scharzenberg), 1980

Blanchet 2013
BLANCHET (S.) — Une longue occupation de la protohistoire au Moyen-Âge, Plouedern (Finistère) : Rapport de fouilles, Inrap, Grand-Ouest, SRA Bretagne, 2013, 470 p.

Blanchet 2016
BLANCHET (S.) — Occupations rurales de l'âge du Bronze et antiques (Côtes-d'Armor) : Rapport de fouilles, Inrap, Grand-Ouest, SRA Bretagne, 2016, 388 p.

Blanchet 2018
BLANCHET (S.) — Un ensemble funéraire et un habitat de l'âge du Bronze (Côtes-d'Armor) : Rapport de fouilles, Inrap, Grand-Ouest, SRA Bretagne, 2018, 223 p.

Cavanillas 2021
CAVANILLAS (J.) — Lan ar Marc'h Trézilidé/Mespaul (Finistère) : Rapport de diagnostic, Inrap, Grand-Ouest, SRA Bretagne, 2021, 214 p.

Chérel et al. 2018
CHÉREL (A.-F.), LIERVILLE (O.), MÉNEZ (Y.), VILLARD-LE TIEC (A.) — Les céramiques gauloises en Bretagne. Évolution des formes et des décors entre le VI^e^ et le I^er^ siècle avant notre ère. In : MÉNEZ Y. dir. — *Céramiques gauloises d'Armorique. Les dessiner, les caractériser, les dater.* Rennes : Presses universitaires de Rennes, 2018, p. 253-356.

Duday 2000
DUDAY (H.), DEPIERRE (G.), JANIN (T.) — Validation des paramètres de quantification, protocoles et stratégies dans l'étude anthropologique des sépultures secondaires à incinération. L'exemple des nécropoles protohistoriques du Midi de la France. In: Archéologie de la Mort, archéologie de la tombe au premier Âge du Fer. Actes du XXI^e^ Colloque International de l'Association Française pour l'étude de l'Âge du Fer. Conques-Montrozier, 8-11mai 1997, Monographies d'Archéologie Méditerranéennes 5, 2000, p.7-30.

Duday *et al.* 2000
DUDAY (H.), GRÉVIN (G.) — L'étude des crémations sur les bûchers, *Archeologia*, février 2004, pp.44-51.

Le Gall à paraître
Le GALL (V.) — Rapport de fouille Kéraorec, Concarneau (Finistère)

Le Goffic 1996
LE GOFFIC (M.) — *Morlaix-Ploujean, Le cimetière de l'âge du Fer de Kervellec* : rapport de fouille. Le Faou : Service départemental de l'archéologie du Finistère, SRA de Bretagne, 1996, 121 p.

Masset 1982
MASSET (C.) - *Estimation de l'âge au décès par les sutures crâniennes*. Thèse de doctorat d'État en sciences naturelles, Paris VIII, multigraphiée, 1982, 301 pages

Ménez 2021
MENEZ (Y) dir. — Une résidence de la noblesse gauloise – Le camp de Saint-Symphorien à Paule (Côtes-d'Amor), *Documents d'archéologie française*, n° 112, Paris, éd. de la Maison des sciences de l'homme, 2021, 412 p.

Mentele 2021
MENTELE (S.) — Les occupations protohistoriques et historiques de Ty Bos II, Quimper (Finistère) : Rapport de fouilles, Inrap, Grand-Ouest, SRA Bretagne, 2021, 404 p.

Moorrees 1963a
MOORREES (C.-F.-A.), FANNING (E.-A.), HUNT (E.- E.) — Formation and resorption of three deciduous teeth in children, *American Journal of Physical Anthropology*, 21, 1963, p. 205-213.

Moorrees 1963b
MOORREES (C.-F.-A.), FANNING (E.-A.), HUNT (E.- E.) — Age Variation of Formation Stages for Ten Permanent Teeth », *Journal of Dental Research*, 42, 1963, p. 1490-1502.

Roger 1996
ROGER (J.) — La gestion d'une nécropole à incinération : choix de fouille et de prélèvement dans l'opération préventive de la nécropole du Causse à Labruguière (Tarn). *Bulletins et Mémoires de la*

Société d'Anthropologie de Paris, n.s., t.8, 1996, 3-4, pp. 237-234.

Le Roux 1964
LE ROUX (C.-T.) — Deux cimetières à incinérations armoricains du versant septentrional. 71, fasc. 1, 1964, p. 35-49.

Sicard 2013
SICARD (S.) — Carrière des Lacs, Saint-Aubin-des-Landes, (Ille-et-Vilaine) : rapport de fouille, Inrap, Grand-Ouest, SRA Bretagne, 2013, 180 p.

Ubelaker 1984
UBELAKER (D.H.) — *Human skeletal remains. Excavations, analysis, interpretation.* Manuels on archaeology- 2, revised edition, Taraxacum, Washington, 1984

Villard-Le Tiec 2010
VILLARD-LE TIEC (A.), GOMEZ DE SOTO (J.), BOUVET (J.-P.) coord. — Pratiques funéraires du second âge du Fer en Gaule de l'Ouest (Bretagne, Pays de la Loire, Poitou-Charentes), in BARRAL (P.) *et al.* dir. — *Gestes funéraires en Gaule au second âge du fer*, actes du XXXIII[e] colloque international de l'AFEAF, Caen, 20-24 mai 2009, Besançon, Presses universitaires de Franche-Comté, 2010, 360 p.

Villard-Le Tiec 2013
VILLARD-LE TIEC (A.), MENEZ (Y.) et LORHO (T.) — Habitats et nécropoles de l'âge du Fer en Centre Bretagne, in KRAUSZ (S.) dir. — *L'âge du Fer en Europe. Mélanges offerts à Olivier Buchsenschutz*, Bordeaux, Ausonius, éd., coll. Mémoires », 2013, n°32, p. 245-263.

Annexe 1. Étude de la céramique protohistorique, O. Lierville (Inrap)

153 tessons de céramique protohistorique ont été exhumés du diagnostic de Plouvorn, Kerriou, pour un NMI estimé à seulement 6 individus. Les tessons récoltés ont tous pû être datés de la protohistoire ; quelques éléments évoquent des productions de l'âge du Bronze ; une urne et un vase peuvent être datés de la transition Premier/ Second âge du Fer ; et certains tessons peuvent être rattachés au Second âge du Fer au sens large. Hormis l'urne archéologiquement complète et bien conservée découverte dans la tranchée 6, les rares éléments de formes sont peu diagnostiques, et la plupart des tessons sont érodés ou roulés, et de petites dimensions.

A1.1 Éléments datés de la protohistoire ancienne :

- Tr. 3, Sd 40, F3.7

Le fossé 3.7 issu de la tranchée 3 a livré 2 tessons de céramique de facture protohistorique, dans l'us 7. Un de ces fragments de panse (fig. 99), réalisé dans une pâte grossière brune à nombreuses inclusions de quartz, est pourvu d'un petit cordon plat étiré dans la pâte. Le montage aux colombins à jointure oblique est bien visible en tranche du fragment. Quelques traces de suie tapissent la surface interne du récipient.

Datation : âge du Bronze

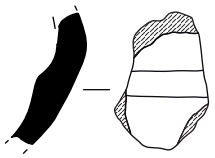

Fig. 99 Céramique issue de la tranchée 3, sondage 40, F3.7 (dessin, DAO : Lierville © Inrap)

- Tr. 10, Sd 42, F10.2

Un tesson a été retrouvé dans le fossé 10.2. Il s'agit d'un fragment de rebord de vase modelé à lèvre effilée (fig. 100). La pâte grossière de teinte brune à rouge ne permet pas d'envisager une datation plus précise que la protohistoire ancienne.

Datation : Protohistoire (ancienne)

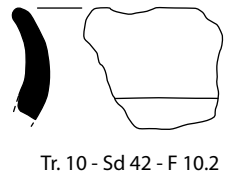

Fig. 100 Céramique issue de la tranchée 10, sondage 42, F10.2 (dessin, DAO : Lierville © Inrap)

- De plus, deux tessons issus de **la tranchée 16 F 16.5** présentent des pâtes de facture protohistorique ancienne.

A1.2 Éléments datés de l'âge du Fer :

- Tr. 6, Sd 13, F6.4, US 3

Le fossé 6.4 a permis de mettre au jour 2 tessons de céramique protohistorique formant un rebord large à lèvre arrondie et léger ressaut externe (fig. 101). La pâte brune, composée de très nombreuses fines inclusions roulées, évoque les productions laténiennes. Le mode de montage modelé permet de positionner la datation préférentiellement sur les phases anciennes et moyennes de La Tène.

Datation : Protohistoire (âge du Fer / La Tène ancienne ou moyenne)

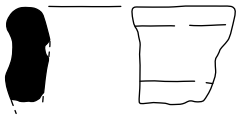

0 10 cm **Fig. 101** Céramique issue de la tranchée 6, sondage 13, F 6.4 (dessin, DAO : Lierville © Inrap)

- Tr. 6, F6.12

Une urne a été exhumée de la fosse 6.12 (fig. 103). Composée de 30 fragments de céramique, cette urne est essentiellement conservée dans la partie basse de sa forme. Un fragment de rebord ainsi qu'un fragment de panse carénée ont permis de restituer la forme entière du récipient (fig. 102). Il s'agit d'un vase de type 72a défini dans la typologie régionale (**Chérel et al. 2018**), daté entre le dernier quart du VI^e^ et le dernier quart du V^e^ s. avant notre ère. Ce type d'urne est caractéristique du Premier âge du Fer et du tout début de La Tène ancienne. Les comparaisons sont nombreuses avec des urnes issues de nécropoles dans toute la péninsule armoricaine. À titre d'exemple, dans le même secteur géographique, les urnes retrouvées sur les sites funéraires de Lannilis, Pembrat Vihan (**Le Roux 1964**), ou Morlaix-Ploujean, Kervellec (**Le Goffic 1996**) sont nettement comparables. Les urnes issues du site de Kervellec ont pu être datées entre 500 et 450 avant notre ère (**Chérel et al. 2018, p.334**).
Datation : Fin VI^e^ à fin V^e^ s. avant notre ère

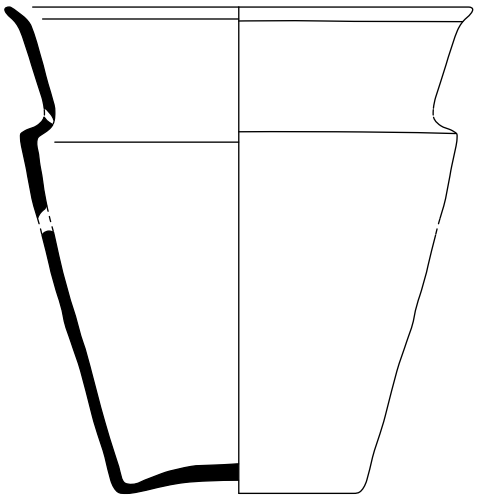

Fig. 103 Photographie de l'urne F6.12 (dessin, DAO : Lierville © Inrap)

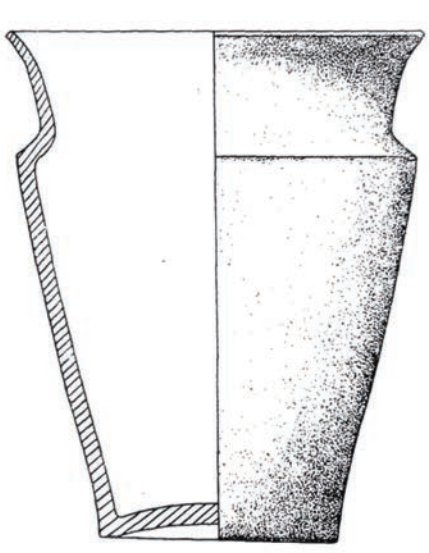

Lannilis, Pembrat Vihan

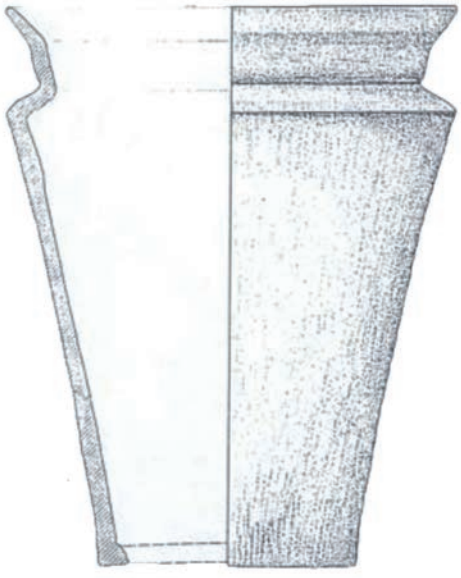

Morlaix-Ploujean, Kervellec

Fig. 102 Urne issue de la tranchée 6, F6.12 / Urnes des sites de Lannilis, Pembrat Vihan et Morlaix-Ploujean, Kervellec (dessin, DAO : Lierville © Inrap, Yvon Onée, Bertrand Grall)

0 10 cm

- Tr. 9, F 9.9, Surface
38 fragments de céramique ont été découverts dans la fosse 9.9. Ces fragments appartiennent à un récipient modelé de forme moyenne à profil en esse dont la partie haute n'est pas conservée (fig. 104). La panse présente une carène douce, qui permet d'envisager une datation au cours du Premier âge du Fer ou à La Tène ancienne.
Datation : Premier âge du Fer / La Tène ancienne

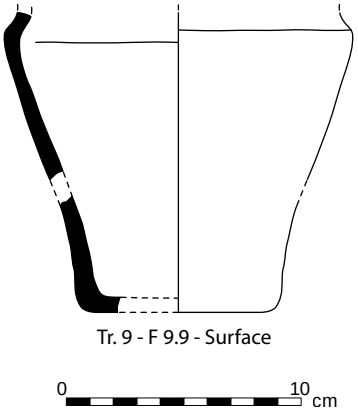

Fig. 104 Céramique issue de la tranchée 9, F9.9 (dessin, DAO : Lierville © Inrap)

- De plus, les pâtes de plusieurs fragments de panses issus des structures 3.17, 5.36, 6.4, 7.14 et 7.22, 14.1, 15.2, et 17.9, évoquent les productions de l'âge du Fer, peut-être Second âge du Fer.

A1.3 Conclusion :

Malgré la densité des structures, assez peu de mobilier - et à *fortiori* assez peu d'éléments diagnostiques - ont été retrouvés dans l'emprise du site, mais il s'agit exclusivement de céramiques protohistoriques. Une présence ténue d'éléments datant de l'âge du Bronze est à remarquer, localisés vers le centre de l'emprise (tranchées 3, 10 et 16). Une urne datée entre la fin du VI^e^ et la fin du V^e^ s. avant notre ère, assez bien conservée et archéologiquement complète se démarque de l'assemblage mobilier, dans la tranchée 6, F 6.12. Les urnes de cette période retrouvées dans la péninsule armoricaine sont rarement isolées et se rencontrent plutôt au sein de petits ensembles funéraires ou nécropoles. Un petit ensemble funéraire est donc à envisager sur le site. Cette hypothèse est renforcée par la présence de la nécropole contemporaine de Morlaix-Ploujean, Kervellec, dans le même secteur géographique (une vingtaine de km). À noter une petite forme à profil sinueux, retrouvée dans la tranchée 9 F 9.9, qui possède la même datation que l'urne F 6.12. Enfin les éléments datant du Premier âge du Fer / La Tène ancienne, ou du second âge du Fer sont dispersés sur toute l'emprise du diagnostic.

A1.4 Bibliographie

Cherel et al. 2018
CHEREL (A.-F.), LIERVILLE (O.), MÉNEZ (Y.), VILLARD-LE TIEC (A.) — Les céramiques gauloises en Bretagne. Évolution des formes et des décors entre le VI^e^ et le I^er^ siècle avant notre ère. In : MÉNEZ Y. dir. — Céramiques gauloises d'Armorique. Les dessiner, les caractériser, les dater. Rennes : Presses universitaires de Rennes, 2018, p. 253-356.

Le Goffic 1996
LE GOFFIC (M.) — Morlaix-Ploujean, Le cimetière de l'âge du Fer de Kervellec : rapport de fouille. Le Faou : Service départemental de l'archéologie du Finistère, 1996.

Le Roux 1964
LE ROUX (C.-T.) — Deux cimetières à incinérations armoricains du versant septentrional. 71, fasc. 1, 1964, p. 35-49.

Annexe 2. Étude de la céramique historique et des mobiliers divers, F. Labaune-Jean (Inrap)

A2.1 Étude du mobilier des périodes historiques (par Françoise Labaune-Jean)

L'intervention de diagnostic archéologique menée à Plouvorn (29) au lieu-dit *Kerriou* a permis en plus du mobilier protohistorique étudié séparément, de mettre au jour des éléments se rapportant aux occupations ultérieures, de l'Antiquité à la période moderne.
Ces objets sont présentés ici. Ils ont été comptabilisés à partir d'une base d'inventaire, catalogués dans le descriptif qui suit et, le cas échéant quand l'état de conservation le permettait, dessinés et/ou photographiés. L'ensemble des objets est réuni dans une caisse normalisée, conditionné par type de matériau et par structure de provenance.

A2.1.1 Catalogue des lots de céramiques

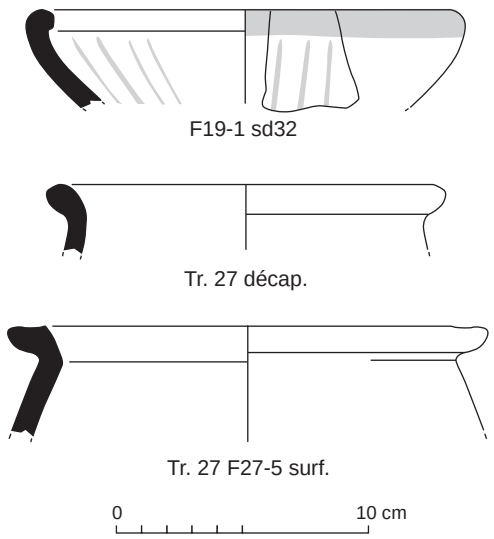

Fig. 105 Principaux éléments de formes recensés pour les phases historiques © Françoise Labaune-Jean

Tranchée 1
F 1-8 surface
Mobilier insuffisant : éclat de panse d'un récipient à pâte brun clair, assez dense en inclusions de mica. Il est difficile de trancher sur la datation possible de cette production : la pâte semble comparable à des productions du Moyen Âge mais on ne peut complètement écarter la possibilité d'un vase antique.
Datation proposée : Période médiévale ?

F 1-16
Lot de 2 tessons de panse en céramique à pâte claire et à glaçure interne de teinte brun vert, appartenant à un récipient indéterminé.
2 tessons indéterminés car trop petits.
Datation proposée : à partir du XVI^{e} siècle par l'aspect de la pâte.

Décapage
Lot de 4 tessons en céramique comprenant :
2 tessons à pâte claire, provenant sans doute d'une amphore antique (type Pasc. 1).
Datation proposée : Antiquité (I^{er} s. possible).

Tranchée 2
Décapage
Mobilier insuffisant : 2 tessons de panse d'un objet à pâte oxydante et à glaçure interne verte.
Datation proposée : à partir des XV^e^-XVI^e^ siècles.

Tranchée 3
F 3-9
Mobilier insuffisant : 2 tessons à pâte rose et glaçure interne vert-brun.
Datation proposée : XVI^e^-XVII^e^ siècles à envisager

F 3-21 surface
Lot de 3 éclats de tessons de panse en céramique à pâte rose et glaçure interne verte.
Datation proposée : XVI^e^-XVII^e^ siècles vraisemblablement par l'aspect de la pâte.

Tranchée 4
F 4-11 surface
Lot de 4 tessons en céramique à pâte brun rose sans revêtement et à inclusions de quartz et mica, très comparables à des pâtes rencontrées sur des sites du Finistère dans des contextes du début du Bas Moyen Âge.
Datation proposée : XI^e^-XIII^e^ siècles possibles.

F 4-12
Mobilier insuffisant : éclat de panse à pâte brun gris.
Datation proposée : Mobilier insuffisant (Antiquité possible).

Décapage
Lot de 3 tessons en céramique réunissant un tesson de panse en commune claire et un autre en commune sombre de facture antique ainsi qu'un tesson à pâte brun claire et goutte de glaçure de la période moderne.
Datation proposée : Mobilier hétérogène.

Tranchée 5
F 5-10 surface
Mobilier insuffisant : tesson de bord de forme ouverte à lèvre arrondie, correspondant à un récipient de type jatte ou poêlon en céramique à pâte rose et glaçure interne verte.
Datation proposée : XVI^e^-XVII^e^ siècles par le type de forme.

F 5-13 surface
Mobilier insuffisant : 1 tesson de panse à pâte claire.
Datation proposée : à partir du XVI^e^ siècle par l'aspect de la pâte.

F 5-15 sd 48 us 3
Mobilier insuffisant : tesson de panse à pâte brune difficile à attribuer de façon fiable.
Datation proposée : Mobilier insuffisant (Antiquité ? haut Moyen Âge ?).

Tranchée 6
F 6-21 surface
Mobilier insuffisant : tesson de panse à pâte fine (production à glaçure ?).
Datation proposée : Période moderne, par l'aspect de la pâte.

Tranchée 7
F 7-7 sd 7 us1
Mobilier insuffisant : éclat de panse trop petit et à pâte pas suffisamment caractéristique pour une attribution fiable.
Datation proposée : Mobilier insuffisant.

Tranchée 9
F 9-19 surface
Mobilier insuffisant : tesson de panse à pâte claire avec traces de glaçure.
Datation proposée : XVI^e^-XVII^e^ siècles.

Décapage
Lot de 5 tessons en céramique à pâte brune rose dense en quartz et mica, correspondant à un même individu.

Datation proposée : XI^e^-XIII^e^ siècles à envisager par l'aspect de la pâte.

Tranchée 12
Décapage
Mobilier insuffisant : tesson de bord ou d'anse ? à pâte rouge orange.
Datation proposée : Période moderne.

Tranchée 15
Décapage
Lot de 3 tessons en céramique comprenant : un éclat à pâte fine et glaçure externe, ainsi que deux tessons de vase de cuisson à pâte grossière.
Datation proposée : XIII^e^-XIV^e^ siècles à envisager par l'aspect de la pâte.

Tranchée 16
F 16-5
Lot de 3 tessons en céramique comprenant : 1 tesson protohistorique, 1 éclat en commune sombre antique et 1 morceau de panse de facture médiévale.
Datation proposée : Mobilier hétérogène.

Tranchée 17
F 17-6 surface
Mobilier insuffisant : tesson de panse à pâte claire.
Datation proposée : XI^e^-XIII^e^ siècles à envisager par l'aspect de la pâte.

Tranchée 19
F 19-1 sd 32 us 1
Lot de 3 tessons en céramique comprenant :
2 tessons en commune claire.
1 tesson d'écuelle à lèvre arrondie et rentrante, panse courbe à décor de lignes lissées en surface externe.
Datation proposée : II^e^-III^e^ siècles.

F 19-7 sd 34
Lot de 2 tessons en céramique comprenant : un tesson de panse à pâte oxydante et un autre en commune sombre à lignes lissées (peut-être suite du tessons F 19-1).
Datation proposée : II^e^-III^e^ siècles.

F 19-4 sd 33
Mobilier insuffisant : tesson de panse courbe de pot en commune sombre avec cannelure sur épaulement
Datation proposée : I^er^-III^e^ siècles.

Tranchée 24
F 24-1 fond
Mobilier insuffisant : éclat de panse à pâte brun-gris difficile à attribuer de façon avérée.
Datation proposée : insuffisant (Bas Moyen Âge possible mais non certain).

F 24-12 sd 30
Lot de 2 tessons de panse en céramique commune sombre assez fine se rapportant à un même individu, plutôt bien cuit.
Datation proposée : Antiquité, sans précision possible.

F 24-6 sd 28
Lot de 6 tessons correspondant à la pointe d'une amphore à pâte beige, de type Pasc. 1 vraisemblablement, associée à un petit éclat de récipient en commune sombre.
Datation proposée : fin du I^er^ s. av. J.-C. – début du Ier siècle apr. J.-C.

Tranchée 27
F 27-5
Lot de 7 tessons en céramique comprenant :
1 morceau de panse avec glaçure interne non couvrante.
6 tessons appartenant à un même individu à pâte brun claire de facture locale. Parmi eux, on compte un morceau

de bord éversée en collerette courte horizontale. La surface externe conserve d'importantes traces de suie témoignant d'une utilisation pour la cuisson.
Datation proposée : XIVe-XVe siècles.

Décapage
Lot de 4 tessons en céramique comprenant :
1 éclat en commune claire.
3 tessons en commune sombre dont un bord de pot à lèvre en amande courte verticale.
Datation proposée : IIe-IIIe siècles.

A2.2 Conclusion :

L'ensemble du mobilier abordé ici s'avère assez peu significatif car il est très fragmenté et offre peu d'éléments de formes. Il traduit toutefois la présence de plusieurs périodes. En dehors d'un tesson résiduel de la protohistoire dans un lot hétérogène (tr. 16 F 16-5), les autres tessons se répartissent entre 25 tessons antiques, 22 tessons du Bas Moyen Âge, 15 tessons modernes et 6 fragments qui ne peuvent être déterminés.
Les éléments antiques proviennent du décapage de la tranchée 1, de celui de la tranchée 4, du fait 16-5 de la tranchée 16 et surtout des tranchées 19, 24 et 27. Certains de ces lots peuvent être précisés à la transition entre la fin du Ier s. av. J.-C. et le début du Ier s. apr. J.-C. (Tr. 24), alors que d'autres formes sont plutôt en usage aux cours des IIe et IIIe s. apr. J.-C. (Tr. 19 et 27). Pour la période la plus ancienne, il faut ajouter parmi les autres mobiliers, la présence des restes ténus d'une fibule en alliage cuivreux qu'il faut certainement rattachée à un type F14b, en usage entre -10 av. et 70 apr. J.-C. (**fig. 106**)

Fig. 106 Fragments d'une fibule en alliage cuivreux F24-1 © Françoise Labaune-Jean

Aucun élément ne semble correspondre à des récipients du haut Moyen Âge. Les éléments les plus anciens appartiennent à une période large entre le XI^e^ et le XIII^e^ s. (Tr. 4 et 9) et d'autres plutôt à la période XIII^e^-XIV^e^ siècles (Tr. 9). Ces attributions reposent essentiellement sur des variations de pâtes, comparés à celles qui ont pu être observés sur d'autres sites finistériens.
Pour la période récente, on compte une quinzaine de fragments qui semblent se rapporter à des productions des XVI^e^-XVII^e^ siècles, avec des éléments avec ou sans revêtement glaçuré.

Annexe 3. Étude archéoanthropologique, M. Le Puil-Texier (Inrap)

A3.1 F.6.12, TR6 : Une tombe à crémation secondaire de la transition du premier au second âge du Fer

A3.1.1 Objectifs et méthode d'analyse des structures secondaires de dépôt de crémation

Les méthodes de fouilles mises en œuvre visent à appréhender le rituel funéraire à travers l'aménagement des tombes, le mode de dépôt des ossements brûlés (en urne ou en pleine terre), la disposition du mobilier pouvant également accompagner le défunt (offrande, viatique, etc.).
L'urne a été prélevée sur le terrain, solidarisée par un film cellophane, afin d'être fouillée en laboratoire.
La méthode de fouille et d'analyse des dépôts cinéraires s'appuie sur le protocole développé par Duday H., Depierre G., Janin T. (**Duday 2000a**) . Cette approche méthodologique est toutefois adaptée en fonction de l'état des dépôts, et du temps d'étude dévolu dans le contexte de l'archéologie préventive. De l'approche maximaliste consistant à la fouille minutieuse intégrale des dépôts osseux, considérés comme des « micro-gisements » archéologiques (**Duday 2000b**) à un traitement plus rapide, généralement réservé aux séries numériquement importantes et appliqué parfois aux dépôts incomplets, qui conduit à tamiser sous un filet d'eau les lots d'ossements (**Roger 1996**) . Dans tous les cas de figure, nous avons procédé au tamisage (mailles 2 et 1 mm) des sédiments provenant du vase cinéraire.

La fouille a été réalisée par passée consécutives horizontales d'environ 2 cm, épaisseur légèrement variable selon la configuration de l'amas osseux. Chaque niveau a fait l'objet d'une documentation photographique et de relevés si nécessaire. Le sédiment a été systématiquement prélevé et tamisé (maille 2 à 1 mm) afin de récolter le reste des fragments osseux et tout autre fragment de mobilier millimétrique. A la suite de ce traitement, les fragments osseux ont été triés selon leur appartenance à un segment anatomique, par niveau, puis pesés. Ce protocole permet d'évaluer le degré de représentation de chaque partie anatomique dans l'objectif de préciser si l'échantillon est le résultat d'une collecte préférentielle ou au contraire s'il n'y a pas de sélection particulière. Cette méthode permet aussi de restituer stratigraphiquement les segments anatomiques afin d'identifier d'éventuel agencement particulier dans le vase ossuaire.

Les objectifs de l'analyse des restes osseux consistent également à estimer le nombre d'individus dans la sépulture, l'âge au décès, et éventuellement le genre[1]. L'étude des restes brûlés présente de nombreuses limites liées à la représentation des fragments osseux. L'estimation de l'âge au décès repose sur l'observation de différents critères de maturation osseuse et dentaire. Pour les individus adultes (20 ans et plus) les principaux indicateurs sont le degré de synostose des sutures crâniennes (**Masset**), la dimension des fragments (épaisseur de la corticale des os longs notamment), le degré de maturité des extrémités (ossification des épiphyses) et les éventuels indices de dégénérescence (type arthrose). Pour les individus immatures, l'observation du stade de maturation dentaire (**Moorrees 1963a, Moorrees 1963b, Ubelaker 1984**) croisée à celle de la maturation osseuse (apparition et fusion de points d'ossification secondaires (**Birkner 1980**)) sont les critères les plus fréquemment utilisés pour proposer une fourchette d'âge généralement assez large.

A3.1.2 La fosse

La petite fosse, arasée, se présente sous une forme ovoïde en plan (0.70 m de longueur, 0.67 m de margeur et 0.16 m de profondeur), dont le profil est en cuvette. Elle est comblée de limon argileux brun comportant de rares charbons de bois et esquilles osseuses et fragments de céramique.

A3.1.3 Le dépôt

Le dépôt se compose d'une urne en céramique. Aucun objet ne l'accompagne.

1 La diagnose sexuelle est rarement possible sur les os incinérés en raison de la déformation induite par la combustion (**Duday et al., 2000, p. 8**).

A3.1.7 Le contenu de l'urne

L'urne, incomplète, est conservée sur une hauteur de 8 cm. Le sédiment, assez homogène, est constitué de limon charbonneux assez compact. Les os sont dispersés dans tout le remplissage (Fig.X). Quelques tessons de l'urne reposent au sommet du comblement.

N° de relevé	Hauteur 7 cm	Descriptif sommaire
1	7-5	Limon brun charbonneux, quelques esquilles osseuses et quelques tessons de l'urne
2	5-4	Limon brun charbonneux, quelques esquilles osseuses
3	4-2	Limon brun charbonneux, quelques esquilles osseuses
4	2-0	Limon brun charbonneux, quelques esquilles osseuses

Fig. 108 Descriptif sommaire du contenu de l'urne ©M. Le Puil-Texier

Fig. 107 Amas osseux en cours de fouille, relevé N°3 ©M. Le Puil-Texier

A3.1.4 Données biologiques et pondérales

L'examen des ossements est en faveur d'un sujet immature. Les principaux indicateurs de l'âge au décès sont les diamètres diaphysaires, l'épaisseur de la voûte crânienne. Les restes dentaires sont absents. Il n'y a que de très rares portions crâniennes. De fait, il n'est guère possible d'être très précis sur l'âge eu décès. Le sujet se trouve probablement dans l'une des classes d'âge suivantes 5-9 ans et 10-14 ans.

Tombe TR6, F.6.12	N1	N2	N3	N4	fosse (ext.)	Total
Crâne		0,54	0,49	0,69		1,72
Mandibule						
Dents sup.						
Dents inf.						
Dents indéterminées						
Os hyoïde						
Osselets oreille						
Cartilage calciné						
Tête						1,72
Atlas						
Axis						
Vert C3-C7						
Vert Thoraciques						
Vert. Lombaires						
Vert. Indéterminées						
Sacrum						
Coccyx						
Côtes						
Sternum						
Tronc						0
Clavicule						
Scapula						
Humérus						
Radius						
Ulna						
Carpe						
Métacarpe						
Phalanges main						
Diap. membres sup.						
Membres supérieurs						0
Coxal						
Fémur						
Patella						
Tibia	2,89					2,89
Fibula						
Tarse						
Métatarses						
Phalanges pieds						
Sésamoïde						
Diap. membres inf.		3,57	1,88	5,13		10,6
Membres inférieurs						13,5
MTC,MTT, Pm, Pp						
Total déterminé						15,2
Os plat						
Os court ou épiphyse						
Diap. Indet.	11,7	9,18	19,5		1,89	
Esquilles		1,17	8,34	27,8		
Total indéterminé	11,7	10,4	27,8	27,8	1,89	79,5
Total						94,7

A3.1.5 Stade de combustion

Les os, de couleur blanche, indique un stade de combustion poussé. Cependant l'échantillon osseux ne représente qu'une faible part du squelette.
Datation
Typologie du vase ossuaire : transition premier et second âge du Fer (**O. Lierville**).

A3.1.6 Interprétation des pratiques funéraires

Le dépôt osseux a été constitué après la cérémonie de crémation. Les ossements ont été prélevés sur le bûcher, puis placés dans une urne en céramique. L'urne a ensuite été déposée dans une fosse creusée à cet effet. Le dépôt n'est pas complet en raison de l'érosion mécanique due probablement aux pratiques agraires répétées.
La masse osseuse recueillie dans l'urne est faible (94,7 g.). Elle concerne un sujet immature, mais les éléments osseux disponibles ne permettent pas de déterminer l'âge précis du sujet (plus de 5 ans, moins de 15 ans).
Cette tombe a été datée d'après la typologie du vase ossuaire de la transition du premier au second âge du Fer. Cette période se caractérise par le développement de petits ensembles funéraires, fréquemment délimités par des enclos quadrangulaires (**Villard-Le Tiec 2010, Villard-Le Tiec 2013**), dans lesquels la pratique de la crémation apparaît majoritaire mais pas systématiquement exclusive. Ces ensembles regroupent le plus souvent un nombre restreint de tombes. Cependant certains sites ont révélés un nombre plus important d'urnes comme à Paule (**Ménez 2021**) ou à Morlaix-Ploujean (**Le Goffic 1993**). A Paule, la mixité des pratiques funéraires (inhumations et crémations) est représentée, tout comme ici. Si l'insuffisance des données chronologiques nous empêche, à l'heure actuelle, d'établir une chronologie de fonctionnement de cet ensemble funéraire, il faut espérer que la poursuite de la fouille permettra d'affiner cette question.

Annexe 4. Étude lithique, V. Brisotto (Inrap)

Le diagnostic de Plouvorn a livré 2 éléments lithiques comprenant d'une part un petit débris de silex brun prélevé lors du décapage de la tranchée 1, et d'autres part un large éclat de granite présentant une surface travaillée issue du fait 2 de la tranchée 23 (fig.109). L'objet épais de 2 cm présente une face convexe bouchardée, très faiblement polie sur les reliefs. La face opposée correspond à une surface de diaclase. La plus grande tranche, de l'objet de forme convexe présente également des négatifs d'enlèvements partiels, perpendiculaires à la face principale. Bien que l'objet ne montre pas d'impacts, attestant d'un enlèvement anthropique, il semble s'agir d'un éclat d'outil de mouture, détaché sans doute par une faiblesse de la roche. Les négatifs visibles sur le bord de l'éclat confirment un élément lié au façonnage d'une meule ou d'une molette.

Fig. 109 Plouvorn, « Kerriou », éclat d'outil de mouture (©V. Brisotto)

Tr	F	sd	us	n° objet	matière 1ère	support	L (cm)	l	ép.	poids (kg)	type	description	proposition fonctionnelle
23	2	36	2	1	granite fin homogène, qq rares phénocristaux de feldspath	ind.	15,5	11	2	0,49	mouture/ broyage ? éclat avec face convexe travaillée	éclat avec face convexe travaillée	éclat de meule ou de molette
1				2	silex brun	ind.				0,002	industrie lithique	débris	débris

Annexe 5. Datation radiocarbonne, P. Rossetti (CIRAM)

CIRAM
Science For Art Cultural Heritage

DÉPARTEMENT
ARCHÉOLOGIE

Dossier 0422-AR-394V

Kerriou
Plouvorn – Finistère (29)

DATATION RADIOCARBONE D'UN PRÉLÈVEMENT DE CHARBON

sur demande de
M^me^ Hélène SEIGNAC
INRAP Grand Ouest
37 rue du Bignon, C.S. 67737
35577 CESSON – SEVIGNE Cedex

Patrick Rossetti, ing. pour CIRAM

le 3 mai 2022 à Martillac

CIRAM SAS au capital de 14.000 €
480 825 652 RCS Bordeaux - APE 7112B
SIRET 480 825 652 00047
N° TVA Intracommunautaire FR 56 480 825 652

Technopole Bordeaux Montesquieu
9 allée Jacques Latrille
33650 Martillac
France

Téléphone : +33 (0)5 57 34 34 80
Portable : +33 (0)6 66 63 80 99
E-mail : contact@ciram-art.com
Site Web : www.ciram-art.com

Avertissement – Liste des abréviations
L'âge conventionnel est exprimé en années avant 1950, « BP » signifiant before present.
Dans nos rapports nous n'utilisons pas les abréviations « av. J.-C. » et « apr. J.-C. » mais « BC » qui, en anglais, signifie before Christ *et « AD » qui, en latin, signifie* Anno Domini.

LISTE DES PRÉLÈVEMENTS

L'échantillonnage a été réalisé par le client. * *Informations fournies par le client*

Date de réception des échantillons	19 avril 2022
Non-conformité éventuelle à la réception	AUCUNE

Code laboratoire	Structure*	Nature*
CIRAM-4121	D 141 718 – F 7.27 US 1	Charbon de noisetier

***Tableau 1** : Référencement CIRAM, structure de provenance et nature des prélèvements.*

ANALYSE

Méthode d'analyse mise en œuvre	EA, IRMS, AMS (norme ASTM D6866-21)
Date de la réalisation de l'analyse EA – IRMS - Graphitisation	21 avril 2022
Date de la réalisation de l'analyse AMS	2 mai 2022
Effectuées par	SC / MG / ZE
Conditions ambiantes particulières	SO

Ce document est protégé par le procédé CIRAM Track®

SYNTHÈSE DES RÉSULTATS

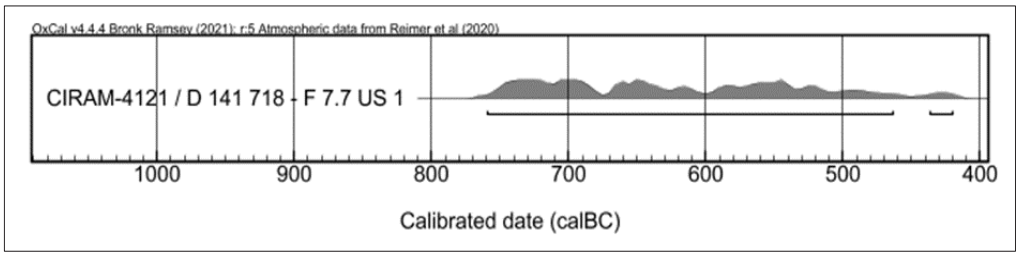

***Figure 1** : Représentation graphique de l'ensemble des distributions de probabilité de la datation obtenue sur la structure datée de Kerriou, Plouvorn – Finistère (29).*

Le résultat obtenu remonte au Premier âge du Fer et comporte deux intervalles chronologiques qui couvrent une période comprise entre la seconde moitié du VIII^e^ siècle et la fin du V^e^ siècle avant notre ère.

Ce document est protégé par le procédé CIRAM Track®

PRÉSENTATION DES RÉSULTATS

CIRAM-4121– Charbon de noisetier – D 141 718 - F 7.7 US 1

Fraction	Âge conventionnel BP	pMC corrigé	$\delta^{13}C$ (‰)
Cellulose, résidus alcalins	2466 ± 26	73.56 ± 0.26	-24.41

Dates calibrées à 2 σ : 760 BC (93.1%) 464 BC
(Probabilité de 95.4 %) 436 BC (2.3%) 421 BC

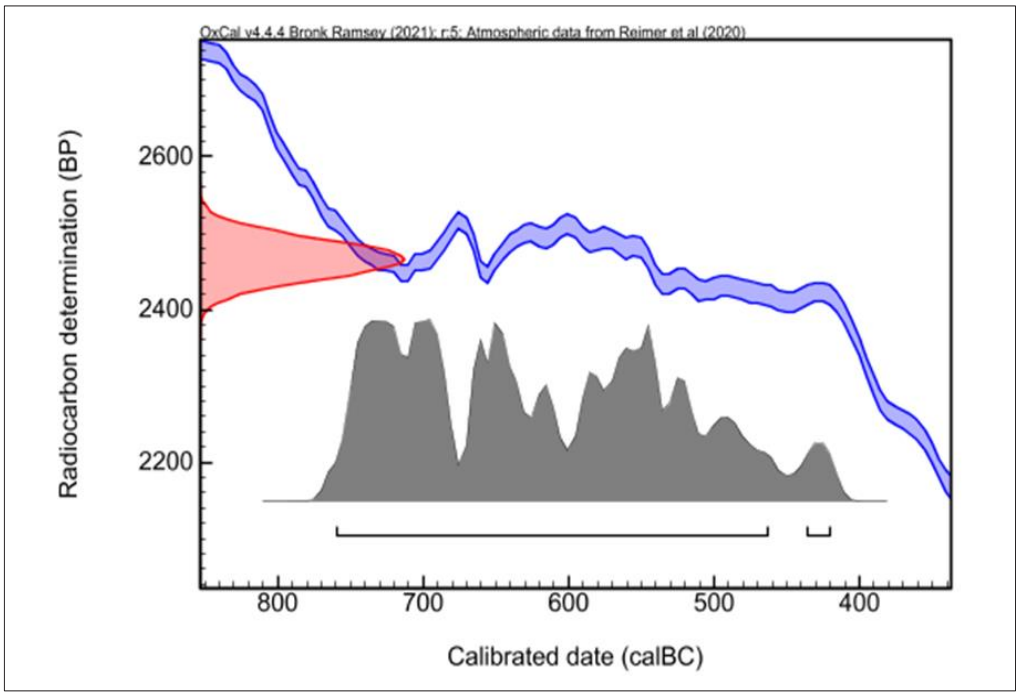

Ce document est protégé par le procédé CIRAM Track®

ANNEXE – MÉTHODOLOGIE MISE EN ŒUVRE POUR LA DATATION PAR CARBONE 14 – AMS

La datation au carbone 14 est basée sur la mesure de l'activité radiologique du carbone 14 contenu dans toute matière organique. Elle permet de déterminer l'intervalle de temps écoulé depuis la mort de l'organisme à dater (l'abattage de l'arbre par exemple).

Préparation des échantillons

L'échantillon est traité à l'acide chlorhydrique (HCl, 1M) à 80 °C pendant 1 heure, afin d'éliminer toute contamination de surface. L'échantillon est ensuite traité à l'hydroxyde de sodium (0,1 M) à température ambiante pendant 10 minutes, de manière à éliminer les acides humiques et fulviques résiduels. L'échantillon est une nouvelle fois traité à l'acide chlorhydrique à 80 °C, pour éviter l'absorption du CO_2 atmosphérique due au traitement basique précédent.
L'échantillon subit ensuite une combustion à 920 °C et est transformé en gaz. Durant cette étape, une première vérification du rapport C/N a été effectuée à l'aide d'un analyseur élémentaire (Elementar Vario ISOTOPE Select). Le dioxyde de carbone (CO_2) résiduel est séparé des autres résidus de combustion à l'aide d'un piège à zéolite. Ce dioxyde de carbone est transformé en graphite à l'aide d'un système automatisé (AGE 3, Ion Plus) par catalyse, suivant la méthode décrite par Vogel *et al.* (1984, *Nuclear Instruments and Methods in Physics Research Section B: Beam Interactions with Materials and Atoms*, 5 (2), 289-293).

Mesure des teneurs en Carbone 14 résiduel et détermination de l'âge

Les différents isotopes de carbone ont été séparés par spectrométrie de masse, avec un accélérateur à 0,5 MeV. Puis, la concentration en ^{14}C a été déterminée en comparant simultanément les mesures de ^{14}C, ^{13}C et ^{12}C avec celles contenues dans des produits de référence (acide oxalique, CO_2 standard, charbon). Le ratio $^{13}C/^{12}C$ (exprimé $\delta^{13}C$) a été mesuré séparément sur spectromètre de masse dédié à la mesure des rapports isotopiques stables, avec une erreur inférieure à 0,1 ‰ (IRMS, Elementar Isoprime precisION).
L'âge ^{14}C conventionnel a été calculé selon la méthode décrite par Stuiver et Polach (*Radiocarbon,* 19 (3), 1977, 355-363). Il prend en compte la correction du fractionnement isotopique ($\delta^{13}C$), basée sur la comparaison des rapports de concentration $^{13}C/^{12}C$ et $^{14}C/^{12}C$. Ce facteur permet de contrôler les effets d'éventuelles pollutions et d'évaluer la fiabilité de la mesure : il s'agit d'un bon indicateur de la « qualité » de l'échantillon. L'incertitude de mesure associée au résultat (σ) regroupe les incertitudes statistiques de comptage du ^{14}C résiduel, la variabilité des mesures et les effets de la soustraction du « blanc ».
Enfin, les intervalles de dates calendaires sont calculés en utilisant la calibration suivante :
OxCal v4.4 (Bronk Ramsey, 2009, *Radiocarbon, 51*(1), 337-360; Bronk Ramsey and Lee, 2013, Radiocarbon, 55(2-3), 720-730; Bronk Ramsey, 2017, *Radiocarbon, 59*(2), 1809-1833).
IntCal 20, Calibration pour l'hémisphère nord (Reimer et al., 2020, Radiocarbon, 62(4), 725-757 ; Heaton et al., 2020, Radiocarbon, 62(4), 821-863).

Procédure de calibration

La mesure effectuée est exprimée de deux différentes manières : *part of Modern Carbon* (ou pMC) et âge conventionnel. L'âge conventionnel est exprimé en années avant 1950 (BP signifiant *before present* ou avant 1950), qui est l'année de référence. L'âge est exprimé à un écart-type. Les intervalles de datation reflètent une distribution à deux sigmas, c'est à dire 95,4 % de l'ensemble des solutions. L'événement daté peut se retrouver dans n'importe quel intervalle, sans tenir compte de la distribution de probabilité, donnée à titre indicatif.
La courbe rouge est une transcription des résultats de mesure des isotopes du carbone (l'âge conventionnel). Cette valeur a besoin d'être corrigée avant de fournir la moindre information chronologique, en raison de l'hétérogénéité de la concentration en ^{14}C dans l'atmosphère à travers le temps. C'est pourquoi la mesure (en rouge), exprimée sous la forme d'une gaussienne, est interpolée avec la courbe de calibration bleue, dans le but de corriger l'âge conventionnel. On obtient alors une distribution *a posteriori* des résultats (en gris), divisée en un ou plusieurs intervalles. Chacun d'entre eux représente une partie de la distribution à deux sigmas.
En l'absence d'informations historiques, textuelles ou autre, il n'est pas possible de privilégier un intervalle. En dépit des pourcentages de probabilité, aucun intervalle ne peut être écarté.

Ce document est protégé par le procédé CIRAM Track®

NOTE

Les résultats présentés ne s'appliquent qu'aux matériaux analysés. La reproduction de ce rapport d'essai n'est autorisée que sous sa forme intégrale. Le rapport ne doit pas être reproduit partiellement sans l'approbation du laboratoire d'essai. Tous les éléments de traçabilité, ainsi que les incertitudes de mesure, sont disponibles sur demande. Pour les résultats issus d'une sous-traitance, les rapports émis par des laboratoires accrédités sont disponibles sur demande.

Dr Olivier Bobin
Directeur scientifique

CIRAM SAS au capital de 14.000 €
480 825 652 RCS Bordeaux - APE 7112B
SIRET 480 825 652 00047
N° TVA Intracommunautaire FR 56 480 825 652

Technopole Bordeaux Montesquieu
9 allée Jacques Latrille
33650 Martillac
France

Téléphone : +33 (0)5 57 34 34 80
Portable : +33 (0)6 66 63 80 99
E-mail : contact@ciram-art.com
Site Web : www.ciram-art.com

Ce document est protégé par le procédé CIRAM Track®

Table des illustrations

Fig. 1 Localisation des tranchées sur le cadastre ©J. Cavanillas 27
Fig. 2 Localisation de l'emprise sur la carte topographique ©J. Cavanillas 28
Fig. 3 Localisation de l'emprise sur la carte géologique ©J. Cavanillas 28
Fig. 4 Carte de localisation et présentation des Logs ©J. Cavanillas 29
Fig. 5 Localisation de l'emprise sur la carte archéologique de la commune de Plouvorn ©J. Cavanillas 31
Fig. 6 Localisation des zooms sur le plan général ©J. Cavanillas 33
Fig. 7 Zoom 1, plan masse ©J. Cavanillas 34
Fig. 8 Zoom 2, plan masse ©J. Cavanillas 35
Fig. 9 Zoom 3, plan masse ©J. Cavanillas 36
Fig. 10 Zoom 4, plan masse ©J. Cavanillas 37
Fig. 12 Céramique issue de la tranchée 10, sondage 42, F10.2 (dessin, DAO : Lierville © Inrap) 38
Fig. 11 Céramique issue de la tranchée 3, sondage 40, F3.7 (dessin, DAO : Lierville © Inrap) 38
Fig. 14 Localisation des fossés de l'âge du Bronze ©J. Cavanillas 39
Fig. 13 Coupe des fossés 10.2, 4.9, 3.7 et 23.2 ©J. Cavanillas 39
Fig. 15 Vue du fossé 23.2 ©J. Cavanillas 40
Fig. 16 Plouvorn, « Kerriou », éclat d'outil de mouture ©V. Brisotto 40
Fig. 17 Vue de la coupe du fossé 26.9 ©L. Contu 41
Fig. 18 Vue générale du bâtiment ©J. Cavanillas 41
Fig. 19 Localisation et plan du bâtiment ©J. Cavanillas 42
Fig. 20 Coupe des trous de poteau 26.1, 26.5 et 26.7 ©J. Cavanillas 42
Fig. 21 Vue générale du bâtiment ©J. Cavanillas 43
Fig. 22 Localisation du site protohistorique ©J. Cavanillas 44
Fig. 23 La tombe à crémation secondaire 6.12 ©J. Cavanillas 45
Fig. 25 Vue en plan de la tombe à crémation secondaire 6.12 ©L. Contu 45
Fig. 24 Vue de la coupe de la tombe à crémation secondaire 6.12 ©L. Contu 45
Fig. 26 Localisation de la tombe à crémation de secondaire ©J. Cavanillas 46
Fig. 27 Photographie de l'urne F6.12 (DAO : Lierville © Inrap) 46
Fig. 28 Urne de la tranchée 6, F6.12/Urnes des sites de Lannilis, Pembrat Vihan et Morlaix-Ploujean, Kervellec (DAO : Lierville © Inrap, Yvon Onée, Bertrand Grall) 47
Fig. 30 Descriptif sommaire du contenu de l'urne ©M. Le Puil-Texier 49
Fig. 29 Amas osseux en cours de fouille, relevé N°3 ©M. Le Puil-Texier 49
Fig. 31 F. 6.12, données pondérales des os par relevé et région anatomique (selon Duday et al. 2000) ©M. Le Puil-Texier 50
Fig. 33 Vue de la coupe du fossé 1.5 ©J. Cavanillas 52
Fig. 32 Coupe des fossés 1.5 et 1.13 ©J. Cavanillas 52
Fig. 34 Localisation des fossés de datation protohistorique à l'ouest de l'emprise ©J. Cavanillas 53
Fig. 35 Coupe des fossés 6.13 et 6.7 ©J. Cavanillas 54
Fig. 36 Vue de la coupe de la fosse 7.14 et du fossé 7.34 ©J. Cavanillas 54
Fig. 37 Coupe des fossés 7.9 et 7.10 ©J. Cavanillas 55
Fig. 38 Vue de la coupe des fossés 7.9 et 7.10 ©J. Cavanillas 55
Fig. 40 Vue de la coupe des fossés 7.7 et 7.8 ©J. Cavanillas 56
Fig. 41 Céramique issue de la tranchée 6, sondage 13, F 6.4 (dessin, DAO : Lierville © Inrap) 56
Fig. 39 Coupe des fossés 6.3, 6.4, 6.5, 7.2, 7.7 et 7.8 ©J. Cavanillas 56
Fig. 43 Vue de la coupe des fossés 6.4 et 6.2 ©J. Cavanillas 57
Fig. 42 Coupe du fossé 7.22 ©J. Cavanillas 57
Fig. 44 Localisation du chemin nord-ouest/sud-est ©J. Cavanillas 58
Fig. 47 Coupe des fossés 3.15 et 3.17 ©J. Cavanillas 59
Fig. 46 Vue de la coupe des fossés 3.15 et 3.17 ©J. Cavanillas 59
Fig. 45 Coupe des fossés 3.13, 28.3 et 28.4 ©J. Cavanillas 59
Fig. 48 Coupe des fossés 17.9 et 17.10 ©J. Cavanillas 59
Fig. 49 Localisation des fossés laténiens au nord-est de l'emprise ©J. Cavanillas 60
Fig. 50 Coupe du fossé 21.2 ©J. Cavanillas 61
Fig. 51 Vue du fossé 21.2 ©J. Cavanillas 61

Fig. 52 Coupe du fossé 21.1 ©J. Cavanillas 61
Fig. 53 Localisation des fossés protohistoriques au sud de l'emprise ©J. Cavanillas 62
Fig. 54 sd 31.ai 63
Fig. 55 Localisation du fossé 16.5 ©J. Cavanillas63
Fig. 57 Coupes de la structure 16.2 ©J. Cavanillas 64
Fig. 56 Vue générale du fossé 16.5 et de la structure 16.2 ©J. Cavanillas 64
Fig. 59 Vue de la coupe de la fosse 7.14 et du fossé 7.34 ©J. Cavanillas 65
Fig. 58 Coupe de la fosse 7.14 et du fossé 7.34 ©J. Cavanillas 65
Fig. 60 Localisation de la fosse 7.14 et des structures environnantes ©J. Cavanillas 66
Fig. 61 Le trou de poteau 7.27 ©J. Cavanillas 67
Fig. 62 Coupe du trou de poteau 7.27 ©L. Contu 67
Fig. 63 Le trou de poteau 7.27 ©L. Contu 67
Fig. 64 Coupe de la structure de combustion 7.4, de la fosse 7.3 et des fossés 7.2 et 7.5 ©L. Contu 69
Fig. 65 Coupe de la structure de combustion 7.4 ©J. Cavanillas 69
Fig. 66 Vue la structure de combustion 7.4 ©L. Contu 70
Fig. 67 Coupe de la structure de combustion 7.4 ©L. Contu 70
Fig. 68 Céramique issue de la tranchée 9, F9.9 (DAO : Lierville © Inrap) 71
Fig. 69 La fosse 6.18 ©J. Cavanillas 71
Fig. 70 Vue des fosses 6.18 et 6.19 ©J. Cavanillas 72
Fig. 71 Localisation d'un "groupe" de sépultures ©J. Cavanillas 72
Fig. 72 Localisation du locus antique ©J. Cavanillas 74
Fig. 73 Vue du sondage 45 : F 27.6; 27.7, 27.8, 27.9 ©J. Cavanillas 75
Fig. 74 Coupes des fossés du chemin antique ©J. Cavanillas 75
Fig. 75 Localisation des structures ayant livré du mobilier antique ©J. Cavanillas 76
Fig. 76 Fragments d'une fibule en alliage cuivreux F24-1 © Françoise Labaune-Jean 77
Fig. 77 Coupe des fossés antiques ©J. Cavanillas78
Fig. 78 Céramique issue de la fosse 19.1 ©F. Labaune-Jean 78
Fig. 80 Vue de la coupe de la fosse 19.1 ©J. Cavanillas 79
Fig. 81 Vue des coupes du sondage 5 ©J. Cavanillas 79
Fig. 79 Coupe de la fosse 19.1 ©J. Cavanillas 79
Fig. 82 Coupes des fossés 20.1 et 20.2 ©J. Cavanillas 80
Fig. 83 Localisation de l'emprise supposée de la voie antique et des structures du diagnostic archéologiques ©J. Cavanillas 80
Fig. 84 Céramique issu du décapage de la tranchée 27© Françoise Labaune-Jean 81
Fig. 85 Coupe du fossé 17.6 ©J. Cavanillas 81
Fig. 86 Localisation des fossés médiévaux à l'ouest de l'emprise ©J. Cavanillas 82
Fig. 87 Localisation des fossés médiévaux à l'est de l'emprise ©J. Cavanillas 83
Fig. 89 Coupe du fossé 5.13 ©J. Cavanillas 84
Fig. 88 Élément de forme céramique issu du fossé 27.5 ©F. Labaune-Jean 84
Fig. 90 Localisation des vestiges sur le cadastre napoléonien ©Archive départementale du Finistère, J. Cavanillas 85
Fig. 91 Coupe des fossés 5.15 et 5.25 ©J. Cavanillas 86
Fig. 92 Coupe du fossé 5.15 ©J. Cavanillas 86
Fig. 93 Coupe du fossé 5.25 ©J. Cavanillas 86
Fig. 94 Localisation des fossés d'enclos non datés ©J. Cavanillas 87
Fig. 95 Présentation des structures testées non datées ©J. Cavanillas 88
Fig. 96 Localisation des structures testées non datées dans la partie nord de l'emprise ©J. Cavanillas 89
Fig. 97 Localisation des structures testées non datées dans la partie sud de l'emprise ©J. Cavanillas 90
Fig. 98 Localisation des différents sites mis au jour lors de ce diagnostic ©J. Cavanillas 93

III. Inventaires techniques

Inventaire des tranchées

Tranchée	Positive/ Négative	Longueur	Z min	Z max	Orientation	N° parcelle(s)
1	Positive	151,41	97,57	99,36	NO/SE	309
2	Positive	108,30	94,05	96,68	NO/SE	309
3	Positive	119,56	89,73	92,03	NO/SE	309, 28
4	Positive	120,36	90,80	94,05	NO/SE	309
5	Positive	110,04	95,49	98,06	NO/SE	309
6	Positive	97,98	98,46	99,58	NO/SE	309
7	Positive	84,71	98,71	99,69	ONO/ESE	309
8	Positive	63,23	97,79	98,80	NO/SE	309
9	Positive	108,09	94,33	97,30	NO/SE	309
10	Positive	61,49	91,91	93,50	NO/SE	309
11	Positive	33,18	93,31	93,89	NO/SE	309
12	Positive	102,53	96,31	98,55	NO/SE	309
13	Positive	68,34	97,32	98,42	NO/SE	309
14	Positive	55,11	97,78	98,17	NO/SE	309
15	Positive	77,77	95,80	97,50	NO/SE	309
16	Positive	46,74	93,56	95	NO/SE	309
17	Positive	81,96	96,11	97,55	NO/SE	309
18	Positive	50,62	96,11	96,68	NO/SE	309
19	Positive	73,09	90,26	92,74	NO/SE	309
20	Positive	20,96	97,67	97,87	NNO/SSE	309
21	Positive	77,61	98,29	98,52	NNO/SSE	309
22	Positive	21,33	91,54	91,72	NNE/SSO	24, 27
23	Positive	60,11	89,14	89,72	NO/SE	309
24	Positive	80,80	89,59	92,06	NO/SE	27, 28

Tranchée	Positive/ Négative	Longueur	Z min	Z max	Orientation	N° parcelle(s)
25	Positive	29,89	90,07	90,78	NO/SE	27, 28
26	Positive	28,92	150,06	150,18	NO/SE	309
27	Positive	22,82	142,55	142,77	NNE/SSO	27, 28, 309
28	Positive	19,05	143,12	143,41	NNE/SSO	309
29	Positive	18,36	147,22	147,34	NNE/SSO	309

Inventaire des structures archéologiques

Tr : Tranchée L : Longueur l : Largeur Diam. : Diamètre P : Profondeur Cer : Céramique X : strucutre testée

Tr.	Fait	Type	Sd.	Appari-tion (en m)	Lecture (en m)	Plan	Orien-tation	L (en m)	l (en m)	Diam. (en m)	P (en m)	Mobilier	Chronologie
1	1.1	Fosse	X		0,61	Ovoïde		0,64	0,60		0,20		
1	1.2	Fossé		0,65	0,70	Rectilinéaire	NNE/ SSO		1,50				
1	1.3	Fosse			0,61	Maculiforme			1,50				
1	1.4	Fosse			0,65	Maculiforme		2,00	0,80				
1	1.5	Fossé	14		0,66	Rectilinéaire	E/O		1,54		0,52	Cer	Protohistoire (ancienne?)
1	1.6	Fossé			0,42	Rectilinéaire	N/S		0,95				
1	1.7	Fosse	X		0,43	Quadrangulaire		1,00	0,60		0,16		
1	1.8	Fossé			0,32	Rectilinéaire	N/S		1,27			Cer	Médiévale
1	1.9	Fossé			0,44	Rectilinéaire	NNE/ SSO		1,30				
1	1.10	Fosse			0,35	Ovoïde		0,59	0,55				
1	1.11	Fosse	X		0,35	Ovoïde		0,65	0,45		0,12		
1	1.12	Fossé			0,45	Rectilinéaire	NNE/ SSO		0,70				
1	1.13	Fossé	15		0,43	Rectilinéaire	NNE/ SSO		1,30		0,40		
1	1.14	Fossé		0,43	0,50	Rectilinéaire	E/O		1,00				Napoléonien
1	1.15	Fossé		0,43	0,50	Rectilinéaire	NNE/ SSO		1,00				
1	1.16	Fossé		0,50	0,50	Rectilinéaire	E/O		0,90			Cer, fer	A partir du XVI^{e} s.
1	1.17	Trou de poteau			0,52	Circulaire				0,25			
1	1.18	Fossé	16	0,35	0,50	Rectilinéaire	E/O		1,00				Moderne

Tr.	Fait	Type	Sd.	Appari-tion (en m)	Lecture (en m)	Plan	Orien-tation	L (en m)	l (en m)	Diam. (en m)	P (en m)	Mobilier	Chronologie
1	1.19	Trou de poteau	X		0,40	Circulaire				0,30	0,20		
1	1.20	Trou de poteau			0,46	Circulaire				0,54			
1	1.21	Trou de poteau			0,40	Ovoïde		0,97	0,71				
1	1.22	Fossé	17		0,40	Rectilinéaire	ENE/ OSO		0,70		0,20		
1	1.23	Fossé	18		0,43	Rectilinéaire	ENE/ OSO		1,00		0,26		
1	1.24	Fossé			0,60	Rectilinéaire	ENE/ OSO		1,49				Napoléonien
1	1.25	Fossé			0,43	Rectilinéaire	N/S		0,31				Napoléonien
1	1.26	Fossé			0,43	Rectilinéaire	N/S		0,70				Napoléonien
1	1.27	Trou de poteau	X		0,50	Ovoïde		0,65	0,49		0,23		
1	1.28	Annulé	X										
1	1.29	Fossé			0,47	Rectilinéaire	NNE/ SSO		1,27				Napoléonien
1	1.30	Placage			0,40	Rectilinéaire	NNE/ SSO						
1	1.31	Fossé			0,37	Rectilinéaire	NNE/ SSO		1,30				
2	2.1	Fossé	44		0,50	Rectilinéaire	N/S		0,80		0,22		
2	2.2	Fosse			0,56	Ovoïde		1,70	0,70			Cer	Âge du Fer (La Tène)
2	2.3	Fossé annulé	X		0,50	Rectilinéaire							
2	2.4	Fossé annulé	X		0,50	Rectilinéaire						Cer	Protohistoire
2	2.5	Fossé	43		0,40	Rectilinéaire	E/O				0,50		
2	2.6	Fossé	43		0,43	Rectilinéaire	ENE/ OSO				0,32		
2	2.7	Fossé			0,52	Rectilinéaire	E/O		0,70				

Tr.	Fait	Type	Sd.	Appari-tion (en m)	Lecture (en m)	Plan	Orien-tation	L (en m)	l (en m)	Diam. (en m)	P (en m)	Mobilier	Chronologie
2	2.8	Fosse			0,44	Oblongue	N/S	0,90	0,50			Faune	Moderne
2	2.9	Fossé			0,50	Rectilinéaire	ENE/OSO		0,65				
2	2.10	Fosse			0,50	Ovoïde			1,70				
2	2.11	Fossé			0,43	Curviligne			0,40				
2	2.12	Fossé			0,47	Rectilinéaire	N/S		0,48				
2	2.13	Fossé			0,50	Rectilinéaire	N/S		0,84				Moderne
2	2.14	Trou de poteau	X		0,66	Ovoïde		0,67	0,50		0,02		
2	2.15	Trou de poteau			0,66	Ovoïde		0,90	0,50				
2	2.16	Fossé			0,54	Rectilinéaire	N/S		0,34				Moderne
2	2.17	Fosse			0,60	Maculiforme		2	1,60				Moderne
2	2.18	Trou de poteau annulé	X		0,45								
2	2.19	Fossé annulé	X		0,45	Rectilinéaire							
2	2.20	Trou de poteau annulé	X		0,45								
2	2.21	Trou de poteau annulé	X		0,45								
2	2.22	Fossé annulé	X		0,45	Rectilinéaire						Fer	
2	2.23	Fossé	X		0,45	Rectilinéaire							Napoléonien
2	2.24	Fossé			0,60	Rectilinéaire	N/S		3,75				Napoléonien
3	3.1	Fossé			0,50	Rectilinéaire	NO/SE		1,70				
3	3.2	Fossé			0,54	Rectilinéaire	ENE/OSO		1,10				
3	3.3	Fossé			0,64	Rectilinéaire	ENE/OSO		1,10				

Tr.	Fait	Type	Sd.	Appari-tion (en m)	Lecture (en m)	Plan	Orien-tation	L (en m)	l (en m)	Diam. (en m)	P (en m)	Mobilier	Chronologie
3	3.4	Fossé			0,60	Circulaire			1,50				
3	3.5	Fosse			0,44	Ovoïde		0,60	0,40				
3	3.6	Fosse annulée	X		0,44	Ovoïde		1,20	1,00			Cer	Protohistoire
3	3.7	Fossé	40		0,50	Rectilinéaire	NE/SO		1,50		0,74	Cer	Protohistoire (Bronze)
3	3.8	Fossé			0,50	Rectilinéaire	NNO/SSE		0,50				
3	3.9	Fossé			0,50	Rectilinéaire	NE/SO					Cer, scorie	XVIe- XVIIe s.
3	3.10	Fossé annulé	X	0,66	0,64	Rectilinéaire	NE/SO		0,87				
3	3.11	Fosse annulée	X		0,50	Oblongue		0,80	0,65				
3	3.12	Fosse (Sep?)			0,50	Oblongue	ENE/OSO	2,69	0,60				
3	3.13	Fossé	39		0,50	Oblongue	NO/SE		0,56		0,16		
3	3.14	Fossé			0,30	Rectilinéaire	N/S		0,60				
3	3.15	Fossé	38	0,57	0,67	Rectilinéaire	NO/SE		0,80		0,24		
3	3.16	Trou de poteau	X		0,57	Circulaire		0,48	0,42		0,10		
3	3.17	Fossé	38		0,70	Rectilinéaire	NO/SE		0,70		0,20	Cer	Âge du Fer (La Tène)
3	3.18	Fossé			0,60	Rectilinéaire	NE/SO		0,60				Napoléonien
3	3.19	Fossé	37		0,43	Rectilinéaire	NE/SO		0,97		0,24		
3	3.20	Fossé			0,53	Rectilinéaire	NO/SE		0,69				Napoléonien
3	3.21	Fossé	37		0,53	Rectilinéaire	NO/SE		1,05		0,24	Cer	Médiéval / Moderne
3	3.22	Trou de poteau			0,52	Rectilinéaire		0,62	0,46				

Tr.	Fait	Type	Sd.	Appari-tion (en m)	Lecture (en m)	Plan	Orien-tation	L (en m)	l (en m)	Diam. (en m)	P (en m)	Mobilier	Chronologie
3	3.23	Fossé			0,52	Rectilinéaire	NE/SO		0,56			Fer, scorie	
3	3.24	Fosse			0,52	Ovoïde							
3	3.25	Fossé annulé	X		0,44	Rectilinéaire							
4	4.1	Fossé			0,46	Rectilinéaire	NO/SE						Napoléonien
4	4.2	Fossé			0,55	Rectilinéaire	NO/SE		0,70				Napoléonien
4	4.3	Trou de poteau annulé	X		0,45	Ovoïde		0,55	0,44				
4	4.4	Annulé	X		0,45	Rectilinéaire							
4	4.5	Fossé			0,42	Rectilinéaire	NE/SO		1,20				Napoléonien
4	4.6	Fossé			0,57	Rectilinéaire	NE/SO		1,30				
4	4.7	Fossé			0,63	Rectilinéaire	NE/SO		0,80				Moderne
4	4.8	Fosse			0,70	Ovoïde			1,10				
4	4.9	Fossé	41		0,55	Rectilinéaire	NE/SO		0,87		0,52		Protohistoire
4	4.10	Fosse			0,55	Rectilinéaire			0,57				
4	4.11	Fossé annulé	X		0,70	Rectilinéaire	NE/SO					Cer	XI^{e}-XIII^{e} siècles
4	4.12	Fossé			0,70	Rectilinéaire	NE/SO		0,55				mobilier insuffisant
4	4.13	Fosse			0,70	Maculiforme							
4	4.14	Fosse			0,63	Maculiforme						Fer	
4	4.15	Trou de poteau			0,73	Ovoïde		0,40	0,27				
4	4.16	Chablis			0,73	Maculiforme							
4	4.17	Fossé			0,75	Rectilinéaire	ENE/OSO		0,80			Cer	

Tr.	Fait	Type	Sd.	Appari-tion (en m)	Lecture (en m)	Plan	Orien-tation	L (en m)	l (en m)	Diam. (en m)	P (en m)	Mobilier	Chronologie
5	5.1	Fossé			0,45	Rectilinéaire	N/S		0,93				
5	5.2	Fossé			0,46	Rectilinéaire	N/S		0,83				
5	5.3	Fosse			0,46	Circulaire				0,70			
5	5.4	Fosse	X		0,46	Ovoïde		0,70	0,60		0,12	Croix de chapelet	Post XVII^{e} s.
5	5.5	Fosse			0,47	Ovoïde			0,87				
5	5.6	Fossé			0,45	Oblongue	NNE/SSO		1,05				
5	5.7	Fosse annulée	X		0,45	Ovoïde		0,95	0,76				
5	5.8	Fossé			0,45	Rectilinéaire	NNE/SSO		2,08				Napoléonien
5	5.9	Fossé			0,48	Rectilinéaire	NNE/SSO		0,20				Napoléonien
5	5.10	Fossé			0,48	Rectilinéaire	N/S		2,80			Cer	XVI^{e}-XVII^{e} siècles
5	5.11	Fossé			0,63	Rectilinéaire	N/S		1,60				
5	5.12	Trou de poteau			0,55	Circulaire				0,55			
5	5.13	Fossé	49		0,48	Rectilinéaire	NE/SO		2,00		0,50	Cer	à partir du XVI^{e} siècle
5	5.14	Fosse			0,48	Ovoïde			1,50				
5	5.15	Fossé	48		0,49	Rectilinéaire	N/S		1,79		0,68	Cer	mobilier insuffisant
5	5.16	Fosse			0,48	Ovoïde			0,70			Fer	
5	5.17	Fossé			0,48	Rectilinéaire	N/S		0,70				
5	5.18	Fossé			0,57	Rectilinéaire	E/O		0,60				
5	5.19	Fossé			0,57	Rectilinéaire	NE/SO		0,60				
5	5.20	Fosse		0,40	0,50	Rectilinéaire			1,20				
5	5.21	Fosse		0,40	0,50	Rectilinéaire			0,43				
5	5.22	Fosse		0,45	0,50	Rectilinéaire			0,40				Moderne

Tr.	Fait	Type	Sd.	Appari-tion (en m)	Lecture (en m)	Plan	Orien-tation	L (en m)	l (en m)	Diam. (en m)	P (en m)	Mobilier	Chronologie
5	5.23	Fosse		0,45	0,50	Rectilinéaire			0,84				
5	5.24	Fosse		0,50	0,51	Circulaire				1,06			
5	5.25	Fossé	47		0,45	Rectilinéaire	NNE/ SSO		1,48		0,76		
5	5.26	Fossé			0,48	Rectilinéaire	N/S		0,45			Cer	Protohistoire
5	5.27	Fossé			0,38	Rectilinéaire	N/S		0,50				Moderne
5	5.28	Fossé			0,38	Rectilinéaire	N/S		1,80				Moderne
5	5.29	Fosse			0,43	Ovoïde			1,10				
5	5.30	Fossé			0,50	Rectilinéaire	N/S		0,96				Moderne ?
5	5.31	Fossé			0,36	Rectilinéaire			1,70				Moderne
5	5.32	Fossé		0,44	0,45	Rectilinéaire	N/S		0,70				Moderne
5	5.33	Fossé			0,46	Rectilinéaire	N/S		0,45				Moderne
5	5.34	Fossé			0,40	Rectilinéaire	NNO/ SSE		0,70				
5	5.35	Fossé			0,45	Rectilinéaire	NNE/ SSO		0,50				Moderne
5	5.36	Fosse			0,40	Ovoïde			1,20			Cer	Protohistoire (La Tène)
5	5.37	Sépulture			0,45	Oblongue	E/O	2,00	0,50				
5	5.38	Fosse			0,44	Ovoïde			0,72				
5	5.39	Fosse	X		0,44	Circulaire				0,40	0,08		
6	6.1	Fossé		0,43	0,45	Rectilinéaire	N/S						
6	6.2	Fossé	13		0,50	Rectilinéaire	N/S		1,35		0,45		
6	6.3	Fossé			0,47	Rectilinéaire	E/O		0,70				Moderne
6	6.4	Fossé	13	0,41	0,45	Rectilinéaire	NNE/ SSO		1,05		0,72		Âge du Fer (La Tène)
6	6.5	Fossé	13	0,46	0,50	Rectilinéaire	N/S		0,50		0,27		
6	6.6	Fossé	12	0,42	0,45	Rectilinéaire	NE/ SO		0,68		0,16		
6	6.7	Fossé	12	0,40	0,45	Rectilinéaire	NE/ SO		1,15		0,53		

Tr.	Fait	Type	Sd.	Apparition (en m)	Lecture (en m)	Plan	Orientation	L (en m)	l (en m)	Diam. (en m)	P (en m)	Mobilier	Chronologie
6	6.8	Fossé annulé	X	0,45	0,47	Rectilinéaire	NE/SO		0,36				
6	6.9	Fossé annulé	X		0,30	Rectilinéaire	NNE/SSO		1,50				
6	6.10	Fosse			0,40	Oblongue		0,80	0,70				
6	6.11	Fosse			0,30	Rectilinéaire	N/S		0,97				
6	6.12	Tombe à crémation	X	0,29	0,30	Ovoïde		0,70	0,67		0,16	Cer, os brûlés	1er Fer / La Tène ancienne
6	6.13	Fossé	11		0,37	Curvilinéaire			1,20		0,40		Proto-histoire ?
6	6.14	Sépulture			0,37	Oblongue		1,40	0,50				
6	6.15	Sépulture			0,40	Oblongue		1,80	1,00				
6	6.16	Fossé			0,40	Rectilinéaire	ENE/OSO		0,50				Napoléonien
6	6.17	Fossé			0,30	Maculiforme	NE/SO		0,40				
6	6.18	Sépulture	X		0,40	Oblongue		1,27	0,45		0,16		Proto-histoire ?
6	6.19	Sépulture			0,40	Oblongue		1,25	0,45				
6	6.20	Fosse			0,40	Ovoïde		1,68 mini	0,65 mini				
6	6.21	Fosse			0,40	Oblongue		1,70	0,63			Cer	Moderne
7	7.1	Trou de poteau		0,50	0,63	Ovoïde			0,48				
7	7.2	Fossé	8		0,58	Rectilinéaire	NNE/SSO		0,40		0,14		
7	7.3	Fosse	X		0,58	Maculiforme		2,50	1,30		0,08		
7	7.4	Structure de combustion	X		0,35	Oblongue		2,50	0,60		0,26		
7	7.5	Fossé			0,33	Rectilinéaire	ENE/OSO		0,47				Napoléonien
7	7.6	Fossé			0,38	Rectilinéaire	NNE/SSO		0,40				

Tr.	Fait	Type	Sd.	Appari-tion (en m)	Lecture (en m)	Plan	Orien-tation	L (en m)	l (en m)	Diam. (en m)	P (en m)	Mobilier	Chronologie
7	7.7	Fossé	7		0,38	Rectilinéaire	NNE/ SSO		0,80		0,44	Cer	mobilier insuffisant
7	7.8	Fossé	7		0,26	Rectilinéaire	NE/ SO		0,60		0,30		
7	7.9	Fossé	6		0,26	Rectilinéaire	de		0,90		0,62	Fer	
7	7.10	Fossé	6		0,31	Rectilinéaire	ENE/ OSO		1,40		0,62		
7	7.11	Annulé	X		0,32	Rectilinéaire	N/S		1,20				
7	7.12	Fossé	6		0,30	Rectilinéaire	E/O		1,00		0,28		
7	7.13	Fossé			0,35	Rectilinéaire	NE/ SO		0,60				
7	7.14	Bâtiment semi-excavé	10		0,40	Quadrangulaire			14,00		0,36	Cer, fer	Protohistoire (La Tène)
7	7.15	Fossé			0,45	Rectilinéaire	NNE/ SSO		0,50				Napoléonien
7	7.16	Epandage			0,45	Irrégulier			0,40				
7	7.17	Sépulture			0,45	Oblongue	E/O		0,70				
7	7.18	Trou de poteau annulée	X		0,50	Circulaire				0,38			
7	7.19	Trou de poteau			0,42	Ovoïde		0,63	0,60				
7	7.20	Epandage			0,43	Irrégulier			5,50				
7	7.21	Cave à pommier			0,45	Oblongue		1,13	0,71				
7	7.22	Fossé	9		0,40	Rectilinéaire	NO/ SE		0,80		0,44		Âge du Fer
7	7.23	Annulé	X										
7	7.24	Fosse			0,40	Ovoïde		1,20	0,70			Cer	Protohistoire
7	7.25	Foyer			0,30	Quadrangulaire		0,50	0,50				
7	7.26	Foyer			0,40	Quadrangulaire		0,60	0,50				

Tr.	Fait	Type	Sd.	Appari-tion (en m)	Lecture (en m)	Plan	Orien-tation	L (en m)	l (en m)	Diam. (en m)	P (en m)	Mobilier	Chronologie
7	7.27	Trou de poteau	X	0,35	0,40	Circulaire				0,40	0,30	14C	2nde moitié du VIII^{e} s. - fin du V^{e} s. av. notre ère
7	7.28	Fossé			0,40	Rectilinéaire	NE/SO		0,60				
7	7.29	Fossé			0,40	Rectilinéaire	NNE/SSO		0,65			Cer	Protohistoire
7	7.30	Trou de poteau			0,40	Circulaire				0,50			
7	7.31	Annulé	X		0,40	Rectilinéaire							
7	7.32	Trou de poteau			0,40	Circulaire				0,43			
7	7.33	Trou de poteau			0,40	Ovoïde			0,71				
7	7.34	Fossé	10		0,40	Curviligne			1,90		0,34		
8	8.1	Fossé			0,30	Rectilinéaire	N/S		0,55				
8	8.2	Fosse (sep?)			0,30	Oblongue	E/O		0,40				
8	8.3	Trou de poteau			0,44	Ovoïde		0,38	0,20				
8	8.4	Fosse			0,34	Oblongue			7,80				
8	8.5	Fosse			0,34	Maculiforme		1,50	0,58				
8	8.6	Fossé			0,30	Rectilinéaire	E/O		0,85				Napoléonien
8	8.7	Fossé			0,49	Rectilinéaire	NE/SO		0,53				
8	8.8	Fossé			0,34	Rectilinéaire	ENE/OSO		0,60				Napoléonien
8	8.9	Fossé			0,37	Rectilinéaire	ENE/OSO		0,30				Napoléonien
8	8.10	Fossé			0,54	Rectilinéaire	N/S		1,20				
8	8.11	Fossé			0,48	Rectilinéaire	N/S		0,60				
8	8.12	Fossé			0,43	Rectilinéaire	NNO/SSE		0,60				

Tr.	Fait	Type	Sd.	Appari-tion (en m)	Lecture (en m)	Plan	Orien-tation	L (en m)	l (en m)	Diam. (en m)	P (en m)	Mobilier	Chronologie
8	8.13	Fossé			0,45	Rectilinéaire	NNE/SSO		0,60				
8	8.14	Trou de poteau	X		0,45	Ovoïde	NO/SE	0,35	0,30		0,07		
8	8.15	Fossé			0,50	Rectilinéaire	NNO/SSE		0,50				
8	8.16	Fossé			0,54	Rectilinéaire	NE/SO		0,27				Napoléonien
9	9.1	Fossé			0,43	Rectilinéaire	N/S		1,05				
9	9.2	Fossé			0,30	Rectilinéaire	N/S		0,60				
9	9.3	Fosse		0,30	0,38	Ovoïde			0,60				
9	9.4	Fosse			0,44	Ovoïde			0,66				Moderne
9	9.5	Fosse	X		0,36	Ovoïde		0,57	0,50		0,05		
9	9.6	Fossé			0,43	Rectilinéaire	N/S		0,35				Moderne
9	9.7	Fossé			0,42	Rectilinéaire	NE/SO		0,60				
9	9.8	Fosse			0,45	Rectilinéaire	ENE/OSO		0,65				Moderne
9	9.9	Fosse			0,34	Oblongue	ENE/OSO		0,65			Cer	1er Fer / La Tène ancienne
9	9.10	Trou de poteau annulé	X		0,43	Circulaire				0,60			
9	9.11	Fossé			0,39	Rectilinéaire	N/S		0,25				Moderne
9	9.12	Fosse			0,43	Ovoïde		1,05	0,35				
9	9.13	Fosse			0,70	Ovoïde		0,50	0,32				
9	9.14	Fosse			0,70	Ovoïde		0,92	0,73				
9	9.15	Fossé		0,45	0,50	Rectilinéaire	NE/SO		1,30				
9	9.16	Fossé		0,45	0,50	Rectilinéaire	NO/SE		0,40				
9	9.17	Fossé		0,45	0,50	Rectilinéaire	NE/SO		0,84				Napoléonien

Tr.	Fait	Type	Sd.	Apparition (en m)	Lecture (en m)	Plan	Orientation	L (en m)	l (en m)	Diam. (en m)	P (en m)	Mobilier	Chronologie
9	9.18	Fossé			0,56	Rectilinéaire	NO/SE		0,78			Cer	XVI^{e}-XVII^{e} siècles
9	9.19	Fossé			0,51	Rectilinéaire	NE/SO		2,50				Napoléonien ?
10	10.1	Fossé			0,38	Rectilinéaire	NE/SO		0,80 mini				
10	10.2	Fossé	42		0,46	Rectilinéaire	NNE/SSO		2,00		0,50	Cer	Âge du Bronze
10	10.3	Fossé	X		0,46	Rectilinéaire	ENE/OSO						Napoléonien
10	10.4	Fossé			0,37	Rectilinéaire	ENE/OSO		0,66				Napoléonien
10	10.5	Fossé			0,37	Rectilinéaire	ENE/OSO		0,64				Napoléonien
10	10.6	Fossé			0,44	Rectilinéaire	ENE/OSO		0,64				Napoléonien
10	10.7	Fosse			0,37	Ovoïde		0,70	0,33				
10	10.8	Fossé			0,35	Rectilinéaire	ENE/OSO		0,30				Napoléonien
10	10.9	Fosse			0,40	Ovoïde			2,30				
11	11.1	Fossé			0,48	Rectilinéaire	ENE/OSO		0,20				
11	11.2	Fossé			0,50	Rectilinéaire	ENE/OSO		1,00				
11	11.3	Trou de poteau	X		0,50	Ovoïde		0,50	0,30		0,10		
11	11.4	Fossé			0,28	Rectilinéaire	NE/SO		1,00				Napoléonien
12	12.1	Fosse	X		0,41	Circulaire				0,60	0,12		
12	12.2	Fossé			0,40	Rectilinéaire	NNE/SSO		0,30				
12	12.3	Fossé			0,30	Rectilinéaire	NE/SO		0,85				
12	12.4	Fosse			0,50	Ovoïde		1,20	0,70				
12	12.5	Fosse	X		0,44	Ovoïde		0,90	0,85		0,08		

Tr.	Fait	Type	Sd.	Apparition (en m)	Lecture (en m)	Plan	Orientation	L (en m)	l (en m)	Diam. (en m)	P (en m)	Mobilier	Chronologie
12	12.6	Fosse			0,38	Maculiforme			3,00				Napoléonien
12	12.7	Fossé			0,38	Rectilinéaire	N/S		0,95				
12	12.8	Sépulture			0,38	Oblongue	NE/SO	1,20	0,60				
12	12.9	Fossé			0,60	Rectilinéaire	N/S		1,80				Napoléonien
12	12.10	Fossé			0,56	Rectilinéaire	NNE/SSO		2,40				Napoléonien ?
12	12.11	Sépulture			0,56	Oblongue	E/O	1,90	0,50				
12	12.12	Trou de poteau			0,50	Circulaire				0,40			
12	12.13	Fossé			0,40	Rectilinéaire	NE/SO		0,60				
12	12.14	Fossé			0,50	Rectilinéaire	NNO/SSE		0,70				
12	12.15	Fosse (Sep?)			0,40	Oblongue	N/S	1,80	0,65				
12	12.16	Fossé			0,46	Rectilinéaire	NE/SO		0,95				
12	12.17	Fosse			0,50	Ovoïde		0,50	0,20				
13	13.1	Fossé			0,33	Rectilinéaire	NE/SO		0,64				
13	13.2	Fossé			0,22	Rectilinéaire	NE/SO		0,87				
13	13.3	Fossé			0,30	Maculiforme	NE/SO		1,95				
13	13.4	Fossé			0,35	Rectilinéaire	NE/SO		0,70				
13	13.5	Fossé			0,45	Rectilinéaire	N/S		1,10				
13	13.6	Fossé			0,44	Rectilinéaire	NNO/SSE		1,00				
13	13.7	Fossé			0,44	Rectilinéaire	N/S		1,50 mini				Napoléonien
14	14.1	Fosse			0,35	Quadrangulaire		0,87	0,60			Cer	Protohistoire (La Tène?)

Tr.	Fait	Type	Sd.	Appari-tion (en m)	Lecture (en m)	Plan	Orien-tation	L (en m)	l (en m)	Diam. (en m)	P (en m)	Mobilier	Chronologie
14	14.2	Fossé			0,39	Rectilinéaire	E/O		0,45				Moderne
15	15.1	Fossé			0,63	Rectilinéaire	N/S		0,80				
15	15.2	Fossé			0,63	Rectilinéaire	NNE/ SSO		0,67			Cer	Âge du Fer (La Tène)
15	15.3	Fosse			0,63	Ovoïde			0,56				
15	15.4	Fossé			0,55	Rectilinéaire	N/S		0,67				
15	15.5	Fossé annulé	X		0,55	Rectilinéaire			0,65		0,02		
15	15.6	Fossé annulé	X		0,50	Rectilinéaire			2,20				
15	15.7	Fossé annulé	X		0,35	Rectilinéaire			1,10				
15	15.8	Fossé			0,35	Rectilinéaire	E/O		2,70				Napoléonien
15	15.9	Fossé			0,32	Rectilinéaire	E/O		0,5				Napoléonien
15	15.10	Fosse	X		0,32	Circulaire				0,56	0,07		
15	15.11	Fosse			0,34	Ovoïde		1,00	0,24				
15	15.12	Fosse			0,40	Ovoïde		0,55	0,30				
15	15.13	Fossé	X		0,40	Ovoïde		0,78	0,65				
15	15.14	Fosse			0,55	Quadrangulaire		1,60	0,55				
16	16.1	Fosse annulée	X										
16	16.2	Fossé/ Chablis	50		0,60	Curviligne			0,60		0,20		
16	16.3	Fosse			0,44	Ovoïde		1,20	0,60				
16	16.4	Fossé			0,41	Rectilinéaire	N/S		0,60				
16	16.5	Fossé	31		0,35	Rectilinéaire	NNE/ SSO		1,60		0,62	Cer	mobilier hétérogène
16	16.6	Fossé			0,53	Rectilinéaire	NNE/ SSO		2,60				
16	16.7	Fossé			0,45	Rectilinéaire			1,50				
16	16.8	Fossé			0,55	Rectilinéaire	ENE/ OSO		0,50				

Tr.	Fait	Type	Sd.	Appari-tion (en m)	Lecture (en m)	Plan	Orien-tation	L (en m)	l (en m)	Diam. (en m)	P (en m)	Mobilier	Chronologie
16	16.9	Fossé			0,48	Rectilinéaire	ENE/OSO		1,03				
16	16.10	Fossé			0,48	Rectilinéaire	ENE/OSO		0,54				
16	16.11	Fossé			0,52	Rectilinéaire	ENE/OSO		0,40				
16	16.12	Fossé			0,43	Rectilinéaire	ENE/OSO		0,50				
16	16.13	Fosse			0,50	Ovoïde							
16	16.14	Fosse			0,50	Ovoïde		0,35	0,15				
17	17.1	Trou de poteau annulé	X		0,42	Ovoïde		0,50	0,40				
17	17.2	Trou de poteau annulé	X		0,42	Ovoïde							
17	17.3	Trou de poteau annulé	X		0,48	Ovoïde		0,90	0,37				
17	17.4	Trou de poteau annulé	X		0,44	Ovoïde		0,60	0,38				
17	17.5	Trou de poteau	X		0,49	Quadrangulaire		0,44	0,30		0,20		
17	17.6	Fossé	19		0,43	Rectilinéaire	N/S		0,50		0,34	Cer	XI^{e}-XIII^{e} siècles
17	17.7	Trou de poteau annulé	X		0,53	Ovoïde		0,44	0,35				
17	17.8	Fossé			0,40	Rectilinéaire	ENE/OSO		0,40				
17	17.9	Fossé	20		0,47	Rectilinéaire	N/S		0,36		0,32	Cer	Âge du Fer (La Tène)
17	17.10	Fossé	20		0,52	Rectilinéaire	N/S		0,60		0,30		
17	17.11	Fosse			0,48	Rectilinéaire							
17	17.12	Fossé			0,52	Rectilinéaire	N/S		0,80				

Tr.	Fait	Type	Sd.	Apparition (en m)	Lecture (en m)	Plan	Orientation	L (en m)	l (en m)	Diam. (en m)	P (en m)	Mobilier	Chronologie
17	17.13	Fosse			0,40	Ovoïde		0,90	0,75				
17	17.14	Fossé			0,40	Rectilinéaire	NNE/SSO		0,75				
17	17.15	Fossé			0,40	Rectilinéaire	E/O		0,60				
17	17.16	Fossé			0,38	Rectilinéaire	E/O		0,35				Moderne
17	17.17	Trou de poteau			0,43	Ovoïde			0,70				
17	17.18	Trou de poteau	X		0,62	Circulaire				0,35	0,04		
17	17.19	Fosse (Sep?)			0,42	Oblongue		1,70	0,70				
18	18.1	Fossé	21		0,32	Rectilinéaire	NNE/SSO		0,70		0,20	Scorie	
18	18.2	Fossé			0,35	Rectilinéaire	NNE/SSO		0,85				
18	18.3	Fossé			0,45	Rectilinéaire	NE/SO		1,80				Napoléonien
18	18.4	Fossé			0,42	Rectilinéaire	E/O						Napoléonien
19	19.1	Fosse	32	0,40	0,50	Rectilinéaire	NO/SE		5,25		0,37	Cer	IIe – IIIe s. apr. J.-C.
19	19.2	Fossé		0,40	0,50	Rectilinéaire	ENE/OSO		0,50				
19	19.3	Fossé			0,30	Rectilinéaire	N/S		1,10				Napoléonien
19	19.4	Fossé annulé	33		0,30	Rectilinéaire			1,75			Cer	Ie - IIIe s. apr. J.-C.
19	19.5	Fossé		0,50	0,55	Rectilinéaire	NE/SO		0,60				
19	19.6	Fossé		0,50	0,55	Rectilinéaire	NE/SO		0,55				
19	19.7	Fossé	34	0,45	0,50	Rectilinéaire	ENE/OSO		1,05		0,26	Cer	IIe – IIIe s. apr. J.-C.
19	19.8	Fossé		0,35	0,40	Rectilinéaire	E/O		0,40				Moderne
19	19.9	Fossé		0,50	0,55	Rectilinéaire	NE/SO		0,90				

Tr.	Fait	Type	Sd.	Apparition (en m)	Lecture (en m)	Plan	Orientation	L (en m)	l (en m)	Diam. (en m)	P (en m)	Mobilier	Chronologie
20	20.1	Fossé	5	0,35	0,40	Rectilinéaire	ENE/OSO		0,40 mini		0,26		
20	20.2	Fossé	1, 5	0,35	0,40	Rectilinéaire	NNE/SSO		1,13		0,27		
20	20.3	Annulé	X	0,35	0,40	Rectilinéaire			0,25				
20	20.4	Fosse		0,35	0,40	Ovoïde			0,80				
20	20.5	Fosse		0,35	0,40	Circulaire				0,65			
20	20.6	Fosse		0,15	0,40	Circulaire				1,30			Moderne
21	21.1	Fossé	3		0,30	Rectilinéaire	ENE/OSO		0,45		0,20	Terre-cuite	
21	21.2	Fossé	2		0,35	Rectilinéaire	ENE/OSO		0,95		0,50	Cer, fer	Protohistoire
21	21.3	Fossé	4	0,35	0,40	Rectilinéaire	NO/SE		0,65		0,24		
21	21.4	Fossé	4		0,35	Rectilinéaire	ONO/ESE		0,80		0,40	Scorie	
21	21.5	Fossé	4		0,35	Rectilinéaire	E/O		1,20		0,28		Napoléonien
21	21.6	Fossé	4		0,35	Rectilinéaire	E/O		0,75		0,38		
21	21.7	Indét.			0,50	Rectilinéaire		3,00 mii	0,30 mini				
22	22.1	Fosse			0,65	Ovoïde		0,80	0,45				
22	22.2	Fossé		0,60	0,70	Rectilinéaire	NE/SO		0,30				Moderne
22	22.3	Fossé	22		0,45	Rectilinéaire	ONO/ESE		1,27		0,25		
22	22.4	Annulé	23			Rectilinéaire							
22	22.5	Fossé	23	0,55	0,60	Rectilinéaire	NO/SE		1,00		0,43		
23	23.1	Fossé	35	0,55	0,60	Rectilinéaire	OSO/ENE		1,30		0,57		sous hi 3
23	23.2	Fossé	36		0,50	Rectilinéaire	NE/SO		1,20		0,54	Lithique	
24	24.1	Fossé	26		0,40	Rectilinéaire	ENE/OSO		0,65		0,18	Cer, fibule	Fin I^{er} av./ I^{er} ap.

Tr.	Fait	Type	Sd.	Apparition (en m)	Lecture (en m)	Plan	Orientation	L (en m)	l (en m)	Diam. (en m)	P (en m)	Mobilier	Chronologie
24	24.2	Fossé	26		0,40	Rectilinéaire	NE/SO		0,80		0,58		
24	24.3	Fossé	27		0,40	Rectilinéaire	ENE/OSO		0,60		0,38		
24	24.4	Fossé	27		0,40	Rectilinéaire	ENE/OSO		1,25		0,26		
24	24.5	Fossé	28		0,4	Rectilinéaire	N/S		1,50		0,72	Cer	Fin I^{e} av./ début I^{e} ap.
24	24.6	Fosse			0,45	Oblongue		1,35	0,70				
24	24.7	Fossé	29		0,40	Rectilinéaire	ENE/OSO		0,50		0,32		
24	24.8	Fossé			0,40	Rectilinéaire	E/O		0,75				Moderne
24	24.9	Fossé			0,40	Rectilinéaire	NE/SO		0,70				
24	24.10	Fossé		0,40	0,45	Rectilinéaire	ENE/OSO		0,50				
24	24.11	Fossé			0,40	Rectilinéaire	NE/SO		0,70				
24	24.12	Fossé	30	0,50	0,55	Rectilinéaire	NE/SO		0,75		0,20	Cer	Antiquité
25	25.1	Fossé	24	0,60	0,65	Rectilinéaire	NO/SE		0,60		0,30		
25	25.2	Fossé	25		0,50	Rectilinéaire	ENE/OSO		0,40		0,14		
25	25.3	Fossé	25		0,50	Rectilinéaire	ENE/OSO		0,85		0,30		
25	25.4	Fossé	24		0,50	Rectilinéaire	NE/SO		0,50		0,38		
26	26.1	Trou de poteau	X	0,40	0,45	Circulaire		0,6	0,49		0,18		
26	26.2	Trou de poteau		0,40	0,45	Circulaire				0,46		Cer	Protohistoire
26	26.3	Trou de poteau		0,40	0,45	Ovoïde		0,54	0,50				

Tr.	Fait	Type	Sd.	Appari-tion (en m)	Lecture (en m)	Plan	Orien-tation	L (en m)	l (en m)	Diam. (en m)	P (en m)	Mobilier	Chronologie
26	26.4	Fossé		0,40	0,45	Curvilinéaire			0,38				
26	26.5	Trou de poteau	X	0,45	0,50	Curvilinéaire			0,38		0,12		
26	26.6	Trou de poteau		0,45	0,50	Circulaire				0,37			
26	26.7	Trou de poteau	X	0,45	0,50	Circulaire				0,36	0,04		
26	26.8	Fossé		0,45	0,50	Rectilinéaire	ONO/ ESE		1,00				
26	26.9	Fossé		0,30	0,50	Curvilinéaire			0,38		0,25		
27	27.1	Fossé			0,40	Rectilinéaire	ONO/ ESE		0,80				
27	27.2	Fossé			0,40	Rectilinéaire	N/S		1,80				Napoléonien
27	27.3	Fossé			0,50	Rectilinéaire	E/O		1,30				
27	27.4	Fossé			0,50	Rectilinéaire	E/O		1,00				
27	27.5	Fossé			0,50	Rectilinéaire	N/S		0,65			Cer	XIV^{e} - XV^{e} siècles
27	27.6	Fossé	45		0,40	Rectilinéaire	ENE/ OSO		0,50		0,30		
27	27.7	Fossé	45	0,50	0,60	Rectilinéaire	ENE/ OSO		0,60		0,30		
27	27.8	Fossé	45	0,50	0,60	Rectilinéaire	ENE/ OSO		0,75		0,60		
27	27.9	Fossé	45	0,50	0,60	Rectilinéaire	ENE/ OSO		0,78		0,50		
27	27.10	Fosse (Sep?)		0,50	0,60	Oblongue		1,50	0,60				
28	28.1	Fossé douteux		0,45	0,50	Rectilinéaire	NO/ SE		0,36				
28	28.2	Fosse		0,45	0,50	Ovoïde			0,87				
28	28.3	Fossé	46	0,45	0,50	Rectilinéaire	NO/ SE		0,80		0,36		
28	28.4	Fossé	46	0,45	0,50	Rectilinéaire	NO/ SE		1,10		0,26		

Tr.	Fait	Type	Sd.	Apparition (en m)	Lecture (en m)	Plan	Orientation	L (en m)	l (en m)	Diam. (en m)	P (en m)	Mobilier	Chronologie
28	28.5	Trou de poteau		0,45	0,50	Ovoïde		0,38	0,33				
29	29.1	Fossé		0,40	0,45	Rectilinéaire	NNE/SSO		1,50				
29	29.2	Fossé		0,40	0,45	Rectilinéaire	ONO/ESE		1,20				

Inventaire du mobilier archéologique

Inventaire du mobilier céramique des périodes historiques, F. Labaune-Jean

Tr.	fait	sd	N° us	cer. proto	GR	HMA	BMA	Mod.	post 1789 a 19e	indét.	total	Datation proposée
1	1-8		surf.				1				1	Médiéval
1	1-16							2			2	à partir du XVIe siècle
1	decap				3					2	5	Ier s.ap. J.-C.
2	decap							2			2	Médiéval / Moderne
3	3-9							2			2	XVI-XVIIe siècles
3	3-21		surf.					3			3	Médiéval / Moderne
4	4-11		surf.				4				4	XIe-XIIIe siècles
4	4-12									1	1	mobilier insuffisant
4	décap.				2			1			3	mobilier hétérogène
5	5-10		surf.					1			1	XVI-XVIIe siècles
5	5-13		surf.					1			1	à partir du XVIe siècle
5	5-15	48	3							1	1	mobilier insuffisant
6	6-21		surf.					1			1	Moderne
7	7-7		1							1	1	mobilier insuffisant
9	décap						5				5	XIe-XIIIe siècles

Tr.	fait	sd	N° us	cer. proto	GR	HMA	BMA	Mod.	post 1789 a 19e	indét.	total	Datation proposée
9	9-19		surf.					1			1	XVI-XVIIe siècles
12	décap.							1			1	Moderne
15	décap.						3				3	XIIIe-XIVe siècles ?
16	16-5			1	1		1				3	mobilier hétérogène
17	17-6		surf.				1				1	XIe-XIIIe siècles
19	19-1	32	1		3						3	IIe - IIIe s. apr. J.-C.
19	19-7	34			2						2	IIe - IIIe s. apr. J.-C.
19	19-4	33			1						1	Ier s. au IIIe s. apr. J.-C.
24	24-1		fond							1	1	mobilier insuffisant
24	24-12	30	5 cm		2						2	Antiquité
24	24-5	28			7						7	Fin Ier av. / début Ier apr. J.-C.
27	27-5		surf.				7				7	XIVe-XVe siècles
27	décap				4						4	IIe - IIIe s. apr. J.-C.

Inventaire du mobilier céramique protohistorique, O. Lierville

Tr.	Sd	Fait	US	Nbre bords	Nbre panse	Nbre fonds	Nbre anses	NR	NMI	Remarque	Datation	Dessin
1		1.5	surface		4			4	0		Protohistoire (ancienne?)	
2		2.2	surface		2			2	0		âge du Fer (La Tène)	
2		2.4	surface		1			1	0		Protohistoire	
3	40	3.7	0,3		2			2	0	petit cordon plat érodé	Protohistoire (Bronze)	1
3		3.6			1			1	0		Protohistoire	
3	38	3.17			3			3	0	1 tesson pâte LT peut-être départ d'anse	âge du Fer (La Tène)	
4	41	4.9			1			1	0	Peut-être un fond ?	Protohistoire	
5		5.26			2			2	0		Protohistoire	
5		5.36	surface		8			8	0		Protohistoire (La Tène?)	
6		6.13	surface		2			2	0	érodé	Protohistoire ?	
6		6.18	1		1			1	0	très petit fragment	Protohistoire ?	
6	13	6.4	3	1	1			2	0		âge du Fer (La Tène)	1
7		7.24	surface	1				1	1	tout petit fragment de lèvre simple	Protohistoire	
7		7.22	surface		2			2	0	pâte micacée	âge du Fer	
7	10	7.14	2	1	4			5	1	petit fragment de lèvre simple arrondie	Protohistoire (La Tène?)	
7		7.29	surface		1			1	0		Protohistoire	
15		15.2	surface		2			2	0	pâte laténienne	âge du Fer (La Tène)	
17			Décap. TV/Hi1		22			22	0	tessons roulés pour la plupart	Protohistoire	

Tr.	Sd	Fait	US	Nbre bords	Nbre panse	Nbre fonds	Nbre anses	NR	NMI	Remarque	Datation	Dessin
17	20	17.9	2		1			1	0		âge du Fer (La Tène)	
10			Décapage		2			2	0	érodé et pulvérulent	Protohistoire ?	
21		21.2			1			1	0	roulé	Protohistoire	
14		14.1	surface		2			2	0		Protohistoire (La Tène?)	
16		16.5	surface		2			2	0		Protohistoire (ancienne?)	
26		26.2	surface		1			1	0		Protohistoire	
20			Décapage début Tr.		5			5	0		Protohistoire	
10	42	10.2		1				1	1		âge du Bronze	1
9		9.9	surface		37	1		38	1		1er Fer / La Tène ancienne	1
6		6.12		1	22	7		30	1	Urne + 1 TC roulée	1er Fer / La Tène ancienne	1
7		7.14	surface		7	1		8	1	3 TC roulées	Protohistoire	

Inventaire du mobilier céramique des périodes historiques, F. Labaune-Jean

Contexte				Matériau	Comptage		Domaine	Identification	Objet			traitement	Stockage		
Tr.	Fait	Us	Sd		NR	NMI			Description	Datation	état de cons.		Intégrité	traitement	caisse
7	7-9	1	6	fer	1	1	ind.	tige		insuf.	corrodé	néant	lot	néant	
4	déc.			fer	1	1	ind.	frag.	informe	insuf.	corrodé	néant	frag.	néant	
4	4-14	surf.		fer	1	1	ind.	tige	coudée en L	insuf.	corrodé	néant	frag.	néant	
1	1-16			fer	1	1	quincaillerie	clou	tête	insuf.	corrodé	néant	frag.	néant	
21	21-2			fer	1	1	ind.	tige	comme ardillon	insuf.	corrodé	néant	frag.	néant	
2	2-22			fer	1	1	quincaillerie	clou	tête	insuf.	corrodé	néant	frag.	néant	
1	déc.			fer	1	1	quincaillerie	fiche	en L	insuf.	corrodé	néant	frag.	néant	
3	3-23			fer	7	1	artisanat	scories		insuf.	bon	lavage	lot	néant	
18	18-1	1	21	fer	1	1	artisanat	scories		insuf.	bon	lavage	frag.	néant	
9	déc.			fer	1	1	artisanat	scories		insuf.	bon	lavage	frag.	néant	
3	3-23			fer	1	1	artisanat	scories		insuf.	bon	lavage	frag.	néant	
3	3-9			fer	1	1	artisanat	scories		insuf.	bon	lavage	frag.	néant	
21	21-4	3	4	fer	1	1	artisanat	scories		insuf.	bon	lavage	frag.	néant	
24	24-1	1	26	terre cuite	1	1	ind.	frag.	informe	insuf.	bon	lavage	frag.	néant	
4	déc.			verre	1	1	vaisselle	bouteille	panse	18-19e s.	bon	lavage	frag.	néant	
5	5-4	1		all. cu.	1	1	croyance	pendentif	croix de chapelet	post. 17e s.	bon	néant	intact	néant	
24	24-1	1	26	all. cu.	2	1	vestimentaire	fibule	haut arc et ressort F14b	fin Ier av. - Ier s. apr. J.-C.	moyen	néant	frag.	néant	

Inventaire du mobilier lithique, V. Brisotto

Tr	F	sd	us	n° objet	matière 1ère	support	L (cm)	l	ép.	poids (kg)	type	description	proposition fonctionnelle
23	2	36	2	1	granite fin homogène, qq rares phénocristaux de feldspath	ind.	15,5	11	2	0,49	mouture/ broyage ? éclat avec face convexe travaillée	éclat avec face convexe travaillée	éclat de meule ou de molette
1				2	silex brun	ind.				0,002	industrie lithique	débris	débris

Inventaire des documents graphiques

N° document	Type	Matériau	Technique	Dimensions (cm)	N° Tr.	N° Fait	N° Sondage
1	Relevés de tranchée et descriptif tranchée	Calque polyester	Crayon	42 x 29,7	1		
2	Relevés de tranchée et descriptif tranchée	Calque polyester	Crayon	42 x 29,7	2, 3		
3	Relevés de tranchée et descriptif tranchée	Calque polyester	Crayon	42 x 29,7	3, 4		
4	Relevés de tranchée et descriptif tranchée	Calque polyester	Crayon	42 x 29,7	4, 5		
5	Relevés de tranchée, descriptif tranchée et de structure	Calque polyester	Crayon	42 x 29,7	6	6.12	
6	Relevés de tranchée et descriptif tranchée	Calque polyester	Crayon	42 x 29,7	7		
7	Relevés de tranchée et descriptif tranchée	Calque polyester	Crayon	42 x 29,7	7, 8		
8	Relevés de tranchée et descriptif tranchée	Calque polyester	Crayon	42 x 29,7	9, 10		
9	Relevés de tranchée et descriptif tranchée	Calque polyester	Crayon	42 x 29,7	11, 12		
10	Relevés de tranchée et descriptif tranchée	Calque polyester	Crayon	42 x 29,7	13, 14, 15, 16		
11	Relevés de tranchée, descriptif tranchée	Calque polyester	Crayon	42 x 29,7	1, 2, 3, 15, 16, 17, 18	3.16, 17.5, 2.14, 1.7, 17.18, 17.1, 15.10, 1.1	

N° document	Type	Matériau	Technique	Dimensions (cm)	N° Tr.	N° Fait	N° Sondage
12	Relevés de coupes	Millimétré	Crayon	42 x 29,7	1, 2, 3, 4, 5, 6,20, 21	20.1, 20.2, 21.1, 21.2, 21.3, 21.4, 21.5, 21.6	1, 2, 3, 4, 5
13	Relevés de coupes	Calque polyester	Crayon	42 x 29,7	1, 12, 11, 5, 26, 7, 8, 9	1.11, 1.19, 12.1, 12.5, 1.27, 5.4, 5.39, 11.3, 26.5, 26.7, 7.27, 8.14, 9.5, 7.3	
14	Relevés de coupes	Millimétré	Crayon	42 x 29,7	7, 6, 26, 20, 17,	7.10, 7.12, , 7.7, 7.8, 7.22, 7.2, 6.13, 6.7, 6.6, 6.5, 6.4, 6.2, 6.18, 26.1, 17.10, 17.9, 17.6	6, 11, 12, 7, 9, 19, 20, 13
15	Relevés de coupes	Millimétré	Crayon	42 x 29,7	1, 18, 22, 23, 25, 16, 19	1.5, 22.5, 23.1, 25.1, 1.13, 25.4, 25.2, 16.5, 1.22, 1.23, 18.1, 22.3, 19.1	14, 23, 35, 31, 24, 24, 24, 15, 17, 18, 21, 22, 32
16	Relevés de coupes	Calque polyester	Crayon	42 x 29,7	7	7.27	
17	Relevés de coupes	Calque polyester	Crayon	42 x 29,7	24, 5, 2, 28	24.3, 24.1, 28.4, 28.3, 5.25, 2.1, 2.6, 27.9, 27.8, 27.7	27, 26, 46, 47, 44, 45, 43
18	Relevés de coupes	Calque polyester	Crayon	42 x 29,7	19, 24, 3, 3, 4, 10, 23	19.7, 24.12, 24.7, 24.5, 3.21, 3.7, 24.1, 24.3, 3.13, 3.17, 3.15, 10.2, 4.9, 23.2	34, 30, 29, 28, 37, 40, 26, 27, 38, 39, 36, 41, 42
19	Relevés de coupes	Millimétré	Crayon	42 x 29,7	5, 16, 7	5.15, 5.13, 16.2, 7.14	48, 49, 50, 10

Inventaire des documents photographiques

N° Description	Auteur
P1060543_D141718_Vue de la tranchée 5	J. Cavanillas
P1060544_D141718_Vue de la tranchée 5	J. Cavanillas
P1060547_D141718_Vue de la tranchée 5	J. Cavanillas
P1060548_D141718_Vue de la tranchée 5	J. Cavanillas
P1060549_D141718_Vue de la tranchée 5	J. Cavanillas
P1060553_D141718_Vue des tranchées	J. Cavanillas
P1060554_D141718_Vue des tranchées	J. Cavanillas
P1060555_D141718_Vue des tranchées	J. Cavanillas
P1060558_D141718_Vue de la tranchée 3	J. Cavanillas
P1060559_D141718_Vue de la tranchée 3	J. Cavanillas
P1060562_D141718_Log début tranchée 3	J. Cavanillas
P1060563_D141718_Log début tranchée 1	J. Cavanillas
P1060565_D141718_Log début tranchée 6	J. Cavanillas
P1060567_D141718_Vue de la tranchée 6	J. Cavanillas
P1060569_D141718_Vue de la tranchée 6	J. Cavanillas
P1060570_D141718_Vue de la tranchée 6	J. Cavanillas
P1060572_D141718_Incinération F6.12 nettoyage de surface	L. Contu
P1060573_D141718_Incinération F6.12 nettoyage de surface	L. Contu
P1060574_D141718_Incinération F6.12 nettoyage de surface	L. Contu
P1060576_D141718_Incinération F6.12 nettoyage de surface	L. Contu
P1060580_D141718_Incinération F6.12 nettoyage de surface	L. Contu
P1060581_D141718_Incinération F6.12 nettoyage de surface	L. Contu
P1060583_D141718_Incinération F6.12 nettoyage de surface	L. Contu
P1060584_D141718_Incinération F6.12 nettoyage de surface	L. Contu

N° Description	Auteur
P1060587_D141718_Incinération F6.12 coupe	L. Contu
P1060588_D141718_Incinération F6.12 coupe	L. Contu
P1060589_D141718_Incinération F6.12 coupe	L. Contu
P1060590_D141718_Incinération F6.12 coupe	L. Contu
P1060591_D141718_Incinération F6.12 coupe	L. Contu
P1060593_D141718_Incinération F6.12 coupe	L. Contu
P1060594_D141718_Incinération F6.12 coupe	L. Contu
P1060595_D141718_Incinération F6.12 coupe	L. Contu
P1060596_D141718_Incinération F6.12 coupe	L. Contu
P1060597_D141718_Incinération F6.12 coupe	L. Contu
P1060598_D141718_Incinération F6.12 coupe	L. Contu
P1060599_D141718_Incinération F6.12 coupe	L. Contu
P1060600_D141718_Incinération F6.12 coupe	L. Contu
P1060601_D141718_Incinération F6.12 coupe	L. Contu
P1060602_D141718_Vue des structures fossoyées de la tranchée 7	J. Cavanillas
P1060603_D141718_Vue des structures fossoyées de la tranchée 7	J. Cavanillas
P1060605_D141718_Vue des structures fossoyées de la tranchée 7	J. Cavanillas
P1060606_D141718_Vue des structures fossoyées de la tranchée 7	J. Cavanillas
P1060607_D141718_Vue des structures fossoyées de la tranchée 7	J. Cavanillas
P1060608_D141718_Vue des structures fossoyées de la tranchée 7	J. Cavanillas
P1060611_D141718_Incinération F6.12 coupe	L. Contu
P1060612_D141718_Incinération F6.12 coupe	L. Contu
P1060613_D141718_Incinération F6.12 coupe	L. Contu
P1060614_D141718_Incinération F6.12 coupe	L. Contu
P1060615_D141718_Incinération F6.12 coupe	L. Contu
P1060616_D141718_Incinération F6.12 coupe	L. Contu
P1060617_D141718_Incinération F6.12 coupe	L. Contu
P1060618_D141718_Incinération F6.12 coupe	L. Contu
P1060620_D141718_Incinération F6.12 coupe	L. Contu

N° Description	Auteur
P1060623_D141718_Incinération F6.12 coupe	L. Contu
P1060625_D141718_Incinération F6.12 coupe	L. Contu
P1060626_D141718_Incinération F6.12 coupe	L. Contu
P1060627_D141718_Incinération F6.12 coupe	L. Contu
P1060628_D141718_Incinération F6.12 coupe	L. Contu
P1060629_D141718_Incinération F6.12 coupe	L. Contu
P1060630_D141718_Incinération F6.12 coupe	L. Contu
P1060632_D141718_Incinération F6.12 coupe	L. Contu
P1060634_D141718_Incinération F6.12 coupe	L. Contu
P1060635_D141718_Incinération F6.12 coupe	L. Contu
P1060636_D141718_Incinération F6.12	L. Contu
P1060637_D141718_Incinération F6.12	L. Contu
P1060645_D141718_F 3.16 plan	J. Cavanillas
P1060646_D141718_F 3.16 plan	J. Cavanillas
P1060651_D141718_Sd 2_F 21.2_Coupe	J. Cavanillas
P1060657_D141718_Sd 2_F 21.2_Coupe	J. Cavanillas
P1060659_D141718_Sd 2_F 21.2_Coupe	J. Cavanillas
P1060660_D141718_Sd 2_F 21.2_Coupe	J. Cavanillas
P1060662_D141718_Sd 4_F 21.3, 21.4, 21.5, 21.6_Coupe	J. Cavanillas
P1060663_D141718_Sd 4_F 21.3, 21.4, 21.5, 21.6_Coupe	J. Cavanillas
P1060664_D141718_Sd 4_F 21.3, 21.4, 21.5, 21.6_Coupe	J. Cavanillas
P1060665_D141718_Sd 4_F 21.3, 21.4, 21.5, 21.6_Coupe	J. Cavanillas
P1060667_D141718_Sd 4_F 21.3_Coupe	J. Cavanillas
P1060668_D141718_Sd 4_F 21.3_Coupe	J. Cavanillas
P1060670_D141718_Sd 4_F 21.4_Coupe	J. Cavanillas
P1060671_D141718_Sd 4_F 21.4_Coupe	J. Cavanillas
P1060672_D141718_Sd 4_F 21.4_Coupe	J. Cavanillas
P1060674_D141718_Sd 4_F 21.5, 21.6_Coupe	J. Cavanillas
P1060675_D141718_Sd 4_F 21.5, 21.6_Coupe	J. Cavanillas

N° Description	Auteur
P1060676_D141718_Sd 4_F 21.5, 21.6_Coupe	J. Cavanillas
P1060678_D141718_Sd 4_F 21.5, 21.6_Coupe	J. Cavanillas
P1060679_D141718_Sd 4_F 21.5, 21.6_Coupe	J. Cavanillas
P1060680_D141718_Sd 4_F 21.5, 21.6_Coupe	J. Cavanillas
P1060684_D141718_Sd 1_F 20.2_Coupe	J. Cavanillas
P1060685_D141718_Sd 1_F 20.2_Coupe	J. Cavanillas
P1060686_D141718_Sd 5_F 20.1, 20.2_Coupe	J. Cavanillas
P1060687_D141718_Sd 5_F 20.1, 20.2_Coupe	J. Cavanillas
P1060688_D141718_Sd 5_F 20.1, 20.2_Coupe	J. Cavanillas
P1060689_D141718_Sd 5_F 20.1, 20.2_Coupe	J. Cavanillas
P1060690_D141718_Sd 5_F 20.1, 20.2_Coupe	J. Cavanillas
P1060691_D141718_Sd 5_F 20.1, 20.2_Coupe	J. Cavanillas
P1060692_D141718_Sd 5_F 20.1, 20.2_Coupe	J. Cavanillas
P1060697_D141718_Sd 6_F 7.9, 7.10_Coupe	J. Cavanillas
P1060698_D141718_Sd 6_F 7.9, 7.10_Coupe	J. Cavanillas
P1060700_D141718_Sd 6_F 7.9, 7.10_Coupe	J. Cavanillas
P1060701_D141718_Sd 6_F 7.9, 7.10_Coupe	J. Cavanillas
P1060702_D141718_Sd 6_F 7.9, 7.10_Coupe	J. Cavanillas
P1060703_D141718_Sd 6_F 7.9, 7.10_Coupe	J. Cavanillas
P1060704_D141718_Sd 6_F 7.9, 7.10_Coupe	J. Cavanillas
P1060706_D141718_Sd 6_F 7.9_Coupe	J. Cavanillas
P1060708_D141718_Sd 6_F 7.10_Coupe	J. Cavanillas
P1060714_D141718_Sd 7_F 7.8, 7.7_Coupe	J. Cavanillas
P1060715_D141718_Sd 7_F 7.8, 7.7_Coupe	J. Cavanillas
P1060716_D141718_Sd 7_F 7.8, 7.7_Coupe	J. Cavanillas
P1060721_D141718_F 26.1_Coupe	J. Cavanillas
P1060722_D141718_F 26.1_Coupe	J. Cavanillas
P1060723_D141718_F 26.1_Coupe	J. Cavanillas
P1060725_D141718_F 26.1_Vue générale	J. Cavanillas

N° Description	Auteur
P1060726_D141718_F 26.1_Vue générale	J. Cavanillas
P1060727_D141718_F 26.1_Vue générale	J. Cavanillas
P1060729_D141718_F 26.1_Vue générale	J. Cavanillas
P1060730_D141718_Tr 26_Vue générale	J. Cavanillas
P1060732_D141718_Tr 26_Vue générale	J. Cavanillas
P1060733_D141718_Tr 26_Vue générale	J. Cavanillas
P1060736_D141718_Sd 9_F 7.22_Coupe	J. Cavanillas
P1060737_D141718_Sd 9_F 7.22_Coupe	J. Cavanillas
P1060739_D141718_Sd 9_F 7.22_Coupe	J. Cavanillas
P1060741_D141718_F 6.18_sépulture en plan	J. Cavanillas
P1060742_D141718_F 6.18_sépulture en coupe	J. Cavanillas
P1060743_D141718_F 6.18_Vue générale	J. Cavanillas
P1060744_D141718_F 6.18_Vue générale	J. Cavanillas
P1060745_D141718_F 6.21 et 6.20_Vue générale	J. Cavanillas
P1060746_D141718_F 6.21 et 6.20_Vue générale	J. Cavanillas
P1060747_D141718_Fossé 6.13 et sépulture 6.14_Vue générale	J. Cavanillas
P1060748_D141718_Fossé 6.13 et sépulture 6.14_Vue générale	J. Cavanillas
P1060749	J. Cavanillas
P1060750_D141718_F 7.27	L. Contu
P1060751_D141718_F 7.27	L. Contu
P1060752_D141718_F 7.27	L. Contu
P1060753_D141718_F 7.27	L. Contu
P1060754_D141718_F 7.27	L. Contu
P1060755_D141718_F 7.27	L. Contu
P1060756_D141718_F 7.27	L. Contu
P1060757_D141718_F 7.27	L. Contu
P1060758_D141718_F 7.27	L. Contu
P1060760_D141718_F 7.27	L. Contu
P1060761_D141718_F 7.27	L. Contu

N° Description	Auteur
P1060762_D141718_F 7.27	L. Contu
P1060763_D141718_F 7.27	L. Contu
P1060764_D141718_F 7.27	L. Contu
P1060765_D141718_F 7.27	L. Contu
P1060766_D141718_F 7.27	L. Contu
P1060767_D141718_F 7.27	L. Contu
P1060768_D141718_F 7.27	L. Contu
P1060769_D141718_F 7.27	L. Contu
P1060770_D141718_F 7.27	L. Contu
P1060771_D141718_F 7.27	L. Contu
P1060772_D141718_F 7.27	L. Contu
P1060773_D141718_F 7.27	L. Contu
P1060774_D141718_F 7.27	L. Contu
P1060775_D141718_F 7.27	L. Contu
P1060776_D141718_F 7.27	L. Contu
P1060777_D141718_F 7.27	L. Contu
P1060778_D141718_F 7.27	L. Contu
P1060780_D141718_F 7.27	L. Contu
P1060781_D141718_F 7.27	L. Contu
P1060782_D141718_F 7.27	L. Contu
P1060784_D141718_Sd 11_F 6.13_Coupe	J. Cavanillas
P1060785_D141718_Sd 11_F 6.13_Coupe	J. Cavanillas
P1060789_D141718_Sd 12_F 6.7_Coupe	J. Cavanillas
P1060793_D141718_F 7.26_Coupe	L. Contu
P1060794_D141718_F 7.26_Coupe	L. Contu
P1060796_D141718_Sd 13_F 6.5, 6.4, 6.2_Coupe	J. Cavanillas
P1060797_D141718_Sd 13_F 6.5, 6.4, 6.2_Coupe	J. Cavanillas
P1060799_D141718_Sd 13_F 6.5_Coupe	J. Cavanillas
P1060801_D141718_Sd 13_F 6.4, 6.2_Coupe	J. Cavanillas

N° Description	Auteur
P1060803_D141718_Sd 13_F 6.4, 6.2_Coupe	J. Cavanillas
P1060804_D141718_Sd 13_F 6.4, 6.2_Coupe	J. Cavanillas
P1060806_D141718_Sd 13_F 6.4, 6.2_Coupe	J. Cavanillas
P1060808_D141718_Sd 10_Bâtiment semi-excavé 7.14 et fossé 7.34_Coupe	J. Cavanillas
P1060809_D141718_Sd 10_Bâtiment semi-excavé 7.14 et fossé 7.34_Coupe	J. Cavanillas
P1060810_D141718_Sd 10_Bâtiment semi-excavé 7.14 et fossé 7.34_Coupe	J. Cavanillas
P1060811_D141718_Sd 10_Bâtiment semi-excavé 7.14 et fossé 7.34_Coupe	J. Cavanillas
P1060812_D141718_Sd 10_Bâtiment semi-excavé 7.14 et fossé 7.34_Coupe	J. Cavanillas
P1060813_D141718_Sd 10_Bâtiment semi-excavé 7.14 et fossé 7.34_Coupe	J. Cavanillas
P1060814_D141718_Sd 10_Bâtiment semi-excavé 7.14 et fossé 7.34_Coupe	J. Cavanillas
P1060815_D141718_Sd 10_Bâtiment semi-excavé 7.14 et fossé 7.34_Coupe	J. Cavanillas
P1060816_D141718_Sd 10_Bâtiment semi-excavé 7.14 et fossé 7.34_Coupe	J. Cavanillas
P1060818_D141718_Sd 10_Bâtiment semi-excavé 7.14 et fossé 7.34_Coupe	J. Cavanillas
P1060819_D141718_Sd 10_Bâtiment semi-excavé 7.14 et fossé 7.34_Coupe	J. Cavanillas
P1060820_D141718_Sd 10_Bâtiment semi-excavé 7.14 et fossé 7.34_Coupe	J. Cavanillas
P1060823_D141718_Sd 10_Bâtiment semi-excavé 7.14 et fossé 7.34_Coupe	J. Cavanillas
P1060824_D141718_Sd 10_Bâtiment semi-excavé 7.14 et fossé 7.34_Coupe	J. Cavanillas
P1060825_D141718_Sd 10_Bâtiment semi-excavé 7.14 et fossé 7.34_Coupe	J. Cavanillas
P1060826_D141718_Sd 10_Bâtiment semi-excavé 7.14 et fossé 7.34_Coupe	J. Cavanillas
P1060827_D141718_F 7.2, 7.3, 7.4, 7.5_Vue générale	L. Contu
P1060830_D141718_F 7.2, 7.3, 7.4, 7.5_Vue générale	L. Contu
P1060831_D141718_F 7.2, 7.3, 7.4, 7.5_Vue générale	L. Contu
P1060832_D141718_F 7.2, 7.3, 7.4, 7.5_Vue générale	L. Contu
P1060833_D141718_F 7.2, 7.3, 7.4, 7.5_Vue générale	L. Contu
P1060834_D141718_F 7.2, 7.3, 7.4, 7.5_Vue générale	L. Contu
P1060835_D141718_F 7.2, 7.3, 7.4, 7.5_Vue générale	L. Contu
P1060836_D141718_F 7.2, 7.3, 7.4, 7.5_Vue générale	L. Contu
P1060837_D141718_F 7.2, 7.3, 7.4, 7.5_Vue générale	L. Contu
P1060838_D141718_F 7.2, 7.3, 7.4, 7.5_Vue générale	L. Contu

N° Description	Auteur
P1060839_D141718_F 7.2, 7.3, 7.4, 7.5_Vue générale	L. Contu
P1060840_D141718_F 7.2, 7.3, 7.4, 7.5_Vue générale	L. Contu
P1060842_D141718_F 7.2, 7.3, 7.4, 7.5_Vue générale	L. Contu
P1060847_D141718_Sd 15_F 1.13_Coupe	J. Cavanillas
P1060848_D141718_Sd 15_F 1.13_Coupe	J. Cavanillas
P1060850_D141718_Sd 15_F 1.13_Coupe	J. Cavanillas
P1060851_D141718_Sd 15_F 1.13_Coupe	J. Cavanillas
P1060853_D141718_Sd 14_F 1.5_Coupe	J. Cavanillas
P1060854_D141718_Sd 14_F 1.5_Coupe	J. Cavanillas
P1060857_D141718_Sd 14_F 1.5_Coupe	J. Cavanillas
P1060858_D141718_Sd 14_F 1.5_Coupe	J. Cavanillas
P1060859_D141718_Sd 14_F 1.5_Coupe	J. Cavanillas
P1060860_D141718_Sd 14_F 1.5_Coupe	J. Cavanillas
P1060863_D141718_Sd 17_F 1.22_Coupe	J. Cavanillas
P1060867_D141718_Sd 17_F 1.22_Coupe	J. Cavanillas
P1060868_D141718_Sd 17_F 1.22_Coupe	J. Cavanillas
P1060871_D141718_Sd 20_F 17.9_Coupe	J. Cavanillas
P1060873_D141718_Sd 19_F 17.6_Coupe	J. Cavanillas
P1060878_D141718_Sd 19_F 17.6_Coupe	J. Cavanillas
P1060883_D141718_Sd 19_F 17.6_Coupe	J. Cavanillas
P1060884_D141718_F 7.3, 7.4, _Vue générale	L. Contu
P1060886_D141718_F 7.3, 7.4, _Vue générale	L. Contu
P1060887_D141718_F 7.3, 7.4, _Vue générale	L. Contu
P1060888_D141718_F 7.3, 7.4, _Vue générale	L. Contu
P1060889_D141718_F 7.3, 7.4, _Vue générale	L. Contu
P1060891_D141718_F 7.3, 7.4, _Vue générale	L. Contu
P1060893_D141718_Sd 21_F 18.1_Coupe	J. Cavanillas
P1060894_D141718_Sd 21_F 18.1_Coupe	J. Cavanillas
P1060898_D141718_Sd 34_F 19.7_Coupe	J. Cavanillas

N° Description	Auteur
P1060900_D141718_Sd 34_F 19.7_Coupe	J. Cavanillas
P1060902_D141718_Sd 34_F 19.7_Coupe	J. Cavanillas
P1060904_D141718_Sd 35_F 23.1_Coupe	J. Cavanillas
P1060907_D141718_Sd 35_F 23.1_Coupe	J. Cavanillas
P1060909_D141718_Sd 35_F 23.1_Coupe	J. Cavanillas
P1060910_D141718_Sd 35_F 23.1_Coupe	J. Cavanillas
P1060913_D141718_F 7.3, 7.4, _Vue générale	L. Contu
P1060915_D141718_F 7.3, 7.4, _Vue générale	L. Contu
P1060918_D141718_F 7.3, 7.4, _Vue générale	L. Contu
P1060921_D141718_F 7.3, 7.4, _Vue générale	L. Contu
P1060922_D141718_F 7.3, 7.4, _Vue générale	L. Contu
P1060925_D141718_F 26.8, _Vue générale	J. Cavanillas
P1060927_D141718_F 26.8, _Vue générale	J. Cavanillas
P1060933_D141718_Sd 36_F 23.2_Coupe	J. Cavanillas
P1060937_D141718_Sd 36_F 23.2_Coupe	J. Cavanillas
P1060942_D141718_Sd 38_F 3.15 et 3.17_Coupe	J. Cavanillas
P1060947_D141718_Sd 38_F 3.15 et 3.17_Coupe	J. Cavanillas
P1060948_D141718_Sd 38_F 3.15 et 3.17_Coupe	J. Cavanillas
P1060954_D141718_Sd 40_F 3.7_Coupe	J. Cavanillas
P1060956_D141718_Sd 40_F 3.7_Coupe	J. Cavanillas
P1060958_D141718_Sd 40_F 3.7_Coupe	J. Cavanillas
P1060959_D141718_Sd 40_F 3.7_Coupe	J. Cavanillas
P1060960_D141718_Sd 40_F 3.7_Coupe	J. Cavanillas
P1060962_D141718_Sd 40_F 3.7_Coupe	J. Cavanillas
P1060967_D141718_Sd 41_F 4.9_Coupe	J. Cavanillas
P1060971_D141718_Sd 41_F 4.9_Coupe	J. Cavanillas
P1060973_D141718_Sd 43_F 2.6 et 2.5_Coupe	J. Cavanillas
P1060976_D141718_Sd 43_F 2.6 et 2.5_Coupe	J. Cavanillas
P1060978_D141718_Sd 43_F 2.6 et 2.5_Coupe	J. Cavanillas

N° Description	Auteur
P1060987_D141718_Sd 45_F 27.6, 27.7, 27.8 et 27.9_Coupe	J. Cavanillas
P1060994_D141718_Sd 45_F 27.6, 27.7, 27.8 et 27.9_Coupe	J. Cavanillas
P1060995_D141718_Sd 45_F 27.6, 27.7, 27.8 et 27.9_Coupe	J. Cavanillas
P1060996_D141718_Sd 45_F 27.6, 27.7, 27.8 et 27.9_Coupe	J. Cavanillas
P1060998_D141718_Sd 32_F 19.1_Coupe	J. Cavanillas
P1060999_D141718_Sd 32_F 19.1_Coupe	J. Cavanillas
P1070001_D141718_Sd 32_F 19.1_Coupe	J. Cavanillas
P1070002_D141718_Sd 32_F 19.1_Coupe	J. Cavanillas
P1070003_D141718_Sd 32_F 19.1_Coupe	J. Cavanillas
P1070009_D141718_Sd 47_F 5.25_Coupe	J. Cavanillas
P1070013_D141718_Sd 47_F 5.25_Coupe	J. Cavanillas
P1070014_D141718_Sd 47_F 5.25_Coupe	J. Cavanillas
P1070015_D141718_Sd 47_F 5.25_Coupe	J. Cavanillas
P1070016_D141718_Sd 47_F 5.25_Coupe	J. Cavanillas
P1070017_D141718_Sd 47_F 5.25_Coupe	J. Cavanillas
P1070020_D141718_Sd 48_F 5.15_Coupe	J. Cavanillas
P1070021_D141718_Sd 48_F 5.15_Coupe	J. Cavanillas
P1070022_D141718_Sd 48_F 5.15_Coupe	J. Cavanillas
P1070023_D141718_Sd 48_F 5.15_Coupe	J. Cavanillas
P1070024_D141718_Sd 48_F 5.15_Coupe	J. Cavanillas
P1070025_D141718_Sd 48_F 5.15_Coupe	J. Cavanillas
P1070026_D141718_Sd 48_F 5.15_Coupe	J. Cavanillas
P1070028_D141718_Sd 49_F 5.13_Coupe	J. Cavanillas
P1070029_D141718_Sd 49_F 5.13_Coupe	J. Cavanillas
P1070030_D141718_Sd 49_F 5.13_Coupe	J. Cavanillas
P1070031_D141718_Sd 49_F 5.13_Coupe	J. Cavanillas
P1070033_D141718_F 16.2_Vue générale	J. Cavanillas
P1070034_D141718_F 16.2_Vue générale	J. Cavanillas
P1070035_D141718_F 16.2_Vue générale	J. Cavanillas

N° Description	Auteur
P1070036_D141718_F 16.2_Vue générale	J. Cavanillas
P1070037_D141718_Vue générale diagnostic	J. Cavanillas
P1070038_D141718_Vue générale diagnostic	J. Cavanillas
P1070039_D141718_Vue générale diagnostic	J. Cavanillas
P1070040_D141718_Vue générale diagnostic	J. Cavanillas
P1070041_D141718_Vue générale diagnostic	J. Cavanillas
P1070042_D141718_Vue générale diagnostic	J. Cavanillas
P1070043_D141718_Vue générale diagnostic	J. Cavanillas
P1070044_D141718_Vue générale diagnostic	J. Cavanillas
P1070045_D141718_Vue générale diagnostic	J. Cavanillas
P1070046_D141718_Vue générale diagnostic	J. Cavanillas
P1070047_D141718_F 16.2_Vue générale	J. Cavanillas
P1070048_D141718_F 16.2_Vue générale	J. Cavanillas
P1070049_D141718_F 16.2_Vue générale	J. Cavanillas

Inventaire des prélèvements

Prélèvement dans le fait 7.27 en vue d'une datation radiocarbone et la détection d'esquilles d'os.

RÉPUBLIQUE FRANÇAISE
Liberté
Égalité
Fraternité

Bretagne, Finistère, Plouvorn, Kerriou : Occupations diachroniques

Chronologie
Protohistoire
Âge du Bronze
Âge du Fer
Antiquité
Moyen Âge
Moderne

Sujets et thèmes
Occupation
Funéraire
Parcellaire
Enclos
Chemin
Voie

Mobilier
Céramique
Lithique
Fer
Fibule
Terre-cuite
Scorie

Cette opération de diagnostic, couvrant une surface de 75 980 m², fait suite à une prescription des services de l'état motivée par la mitoyenneté de l'emprise au sud avec la voie antique reliant Morlaix à Lesneven, et par le contexte archéologique environnant très riche.
Ce diagnostic permet de mettre une fois de plus en évidence la densité des structures archéologiques rencontrées sur le plateau léonard, plusieurs occupations diachroniques ont pu être mises au jour : âge du Bronze, âge du Fer et Antiquité.

En bas de pente, au sud de l'emprise ont été découvertes plusieurs sections de fossés datées de l'âge du Bronze.
A été mis en évidence au nord-ouest de l'emprise, un bâtiment sur tranchées de fondation et poteaux porteurs qui par comparaison pourrait être daté du campaniforme.
Ce diagnostic a sans nul doute permis de mettre au jour un site de l'âge du fer important se développant sur le rebord du plateau à partir de la fin du VI^{e}/fin V^{e} siècle avant notre ère jusqu'à la période laténienne. Il est caractérisé par une zone funéraire et une occupation située à une vingtaine de mètres au sud-sud-ouest qui pourrait correspondre à de l'habitat et/ou de l'artisanat et des traitements des céréales et fibres végétales. Il est possible que ce site se développe pour partie hors emprise au sud-sud-ouest, néanmoins cette parcelle (AB 311) est libre de construction. La présence d'une nécropole à inhumation est possible mais reste en l'état incertaine, il s'agirait de le vérifier grâce à un décapage extensif. Un chemin également daté de l'âge du Fer a été mis en évidence sur le versant, il ne semble pas pourtant desservir l'occupation décrite précédemment.
Durant l'Antiquité c'est le bas du versant qui semble avoir été occupé avec la mise en évidence d'un chemin, d'un probable enclos dont les limites ont été mal perçues et d'un bâtiment semi-excavé. Le mobilier mis en évidence dans l'ensemble des structures datées de l'Antiquité permet de proposer une occupation antique dès la fin du I^{er} s. av. J.-C. jusqu'au moins le III^{e} s. apr. J.-C. Si cela reste anecdotique au regard des différents sites mis au jour, le fossé bordier de la voie antique reliant Morlaix à Lesneven pourrait avoir été mis en évidence.
Enfin, bien que la présence d'un enclos soit très fortement suspectée à mi-pente, son tracé reste en l'état imprécis.

Inrap
Grand Ouest,
37 rue du Bignon, CS 67737
35577 Cesson-Sévigné
Tél. 02 23 36 00 40
grand-ouest@inrap.fr

www.inrap.fr